

最低的手续费是期货交易成功的第一步 全国最低手续费免费办理期货开户 周一至周日24小时欢迎您的咨询
手机: 15220161776 微信: 958218088 QQ 958218088 开户及交易手续费详情请进: <http://www.7hel.p.net/>



解读波浪理论的经典之作

技术分析人士的最佳参考

美国技术分析协会卓越奖得主权威之作



艾略特波浪理论

市场行为的关键 (二十周年纪念版)

Elliott Wave Principle

Key to Market Behavior

华章经典 · 金融投资

ROBERT R. PRECHTER, JR



〔美〕小罗伯特 R. 普莱切特 著
阿尔弗雷德 J. 弗罗斯特

Alfred J. Frost

陈鑫 译

Robert R. Prechter, Jr.



机械工业出版社
China Machine Press

二十周年纪念版



艾略特波浪理论

市场行为的关键

Elliott Wave Principle

Key to Market Behavior

华章经典 · 金融投资

ROBERT R. PRECHTER, JR

〔美〕小罗伯特 R. 普莱切特 著
阿尔弗雷德 J. 弗罗斯特
Alfred J. Frost

陈鑫 译



机械工业出版社
China Machine Press

Robert R. Prechter, Jr., A. J. Frost. Elliott Wave Principle: Key to Market Behavior
Copyright © 1978~2000 by Robert Rougelot Prechter, Jr. and Alfred John Frost
First Edition: November 1978, 20th Anniversary Edition: May 1998, Second
Printing: May 2000

All Rights Reserved. Authorized translation from the English language edition of the
Work originally published by New Classics Library, a division of Elliott Wave
International Inc., Gainesville, Georgia, U.S.A.

www.elliottwave.com

Copyright of the Translation in the name of Chen Xin

中文简体字非专有版权属陈鑫所有。

本书中文简体字版由陈鑫授权机械工业出版社在中国大陆独家出版发行，未经
出版者书面许可，不得以任何方式抄袭、复制或节录本书中的任何部分。

封底无防伪标均为盗版

版权所有，侵权必究。

本书法律顾问 北京市展达律师事务所

本书版权登记号：图字：01-2001-3931

图书在版编目（CIP）数据

艾略特波浪理论：市场行为的关键（珍藏版） / （美）普莱切特（Prechter,
R. R. Jr.），（美）弗罗斯特（Frost, A. J.）著；陈鑫译. —北京：机械工业出版社，
2010.4

（华章经典·金融投资）

书名原文：Elliott Wave Principle: Key to Market Behavior

ISBN 978-7-111-31016-7

I. 艾… II. ①普… ②弗… ③陈… III. 资本市场—分析 IV. F830.91

中国版本图书馆CIP数据核字（2010）第110079号

机械工业出版社（北京市西城区百万庄大街22号 邮政编码 100037）

责任编辑：章集香 版式设计：刘永青

北京瑞德印刷有限公司印刷

2010年8月第1版第1次印刷

170mm × 242mm · 16印张

标准书号：ISBN 978-7-111-31016-7

定价：38.00元

凡购本书，如有缺页、倒页、脱页，由本社发行部调换

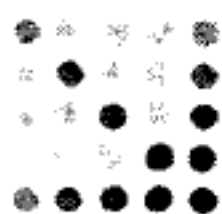
客服热线：（010）88379210；88361066

购书热线：（010）68326294；88379649；68995259

投稿热线：（010）88379007

读者信箱：hzjg@hzbook.com

**仅以本书纪念已故的A. 汉密尔顿·博尔顿
为了他的才华，他坚定的职业精神，以及他
对艾略特波浪理论的巨大推动**



二十周年纪念版原出版者按

《艾略特波浪理论》诞生于1978年11月，当时道指处于790点。尽管评论家们立刻认定这是一本关于波浪理论的权威教科书，但它还是因为几千本的差距与畅销书排行榜失之交臂。但是，由于对这本内容引人入胜的书的兴趣的增长，及其成功的长期预测，该书的销量年年递增，获得了华尔街经典著作的地位。就像波浪理论本身，这本书也经受住了时间的考验。

而且，《艾略特波浪理论》在其演化的同时也越来越臻于完善。在每一个新版本中，这本书都更令人满意地实现了作为一本学术课本的目的，而这要归功于多年来罗伯特·普莱切特细致入微地精练、升级和扩充这本书。这种努力已经结出了硕果。在20世纪70年代，A. J. 弗罗斯特还经常遇到汉密尔顿·博尔顿（Hamilton Bolton）在60年代观察到的现象，即“在100个知道道氏理论（Dow theory）的人当中，只有一个听说过艾略特。”1986年夏，弗罗斯特致电普莱切特说：“情况终于好转起来了。”

在几年之前，市场运动呈自相似（self-similar）模式的观点还受到极大的争议，但最近的科学发现已经确立自相似模式结构是复杂系统——包括金融市场——的基本特性。某些这种系统经受着“间断式的成长”，即成长

期与非成长期或称下降期交替，这就建造出了规模逐渐扩大的相似模式。自然界充满了这种“分形”（fractal）[⊖]，而且正如我们20年前在这本书中证明的那样，以及像R. N. 艾略特（Ralph Nelson Elliott）在大约60年前揭示的那样，股票市场也不例外。[⊗]

很难相信，在我们向世界介绍了普莱切特和弗罗斯特关于股票大牛市的看法之后，已经过了20年。尽管，这场大牛市比原来期望的延伸得长，但本书的作者仍然将这个上升行情标示成循环浪V。今天，市场的性质与普莱切特在15年前预测的完全一致：“在浪V的终点，投资者的群体心理应当达到疯狂的地步，1929年、1968年和1973年的因素同时起作用，因而最终达到极致”。在1998年，每一种市场统计以及每一个投资者的剧烈心跳，都正好反映出了这种状况。

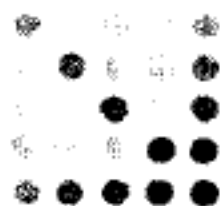
这个版本再次使每一个涉及对未来做出预测的词语完全保持其最初的面貌，这使新读者得以研究普莱切特和弗罗斯特在许多年前做出的预测的成败。关于预测，投资分析师詹姆斯 W. 科万（James W. Cowan）认为：“尽管有微小的失误，但1978年的预测也必定会作为有史以来最卓著的市场预测流传下去。”

这场大牛市之后是否会出现美国历史上最大的熊市，并因此实现本书后半部分的预测，尚有待观察。但是，本书的作者对此深信不疑。

新经典文库，出版者

⊖ 分形指的是数学上的一类几何形体，在任意尺度上都具有复杂并且精细的结构。一般来说分形几何体都是自相似的，即图形的每一个局部都可以被看做是整体图形的一个缩小的复本。19世纪就已经出现了一些具有自相似特性的分形图形，但最初只是被看做一种奇异现象。早在20世纪70年代，美国数学家彼诺伊特·曼德勃洛特（Benoit Mandelbrot, 1924—）最早对分形进行系统研究，并创立了分形几何这一新的数学分支。曼德勃洛特扩展了经典欧几里得几何中的维数，提出了分数维的概念。“分形”这个词是曼德勃洛特于1975年夏天一个寂静的夜晚，在冥思苦想之余翻看儿子的拉丁字典时想到的，其拉丁文的原意是“产生无规则的碎片”。——译者注

⊗ 1990年，罗伯特·普莱切特发表了一篇关于这个主题的报告“社会前进的分形结构”（*The Fractal Design of Social Progress*），该报告基于1986年5月他在市场技术分析师协会（Market Technicians Association）上的讲话。这篇文章将在新经典文库即将出版的一本书中重印。



译者序

自《艾略特波浪理论》英文版首版问世以来，已过了34年，读者现在看到的这本二十周年纪念版是英文版第9版的第2次印刷版。在这本《艾略特波浪理论》中，普莱切特将过去几年里波浪理论的最新进展做了全面的总结，并将其贯穿在各个章节中。

艾略特波浪理论中三段式的波浪前进，符合事物发生、发展和消亡的三个基本过程。在学习波浪理论之前，我认为应当首先明确股票市场的运动是有规律的，而这种客观规律是可以被我们通过某种手段认识的。

我第一次接触到波浪理论是在大学4年级。当时，我参加了张东平先生在沪北万国（今申银万国）举办的股票投资分析讲习班，比较系统地学习了波浪理论的基本常识。我清楚地记得，在第一堂课上张先生就说过，“股票投资分析是十年磨一剑”。我想这也是对所有学习艾略特波浪理论，并希望从中受益的投资者的忠告。没有哪个人可以独自成功。可以说，如果没有张东平先生将我引入股票投资分析领域，那么《艾略特波浪理论》的简体中文版绝不可能这么早与读者见面。

在本书的翻译过程中，挚友吴鸣申为我提供了必要的信息技术支持，极大提高了我的工作效率。我大学时

的同学周怡皎花了许多时间，为我在美国印第安纳大学的图书馆里查找翻译本书所必需的背景资料。

我还要感谢美国道琼斯公司的Richard A. Ciuba，他热情地为我寄来了道琼斯指数100多年来的行情数据，并介绍了有关道琼斯指数的知识；还有Charlotte Mathews，她不厌其烦地为我解答了有关黄金交易方面的问题；还有Gary Feuerstein、英国牛津大学Bodleian图书馆的Nick Millea、美国弗吉尼亚大学科学与工程图书馆的Fred O'Bryant和《斐波纳契传》的作者Karen Parshall，同我详细探讨了有关欧洲中世纪史及斐波纳契生平的方方面面；还有美国Tufts大学Perseus工程（旨在发掘、整理和保护古希腊文化）的计算机程序员David Smith，没有他以及Perseus工程，我绝不可能对古希腊的历史有深入的了解；还有《史密森人》杂志社读者服务部的Karla A. Henry、《大英百科全书》编辑部的Helen L. Carlock、美国Haverford学院图书馆的Diana Franzusoff Peterson、英国Exeter大学图书馆的Roy Davies。

我的大学同学陈佳蕾和时炜程，以及我的同事张军都曾为本书的翻译提出过建议。另外，我需要特别感谢我的挚友王云海，他为本书的问世提供了财务与精神上的支持。事实上，不仅是对这本书，对于我的职业生涯，他一直是强有力的后盾。

华章经管的编辑以及艾略特波浪国际公司的Nancy Admas、Jane Estes、David Moore、Sally Webb、Holly Rosche、Pam Kimmons和Paula Roberson为本书的出版付出了劳动。

《艾略特波浪理论》二十周年纪念版的中文版诞生于1998年（我翻译的第一本书）。我推出这本中文修订版的目的，一是为了纠正以往版本中出现的翻译错误和印刷错误；二是为了向读者奉献一本制作更加精美的中文版。我尽可能地考察在原作中出现的所有专有名词和历史事件，并做出注释。

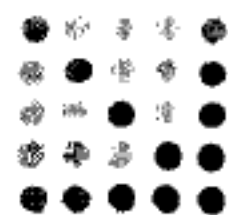
你或许已经注意到，由我翻译的《艾略特名著集》也已经面市。如果

你想了解艾略特的生平、波浪理论的由来，以及艾略特的原始著作，不妨一读。这两部姊妹篇是目前国内关于波浪理论的权威译著。

我本人应当为翻译上的错误负责，如果你在阅读过程中发现了什么错误，请通过xinchenc@online.sh.cn这个地址与我取得联系。事实上，已有数位热心的读者通过电子邮件向我指出了上一个版本中的各种错误。在此，我要对他们表示感谢。我期待着你的评论。

最后，祝你在投资中取得成功，那将是物质和精神的双重收获。

陈 鑫



原作者按

在共同撰写本书时，我们没有忘记这样一个小姑娘，她在读完了一本关于企鹅的书后说：“这本书给我讲的企鹅的故事比我想知道的多。”我们尽可能深入浅出地解释波浪理论，并在多数地方避免技术上的繁文缛节。

如果介绍得简洁明了，那么波浪理论的基本概念是很容易学习和应用的。遗憾的是，关于这个主题的早期著作已经脱印，而且从那以后文章的零散已经造成了研究上的困难，因为没有权威性的参考文献可供研究。在本书中，我们希望以一种既向经验丰富的分析师，又向感兴趣的门外汉成功介绍艾略特理论迷人领域的方式，来努力写就一本全面介绍这个主题的著作。

我们相信，我们的读者可以通过坚持绘制道指的小时波动走势图来进行自己的研究工作，直至他们可以兴奋地说，“我明白了！”一旦你掌握了波浪理论，你就可以自行拥有一种崭新的、神奇的市场分析方法，甚至比这更多——一种可以应用到其他生活空间的数理哲学。本书不会解答你的全部问题，但它给你提供了一种视角，同时使你意识到人类行为，尤其是市场行为的奇妙心理。艾略特的观念反映了一种理论，你能很容易地向自己验证这种理论，并从此以一种新的眼光来看待股票市场。

A. J. 弗罗斯特

小罗伯特 R. 普莱切特

于1978年

我们已经提出了成百上千种理论涉及商业的盛衰沉浮，也就是所谓的商业循环：货币供应的变化，存货太多和太少，政治法令导致的世界贸易变化，消费者的心态，资本支出，甚至太阳黑子和行星的并列。英国经济学家皮古将其简化为人类的均衡。皮古说，商业的上下摆动是由于人类的过度乐观及随后的过度悲观造成的。摆朝一头走得太远就会有过剩；朝另一头走得太远就会有匮乏。一个方向上的过度会导致另一个方向上的过度，如此往复，舒张和收缩永不停息。

查尔斯 H. 道是对美国股市运动造诣最深的学者之一，他注意到市场持续旋转中的某种重复。从这种看似杂乱无章的运动中，道发现市场并不像风中的气球那样飘忽不定，而是有序地运动。道阐明了两个业已经受住时间考验的理论。他的第一个理论是，市场在其主要上升趋势中以三次向上的摆动为特征。他将第一次摆动归结为从前面主要跌势的价格过度悲观开始的反弹；第二次向上摆动与企业 and 利润的改善联动；第三次，而且是最后一次摆动是价格与价值的背离。道的第二个理论是，在每个市场摆动——无论是上是下——的某一点，会有一个将这次摆动抵消 $\frac{3}{8}$ 或更多的反向运动。尽管道并未有意将这些法则同人类因素的影响联系起来，但市场也是由人创造的，而且道曾经注意到的延续和重复必然源自于此。

通过股票市场操作成为百万富翁，并任几位美国总统顾问的巴鲁克一语道破天机，“但是，实际在股票市场振荡中记录下来的，”他说，“不是各种事件本身，而是人类对这些事件的反应。简而言之，成百上千万的男男女女是如何感受这些事件的可以影响他们的未来。”巴鲁克补充道，“换言之，股票市场首先是人。正是人在试图预言未来。而且正是这种强烈的人性使股票市场成了一个如此富戏剧性的舞台，在此男男女女投入了他们相互冲突的判断，他们的希望与恐惧，力量与软弱，贪婪与幻想。”

现在让我们来谈谈拉尔夫 R. 艾略特，在他逐渐形成自己理论的时候，他很可能从未听说过皮古。艾略特原来一直在墨西哥工作，但由于疾病，

我想他说是贫血症，他回到了加利福尼亚州自家前门廊的摇椅上。有了足够的时间，而且他又努力摆脱他的困境，艾略特开始研究用道琼斯平均指数的历史和运动反映的股票市场。从长期的研究中，艾略特发现相同的现象一再重演，就像本序开头引用的“传道书”中传道士说的那样。艾略特在通过观察、研究和思考发展自己理论的过程中，融汇了道的发现，而且在综合性和精确性上比道的理论更进一步。这两个人都已经感觉到了控制市场运动的人类均衡的卷入，但是道做的是大写意，而艾略特做的是工笔画，广泛性更大。

我是通过书信往来结识艾略特的。我那时正在出版一份全国性的股票市场简报，而艾略特希望加入他的理论。此后我们又通了许多信，但事情的真正转机是在1935年的首季。在那时，股票市场在从1933年的最高点跌至1934年的最低点之后再次上升，但在1935年的首季，道氏铁路股平均指数（Dow railroad average）跌破了它在1934年的最低点。投资者、经济学家和股票市场分析师都还没有从1929~1932年的不幸中恢复过来，而且这个1935年年初的向下突破最令人惊惶。美国遇上更大的麻烦了吗？

在铁路股下跌的最后一天，我收到了艾略特发来的一份电报，他特别强调下跌行情已经结束，而且这只是一轮还有很长的路要走的大牛市的第一次回调。后来的几个月证明了艾略特非常正确，于是我邀请他来我在密歇根州的家中度周末。艾略特接受了邀请，并对我详细陈述了他的理论。然而，我仍然不能让他加入我的组织，因为他坚持认为所有的决策必须基于他的理论。我确实曾帮他在华尔街立足，而且为了感谢他对我开诚布公其著作，我以他的名义将其理论编入了一本题为《波浪理论》（*The Wave Principle*）的小册子中。

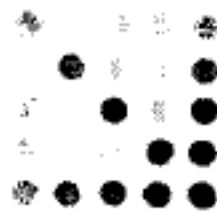
随后，我把艾略特引见给了我一直撰稿的《金融世界》（*Financial World*）杂志，而他通过一系列的文章揭示了其理论的本质。后来，艾略特将《波浪理论》融汇到一本题为《自然法则》（*Nature's Law*）的更伟大的

著作中。在这本书中，他介绍了斐波纳契数字和某些深奥命题的魔法，他相信这些能印证他自己的观点。

本书的作者，A. J. 弗罗斯特和小罗伯特 R. 普莱切特是艾略特理论的热心学者，而那些希望用艾略特的发现及其在成功投资中的应用来获利的人，将会发现他们的著作很值得一读。

查尔斯 J. 柯林斯

1978年于密歇根州格罗斯波因特市



艾略特致柯林斯的信

R. N. ELLIOTT
833-Beacon Avenue
Los Angeles, California
Federal 2687



Nov. 28, 1934

Mr. C. J. Collins,
Investment Counsel,
Detroit, Mich.

PERSONAL
and
CONFIDENTIAL

Dear Mr. Collins:-,

For some time I have been trying to formulate this letter, but unable to find expressions that would convey the desired impression and still doubt that I can do so. I am a stranger to you, but feel that I know you through the service letters which I admire very much. On my recommendation some friends have subscribed thereto. I was one of the first subscribers to Mr. Rhea's book and service.

About six months ago I discovered 3 features in market action, and insofar as I know they are novel. I do not believe that it is egotistical to allege that they are a much needed complement to the Dow theory.

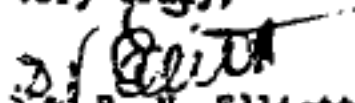
Naturally I wish to benefit from these discoveries. You have a very extensive following and it has occurred to me that we might reach an arrangement mutually satisfactory. In your letters I have occasionally seen reference to "other sources of information" which prompted me to hope that you might become interested. Moreover from your service letters I judge that you are not familiar with my discoveries.

Their adoption would in no wise necessitate any reference thereto in service letters. For example when the Dow-Jones Industrials made a top of 107 last April I could have forecasted the 85 bottom and the approximate date it would be reached but your letters could have used the Dow theory as a reason for abandoning long positions. I do not claim that this can always be done. Needless to say the prestige of your service would have materially benefited thereby. Incidentally permit me to forecast that the present major bull swing will be followed by a major bear collapse. This is not an opinion but simply the application of a rule.

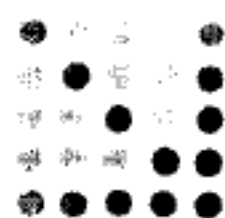
These discoveries are much less mechanical than the Dow theory but add great forecasting value which it lacks. One gives reversal signals almost invariably at minor, intermediate and major terminals. Another classifies waves of all movements of which I find six. The other covers the time element which has been 85% correct since the 1932 bottom. When divergence occurs the time element slips out of gear temporarily.

Unless you contemplate an early visit to the Coast, would you be willing to pay the expense of a trip to Detroit and back? I know your agent here, Mr. Osbourn, and believe he would give me a "good character", but please note that neither he nor any one else knows anything about my discoveries.

Yours very truly,


R. N. Elliott

DEC 2 1934



致 谢

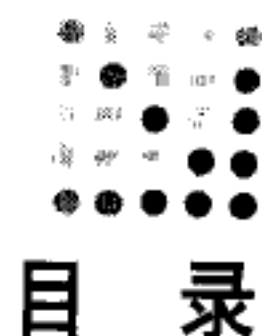
本书作者已经尽力阐明了艾略特波浪理论最值得探讨的各个方面。然而，若是没有几位让我们以感激之情铭记的人的帮助，本书就不会摆在这里了。大名鼎鼎的《银行信用分析家》(*Bank Credit Analyst*) 杂志的安东尼·博伊克 (Anthony Boeckh) 公开了他所有的档案。乔安妮·德鲁 (Jo-Anne Drew) 在第一稿上花费了数小时，在书中增添了她的艺术才能。小罗伯特 R. 普莱切特先生和夫人仔细地编辑了最后的手稿。美林分析公司的阿瑟·美林 (Arthur Merrill) 为本书的摄影和制作给予了宝贵的建议和协助。还有数不胜数的人在工作中用建议和鼓励支持着我们。请所有这些人接受我们的谢意。

承蒙以下机构和个人提供本书所需的图表：加拿大蒙特利尔市的《银行信用分析家》(图2-11、图5-5、图8-3)；新泽西州新泽西市的R. W. 曼斯菲尔德 (R. W. Mansfield) (图1-18)；美林证券 (图3-12、图6-8、图6-9、图6-10、图6-12、图7-5)；麻省波士顿市的证券研究公司 (Securities Research Inc.) (图1-13、图6-1~图6-7)；纽约州标准普尔公司的分部《趋势线》(*Trendline*) 杂志 (图1-14、图1-17、图1-27、图1-37、图4-14)；图3-9包括注释受惠于特鲁迪 H. 嘉兰德 (Trudi H. Garland) 著的

《有趣的斐波纳契数字》(*Fascinating Fibonacci*) (图画), 大卫·伯加米尼 (David Bergamini) 和《生活》(*Life*) 杂志的编辑所著的《数学》(*Mathematics*) (螺旋形的花朵和巴台农神庙), 1988年3月号的《万能》(*Omni*) 杂志 (飓风、漩涡和贝壳), 1969年3月号的《科学美国人》(*Scientific American*) 杂志 (向日葵), 1986年5月号的《科学86》(*Science 86*) (松果), 1987年6月号的《大脑/意识简报》(*Brain/Mind Bulletin*) (DNA), 1979年12月号的《斐波纳契季刊》(*Fibonacci Quarterly*) (人体), 科学新星探索公司 (Nova-Adventures in Science) (原子的粒子), 以色列海法市的丹尼尔·施特曼 (Daniel Schechtman) (准晶体), 加利福尼亚州帕萨迪纳市的黑尔天文台 (Hale Observatories) (星系)。附录中的某些走势图由佛罗里达州诺克斯市的内德·戴维斯研究公司 (Ned Davis Research)、宾夕法尼亚州温尼市的循环研究基金会 (Foundation for the Study of Cycles), 和弗吉尼亚州里士满市的《大众金融周刊》(*The Media General Financial Weekly*) 提供。

所有没有提到的图表均由普莱切特 (原书) 和 Dave Allan (附录) 制作。Robin Machcinski 极有耐心地完成了艰难的排字和制版工作。书的封套由作者构想并由路易斯安那州新奥尔良市的艺术家 Irene Goldberg 绘制。后续版本的制作由 Jane Estes、Susan Willoughby、Paula Roberson、Karen Latvala、Debbie Iseler、Pete Kendall、Stephanie White、Leigh Tipton、Angie Barringer、Sally Webb 和 Pam Kimmons 进行。

本书作者尽力对书中所用的全部资料来源致谢。任何遗漏均属意外, 并将在未来重印时更正。



目 录

二十周年纪念版原出版者按

译者序

原作者按

前言

艾略特致柯林斯的信

致谢

第一部分

艾略特理论

第1章 总的概念 / 2

基本原则 / 4

详细分析 / 13

第2章 波浪构造的指导方针 / 45

交替 / 45

调整浪的深度 / 48

第五浪延长后的市场行为 / 50

波浪等同 / 51

绘制波浪 / 52

通道 / 54

翻越 / 55

- 刻度 / 56
- 成交量 / 58
- “正确的外表” / 59
- 波浪个性 / 60
- 学习基础知识 / 67
- 实际应用 / 71

第3章 波浪理论的历史背景与数学背景 / 76

- 来自比萨的里昂纳多·斐波纳契 / 76
- 斐波纳契数列 / 81
- 黄金比率 / 82
- 黄金分割 / 88
- 黄金矩形 / 89
- 黄金螺线 / 92
- Φ 的含义 / 94
- 螺线式股市中的斐波纳契数学 / 102
- 波浪理论结构中的斐波纳契数学 / 105
- Φ 与加性增长 / 108

第二部分

应用艾略特理论

第4章 比率分析与斐波纳契时间序列 / 112

- 比率分析 / 112
- 应用过的比率分析 / 118
- 波浪的倍数关系 / 124
- 斐波纳契时间序列 / 126
- 贝纳理论 / 129

第5章 长期浪与最新的合成物 / 135

从黑暗时代开始的千年浪 / 139

从1789年至今的甚超级循环浪 / 141

从1932年开始的超级循环浪 / 144

第6章 股票和商品 / 148

个股 / 148

商品 / 153

黄金 / 159

第7章 股市的其他分析手段及其与波浪理论 的关系 / 164

道氏理论 / 164

“康德拉蒂耶夫波”的经济循环 / 166

循环 / 169

消息 / 171

随机行走理论 / 173

技术分析 / 174

“经济分析”手段 / 176

外生的力量 / 179

第8章 艾略特演说 / 181

下一个十年 / 181

自然法则 / 189

附 录

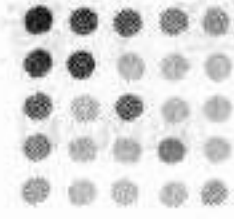
长期预测更新，1982至1983年 / 196

1982年1月 20世纪80年代的蓝图 / 197

- 1982年9月13日 长期波浪模式——接近结论 / 200
- 1982年10月6日 / 206
- 1982年11月8日 / 207
- 1982年11月29日 一幅值千言的画面 / 208
- 1983年4月6日 一轮上升浪潮：浪V在道琼斯工业股平均
指数中的情形 / 209
- 1983年8月18日 20世纪80年代的超级牛市——最后的疯
狂浪潮 / 221

词汇表 / 225

原出版者后记 / 228



第一部分
Part 1

艾略特理论



第1章 Chapter1

总的概念

在《艾略特波浪理论——一份中肯的评价》(*The Elliott Wave Principle — A Critical Appraisal*)中, 汉密尔顿·博尔顿开宗明义地写到:

因为我们已经渡过了一些想象中最难以预料的经济气候: 大萧条的复苏、第二次世界大战、战后重建以及经济腾飞, 我注意到艾略特的波浪理论是如何在各种生活现实的发展过程中与之相适应的, 并因此对这个理论的基本价值更有信心。

在20世纪30年代, 拉尔夫·尼尔森·艾略特曾发现股票市场价格以可识别的模式(pattern)趋势运动和反转。他辨认出的这些模式在形态(form)上不断重复, 但并不一定在时间上或幅度上重复。艾略特分离出了13种这样的模式或称“波浪”, 它们在市场的价格数据中反复出现。他给各种模式命名、定义并图解。他随后解释了它们是如何连接在一起, 形成其自身的更大版本, 以及它们是如何依次相连形成大一级的相同模式, 依此类推, 这产生了结构化的价格前进。艾略特称这种现象是波浪理论。

尽管波浪理论是目前最好的预测工具, 但它主要不是一种预测工具, 它是对市场行为的细致刻画。不过, 这种刻画的确传达了有关市场在行

为连续统一体中所处的位置，及其随后可能出现的运动轨迹方面的学问。波浪理论的主要价值在于，它为市场分析提供了一种前后关系。这种前后关系既为严密思考提供了基础，又为市场总体位置及前景提供了展望。在很多时候，它识别甚至预期各种方向变化的准确性几乎让人难以置信。人类群体活动的许多方面显示出了波浪理论，但它在股市中的应用最流行。不管怎样，相比人的状况，股市确实比它展现在普通观察者面前的，甚至那些依靠股市谋生的人面前的意味深长得多。股票价格的总体水平是对人类总生产力普遍价值的直接而迅速的衡量。这种估价有形态，是一种将最终变革社会科学的、含义深远的事实，但这需要另行讨论。

R. N. 艾略特的天赋由一种极为训练有素的思维过程组成，这一过程适于对道琼斯工业股平均指数（Dow Jones Industrial Average, DJIA）及其前身的走势图进行如此彻底和精确的研究，使他得以建立一套反映至20世纪40年代中期，他所了解的全部市场行为的理论系统。在道琼斯指数仅有近百年历史的当时，艾略特就预言以后几十年的大牛市会超乎所有人的预期，而当时大多数投资者认为道琼斯指数不可能好过1929年的顶峰。正如我们将看到的，非凡的股市预言——有些甚至达到了提前数年的准确程度——与艾略特波浪理论的应用史相伴相随。

关于艾略特发现的各种模式的起源和含义的理论，我们将在第3章中介绍并展开讨论。在此之前，我们不必多说在第1、2章中讲述的各种模式已经经受了时间的考验。

我们时常会听到对市场的艾略特波浪状况的几种不同的研判，尤其是在当今的各种专家对平均指数做出草率的、即兴的研究时。然而，通过坚持用算术刻度（arithmetic scale）和半对数刻度（semilogarithmic scale）^①绘制走势图，并认真遵循本书阐述的各项规则和指导方针，就可以避免绝大多数的不确定因素。欢迎来到艾略特波浪理论的世界！

^① 以10为底的对数。——译者注

基本原则

在波浪理论中，每一个市场决定不仅产生于意味深长的信息，同时也产生意味深长的信息。每一笔交易，在即刻将成为一种结果的同时进入市场组织，并通过向投资者们传播交易数据，加入到其他投资者行为的原因链中。这种反馈循环受制于人的社会本性，而且既然人具有这样一种本性，那么这个过程就产生了各种形态。因为各种形态在重复，所以它们就有了预测的价值。

有时，市场明显会反映各种外部条件和事件，但在另一些时候它会对大多数人认为的因果条件无动于衷。原因在于，市场有其自身的规律，它不会被人们在日常生活经验中习以为常的线性因果关系所驱动。市场的轨迹不是消息的产物。市场也不像某些人宣称的那样是有节奏的机器。它的运动反映了各种形态的重复，这种重复既独立于假定的因果关系事件，也独立于周期。

市场的前进在波浪中展开。各个波浪是有向运动的模式。更确切地说，一个波浪是任何一种自然发生的模式，正如在本章余下部分描述的那样。

五浪模式

在各种市场中，价格前进最终采取一种特定结构的五浪形态。这些浪中的三个，分别标示为1、3和5，实际影响这种有向运动。而它们又被两个逆势的休整期所分割，标示为2和4，如图1-1所示。对于将要发生的整个有向运动，这两个休整期显然是必不可少的。

艾略特记录了五浪形态的三个永恒之处。它们是：浪2永远不会运动得超过浪1的起点；浪3永远不是最短的一浪；浪4永远不会进入浪1的价格领地。

R. N. 艾略特并未特别说明仅有一种支配形态，即“五浪”模式，但

这是不可否认的事实。在任何时候，市场都能被识别为处于最大浪级 (degree) 趋势的基本五浪模式中的某个位置。由于五浪模式是市场前进的主导形态，因此其他所有模式都被它包容了起来。

波浪发展方式

有两种波浪发展方式：驱动的 (motive) 和调整的 (corrective)。驱动浪有一个五浪结构，调整浪有一个三浪结构或其变体。图1-1中的五浪模式及其同向上的各个分量 (component)，也就是浪1、3和5，都采用驱动方式。它们的结构被称为“驱动的”，是因为它们有力地推进着市场。所有逆势的休整期均采用调整方式，这包括图1-1中的浪2和4。它们的结构被称为“调整的”是因为每一浪都作为一种对前面的驱动浪的反应出现，但仅完成部分回撤，或称“调整”。因此，正如本章将详细论述的那样，无论在它们的角色上还是在其结构上，这两种方式完全不同。

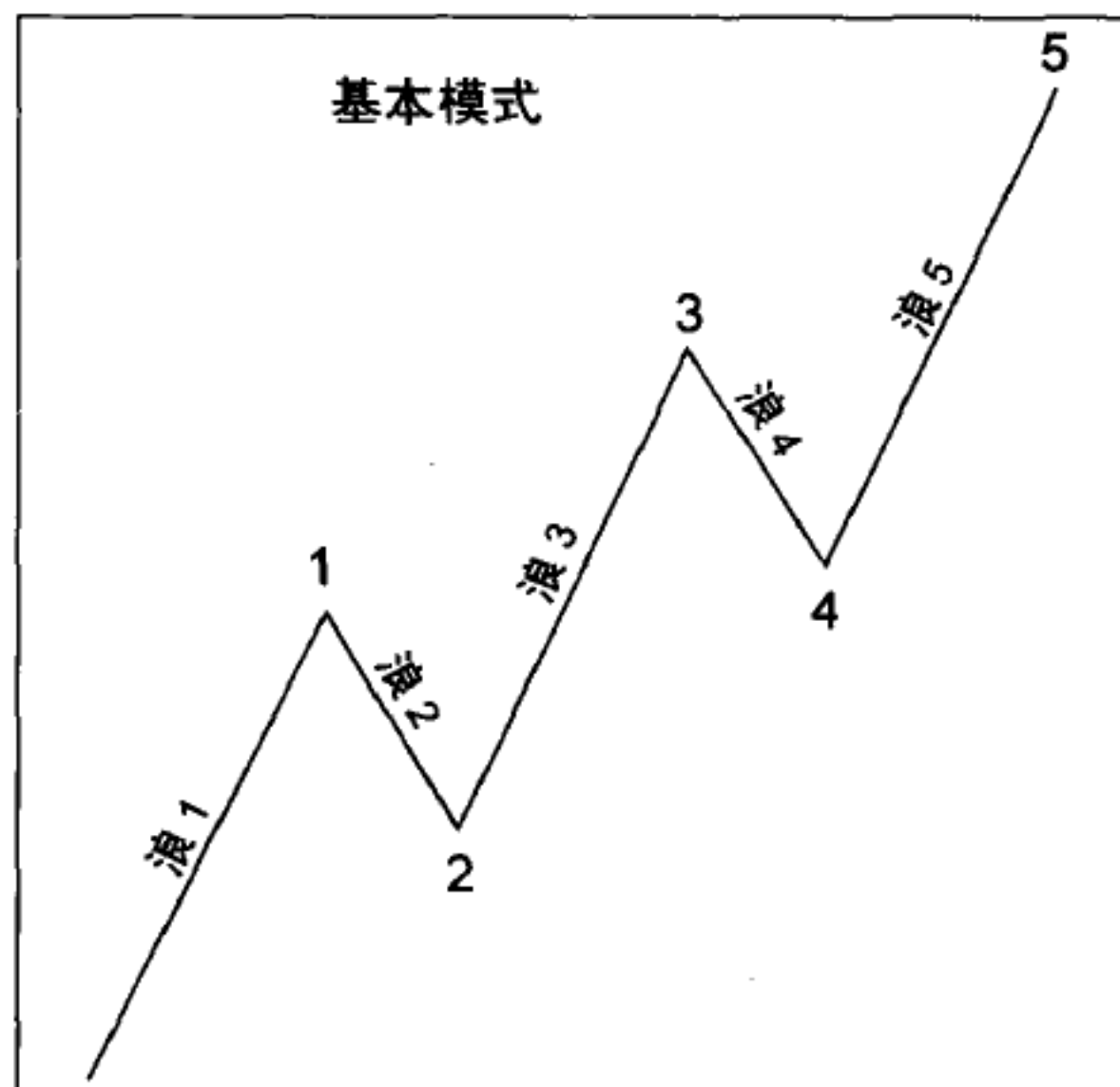


图 1-1

完整的循环

因此，一个包含八个浪的完整循环由两个截然不同的阶段组成：五浪驱动阶段（也称做“五浪”），其子浪（subwave）用数字标示；三浪调整阶段（也称做“三浪”），其子浪用字母标示。就像图1-1中浪2调整了浪1那样，图1-2中的波浪序列A、B、C调整了波浪序列1、2、3、4、5。

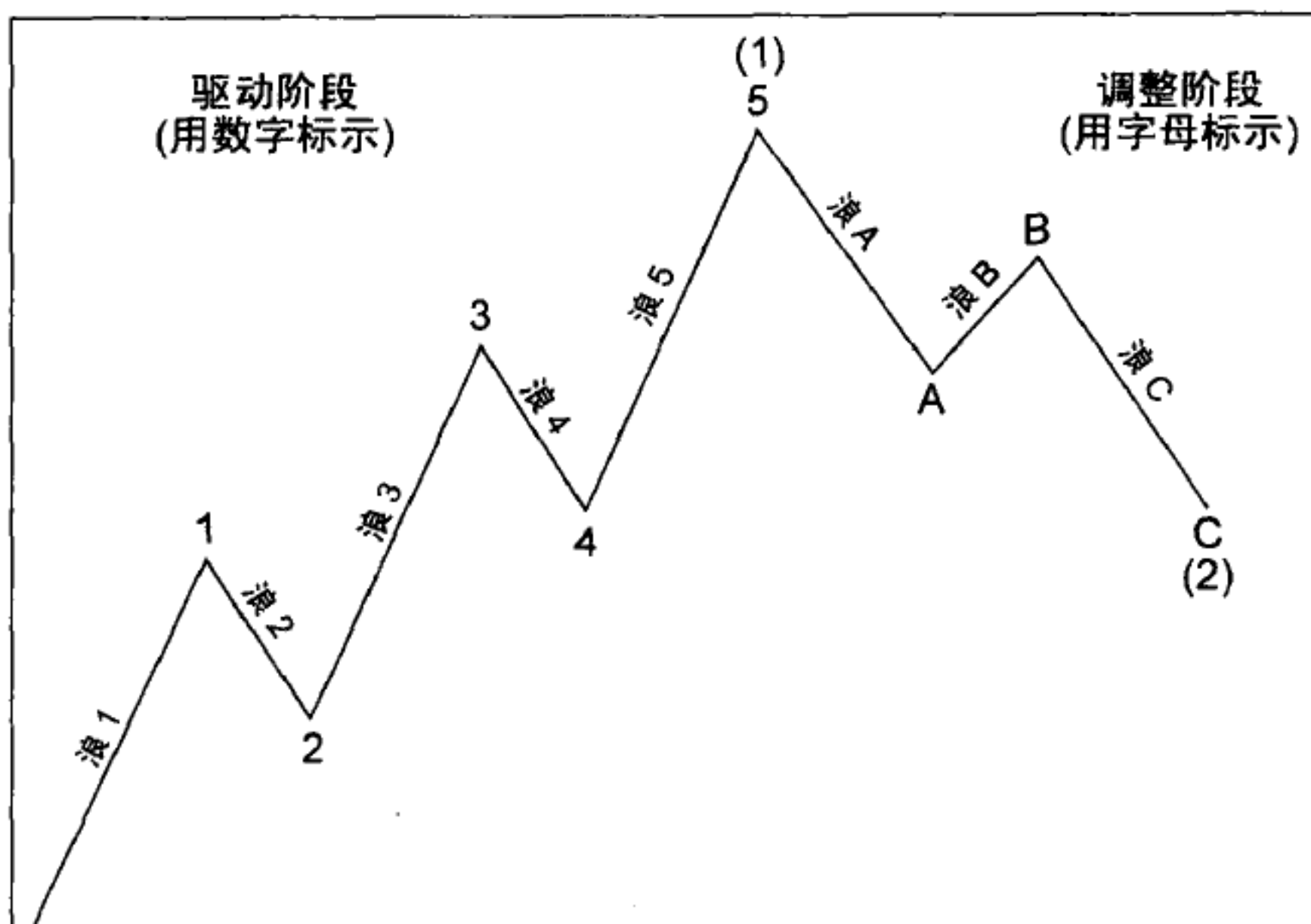


图 1-2

复合结构

如图1-2所示的最初八浪循环结束的时候，一个相似的循环会接着发生，这个循环后面又跟着另一个五浪运动。这种完整的发展产生了一个比组成它的各浪大一浪级（也即相对规模）的五浪模式。结果是到达图1-3中标示着(5)的顶点。然后，这个浪级更大的五浪模式又被相同浪级的三浪模式所调整，完成一个更大浪级的完整循环，如图1-3所示。

正如图1-3说明的那样，一个驱动浪中的每个同向分量（也就是，浪1、3和5），以及一个完整循环中的每个完全循环分量（也就是，浪1+2，或

浪3+4), 是其自身的较小版本。

有必要理解这个要点: 图1-3不仅表示了比图1-2更大的版本, 它还更详细地表示了图1-2本身。在图1-2中, 每个子浪1、3和5均是必须再细分成“五浪”的驱动浪, 而每个子浪2、4均是必须再细分成“三浪”的调整浪。如果在“显微镜”下观察, 图1-3中的浪(1)和(2)会呈现与浪①和②相同的形态。无论浪级如何, 形态是不变的。根据我们所指的浪级, 我们可用图1-3表示2个浪、8个浪或34个浪。

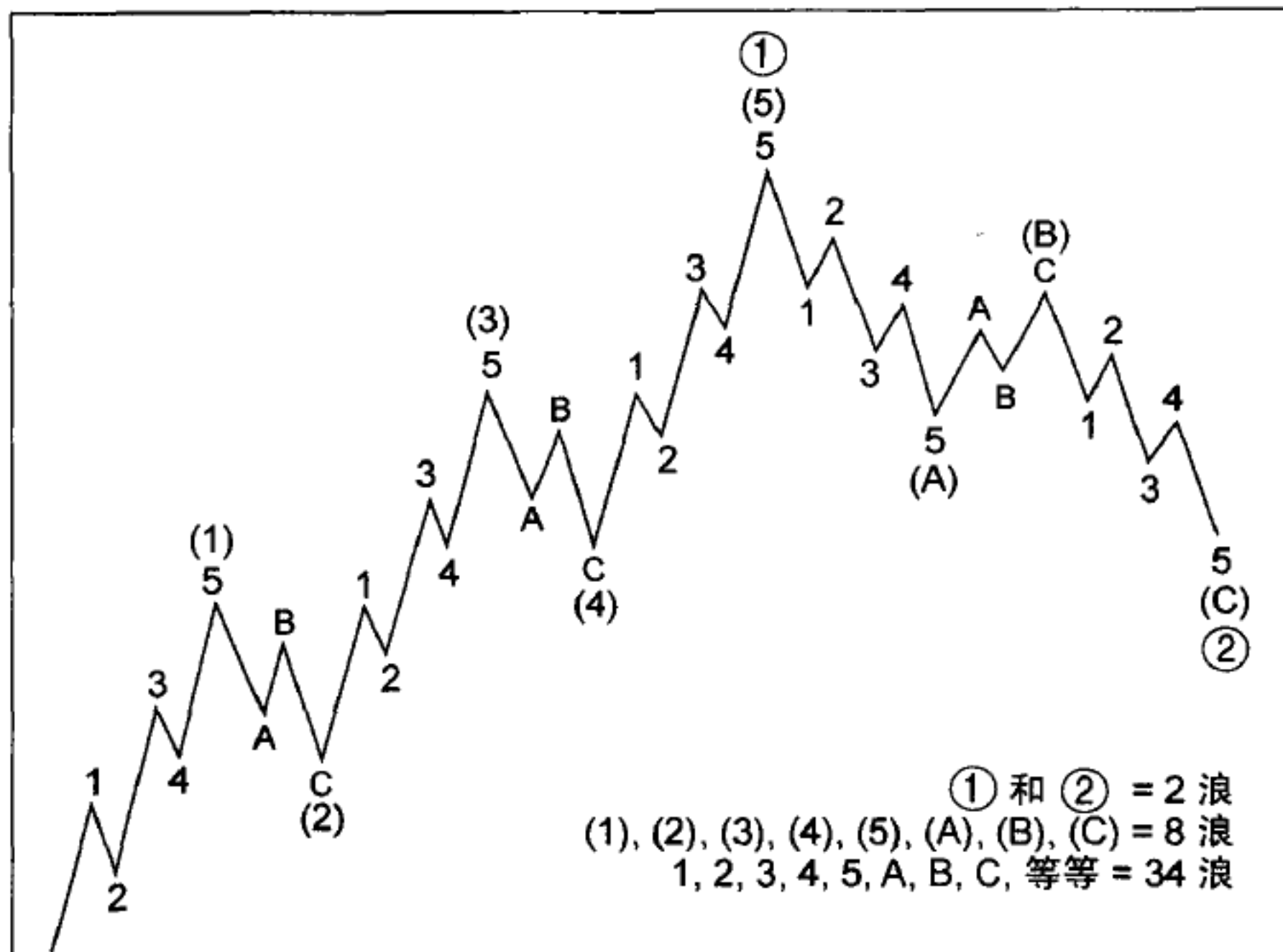


图 1-3

基本布局

现在观察, 在图1-3中说明为浪②的调整模式中, 指向下的浪(A)和(C)每个都由5个浪组成: 1、2、3、4和5。相似地, 指向上的浪(B)由三个浪组成: A、B和C。这种结构揭示了一个要点: 驱动浪并不总指向上, 而调整浪并不总指向下。波浪的发展方式不是取决于它的绝对方向, 而主要取决于它的相对方向。除了本章后面谈到的四种特殊例外, 当波浪

与它作为其中一部分的大一级波浪同向运动时，用驱动方式（五浪）划分；当波浪与它作为其中一部分的大一级波浪反向运动时，用调整方式（三浪或一种变体）划分。浪(A)和(C)是驱动浪，它们与浪②同向运动。浪(B)是调整浪，因为它调整了浪(A)，并与浪②逆势。总之，波浪理论中的基本内在趋势是，在任何浪级的趋势中，与大一浪级趋势同向的作用以五浪方式发展，而与大一浪级趋势逆向的反作用以三浪方式发展。

图1-4进一步说明了形态、浪级和相对方向这三种现象。这幅图反映了总的原则，也就是在任何市场循环中，各个波浪均可按下表细分。

每个浪级的波浪数

	驱动 (推动浪)	+	调整 (锯齿形调整浪)	=	循环
最大的浪	1		1		2
最大的细分浪	5		3		8
小一浪级的细分浪	21		13		34
再小一浪级的细分浪	89		55		144

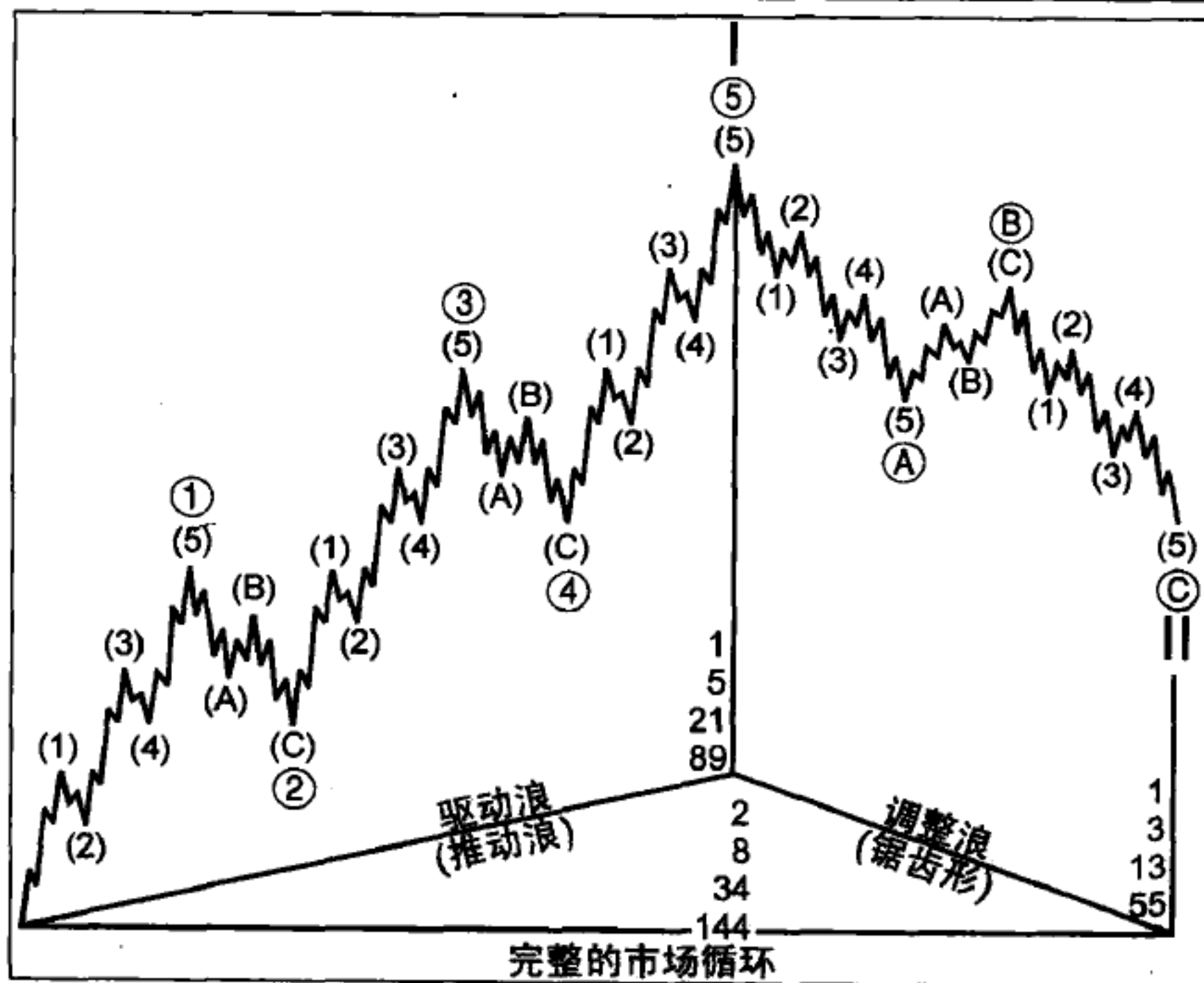


图 1-4

与图1-2和图1-3一样，图1-4也不意味着结局。如前所述，这个更大的循环自动成为下一个更大浪级波浪的两个细分浪。只要这种过程不停，向更大浪级的建造过程就不止。细分成更小浪级的相反过程显然也永不停息。因此，到目前为止我们可以确定的是，所有的波浪不仅有分量波浪，而且是分量波浪。

为什么是5-3

艾略特本人从未考虑过为什么市场的基本形态是五浪前进和三浪倒退，他只是注意到这就是所发生的事实。基本形态非得是五浪和三浪吗？考虑一下，你就会认识到，这是在线性运动中实现振荡（fluctuation）和前进的最低要求，因此也是最有效的方法。一浪不允许有振荡，创造振荡的最小细分浪是三浪。在两个方向上的（不限制规模的）三浪不允许有前进，纵使有倒退期，要朝一个方向上的前进，主要趋势上的运动就必须至少是五浪，这不仅比三浪的涵盖更广，而且仍然包含了振荡。尽管可能有比这更多的波浪，但是分段前进的最有效形式是5-3，而且自然界典型地遵循最有效的途径。

浪级：符号与名称

所有的波浪都可按相对规模或称浪级来分类。一个波浪的浪级取决于它相对于分量波浪、相邻波浪和环绕波浪的规模和位置。艾略特命名了九个浪级，从在小时走势图上可辨认出的最小波浪，直到他从当时的有效数据中可以假定的最大浪。他为这些浪级由最大到最小选择了以下的名称：甚超级循环浪（grand supercycle）、超级循环浪（supercycle）、循环浪（cycle）、大浪（primary）、中浪（intermediate）、小浪（minor）、细浪（minute）、微浪（minuette）、亚微浪（subminuette）。循环浪细分成大浪，大浪细分成中浪，中浪再依次细分成小浪和亚小浪。这个特定

的命名法并不是辨别浪级的关键，尽管还不太习惯，但今天的实践者已经开始适应艾略特的专门用语了。

在图形上标示各个波浪时，有必要采用某个方案来区分在市场前进中的波浪的浪级。我们已经将一系列包含数字和字母的标识标准化了，如下表所示，它们有先前的标识所缺乏的几个优点。这些标识在两个方向上无限延伸。它基于一种易于记忆的重复。驱动浪用三套罗马字符和随后的三套阿拉伯字符交替标示。相似地，调整浪的标识在三套大写字母和三套小写字母之间交替更换。最后，罗马字符在小浪级以下是小写，而在小浪级以上是大写，这样对走势图的迅速一瞥就能在它的时间刻度上揭示某种全景。（本书中的几幅走势图偏离了这个标准，因为它们是在采用该标准之前构建的。）[⊖]

浪级	顺势的五浪 (↑下一套是阿拉伯字符)					逆势的三浪 (↑下一套是大写字母)		
甚超级循环浪	①	②	③	④	⑤	Ⓐ	Ⓑ	Ⓒ
超级循环浪	(I)	(II)	(III)	(IV)	(V)	(a)	(b)	(c)
循环浪	I	II	III	IV	V	a	b	c
大浪	①	②	③	④	⑤	Ⓐ	Ⓑ	Ⓒ
中浪	(1)	(2)	(3)	(4)	(5)	(A)	(B)	(C)
小浪	1	2	3	4	5	A	B	C
细浪	①	②	③	④	⑤	Ⓐ	Ⓑ	Ⓒ
微浪	(i)	(ii)	(iii)	(iv)	(v)	(a)	(b)	(c)
亚微浪	i	ii	iii	iv	v	a	b	c
		(↓下一套是阿拉伯字符)					(↓下一套是大写字母)	

对于科学家来说，最理想的形式通常是像 1_1 、 1_2 、 1_3 、 1_4 、 1_5 等这样的东西——用下标来表示浪级，但是在图形上阅读大量这样的符号非常困难。相比之下，上面的标准是为了给迅速的视觉定位做准备。

重要的是要理解，这些名称和标识指可明确区分的浪级。通过使用某种命名方法，分析人士就可以精确确定一个波浪在股市整体前进中的位置，这很像用经度和纬度来确定地理位置。说“道琼斯工业股平均指数

⊖ 在中文版中，译者已根据新标准重新绘制了这些走势图。——译者注

处在目前甚超级循环浪中的超级循环浪(V)中的循环浪I中的大浪⑤中的中浪(3)中的小浪1中的细浪v中”，就可以确定市场历史前进中的一个明确的位置。

所有的波浪都有一个特定的浪级。然而，要精确辨别一个正在发展中的波浪——尤其是处于一波新浪起始位置的子浪——的浪级是不太可能的。浪级不是基于特定的价格或时间长度，而是基于形态，形态是价格和时间的作用。幸运的是，精确的浪级通常与成功预测无关，因为相对浪级才最要紧。知道一轮大涨势即将来临比知道它的精确名称更重要。后来的各种事件总能使浪级清晰明了。

波浪的功能

每一浪都具有这两个功能之一：作用（action）或反作用（reaction）。明确地讲，一个波浪既可推进更大一级波浪的目标，又可打断它。波浪的功能取决于其相对方向。一个作用浪或顺势浪是与其作为其中一部分的大一浪级波浪同向运动的任何波浪；一个反作用浪或逆势浪是所有与其作为其中一部分的大一浪级波浪反向运动的任何波浪。作用浪用奇数和字母标示（例如，图1-2中的浪1、3、5、a和c）。反作用浪用偶数和字母标示（例如，图1-2中的浪2、4和b）。

所有反作用浪以调整方式发展。如果所有的作用浪都以驱动浪的形式发展，那就不需要不同的名称了。事实上，大多数作用浪的确细分成五浪。但是，正如后续部分揭示的那样，少数作用浪以调整方式发展，也就是它们细分成三浪或三浪的变体。要分清作用功能同驱动方式之间的差别，必须掌握波浪模式结构的细节知识，这在图1-1至图1-4所示的基本模型中是难以区分的。彻底理解本章后面详细论述的各种波浪形态，可以阐明我们为什么要把这些名称引入到艾略特波浪的词汇里。

基本主题的各种变体

如果上述基本结构就是对市场行为的完整刻画，那波浪理论就太容易应用了。不知是有幸还是不幸，现实世界却没有这么简单。尽管像市场或人类经历的循环性这种观念意味着精确的重复，但波浪的概念允许无穷的变化，这些变化实际上很突出。本章的其余部分讨论了市场实际是如何表现的。这也是艾略特打算描述的，而且他做得很成功。

对于基本的主题，的确存在几个特定的变化，艾略特对此做了认真仔细的说明和图解。他还注意到这个重要的事实，即每种模式都有可以辨别的必要条件和趋向。从这些观察中，他得以为合理的波浪识别建立起大量的规则和指导方针。彻底理解这些细节，对于理解市场所能为，以及至少同等重要的市场所不为来说是必不可少的。

第2章和第4章介绍了合理波浪研判的若干指导方针。如果你不想成为市场分析人士，或是担心在技术细节中越陷越深，那就浏览下一段内容，然后直接跳到第3章。熟读下面对波浪理论的高度概括，应当可以确保你至少会认得后面几章中提到的概念和名称是波浪理论的必要成分。

补充技术方面的概要

从现在至第2章详细讨论的各种波浪的补充技术方面尽可能简要地叙述如下：大多数驱动浪以推动浪（impulse wave）的形态出现，也就是那些在图1-1至图1-4中显示的五浪模式，其中的子浪4没有与子浪1重叠，而且子浪3也不是最短的子浪。推动浪通常可用平行线划出边界。推动浪中的一个驱动浪，也就是浪1、3或5，通常会延长，也就是远比其他两个浪长。驱动浪有两种少见的变体，称做倾斜三角形（diagonal triangle），它们是楔形模式，一种情况下只出现在更大一级浪的开始（浪1或A），而另一种情况下只出现在更大一级浪的结尾（浪5和C）。调整浪有许多变体，最主要的称做锯齿形（它就是图1-2、1-3和图1-4中的那种）、平台形和三角形（它的标识包括字

母D和E)。这三种简单调整模式可以串在一起，形成更复杂的调整浪（其分量标示成W、X、Y和Z）。在推动浪中，浪2和4的形态几乎总是交替，此时一个调整浪通常属于锯齿形家族，而另一个则不是。各种调整通常在先前同一浪级推动浪的浪4范围内结束。每一浪都表现出特有的成交量行为，以及用伴随的动量和投资者情绪表示的“个性”。

一般读者现在可跳到第3章。对于那些想要学习各种细节的读者，让我们把注意力转移到波浪形态的细节上。

详细分析

驱动浪

驱动浪细分成五浪，而且总是与大一浪级的趋势同向运动。它们简洁明了，相对容易认出和研判。

在驱动浪中，浪2总是回撤不了浪1的100%，而且浪4总是回撤不了浪3的100%。此外，浪3总会运动得超过浪1的终点。驱动浪的目的是产生前进，这些形成规则确保了前进的发生。

艾略特进一步发现，就价格而言，浪3常常是驱动浪的三个作用浪（浪1、3和5）中最长的，而且也永远不是最短的一浪。只要浪3经历了比浪1或5更大百分比的运动，这个规则就满足。这条规则在算术刻度上也几乎总是成立。有两种类型的驱动浪：推动浪和倾斜三角形浪。

推动浪

最常见的驱动浪是推动浪。在推动浪中，浪4没有进入浪1的区域（也就是，“重叠”）。这个规则对所有无杠杆作用的“现货”市场都有效。期货市场，由于它们极大的杠杆效应，可以产生在现货市场中不会出现的短期价格极端。但即便如此，重叠现象通常也限于日价格波动和日内价

格波动，而且这样的情形也极少见。此外，推动浪中的作用子浪（1、3和5）本身也是驱动浪，而且子浪3明确会是一个推动浪。图1-2、图1-3和图1-4全都说明了浪1、3、5、A和C位置上的推动浪。

正如先前的三张图详细说明的那样，正确研判推动浪仅有几条简单的规则。规则，这样称是由于它支配所有它应用到的波浪。各种波浪的典型特征，而不是必然特征称为指导方针（guideline）。从下面开始到第2章和第4章，我们将讨论推动浪构造的指导方针，包括延长浪（extension）、衰竭（truncation）、交替（alternation）、等同（equality）、通道（channeling）、个性（personality）和各种比率关系（ratio relationship）。有一条规则不容忽视。在多年对无数波浪模式的实践中，本书作者仅发现在亚微浪级以上有一处情况，此时其他所有的规则和指导方针合起来表明一条规则被打破了。频繁打破本节详述的各种规则的分析人士，是在实践某种与波浪理论所指导的不同的分析形式。这些规则在正确数浪中有着重要的实践作用，对此我们将在讨论延长浪时进一步研究。

延长浪

大多数推动浪包含艾略特所称的延长浪。延长浪是被扩大的细分浪拉长了的推动浪。绝大多数推动浪的三个作用子浪中包含一个，也仅包含一个延长浪。在许多时候，延长浪的各个细分浪与大一浪级推动浪的其他四浪有着几乎相同的幅度和持续时间，对于这个波浪序列就给出了规模相似的九个浪，而不是通常数出的“五浪”。在一个九浪序列中，有时很难区分哪一浪延长了。不过这没有多大关系，因为在艾略特体系中，九浪计数和五浪计数有着相同的技术意义。图1-5中的各种延长浪将阐明这一点。

延长浪通常只在一个作用子浪中出现的事实，给即将到来的各个波浪的预期长度提供了有用的指南。比如，如果第一浪和第三浪的长度大致相同，那么第五浪就可能成为一个延长了的巨浪。相反地，如果第三浪

延长了，那么第五浪就必然结构简单，而且与第一浪类似。

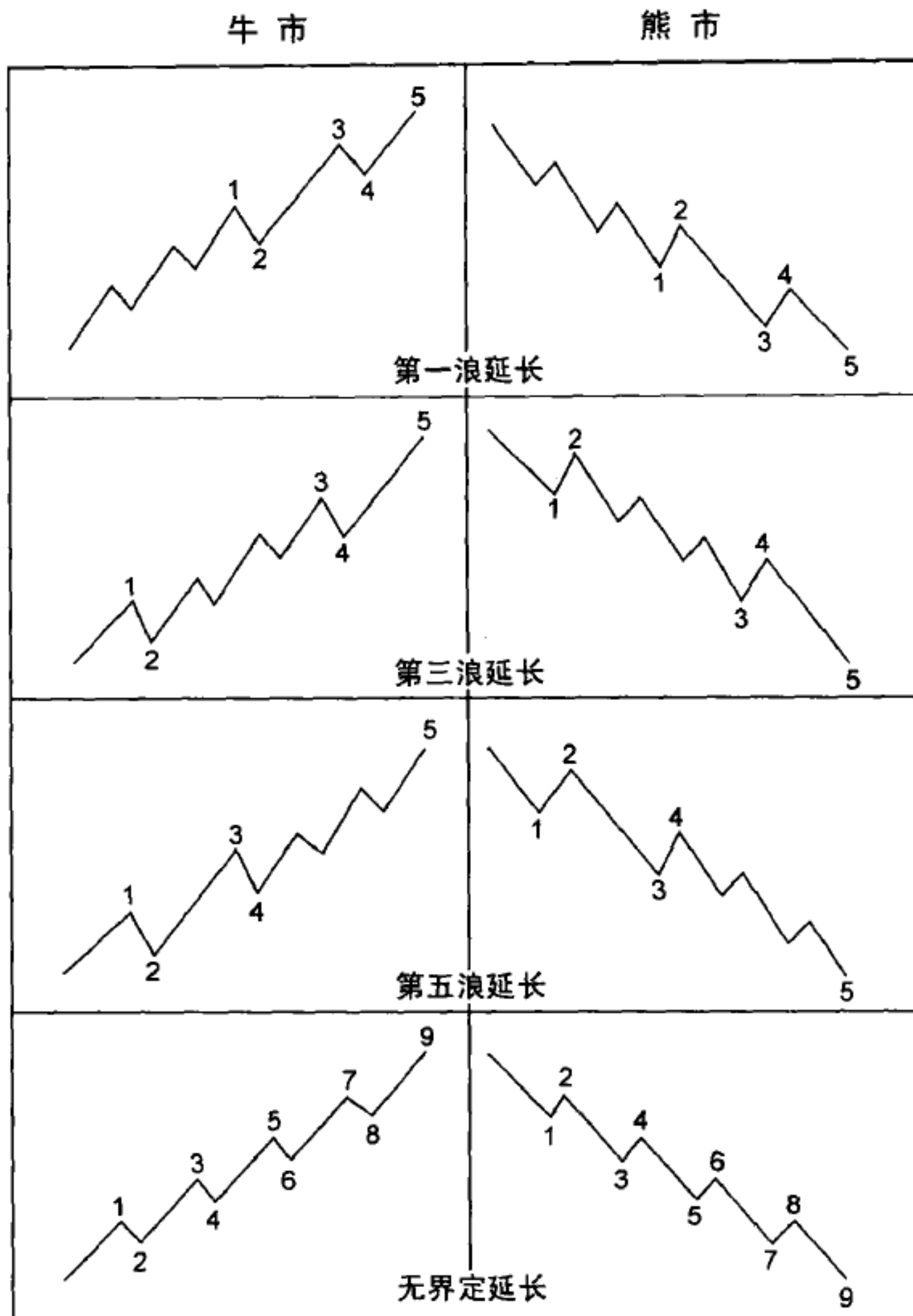


图 1-5

在股票市场中，最常见的延长浪是浪3。如果与推动浪的两条规则：浪3永远不是最短的作用浪，和浪4不会与浪1重叠，结合起来考虑，这个事实在实际的波浪研判中尤其重要。为了阐明这点，让我们假设两种包含了一个不合理的中间浪的情况，如图1-6和图1-7所示。

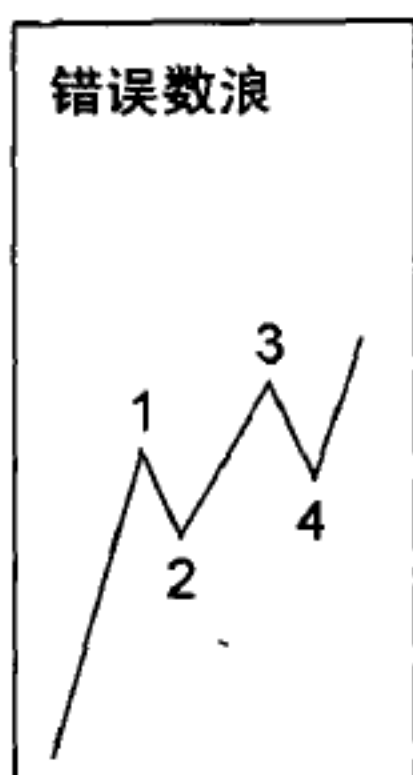


图 1-6

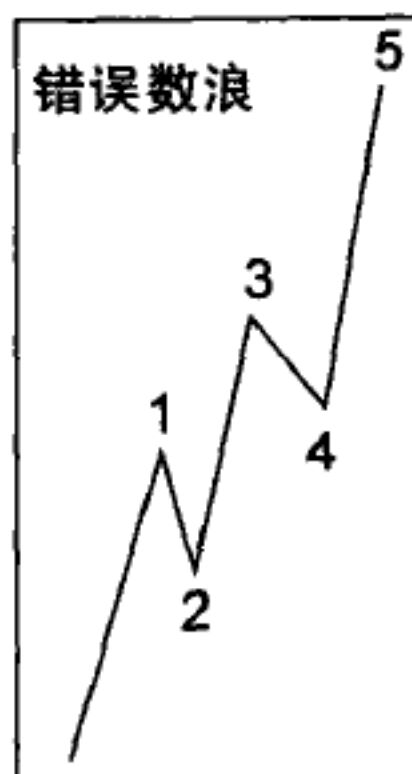


图 1-7

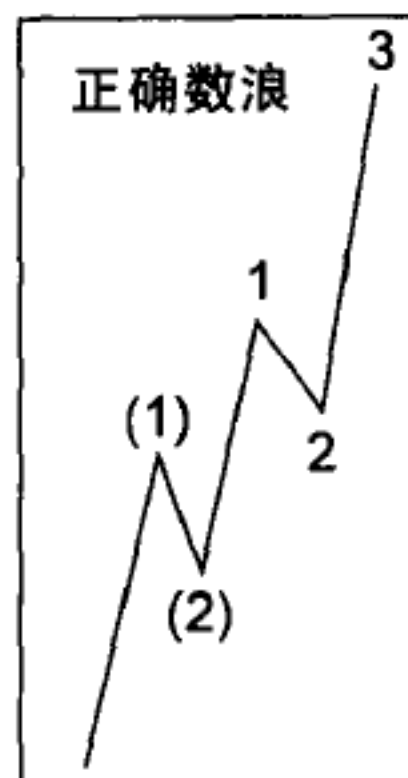


图 1-8

在图1-6中，浪4与浪1的顶部重叠。在图1-7中，浪3既比浪1短，又比浪5短。根据规则，哪个都不是可以接受的标示法。一旦明显的浪3证实无法接受，就应当用某种可接受的方法重新标示。事实上，它总是像图1-8中显示的那样标示，这意味着延长了的浪(3)在形成之中。养成标示第三浪延长的早期阶段的习惯，不要迟疑。正如你会从“波浪个性”（见第2章）的讨论中理解的那样，这样做证明是很值得的。图1-8可能是本书中唯一最有用的推动浪的实际计数指导。

延长浪中也会出现延长浪。在股票市场中，延长了的第三浪中的第三浪通常也是延长浪，这就产生了图1-9中所示的外形。实际的例子在图5-5中显示。图1-10解释了第五浪延长中的第五浪延长。除了在商品的牛市中之外（见第6章），延长的第五浪确实少见。

衰竭

艾略特用“失败”一词来描述第五浪未能运动得超过第三浪终点的情况，但我们喜欢更明确的名称：“衰竭”，或“衰竭的第五浪”。衰竭通常可以通过注意假设的第五浪包含必需的五个子浪来检验，如图1-11和图1-12所示。衰竭通常出现在超强的第三浪之后。

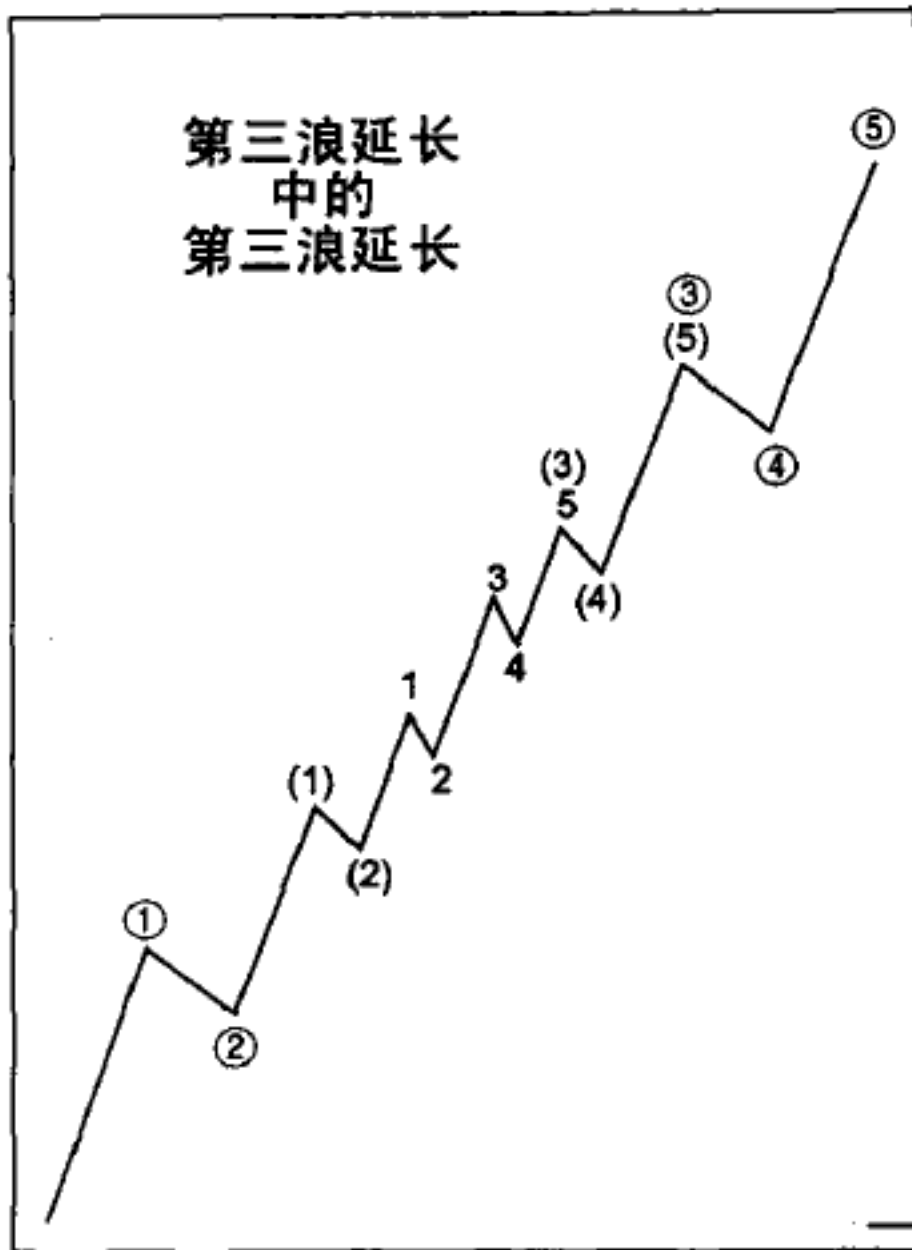


图 1-9

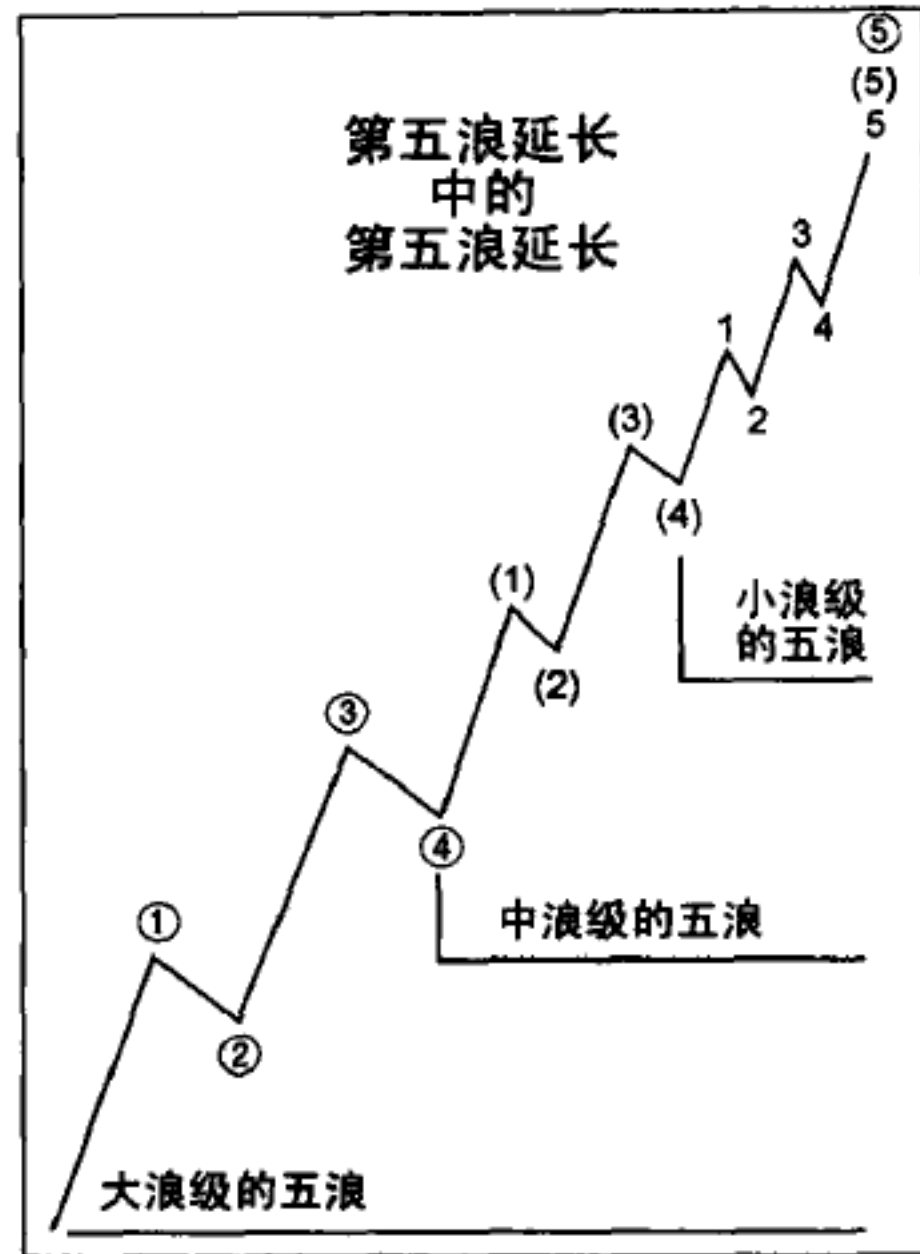


图 1-10

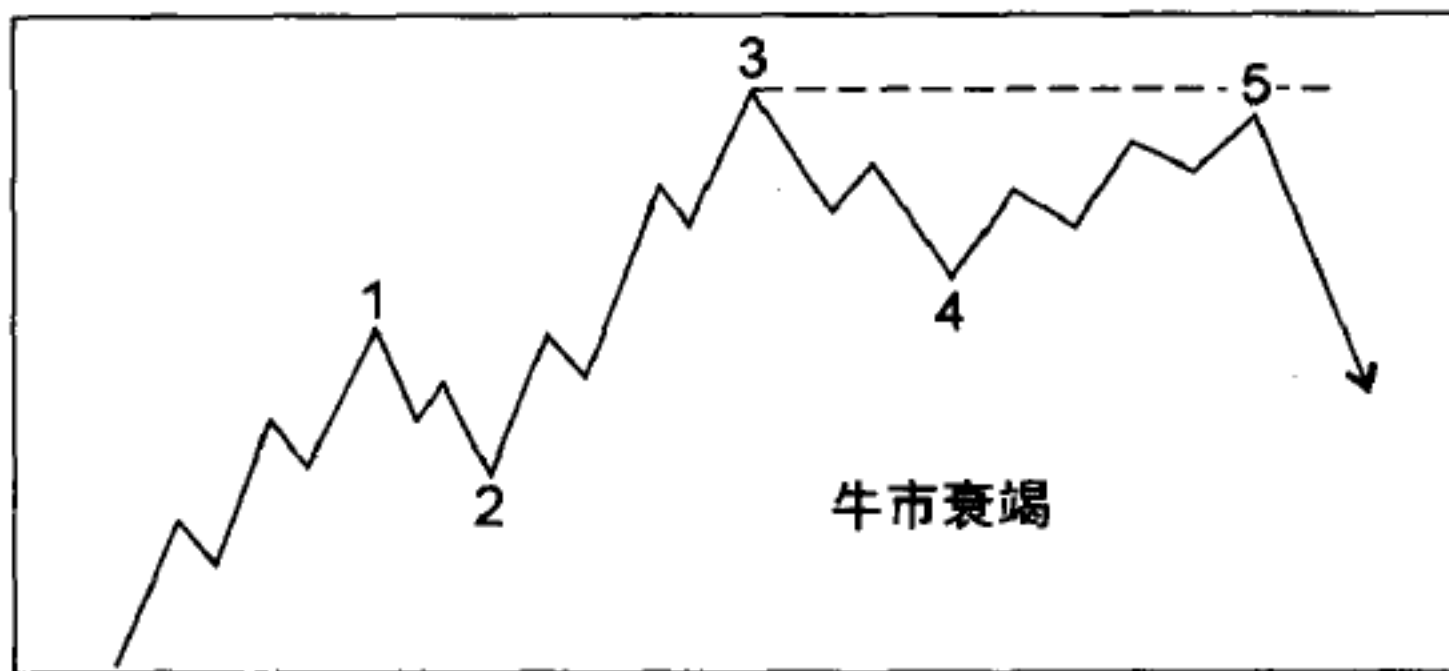


图 1-11

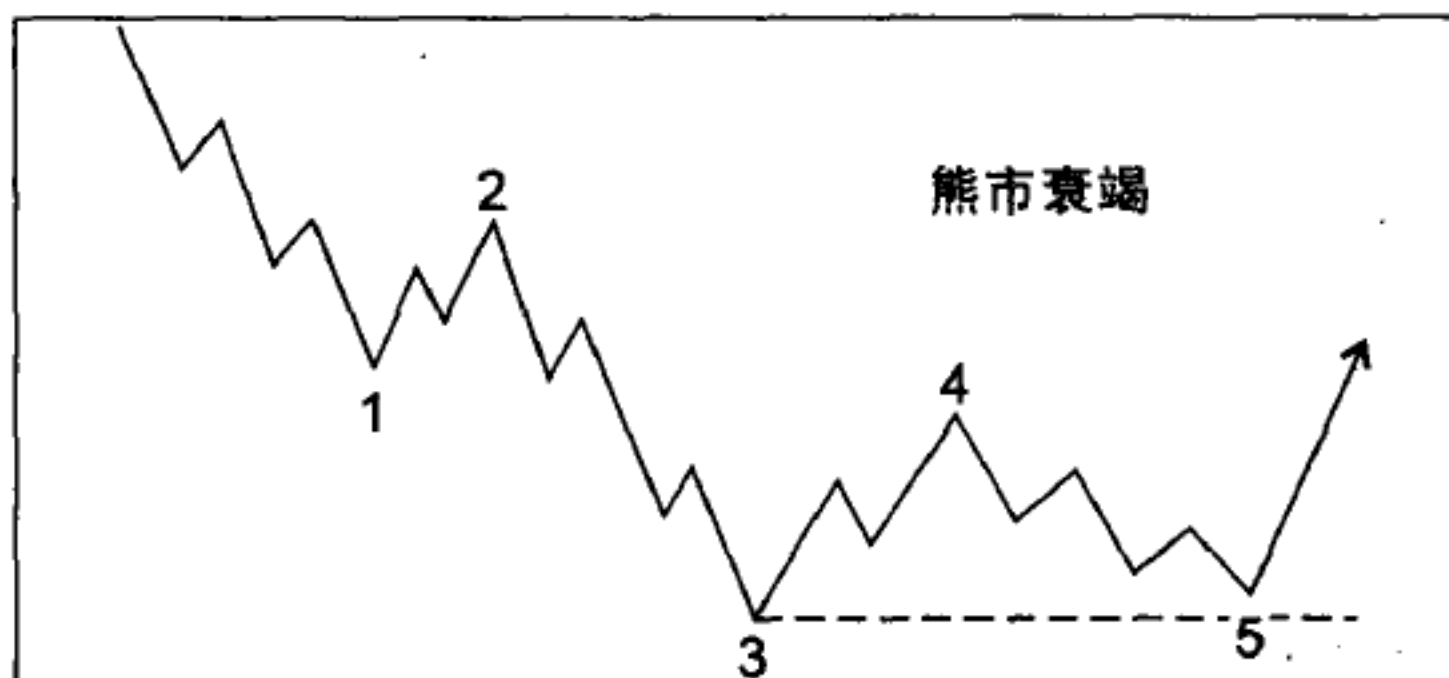


图 1-12

1932年以来，美国股市提供了两例主要浪级的衰竭第五浪的例子。第一例出现在古巴危机（Cuban crisis）[⊖]时的1962年10月（见图1-13），它跟随在以浪3出现的大跌之后。第二例出现在1976年末（见图1-14），它跟在1975年10月~1976年3月出现的飙升的广泛性浪(3)之后。

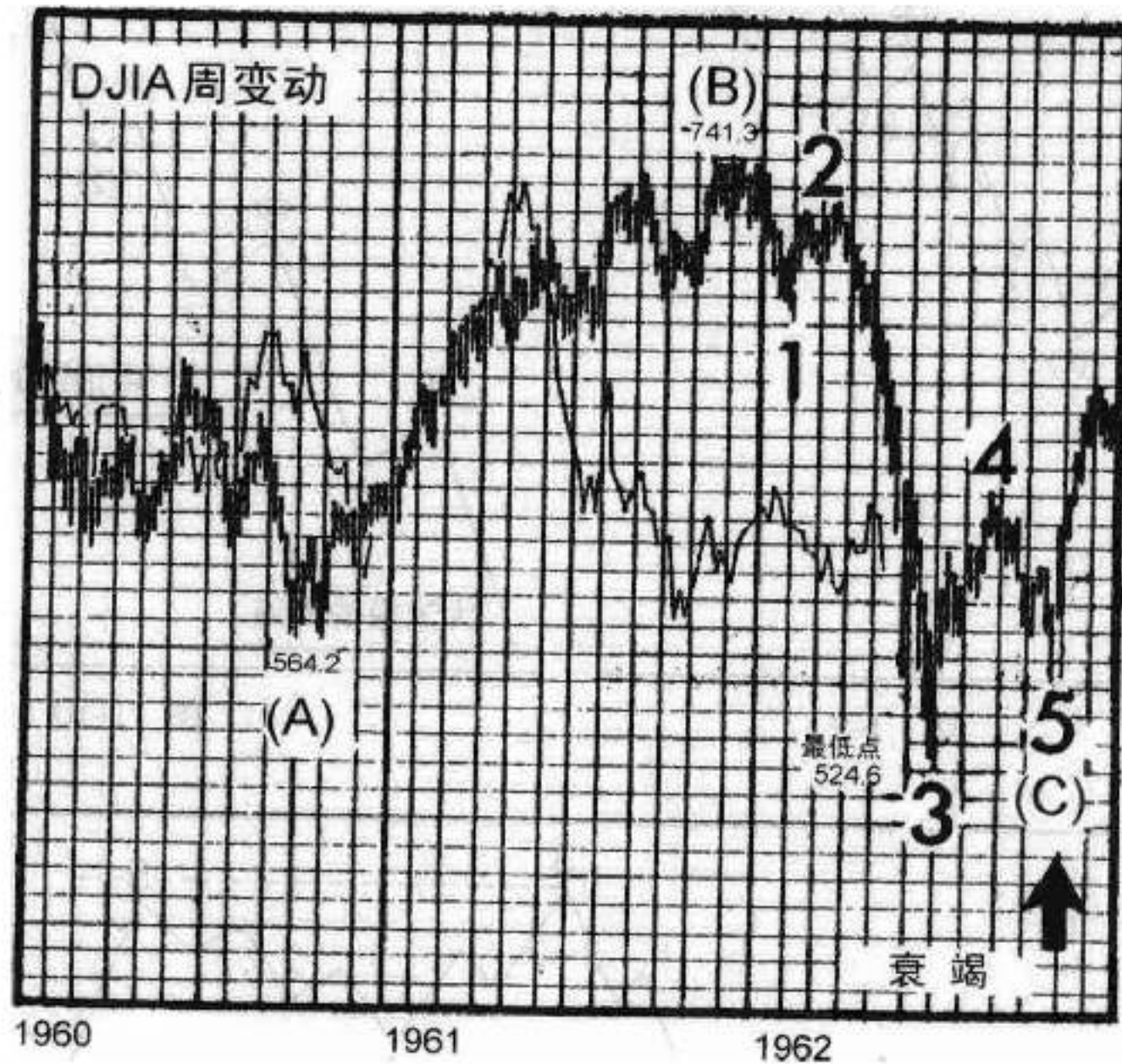


图 1-13

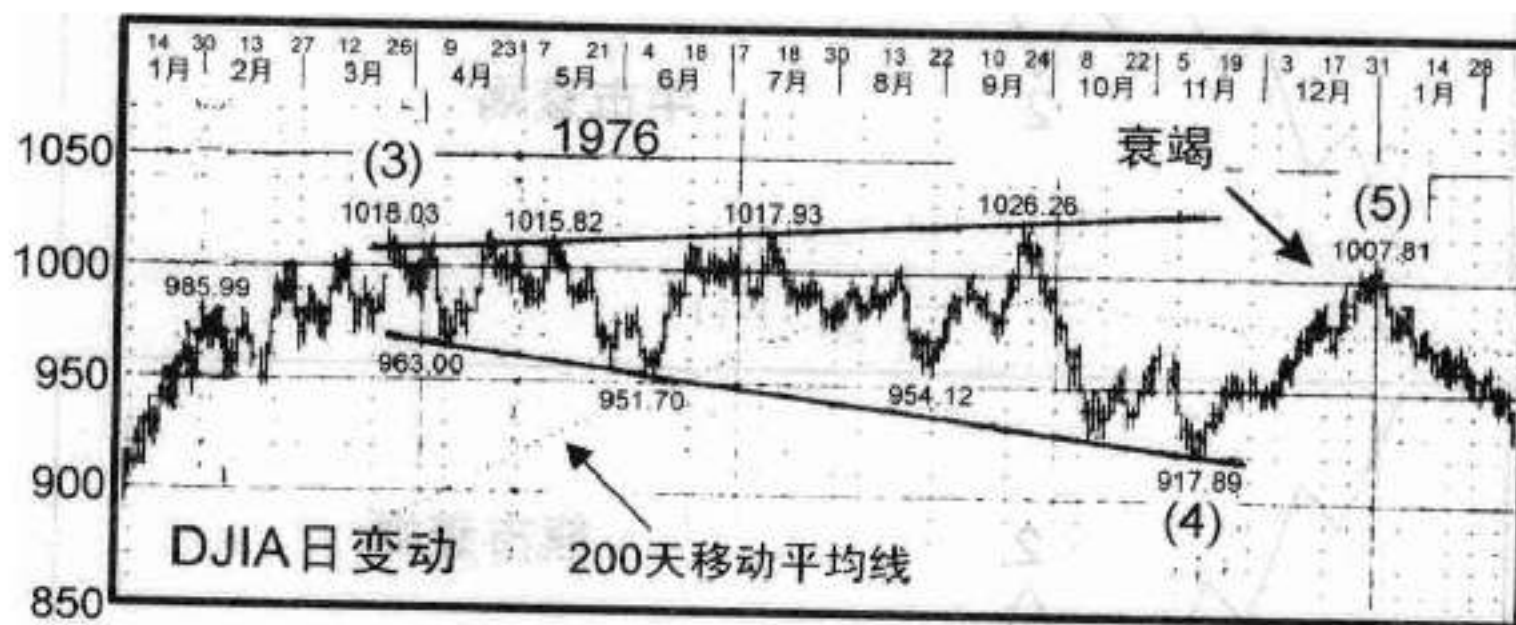


图 1-14

倾斜三角形（楔形）

倾斜三角形是一种驱动模式，但不是推动浪，因为它有一两个调整特

⊖ 又称古巴导弹危机。1962年10月苏联在古巴建立导弹基地引起苏、美两国在加勒比海地区的尖锐冲突。——译者注

征。在波浪结构中，倾斜三角形会在特定的位置代替推动浪。同推动浪一样，在倾斜三角形中，没有哪个反作用子浪会完全回撤掉先前的作用子浪，而且第三子浪也永远不是最短的一浪。然而，倾斜三角形是唯一一种在主要趋势方向上的五浪结构，其中的浪4总会进入（也就是重叠）浪1的价格领地。在极少数情况下，倾斜三角形会在衰竭中结束，尽管根据我们的经验，这种衰竭只会以微不足道的幅度出现。

终结倾斜三角形

终结倾斜（ending diagonal）三角形是一种特殊类型的波浪，它主要出现在第五浪的位置上，正如艾略特说的那样，有时它先前的运动已经走得“太快太远了”。很小百分比的终结倾斜三角形出现在A-B-C结构的C浪位置上。在双重三浪和三重三浪中（见下一节），它们仅作为最后的C浪出现。在任何情况下，它们总能在较大浪级模式的终点找到，这标志着较大浪级的波浪运动的竭尽。

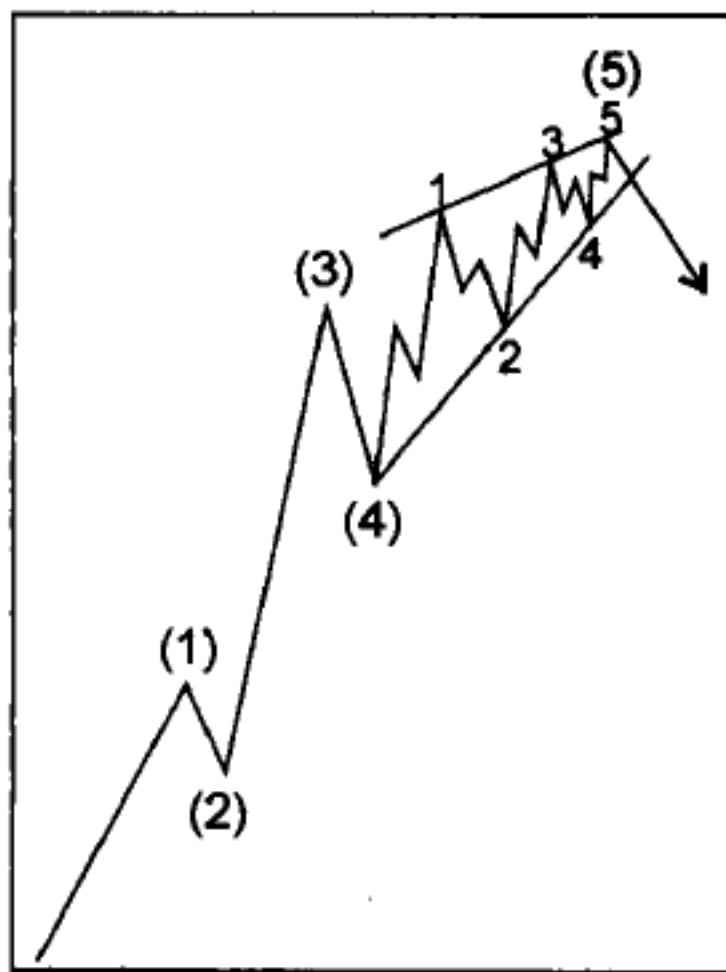


图 1-15

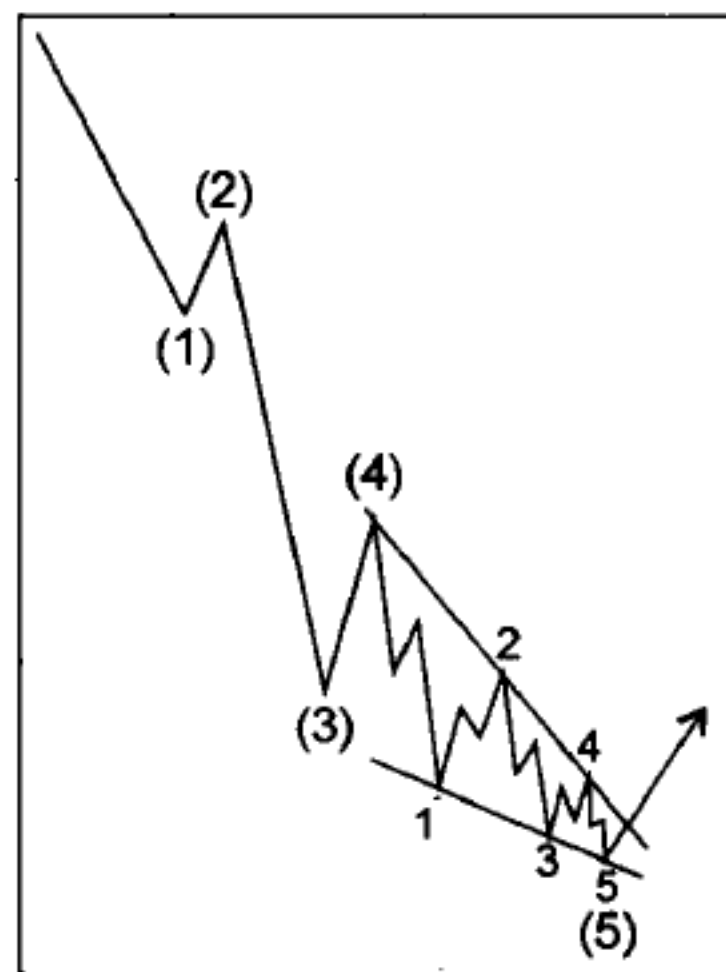


图 1-16

终结倾斜三角形呈两条会聚线内的楔形。它的每一个子浪，包括浪1、3和5，都细分成了“三浪”——在其他地方是一种调整浪的现象，这从头到尾产生一个3-3-3-3-3的波浪计数。终结倾斜三角形在图1-15和图1-16

中得到解释，并显示在了它在较大浪级推动浪中的典型位置上。

我们已经发现一种情况，此时模式的边界线是发散的，这产生了一个扩散的而不是会聚的楔形。这在分析上有些别扭，因为它的第三浪是最短的作用浪，整体构造比正常的大，而且还可能存在其他研判。出于这些原因，我们不把它作为一种有效的变体放入。

终结倾斜三角形已经出现在1978年初的小浪中、1976年2~3月的细浪中，以及1976年6月的亚微浪中。图1-17和图1-18显示了其中的两个时期，它们说明了一个上升和一个下降的“实际”构造。图1-19是实际可能的扩散倾斜三角形。注意在每个情形中，重要的方向变化跟在后面。

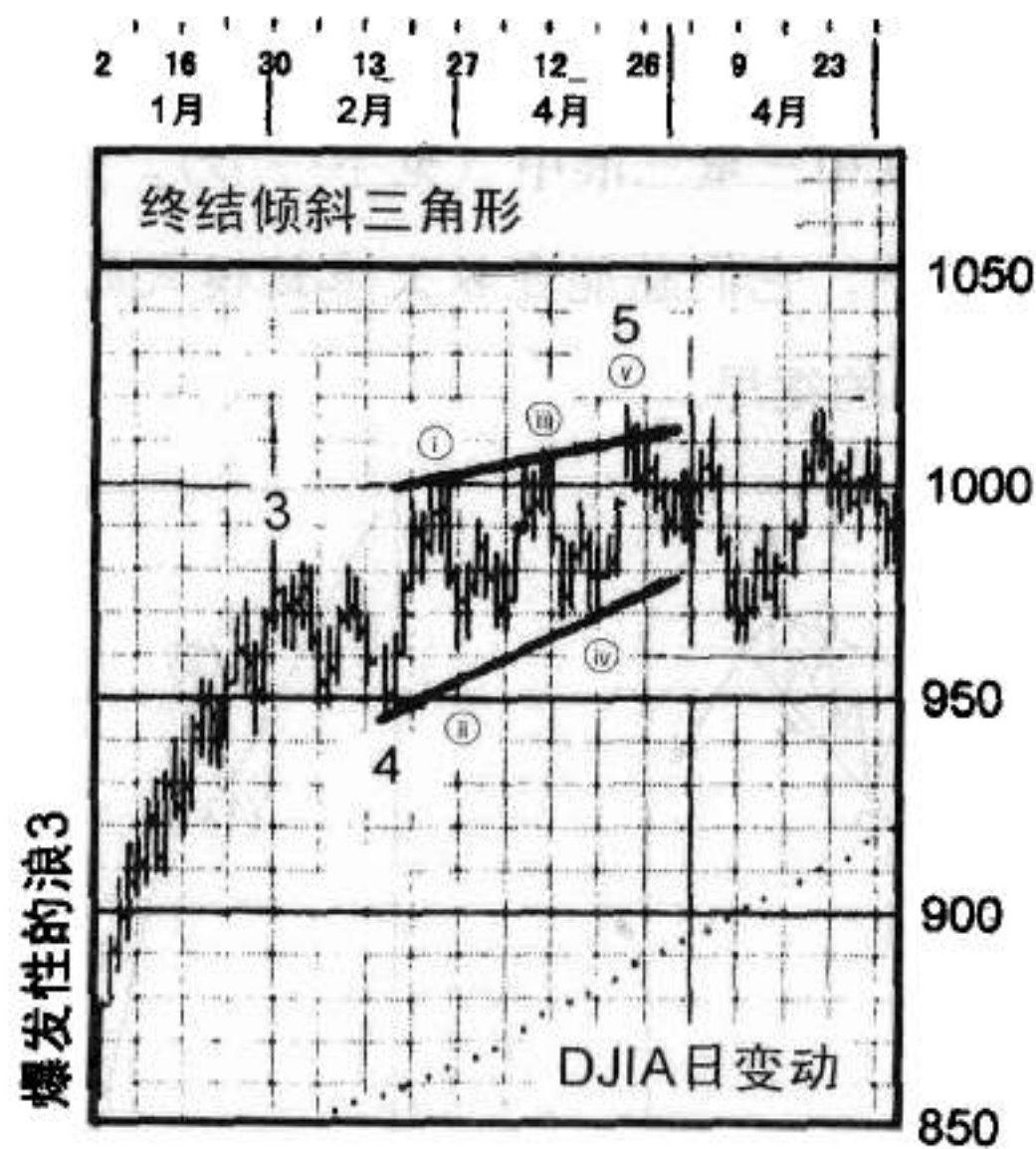


图 1-17

尽管没有在图1-15和图1-16中解释太多，但是倾斜三角形的第五浪通常在“翻越”（throw-over）中结束，也就是对连接浪1和浪3的终点的趋势线的短暂突破。图1-17和图1-19中的实际例子显示了翻越。尽管在浪级较小的前进中的倾斜三角形中，成交量往往逐渐减少，但在翻越发生时，这种模式总是以成交量相对较大的价格尖点（spike）结束。在极少数情况下，第五子浪会达不到它的阻力趋势线。

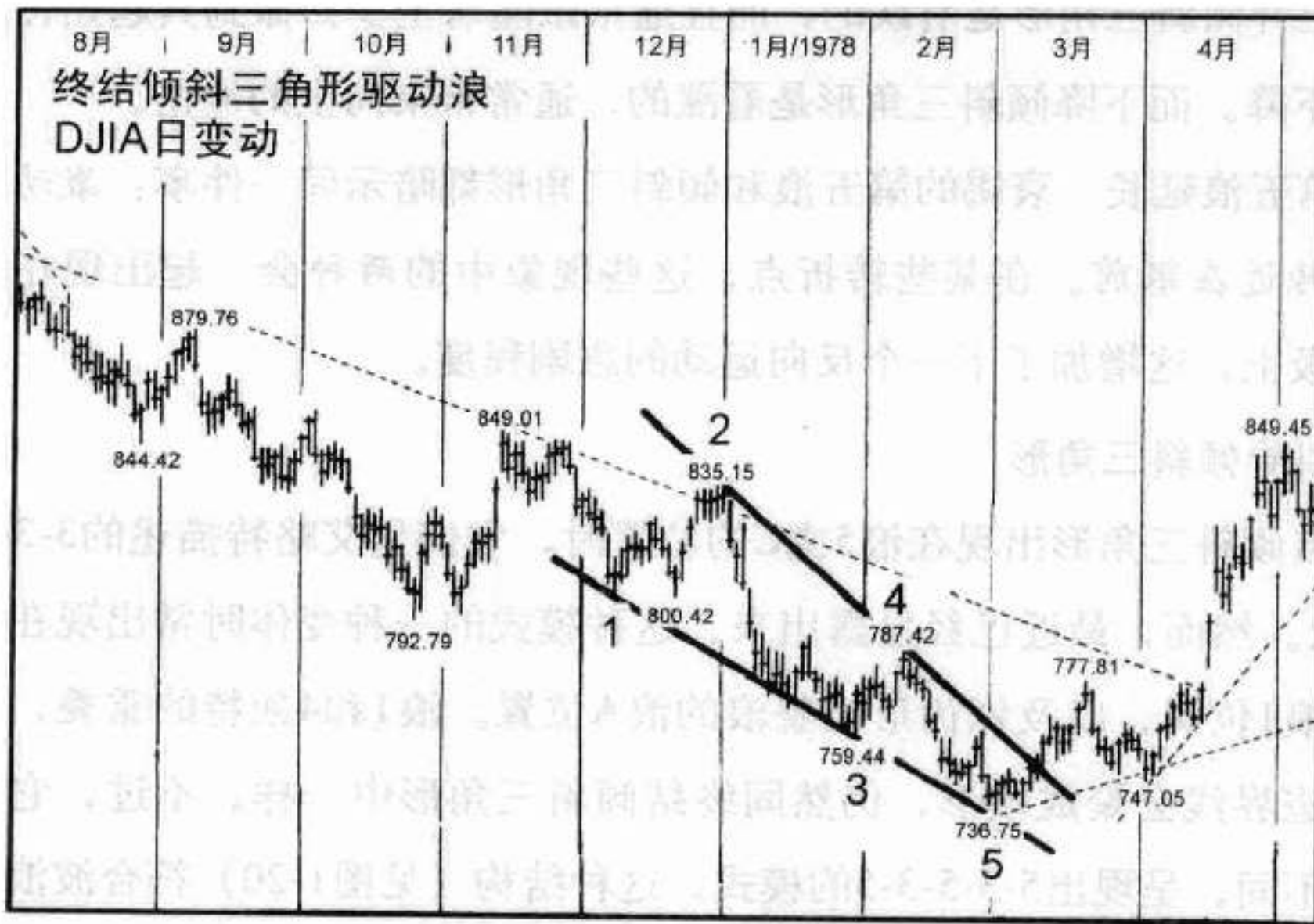


图 1-18

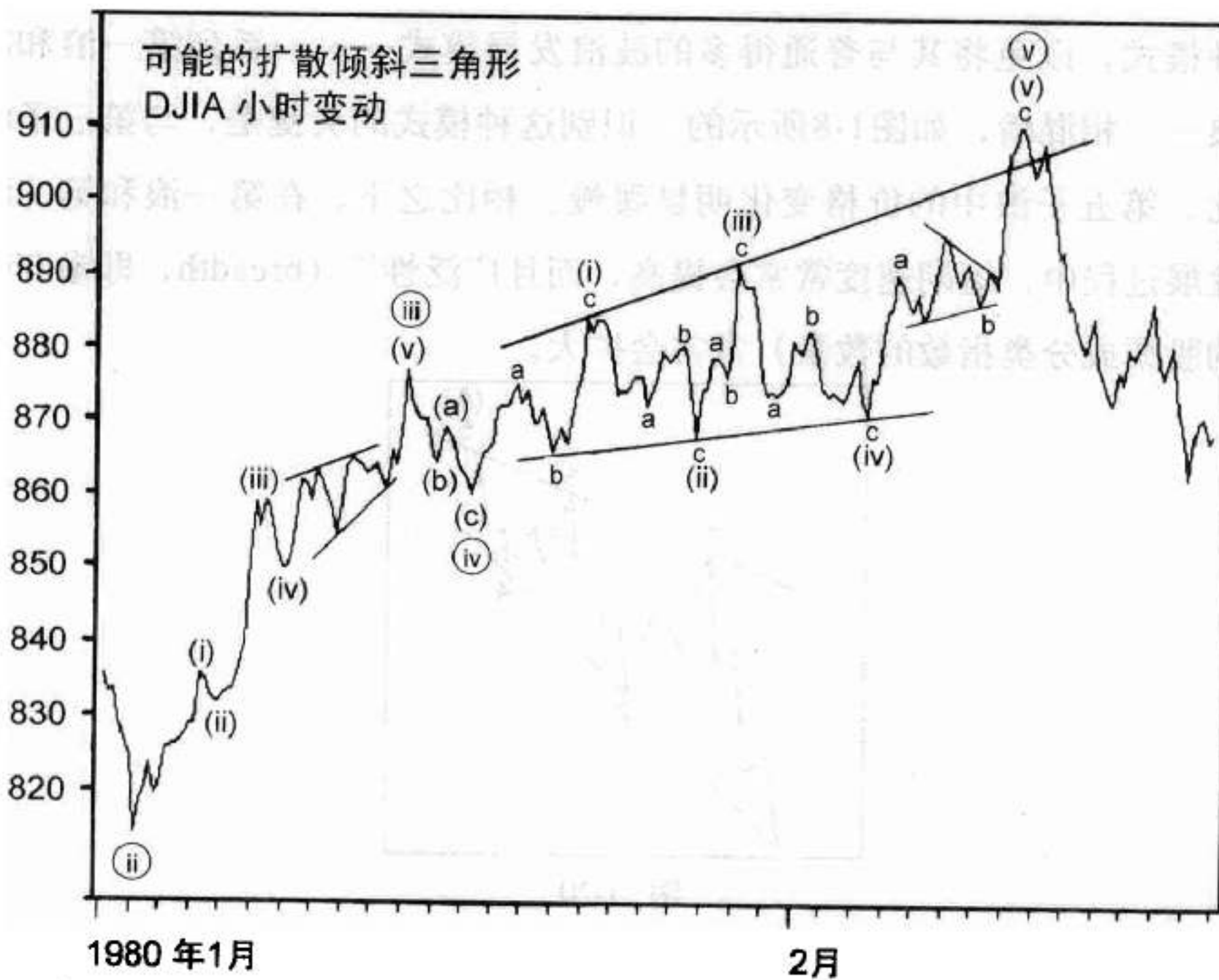


图 1-19

上升倾斜三角形是看跌的，而且通常跟随着至少回撤到其起始位置的陡直下降。而下降倾斜三角形是看涨的，通常带来向上的冲击。

第五浪延长、衰竭的第五浪和倾斜三角形都暗示同一件事：激动人心的反转近在眼前。在某些转折点，这些现象中的两种会一起出现在不同的浪级上，这增加了下一个反向运动的急剧程度。

引导倾斜三角形

当倾斜三角形出现在浪5或C的位置时，它们呈艾略特描述的3-3-3-3-3形状。然而，最近已经显露出来，这种模式的一种变体时常出现在推动浪的浪1位置，以及锯齿形调整浪的浪A位置。浪1和4独特的重叠，以及两条边界线会聚成楔形，仍然同终结倾斜三角形中一样。不过，它的细分浪不同，呈现出5-3-5-3-5的模式。这种结构（见图1-20）符合波浪理论的精神，因为作用浪的五浪细分浪传递行情“持续”的信息，而终结倾斜三角形作用浪中的三浪细分浪有“终止”的含义。分析人士应该知道这种模式，以免将其与普通得多的波浪发展模式——一系列第一浪和第二浪——相混淆，如图1-8所示的。识别这种模式的关键是，与第三子浪相比，第五子浪中的价格变化明显缓慢。相比之下，在第一浪和第二浪的发展过程中，短期速度常常会提高，而且广泛性[⊖]（breadth，即参与运动的股票或分类指数的数量）常常会扩大。

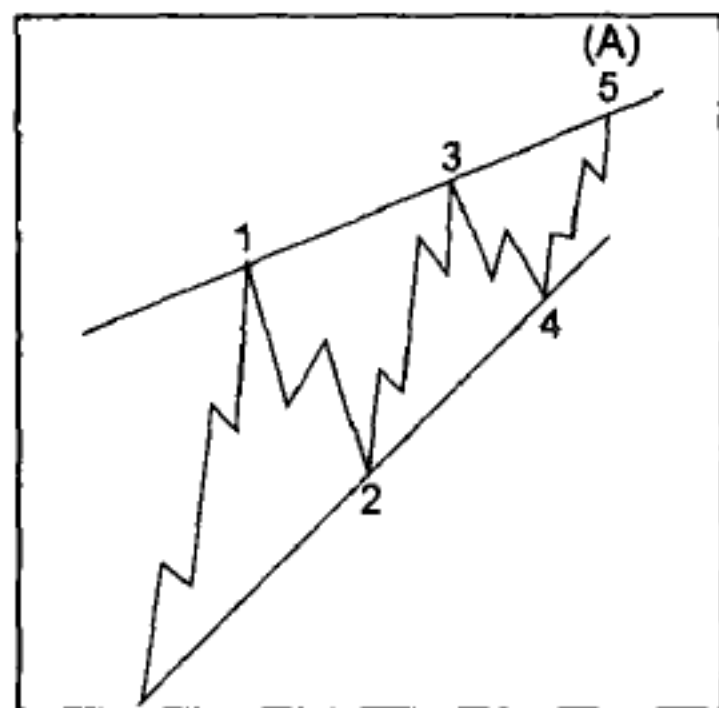


图 1-20

⊖ 如果股指上涨，但广泛性差，即实际只有少数股票参与上涨，那么这种涨势就得不到长久巩固。在分析时，通常用上涨—下跌（ADL）来表示市场的广泛性。——译者注

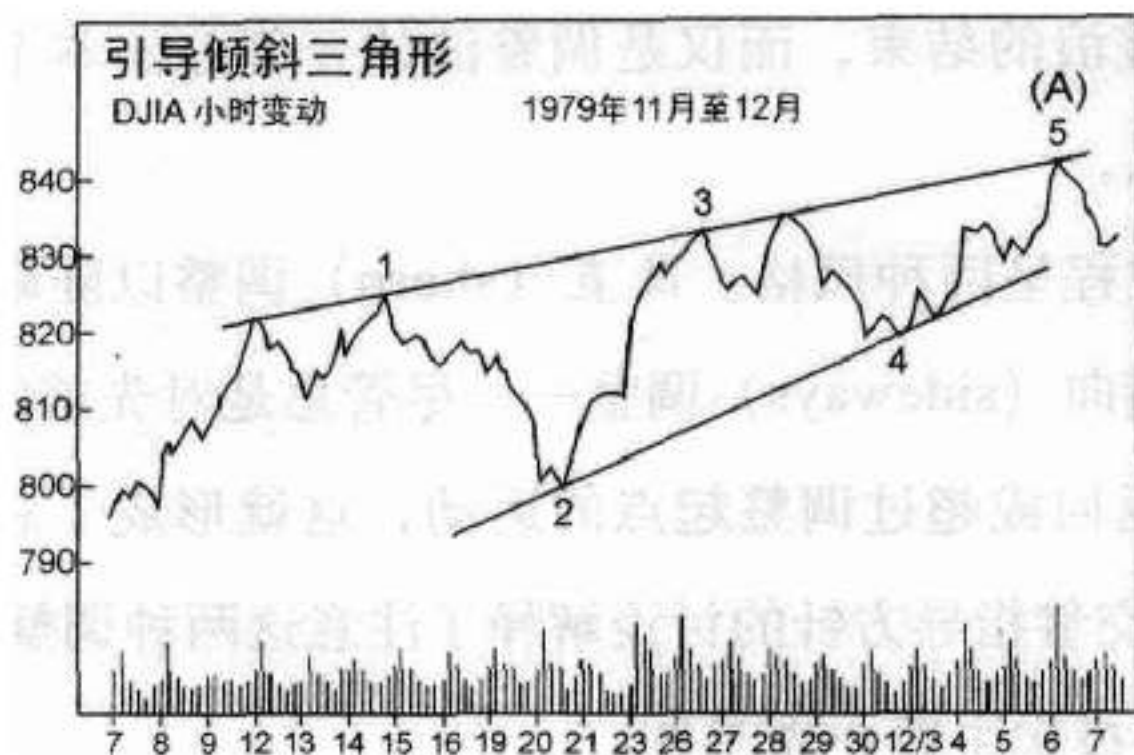


图 1-21

图1-21是实际的引导倾斜三角形 (leading diagonal)。这种模式最初不是由R. N. 艾略特发现的, 但已经出现了足够多次, 因此本书作者在相当长的时期里确信它的有效性。

调整浪

市场逆着大一浪级趋势的运动只是一种表面上的抵抗。来自更大趋势的阻力似乎要防止调整浪发展成完整的驱动浪结构。在这两个互为逆向的浪级间的搏斗, 通常使调整浪比驱动浪——总是相对轻松地沿大一浪级趋势的方向流动——不容易识别。作为这两种趋势间相互冲突的另一个结果, 调整浪的变体比驱动浪的多。而且, 调整浪在展开时, 常常会以复杂形态上升或下降, 所以技术上同一浪级的子浪, 会因其复杂性和时间跨度, 显得似乎是其他浪级的 (见图2-4和图2-5)。所有这些原因, 使得调整浪时常要到完全形成过后才能被归入各种可识别的模式中。因为调整浪的终点比驱动浪的终点难预测, 所以当市场处于一种蜿蜒调整的状态时, 你必须在分析中比市场处于持续驱动趋势中时发挥更多的耐心和灵活性。

从对各种调整模式的研究中, 唯一可以发现的重要原则是调整浪永远不会是五浪。只有驱动浪是五浪。因此, 与更大趋势反向运动的最初五

浪永远不是调整浪的结束，而仅是调整浪的一部分。本节中所有的示图都将说明这一点。

各种调整过程呈两种风格。陡直 (sharp) 调整以陡峭的角度与更大的趋势相逆。横向 (sideways) 调整——尽管总是对先前的波浪产生净回撤，通常包含返回或超过调整起点的运动，这就形成了总体上横走的样子。第2章中对交替指导方针的讨论解释了注意这两种调整风格的原因。

明确的调整模式主要分成四类：

锯齿形 (zigzag) (5-3-5；包括三种类型：单锯齿形、双锯齿形和三锯齿形)；

平台形 (flat) (3-3-5；包括三种类型：普通平台形、扩散平台形和顺势平台形)；

三角形 (triangle) (3-3-3-3-3；有四种类型：三种收缩的变体 (上升三角形、下降三角形和对称形) 和一种扩散的变体 (反对称形))；

联合形 (combination) (有两种类型：双重三浪 (double three) 和三重三浪 (triple three))。

锯齿形 (5-3-5)

牛市中的单锯齿形调整浪是一种简单的三浪下跌模式，标示为A-B-C。其子浪序列是5-3-5，而且浪B的顶点应明显比浪A的起点低，如图1-22和图1-23所示。

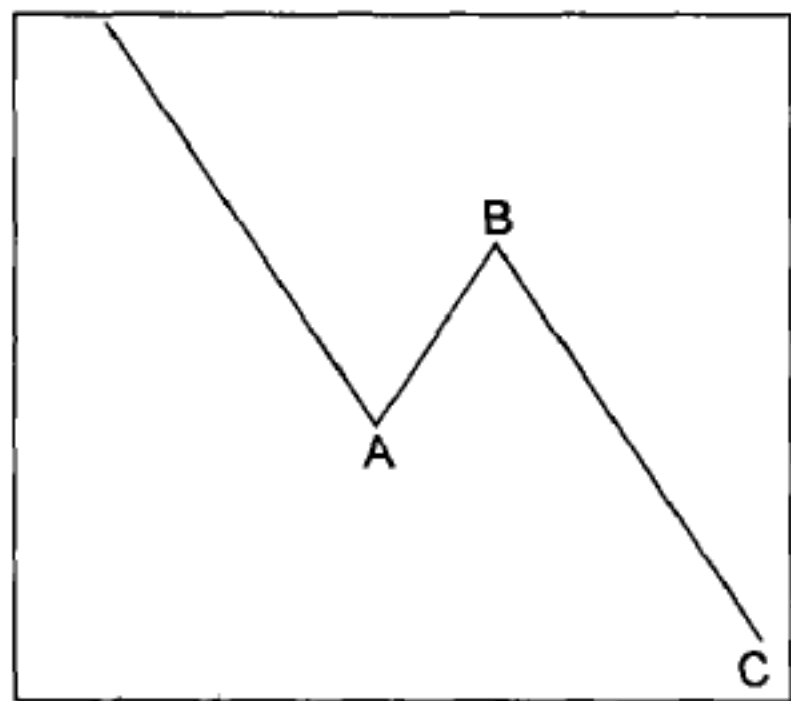


图 1-22

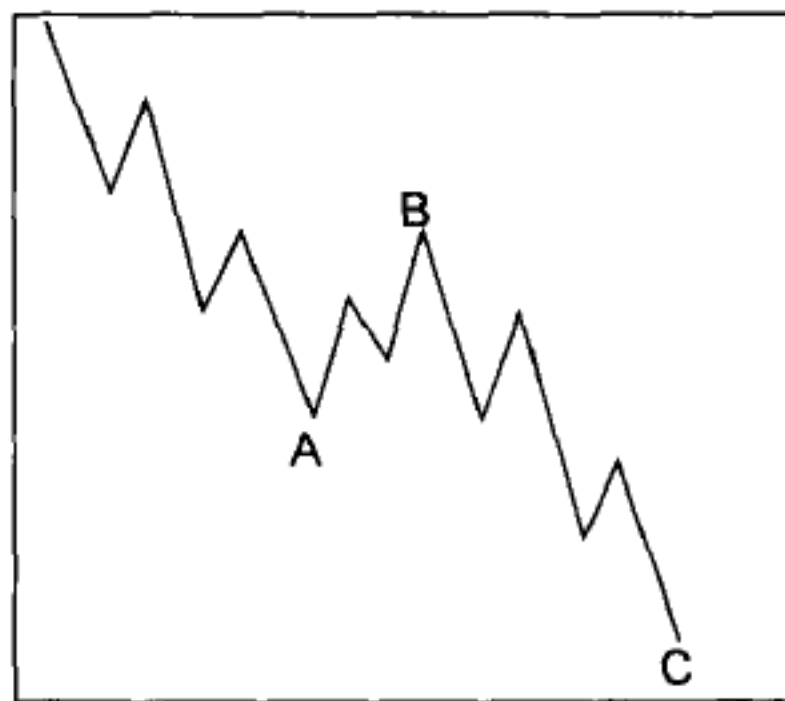


图 1-23

在熊市中，锯齿形调整浪发生在相反的方向上，如图1-24和图1-25所示。因此，熊市中的锯齿形调整浪常常被称为倒锯齿形调整浪。

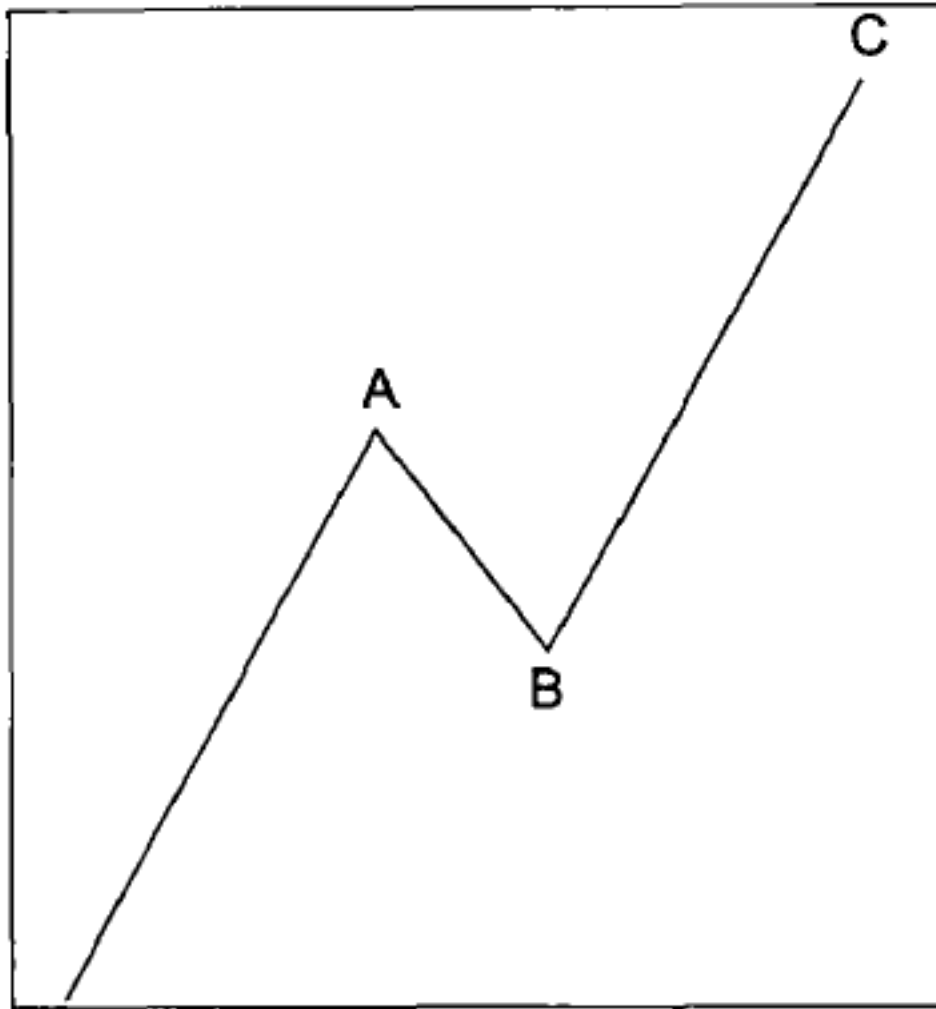


图 1-24

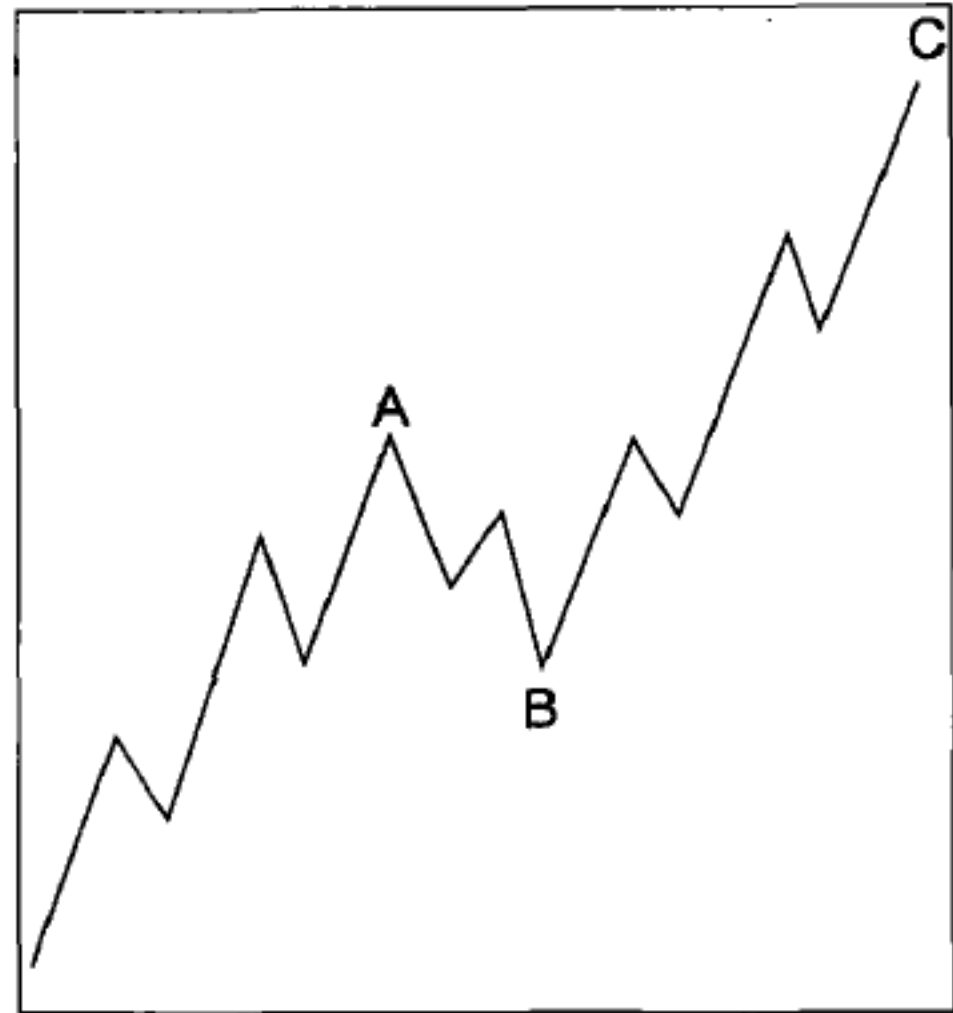


图 1-25

有时锯齿形调整浪会一连发生两次，或至多三次，尤其是在第一个锯齿形调整浪没有达到正常目标的时候。在这些情况下，每个锯齿形调整浪会被一个介于其间的“三浪”分开，这产生了所谓双重锯齿形调整浪（见图1-26）或三重锯齿形调整浪。这些构造类似于推动浪的延长浪，但不常见。1975年7月~10月，道琼斯工业股平均指数的调整浪可以标示为一个双重锯齿形调整浪（见图1-27）；1977年1月~1978年3月，标准普尔500种股票指数（Standard and Poor's 500 Stock Index, S&P500）中的调整浪（见图1-28）也是如此。在推动浪里，第二浪常常走出锯齿形调整浪，而第四浪很少如此。

R. N. 艾略特原来对双重锯齿形调整浪和三重锯齿形调整浪，以及双重三浪和三重三浪的（见后面一节）的标示法是一种速记法。他把介于其间的波浪运动标成浪X，所以双重调整浪就标示成了A-B-C-X-A-B-C。遗憾的是，这种符号错误地说明了每个简单模式的各个作用子浪的浪级。它们只被标示成比整个调整小一个浪级，但实际上它们小两个浪级。通

过引入一种有效的标示方法，我们已经消除了这个问题：把双重调整浪或三重调整浪的接连的作用分量标示成浪W、Y和Z，因此整个模式就数做“W-X-Y(-X-Z)”。字母W现在表示双重调整浪或三重调整浪中的第一个调整模式，Y表示第二个，而Z表示三重调整浪中的第三个调整模式。这样，其每一个子浪（A、B或C，以及三角形调整浪中的D和E——见后面一节）现在都合理地比整个调整浪小两个浪级。每一个浪X都是反作用浪，因此总是一个调整浪，而且通常是另一个锯齿形调整浪。

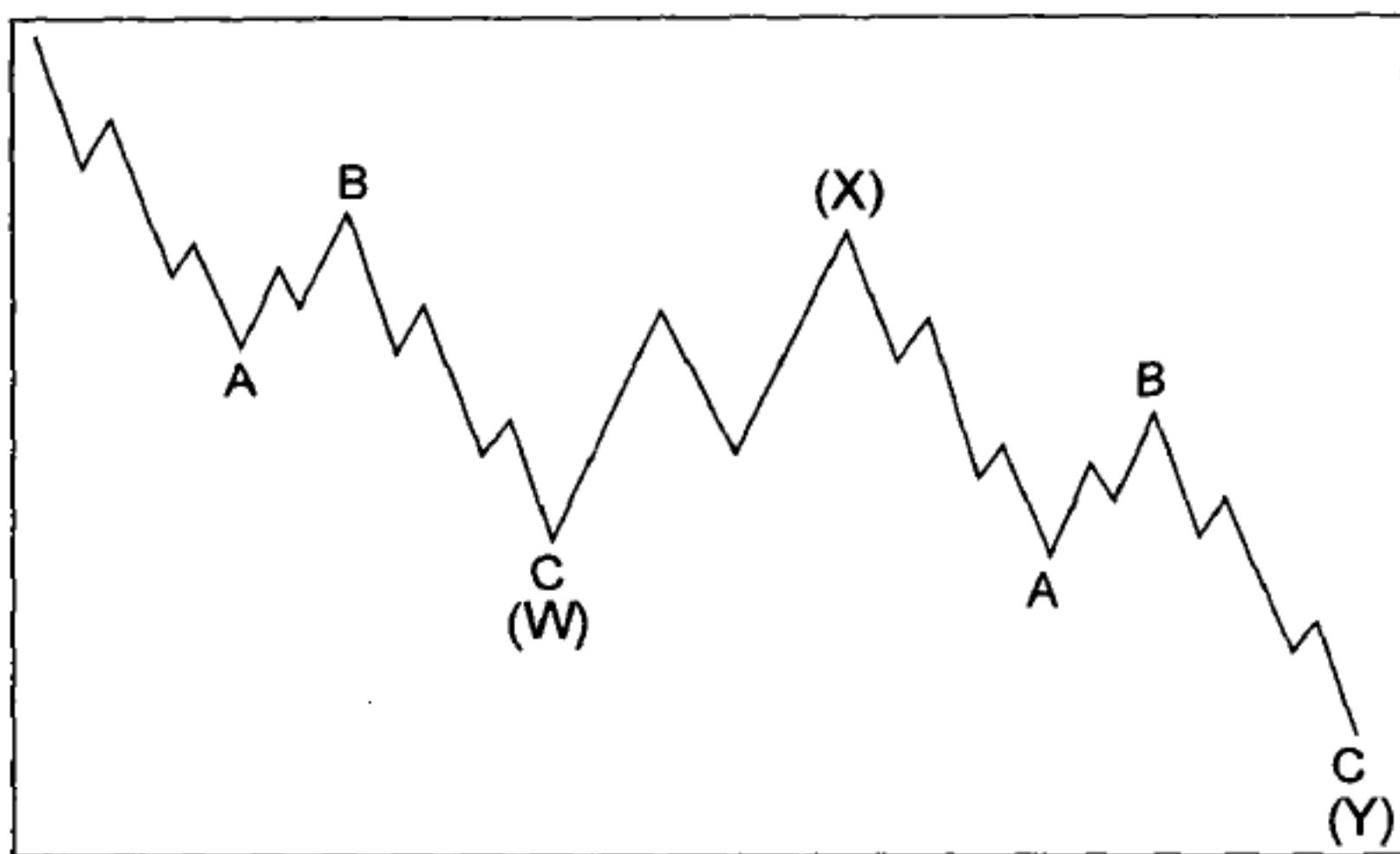


图 1-26

平台形 (3-3-5)

平台形调整浪与锯齿形调整浪不同，因为它的子浪序列是3-3-5，如图1-29和图1-30所示。既然第一个作用浪——浪A，缺乏足够的向下动力，不能像它在锯齿形调整浪中那样展开成一个完整的五浪，那么毫不奇怪，浪B的反作用好像是继承了这种逆势压力的匮乏，并在浪A起点的附近结束。依次，浪C通常在略微超过浪A终点的位置结束，而不像在锯齿形调整浪中那样明显地超过。

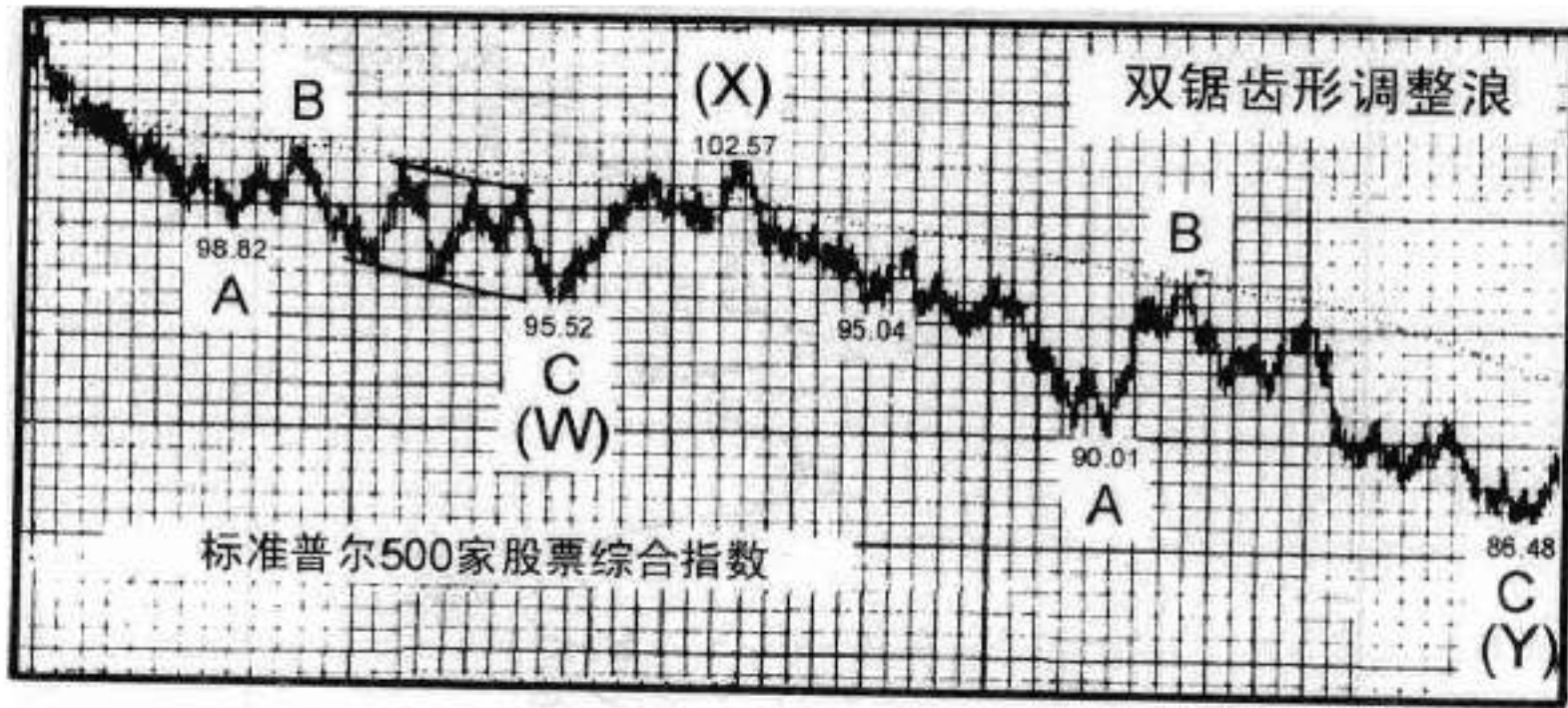


图 1-28

在熊市中，模式相同，但倒置，如图1-31和图1-32所示。

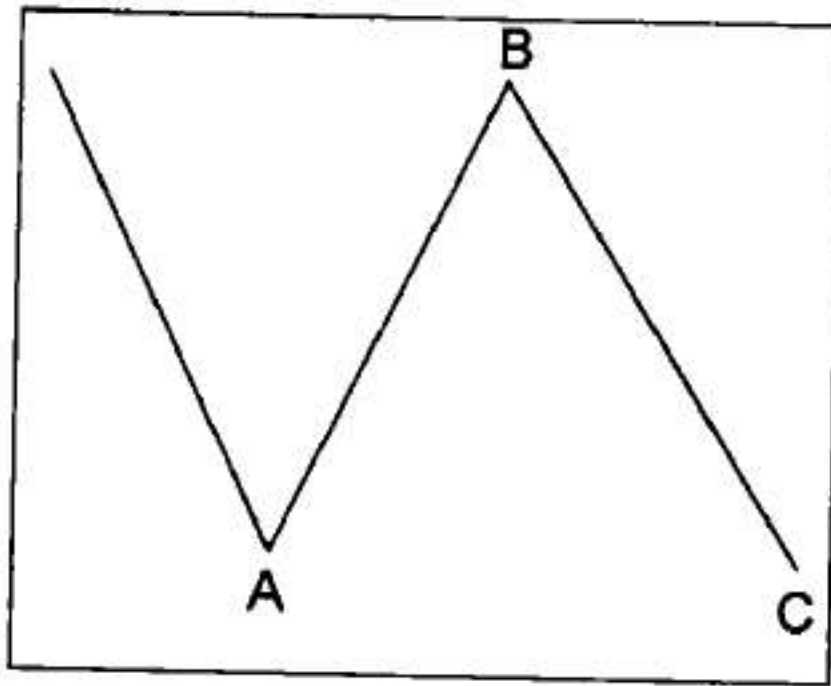


图 1-29

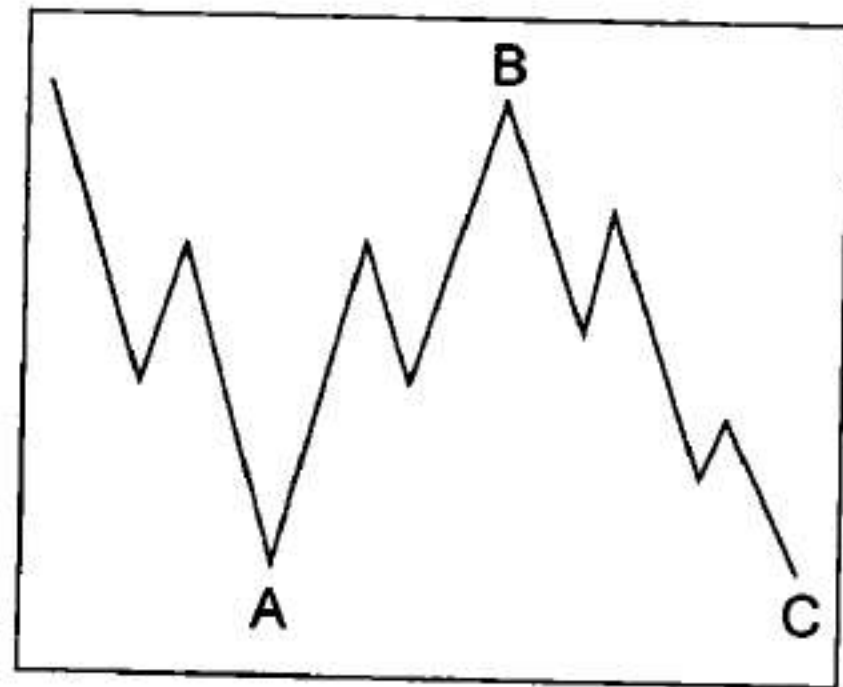


图 1-30

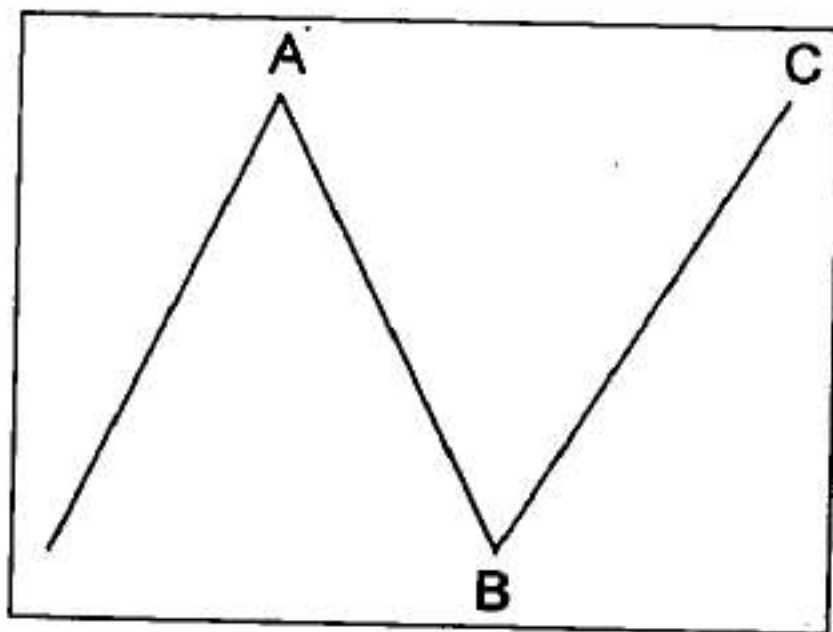


图 1-31

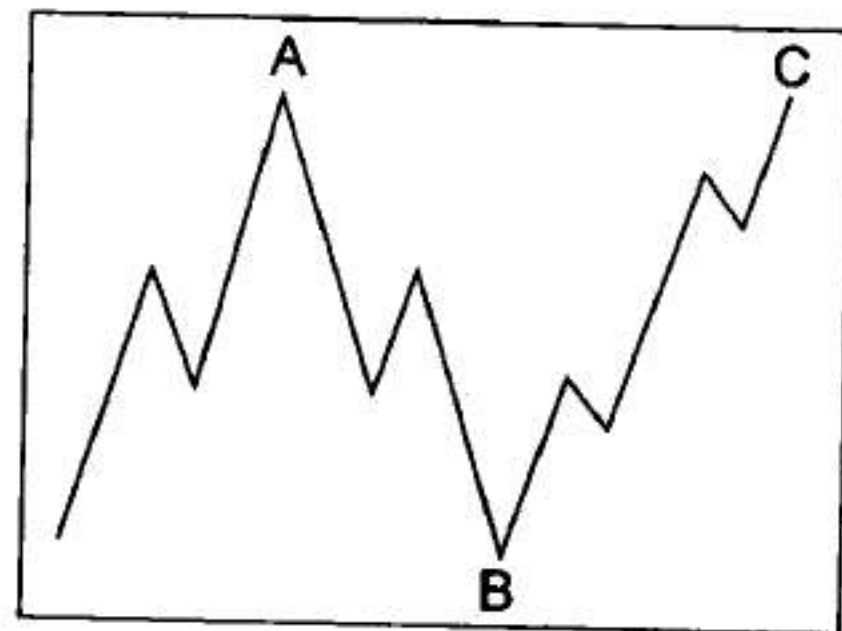


图 1-32

相比锯齿形调整浪，平台形调整浪对先前推动浪的回撤小。平台形调整浪往往出现在更大的趋势强劲有力的时候，因此它们的前面或后面总是出现延长浪。内在的趋势越强，平台形调整浪就越短暂。在推动浪中，第四浪常常走出平台形，而第二浪很少如此。

所谓的“双重平台形”确实会出现。然而，艾略特把这种构造归类为“双重三浪”，这是我们将在本章后面要讨论的名称。

“平台形”这个词用做对细分为3-3-5的任何A-B-C调整浪的总称。在艾略特的文献中，三种类型的3-3-5调整浪已经根据其总体外形的不同得到了命名。在规则（regular）平台形调整浪中，浪B在浪A起点的附近结束，而浪C会在略微超过浪A终点的位置结束，就像我们在图1-29～图1-32中显示的那样。更常见的是我们称之为扩散（expanded）平台形的变体，它含有超出先前推动浪的价格极端的价格极端。艾略特称这种变体是“不规则”（irregular）平台形调整浪，不过这个词不合适，因为它们实际上比“规则”平台形调整浪更常见。

在扩散平台形调整浪中，3-3-5模式中的浪B会在超过浪A起点的位置结束，而浪C会在远远超过浪A终点的位置结束，牛市中的情形如图1-33和图1-34所示，熊市中的情形如图1-35和图1-36所示。1973年8月～11月，DJIA的构造就是一个熊市中的扩散平台形调整浪，或称为“倒置扩散平台形”（见图1-37）。

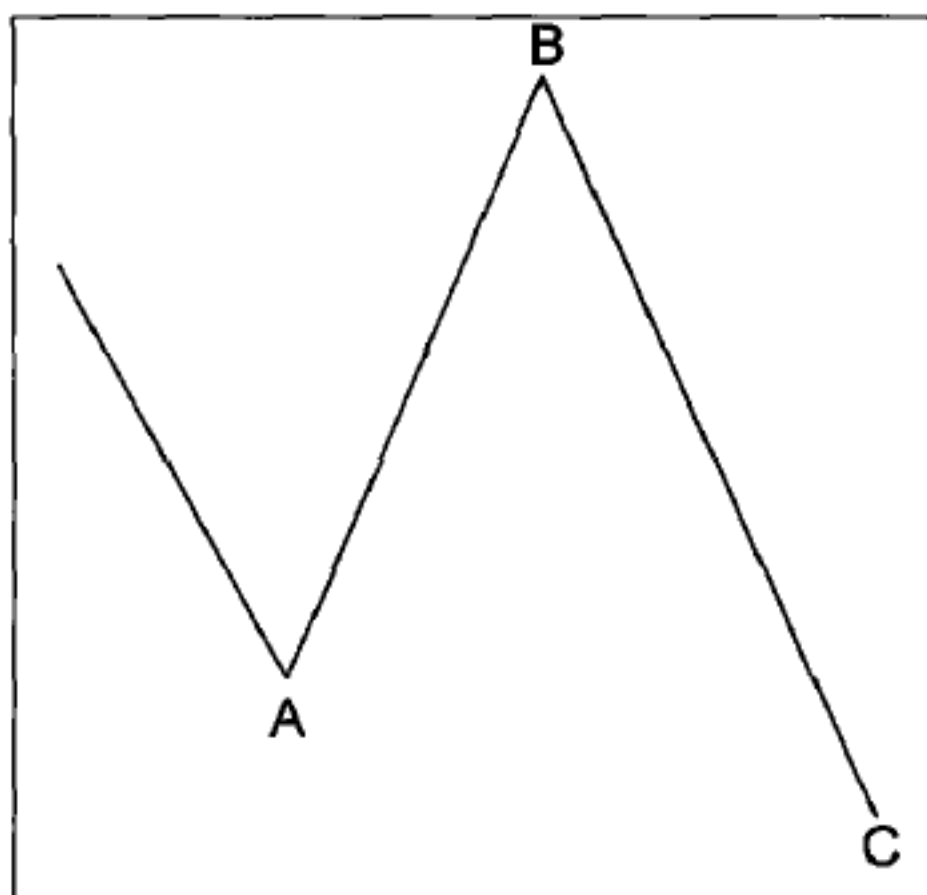


图 1-33

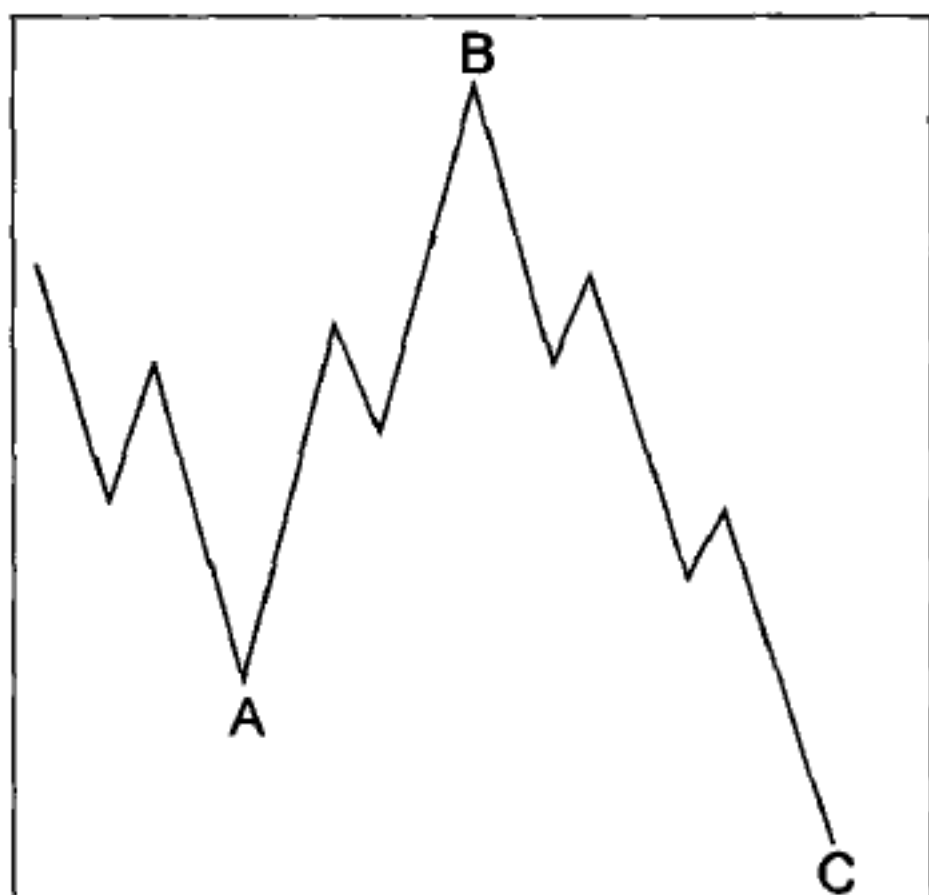


图 1-34

在3-3-5模式的一个少见的变体中——我们称之为顺势（running）平台形调整浪，浪B会像在扩散平台形调整浪中那样，在远远超过浪A起点

的位置结束，但浪C不能走完其全程，达不到浪A结束的位置，如图1-38~图1-41所示。很明显，在这个情形中，更大的趋势方向上的力量是如此强劲，以至于该模式在这个方向上歪斜了。结果就像推动浪的衰竭。

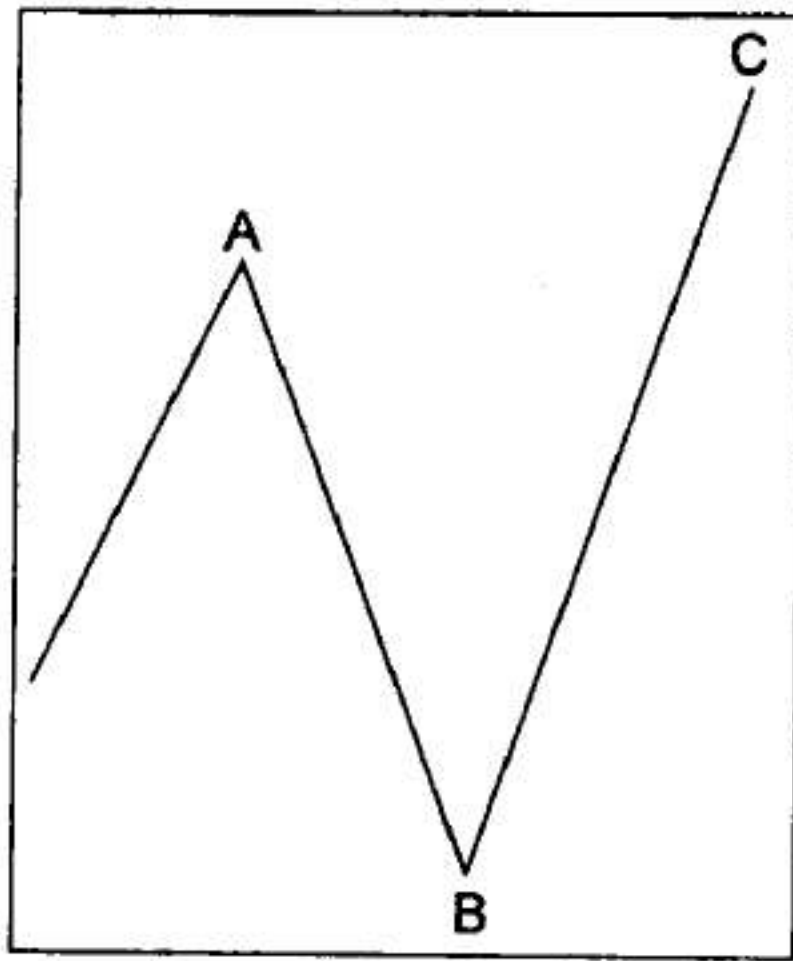


图 1-35

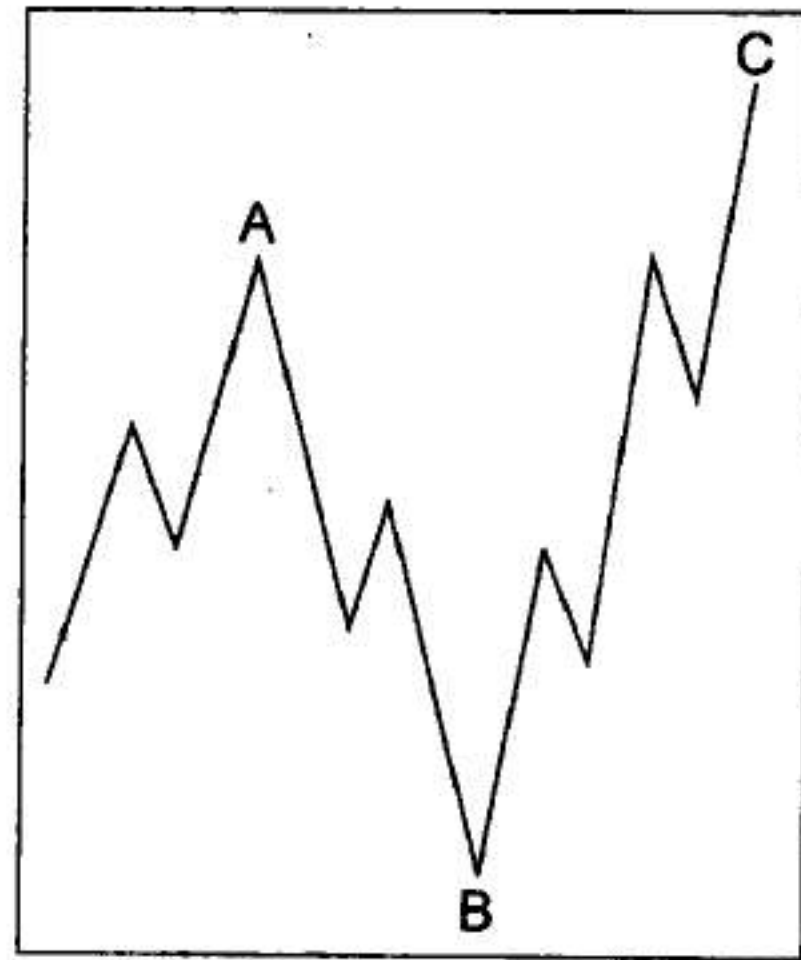


图 1-36

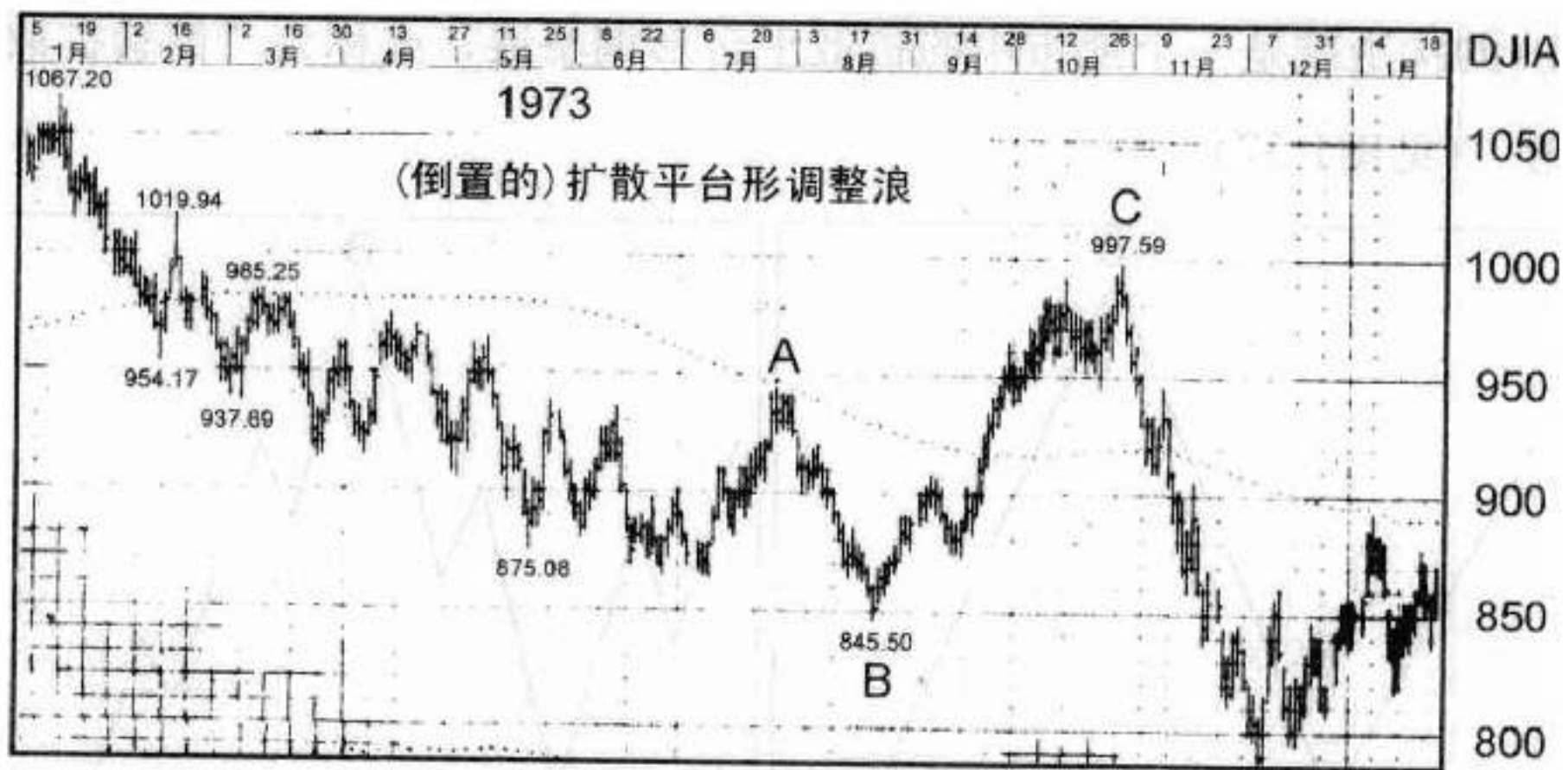


图 1-37

内部子浪必须服从艾略特的规则是非常重要的，尤其是在判定出现了顺势平台形调整浪的时候。例如，如果假定的B浪分成了五浪，而不是三浪，那么它就很可能是一浪级推动浪中的第一个上升浪。毗连推动浪的强度在识别顺势平台形调整浪时很重要，顺势平台形往往只出现在强劲而

快速的市场中。但是，我们必须发出警告。在价格记录中几乎没有这种类型的调整浪的例子。永远不要过早地用这种方法标示调整浪，否则十有八九你会发现自己错了。相比之下，顺势三角形调整浪要常见得多（见下面一节）。

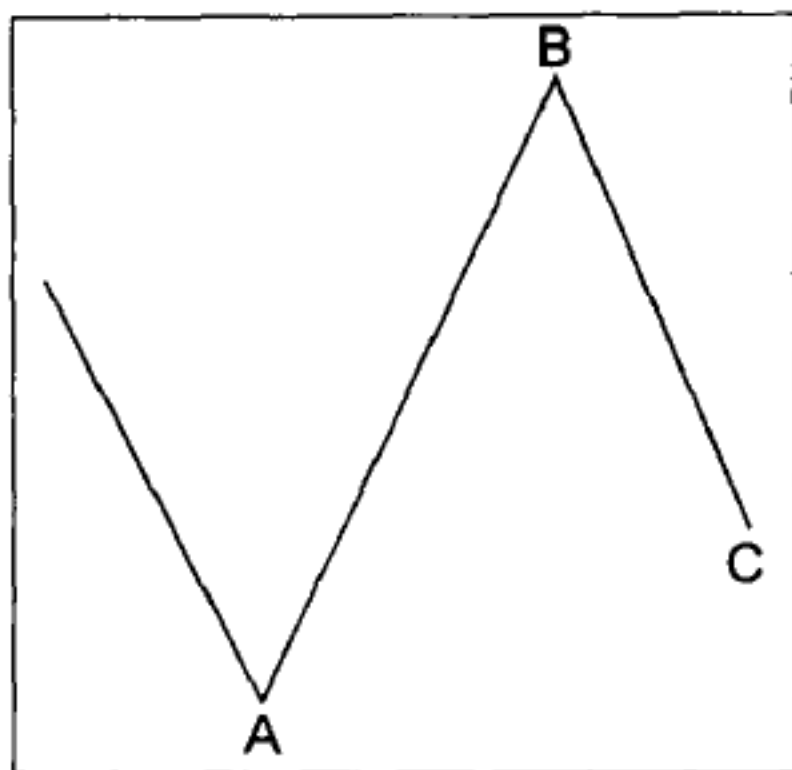


图 1-38

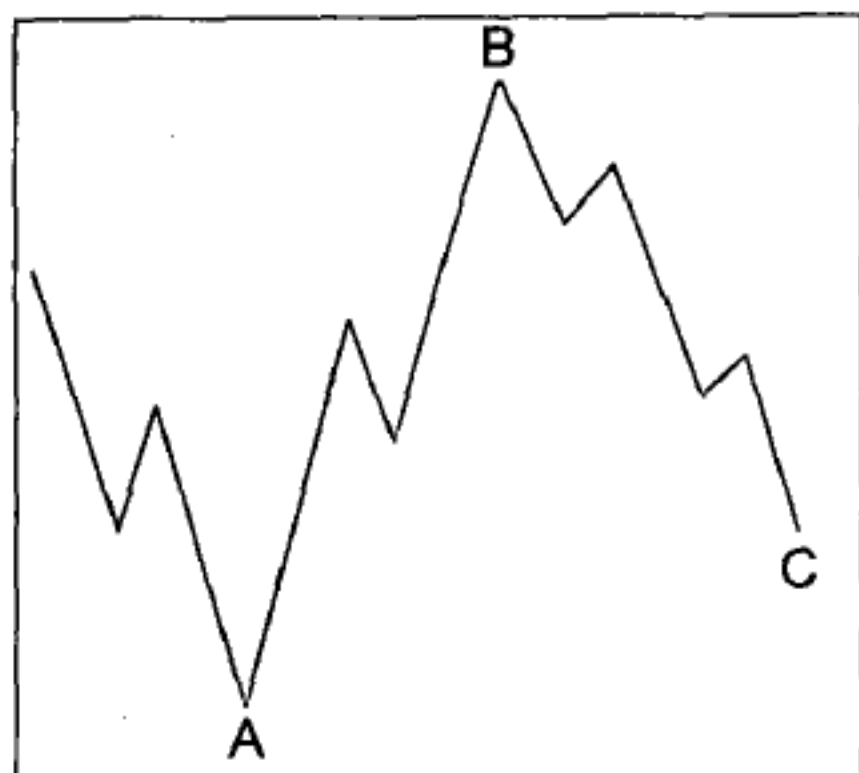


图 1-39

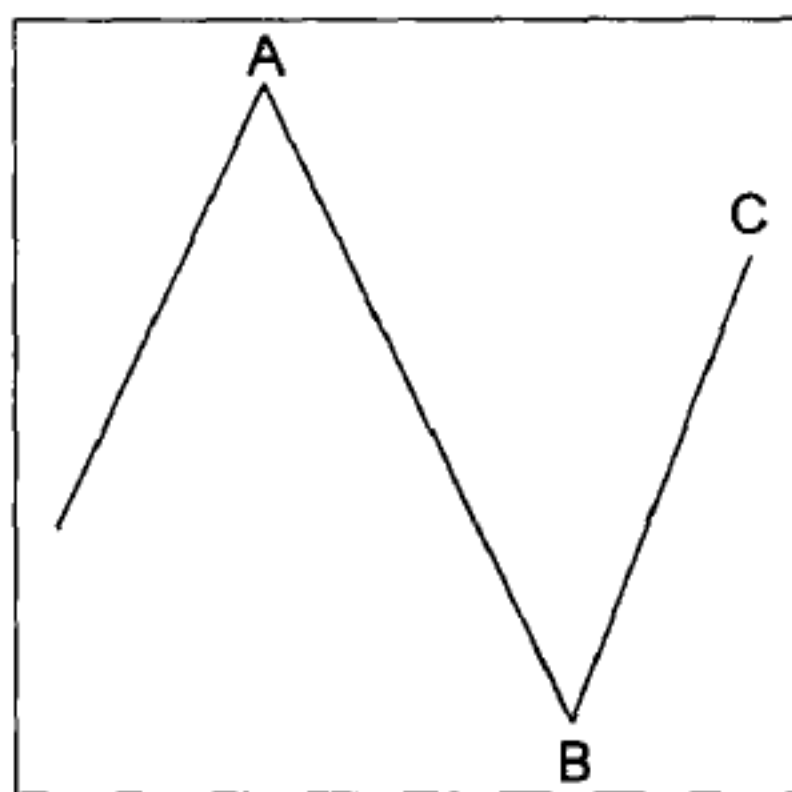


图 1-40

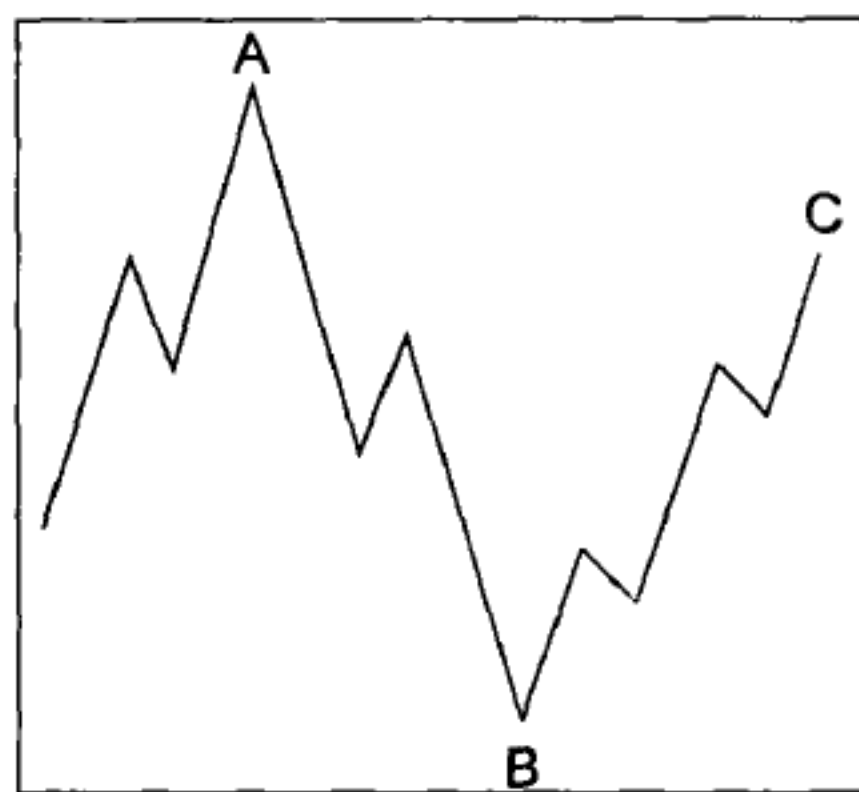


图 1-41

水平三角形（三角形）

三角形调整浪看来要反映一种力量的平衡，这导致了成交量和波动性都逐渐减小的横走运动。三角形模式包含了细分为3-3-3-3-3的五个重叠浪，并标示为A-B-C-D-E。连接浪A和C的终点，以及浪B和D的终点，就可描绘出一个三角形调整浪。浪E可能未达或超过A-C线，而且实际上我们的经验说明这出现得很多。

有两种三角形调整浪的变体：收缩（contracting）三角形和扩散（expanding）三角形。在收缩三角形变体中，有三种类型：对称（symmetrical）三角形、上升（ascending）三角形和下降（descending）三角形，如图1-42所示。少见的扩散三角形调整浪没有变体。它总是如图1-42中的那样出现，这也是艾略特称它为“反对称”（reverse symmetrical）三角形的原因。

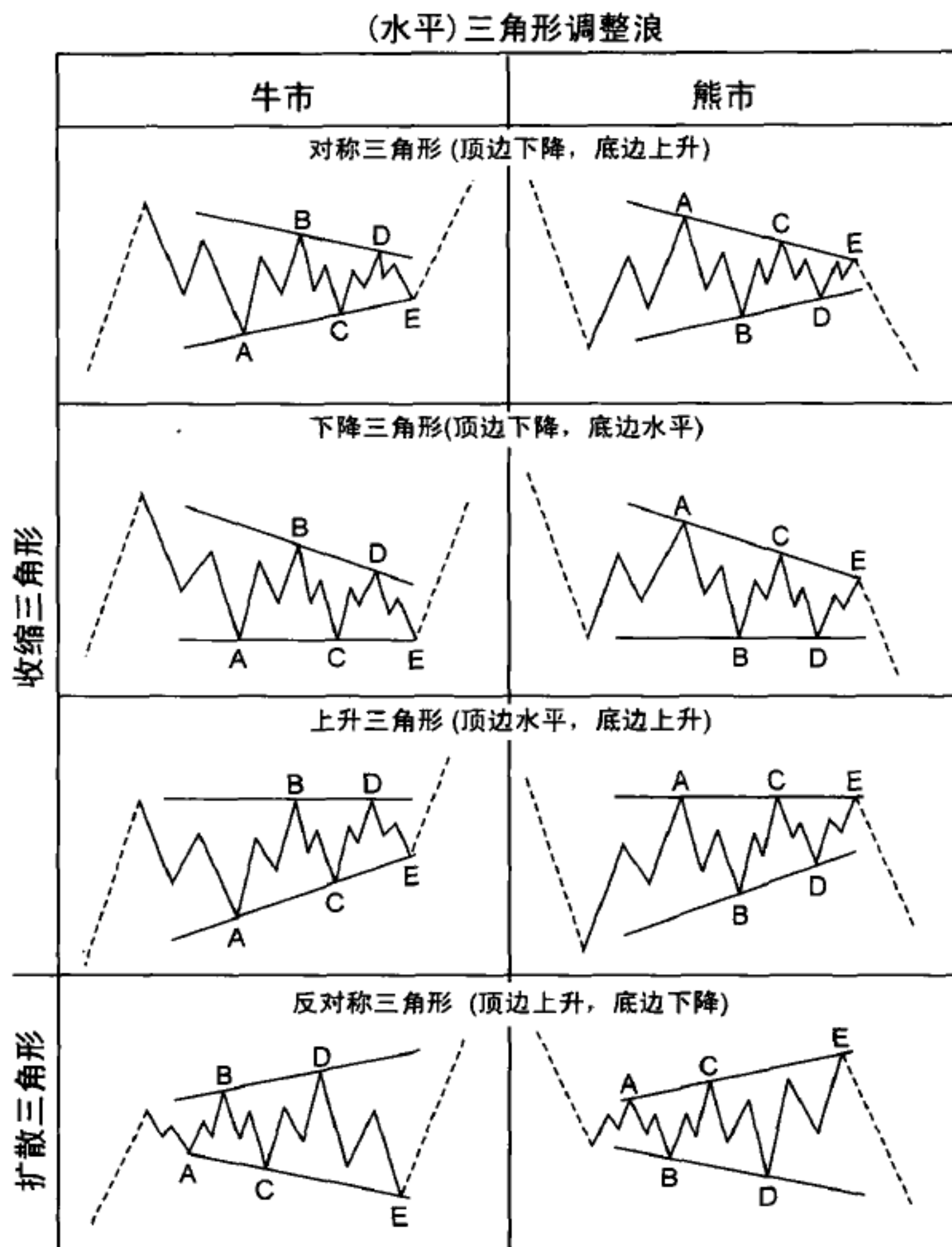


图 1-42

图1-42表明每一个收缩三角形在先前的价格活动区域内完整出现的样子，这可命名为规则三角形。极为常见的是，收缩三角形调整浪的浪B超过浪A的起点，这种情形可命名为顺势三角形调整浪，如图1-43所示。除了它们的横走外形外，所有的三角形调整浪，包括顺势三角形调整浪，都会在浪E的终点对先前的波浪产生净回撤。

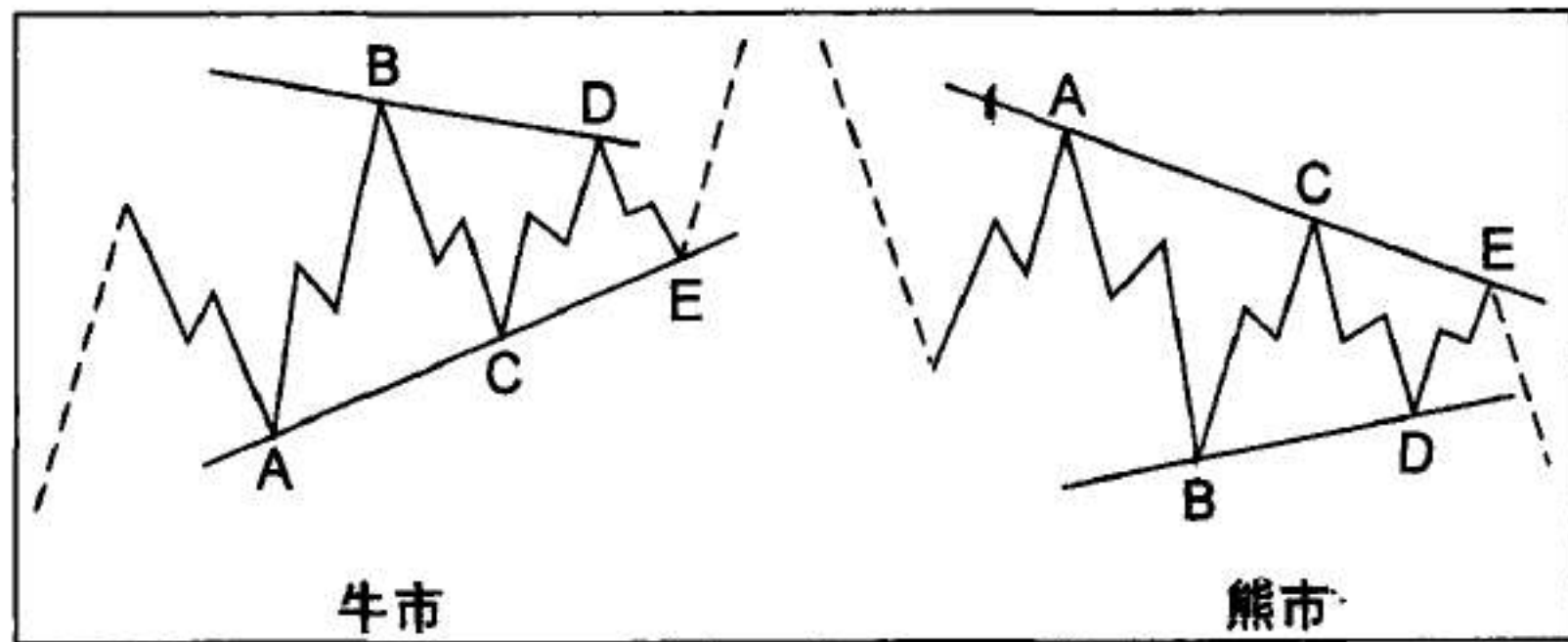


图 1-43



图 1-44

在本书的各种走势图里，有几个三角形调整浪的实际例子（见图1-28，图3-15、图5-3、图6-9、图6-10和图6-12）。正如你会注意到的那样，三角形调整浪中的大多数子浪是锯齿形调整浪，但有时子浪中的一个浪（通常是浪C）会比其他子浪复杂，而且呈规则平台形、扩散平台形或多重锯齿形的样子。在少数情况下，一个子浪本身（通常是浪E）就是三角形调整浪，以至于整个模式延长成了九浪。因此，就像锯齿形调整浪那样，三角形调整浪常常显示出与延长浪类似的发展过程。1973~1977年的白银走势就是这样一个例子（见图1-44）。

三角形调整浪总是在大一浪级模式中的最后一个作用浪之前的位置出现，也就是作为推动浪的浪4，A-B-C中的浪B，或者双重锯齿形、三重锯齿形或联合形（见下一节）中的最后一个浪X。三角形调整浪也会作为联合形调整浪中的最后一个作用模式出现，就像在下一节中讨论的那样，但即使如此，它通常在比联合形调整浪大一浪级模式中的最后一个作用浪之前出现。尽管在极少数情况下，推动浪中的第二浪看起来也呈三角形调整浪的形态，但这通常是由于三角形调整浪是整个调整浪的一部分，整个调整浪是一个双重三浪（例如，见图3-12）。

在股市中，如果三角形调整浪在第四浪的位置出现，那么浪5时常迅速敏捷，而且大致运行三角形调整浪的最宽部分的距离。在谈及三角形调整浪后的这种迅速发动的驱动浪时，艾略特用“冲击”（thrust）这个词。这种冲击通常是推动浪，但也可能是终结倾斜三角形。在强劲的市场中，没有冲击，而代之以拉长的第五浪。因此，如果三角形调整浪后的第五浪超出了正常的冲击运动，那么就是在发出可能是延长浪的信号。正如在第6章中解释的那样，在商品中，三角形调整浪后的中浪级以上的上升推动浪，通常是这个波浪序列中最长的一浪。

根据我们对三角形调整浪的经验，我们认为收缩三角形的边界线到达顶点之际，往往是市场转折之时，如图1-27以及后面的图3-11和图3-12中

台形后接上三角形是双重三浪的典型类型（现在我们知道1983年时就是这种类型，见附录A），如图1-47所示。

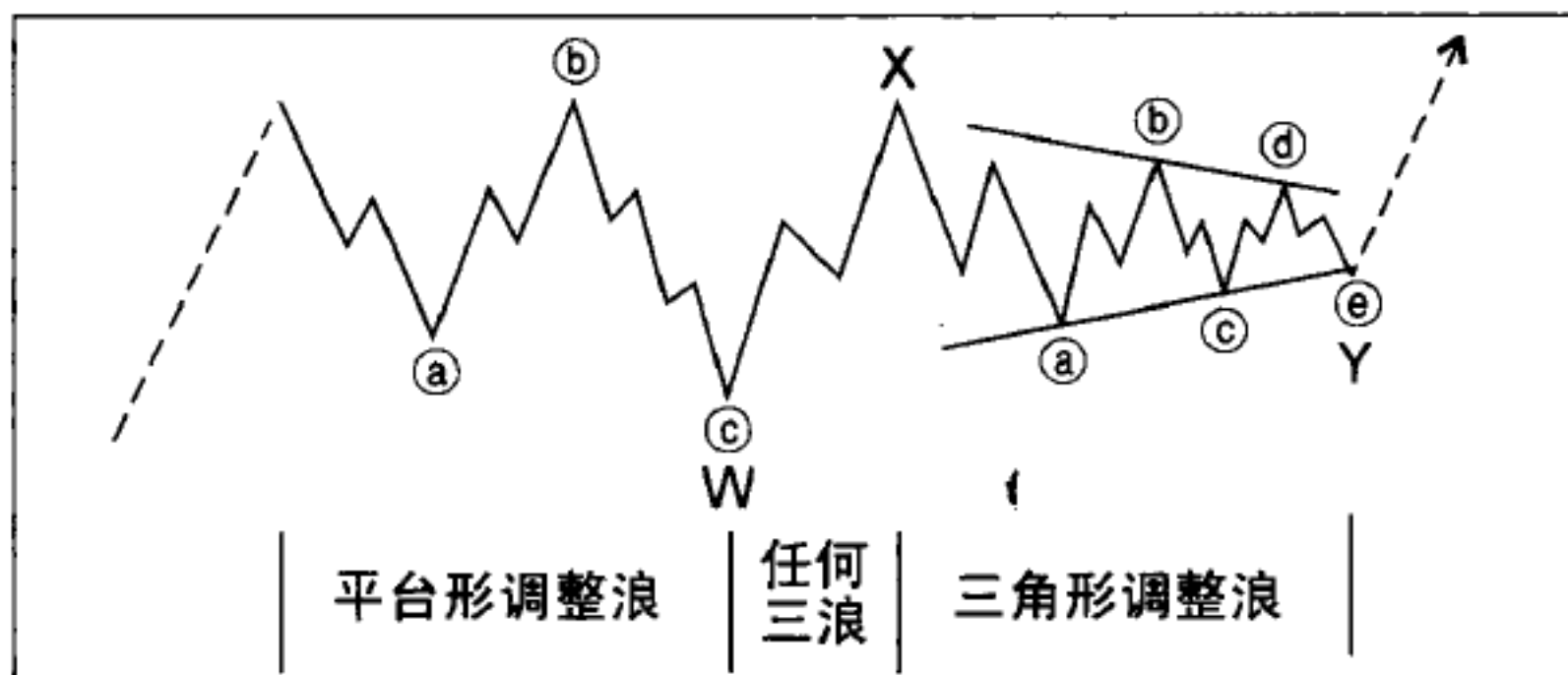


图 1-47

平台形后跟着锯齿形是另一个例子，如图1-48所示。自然地，既然本节的图描绘的调整浪在牛市中，因此它们只需倒置过来，就可作为熊市中向上的调整浪。

在大部分情况下，联合形调整浪的特性是水平的。艾略特曾指出，整个形态可能会与更大的趋势反向倾斜，尽管我们从未发现过这种情况。一个原因是，联合形调整浪中从未出现过一个以上的锯齿形，也没有一个以上的三角形。记住，三角形调整浪仅在更大趋势的最后一轮运动之前出现。联合形调整浪看起来认可了这种特性，因而仅在双重三浪或三重三浪中作为最后一浪走出三角形。

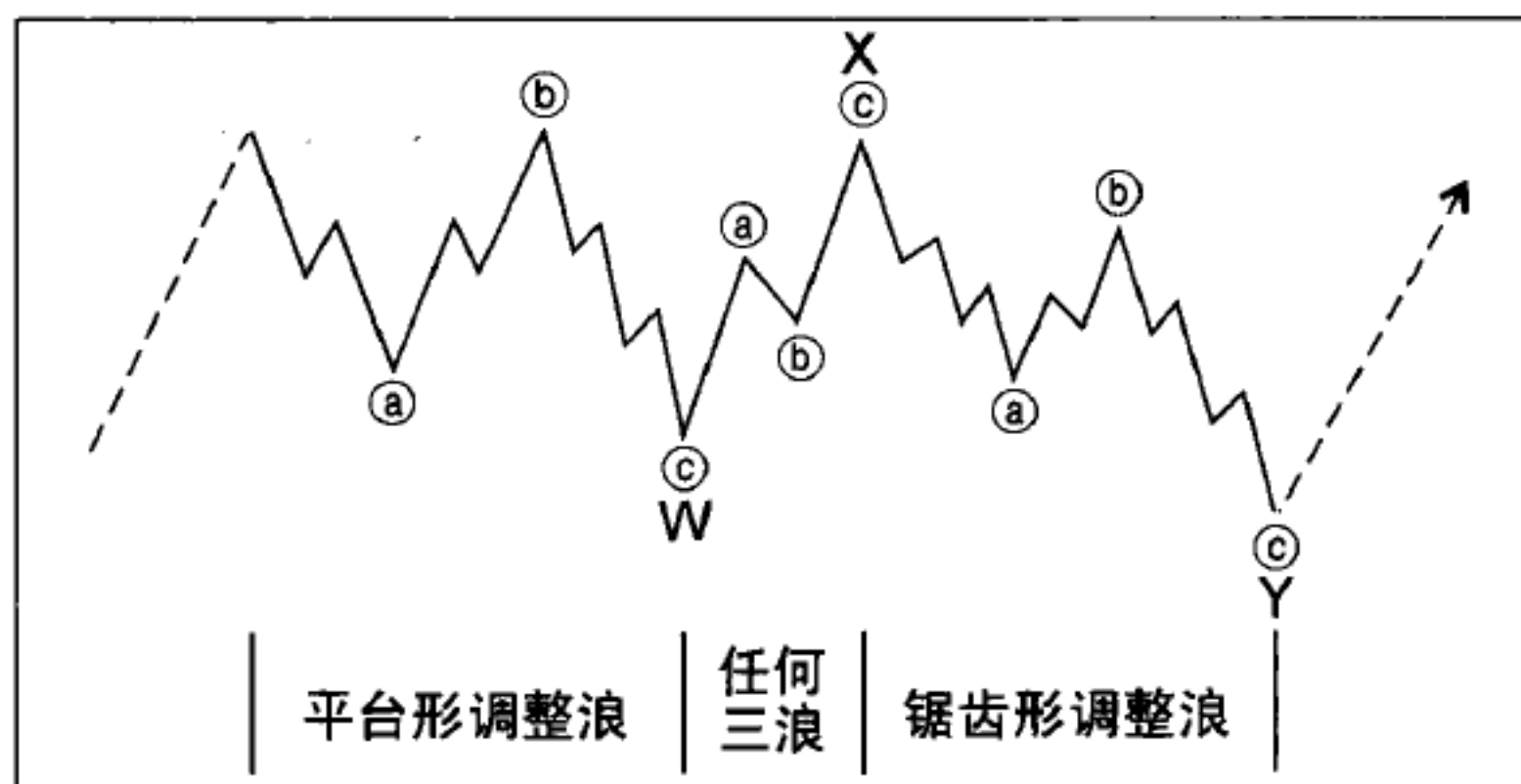


图 1-48

正如艾略特在《自然法则》中指出的那样，尽管双重锯齿形调整浪和三重锯齿形调整浪（见图1-26）的趋势角度比联合形调整浪的横走趋势陡直（见第2章的交替原则指导方针），但仍可定性为非水平的联合形调整浪。然而，无论是调整角度还是调整目的，双重三浪和三重三浪与双重锯齿形调整浪和三重锯齿形调整浪是完全不同的。在双重锯齿形调整浪或三重锯齿形调整浪中，第一个锯齿形调整浪极少大得足以对先前的波浪形成充分的价格调整。双重或三重的最初形态对于产生足够规模的价格回撤通常很必要。但是，在联合形调整浪中，第一个简单模式通常产生了充分的价格调整。双重或三重的调整模式主要是为了在价格目标基本达到后，延长调整过程的持续时间。有时，需要额外的时间是为了达到价格通道线，或是实现与推动浪中的其他调整浪更紧密的联系。随着巩固的持续，参与者的心理和基本面情况也相应地延伸它们的趋势。

正如本节阐明的那样，数列 $3+4+4+4+\dots$ 和 $5+4+4+4+\dots$ 是有本质区别的。注意，推动浪总共有5个浪，如果有延长浪，总共就会达到9或13个浪，依此类推；而调整浪总共有3个浪，如果有联合形调整浪，总共就会达到7或11个浪，依此类推。三角形调整浪看起来是个例外，尽管可以把它们计数为一个三重三浪，共11个浪。因此，如果内部的数浪不明确，有时你可以仅靠波浪数来得出合理的结论。比如，如果几乎没有波浪重叠现象，那么有9、13或17个浪的价格运动很可能是驱动浪，而有无数重叠的7、11或15个浪就很可能是调整浪。主要的例外是所有两种类型的倾斜三角形，它们是驱动力量和调整力量的混血儿。

正统的头和底

有时，一个模式的终点与相关的价格端点不一致。在这种情况下，模式的终点被称为“正统的”（orthodox）顶部或底部，以将其与模式内或模式的终点出现的实际价格最高点或最低点区分开来。比如，在图1-14中，浪(5)的终点是一个正统的头，尽管浪(3)记录下了更高的价格。在图1-13

中，浪5的终点是正统的底。在图1-33和图1-34中，浪A的起点是先前牛市的正统顶部，尽管浪B的最高点更高。在图1-35和图1-36中，浪A的起点是正统的底。在图1-47中，浪Y的终点是熊市的正统的底，尽管价格最低点处出现在浪W的终点。

这个概念非常重要，主要是因为成功的分析总是取决于对各种波浪模式的正确标示。有时，错误地假定一个特定的价格极端为波浪标示的正确起点，会使分析误入歧途，而牢记波浪形态的各种必要条件会使你保持正确的方向。其次，在运用第4章介绍的各种预测概念时，一个波浪的长度和持续时间通常取决于从正统的终点开始的测量和投射。

功能和方式的调和

在本章开始，我们曾描述过各种波浪可能表现出的两种功能（作用和反作用），以及它们的两种结构性发展方式（驱动和调整）。现在我们已经检阅了所有类型的波浪，我们可以将它们的标识概括如下：

- 作用浪的标识是1、3、5、A、C、E、W、Y和Z。
- 反作用浪的标识是2、4、B、D和X。

如前所述，所有的反作用浪都以调整方式发展，而大多数作用浪以驱动方式发展。前面几个小节已讨论了哪些作用浪以调整方式发展。它们是：

- 终结倾斜三角形驱动浪中的浪1、3和5，
- 平台形调整浪中的浪A，
- 三角形调整浪中的浪A、C和E，
- 双重锯齿形调整浪和双重三浪中的浪W和Y，
- 三重锯齿形调整浪和三重三浪中的浪Z。

因为上面列出的各个波浪在相对方向上是作用浪，但以调整方式发展，所以我们称它们是“作用调整浪”。

补充的命名法（选读）

按目的命名

尽管在任何方向上的任何浪级趋势中，五浪作用之后会有三浪反作用，但是波浪的前进总以一个作用的推动浪开始，为了方便起见，这个推动浪向上绘制。（既然所有这种图形都说明了比率，因此推动浪也可向下绘制。比如，你可以按股/美元来绘制，而不是按美元/股。）所以，最终地，同时也是最本地，反映人类进步的股市长期趋势是向上的。浪级永远增大的推动浪的发展导致了股市的前进。向下的驱动浪只是调整浪的组成部分，因此与股市的前进不同步。相似地，向上的调整浪仍然只是调整，因此最终不会实现前进。所以，要求有三个补充的名称来说明波浪的目的，这样就能方便地在各种波浪中区分哪些导致了股市前进，而哪些没有。

任何不处于更大浪级的调整浪中的向上的驱动浪都取名为前进（progressive）浪。它必定被标示成1、3或5。任何下跌浪，无论是何种波浪方式，都取名为倒退（regressive）浪。最后，出现在任何更大浪级的调整浪中的向上的浪，无论是何种波浪方式，都取名为副倒退（proregressive）浪。倒退浪和副倒退浪都是调整浪的部分和全部。只有前进浪独立于逆势的作用力。

读者或许会认为，通常所用的“牛市”这个词将用于前进浪，“熊市”这个词将用于倒退浪，而“熊市反弹”这个词可以应用于副倒退浪。然而，对像“牛市”、“熊市”、“大浪”、“中浪”、“小浪”、“反弹”、“回撤”和“调整”这些名称的传统定义都试图包含量化因素，而且由于它们的任意性，实际上没什么用处。比如，一些人将熊市定义为下跌20%或更多。根据这种定义，市场下跌19.99%就不是熊市，而只是“调整”，而任何20%的跌幅就是熊市。这种名称的价值值得怀疑。尽管可以发展出一系列的量化名称（比如，小熊、熊妈妈、熊爸爸和大灰熊），但它们不可能比

简单使用百分比更好。相比之下，艾略特波浪的各个名称定义得当，因为它们都是定性的，也就是，它们反映了概念，而与模式的规模无关。因此，在波浪理论中，前进浪、倒退浪和副倒退浪有不同的浪级。一个甚超级循环浪中的超级循环浪B可能有足够的幅度和持续时间，因此被当成“牛市”。然而，在波浪理论中，它的正确标识只是个副倒退浪，或用它该用的传统名称——熊市中的反弹。

说明相对重要性的名称

有两种级别的波浪，它们在重要性上有所不同。用数字标示的浪我们称为基本（cardinal）浪，因为它们构成基本的波浪形态——五浪结构的推动浪，如图1-1所示。可以认为市场永远处于一个最大浪级的基本浪中。用字母标示的浪我们称为辅助（consonant）浪或亚基本（subcardinal）浪，因为它们只作为基本浪2和4的分量波浪，而不可能存在于其他任何波浪中。一个驱动浪由小一浪级的基本浪构成，而调整浪由小一浪级的辅助浪构成。我们选择这些名称是因为它们出色的双重含义。“基本”不仅意味着“任何体系、结构以及思维框架的中心和基本要点”，而且还表示了数浪时使用的主要数字。“辅助”不仅意味着“与其他部分协调构成的一个模式”，而且还是字母表中的一种类型的英文字母（资料来源：*The Merriam-Webster Unabridged Dictionary*）。这些名称没有什么实际用途，这也是我们把它们放在本章最后讨论的原因。但是，这些名称在哲学探讨和理论探讨中 useful，所以把它们放在命名法中说明。

错误的概念和形态

在《波浪理论》及其他场合，艾略特曾讨论过他所称的“不规则顶”（irregular top），这是一种他用大量的特征建立起来的观点。他说，如果一个延长的第五浪结束了大一浪级的第五浪，那么接着发生的熊市会以扩散平台形调整浪开始，或者就是扩散平台形调整浪，其中的浪A（我们

要说这不可能)比浪C的规模小得多(见图1-49)。到达新高的浪B是不规则顶,“不规则”是因为它出现在第五浪的终点之后。艾略特进一步主张,不规则顶与那些规则顶交替出现。然而,他的构想不精确,而且会使我们在对第五浪延长后的波浪行为的讨论,以及在第2章的“调整浪的深度”中准确描述的现象复杂化。

问题是,艾略特如何结束他不得不解释通的两个额外的波浪?答案是他偏向于标示第五浪延长,而实际上第三浪才是延长浪。20世纪20年代和30年代出现了两个明显的大浪级第五浪延长,这造成了艾略特的这种偏向。为了把延长的第三浪变成延长的第五浪,艾略特发明了一种称做“不规则类型2”(irregular type 2)的A-B-C调整浪。他说,在这种情况下,浪B就像在锯齿形调整浪中那样达不到浪A起点的水平,而浪C就像在顺势调整浪中那样达不到浪A终点的水平。他经常在浪2的位置坚持这种标示法。因此,这些标识给他在顶峰留下了两个额外的波浪。“不规则类型2”的观念去掉了延长浪的最初两个浪,而“不规则顶”的观念处理了顶部剩下的两个浪。这样,在相同的趋势上就生出了两个错误的概念。实际上,这是连锁反应。正如你能通过图1-50所示的数浪看到的那样,浪2位置的①-②-③“不规则类型2”调整浪使在顶峰标示“不规则顶”变得必要。而实际上,除了错误的标示以外,波浪的结构没有任何不规则的地方。

艾略特还认为,每个第五浪延长都会被“双重回撤”,也就是跟随着接近延长浪起点的“第一次回撤”,以及到达“第一次回撤”的起点之上的“第二次回撤”。根据调整浪通常在先前第四浪的区域见底(见第2章)的指导方针,这种运动的发生是很自然的;“第二次回撤”是下一个推动浪。根据在第2章的“第五浪延长后的波浪行为”中的讨论,这个名称正适用于延长浪后的扩散平台形调整浪中的浪A和B。给这种自然行为一种特殊的名称没有任何意义。

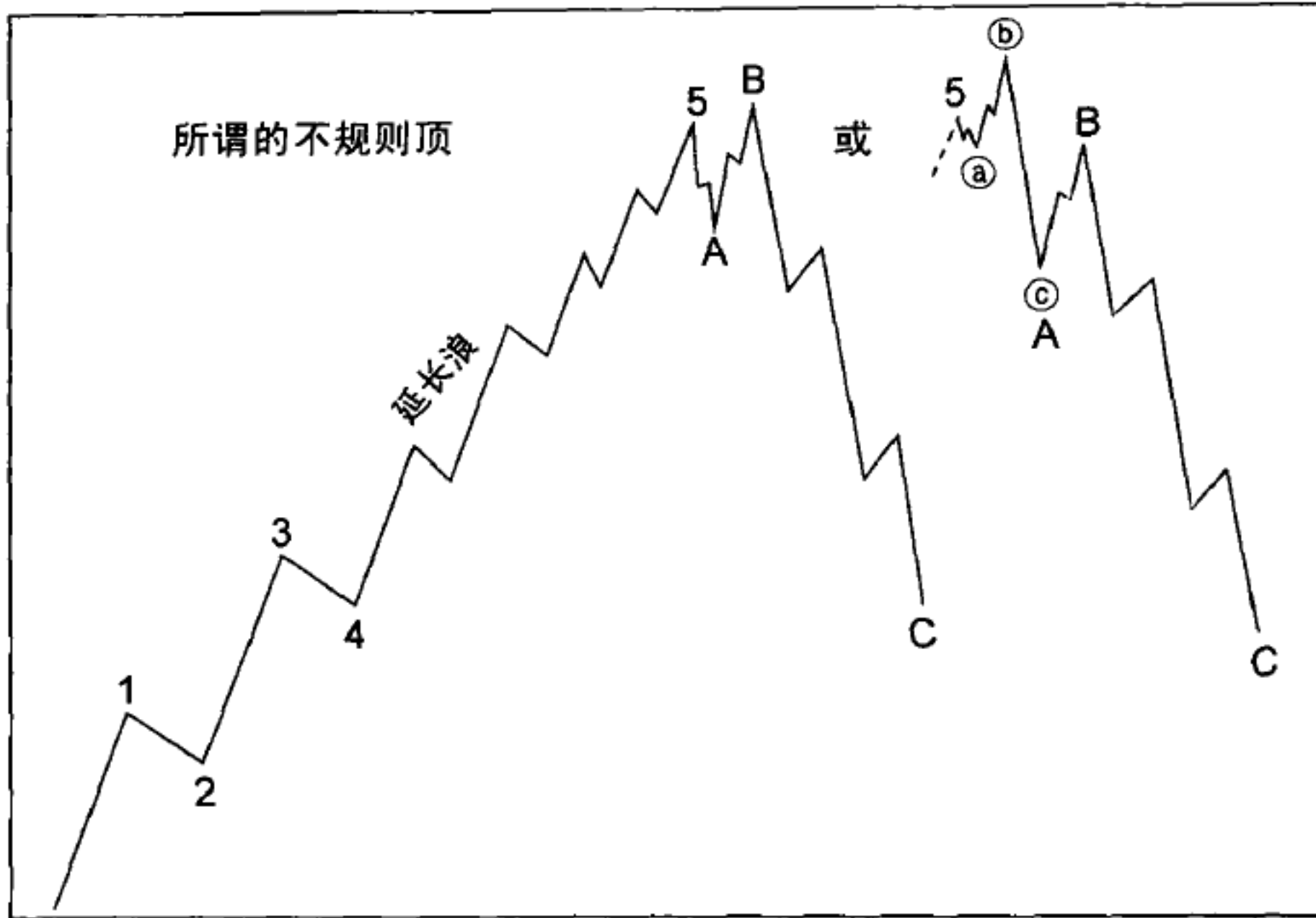


图 1-49

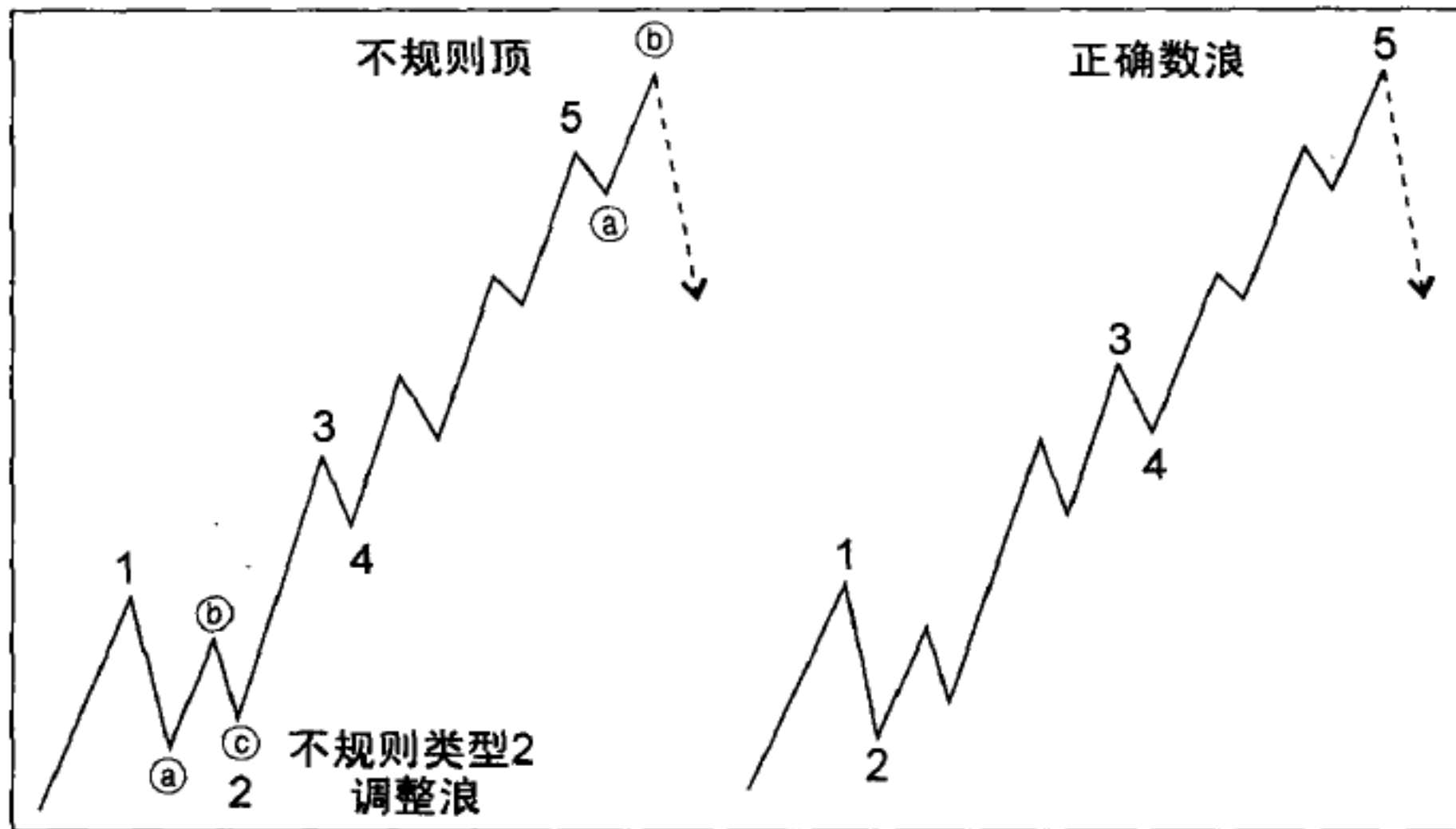


图 1-50

在《自然法则》中，艾略特曾提到过一种叫做“半个月亮”（half moon）的形状。这并不是什么独立存在的模式，而是对熊市中的下跌常常是如何缓慢起动、加速，并在恐慌性的长钉形（spike）中结束的描述

性短语。在半对数刻度上绘制的下跌市场中，以及在算术刻度上绘制的多年趋势的上升市场中，经常可以发现这种形状。

在《自然法则》中，艾略特还两次提到过他所称的“A-B底”（A-B base）结构，在这个结构中，当跌势以令人满意的数浪结束之后，市场在展开一轮真正的五浪牛市前，会先以三浪方式上升，然后再以三浪方式下降。事实是，艾略特在试图将其理论强置于13年三角形的概念之中时发明了这种模式，但今天根据波浪理论的各项规则，没有哪个分析人士会接受它有效。实际上很清楚，这样一种模式，如果曾经存在过，就会有使波浪理论失去效用的影响。本书作者从未见过一个“A-B底”，而且实际上它也不可能存在。艾略特的这个发明只能表明，在他的所有细致研究和深奥发现中，他（至少是一次）暴露出了分析人士的一种典型的弱点——让一个已经形成的观点损害他对市场的客观分析。

据我们所知，本章例举了所有会在广泛性的股票市场平均指数的价格运动中出现的波浪结构。根据波浪理论，不会出现其他有别于此的波浪结构。事实上，既然小时读数几乎是细致刻画亚微浪的最佳匹配的过滤器，本书作者在亚微浪级以上没有发现任何用艾略特波浪理论的方法不可满意计数的波浪。实际上，计算机产生的一分钟又一分钟的交易走势图，可以揭示比亚微浪级小得多的各种艾略特波浪。即使在这样低浪级的每单位时间的数据点（交易），也足以通过记录在“交易池”（pit）里和交易厅内的快速心理变化，精确地反映人类行为的波浪理论。

波浪理论中的所有规则和指导方针最终将运用于实际市场状态，而不是它的记录方法，或缺乏记录方法的市场。波浪理论的清晰证明要求自由的市场定价。如果价格被政府的法令固定下来，如那些固定黄金和白银价格有半个20世纪的法令，受法令限制的波浪就不能记录下来。当可用的价格记录与本该在自由市场中存在的记录不同时，就必须从这个角

度考虑波浪理论的各项规则和指导方针。当然，从长期来看，市场总是要摆脱法令的束缚，而且法令的执行也只有市场状态容许的情况下才可能。本书中介绍的所有规则和指导方针都假定你的价格记录是准确的。

既然我们已经介绍了波浪构造的各项规则和初步知识，那么我们可以转移到应用波浪理论进行成功分析的一些指导方针上了。

第 2 章 Chapter2

波浪构造的指导方针

本章中介绍的各项指导方针都是以牛市为背景进行讨论和图解的。除了特别指出的以外，它们同样也能应用于熊市，在熊市背景中，各种图解和推论就要倒置过来。

交替

交替指导方针在应用中十分广泛，而且提醒分析人士总是要预期在下一个相似波浪的表现中会有所不同。汉密尔顿·博尔顿曾说：

作者并不确信交替在较大构造的波浪类型中是不可避免的，但有足够频繁的情形说明应寻找它，而非忽视。

尽管交替没有精确说明即将发生什么，但它对于那些不要期望的事提供了宝贵的提示，所以在分析波浪构造并估计未来的概率时记住它很有用。它主要是指导分析人士，不要像大多数人那样，仅因为上个市场循环以某种风格发展，就相信这次的情况肯定一模一样。正如“反对者”不停指出的那样，大多数投资者“理解”成一种明显的市场习惯行为之时，就是市场完全变化之日。艾略特更进一步地说明，交替事实上是一种市场法则。

推动浪中的交替

如果推动浪的浪2是陡直调整，那就得预计浪4是横向调整，反之亦然。就像交替指导方针说明的那样，图2-1是推动浪——无论向上还是向下——最具特征的调整方式。陡直调整从不包含新的价格极端，即超过先前推动浪的正统终点的价格。它们几乎总是锯齿形（单锯齿形、双重锯齿形或三重锯齿形）调整浪；有时它们是以锯齿形开始的双重三浪。横向调整浪包括平台形调整浪、三角形调整浪、双重三浪和三重三浪。它们通常包含新的价格极端，也就是超过先前推动浪的正统终点的价格。在少数情况下，处于第四浪位置的规则三角形调整浪（不包含新价格极端的三角形调整浪）会取代陡直调整，并与处在第二浪位置的另一种横走模式交替。推动浪中的交替观点可以概括为：两个调整过程中的一个会包含回到或超过先前的推动浪终点的运动，而另一个则不会。

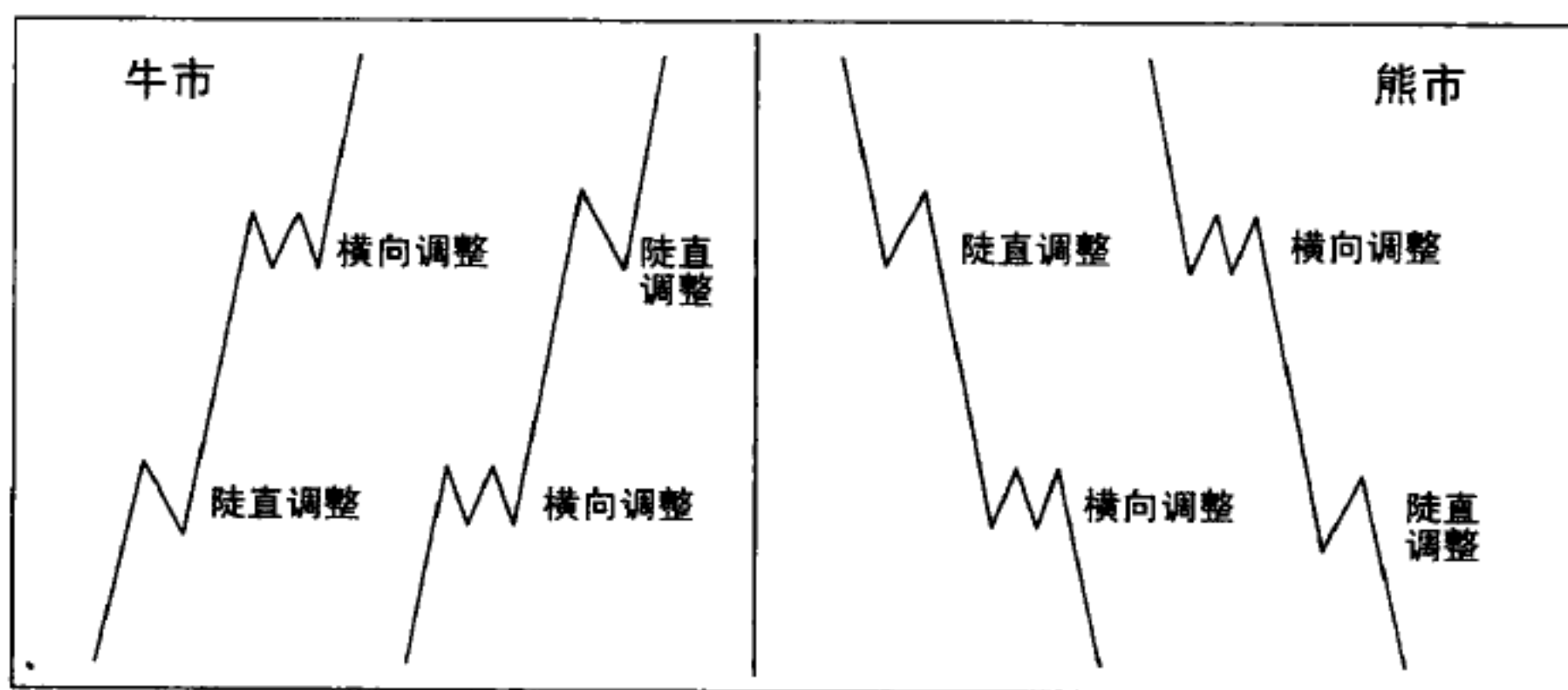


图 2-1

倾斜三角形不会在子浪2和4之间显示出交替。典型的，两个调整浪都是锯齿形。延长浪是交替的一种表现，因为驱动浪交替它们的长度。通常，第一浪是短浪，第三浪是延长浪，而第五浪再次是短浪。一般作为浪3出现的延长浪有时也会作为浪1或5出现，这是交替的另一种表现。

调整浪中的交替

如果调整以平台形a-b-c结构的浪A开始，那就得预计浪B是锯齿形的a-b-c结构，反之亦然（见图2-2和图2-3）。略为考虑一下，这种调整的合理性就很明显，因为图2-2反映两个子浪都偏向上，而图2-3反映都偏向下。

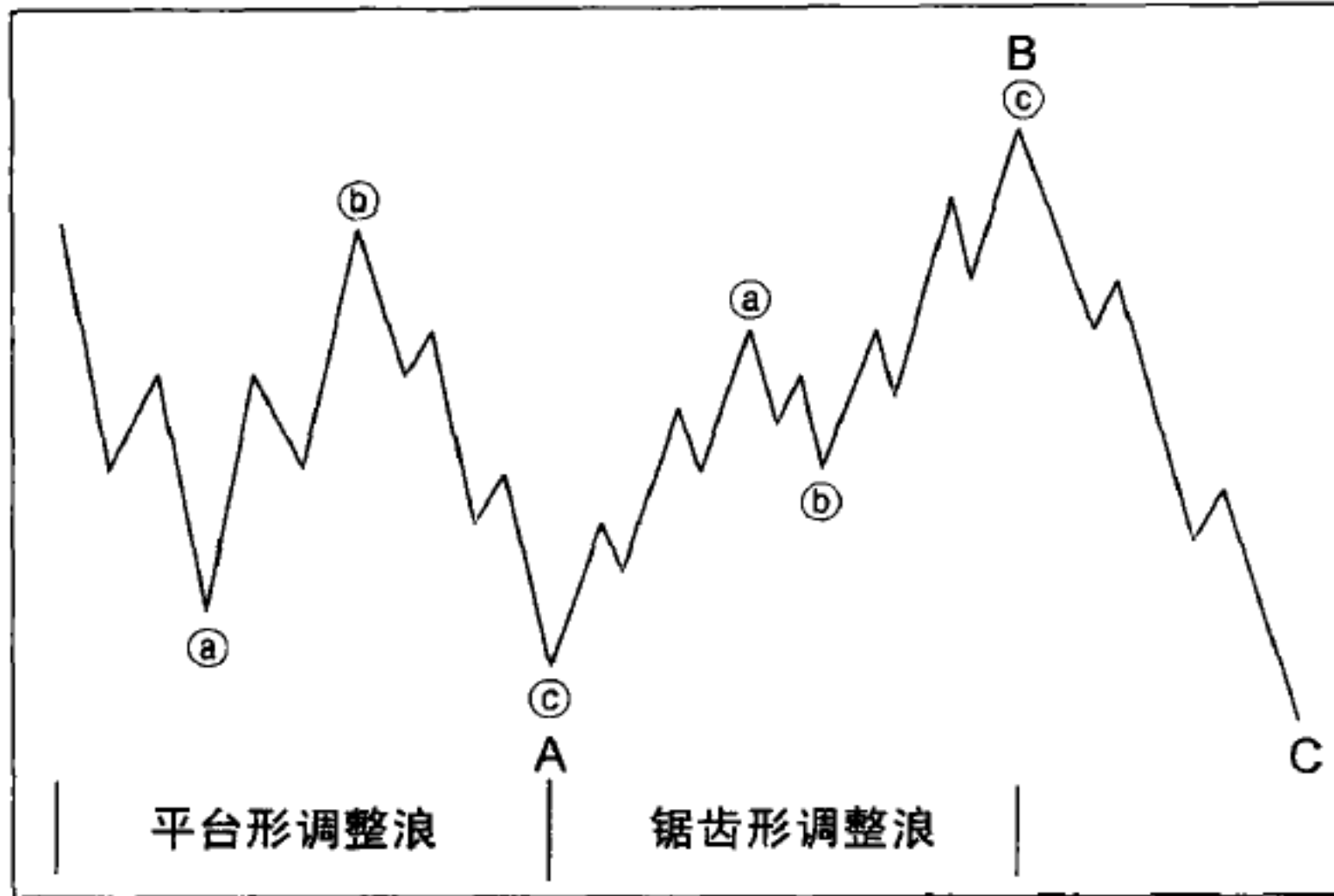


图 2-2

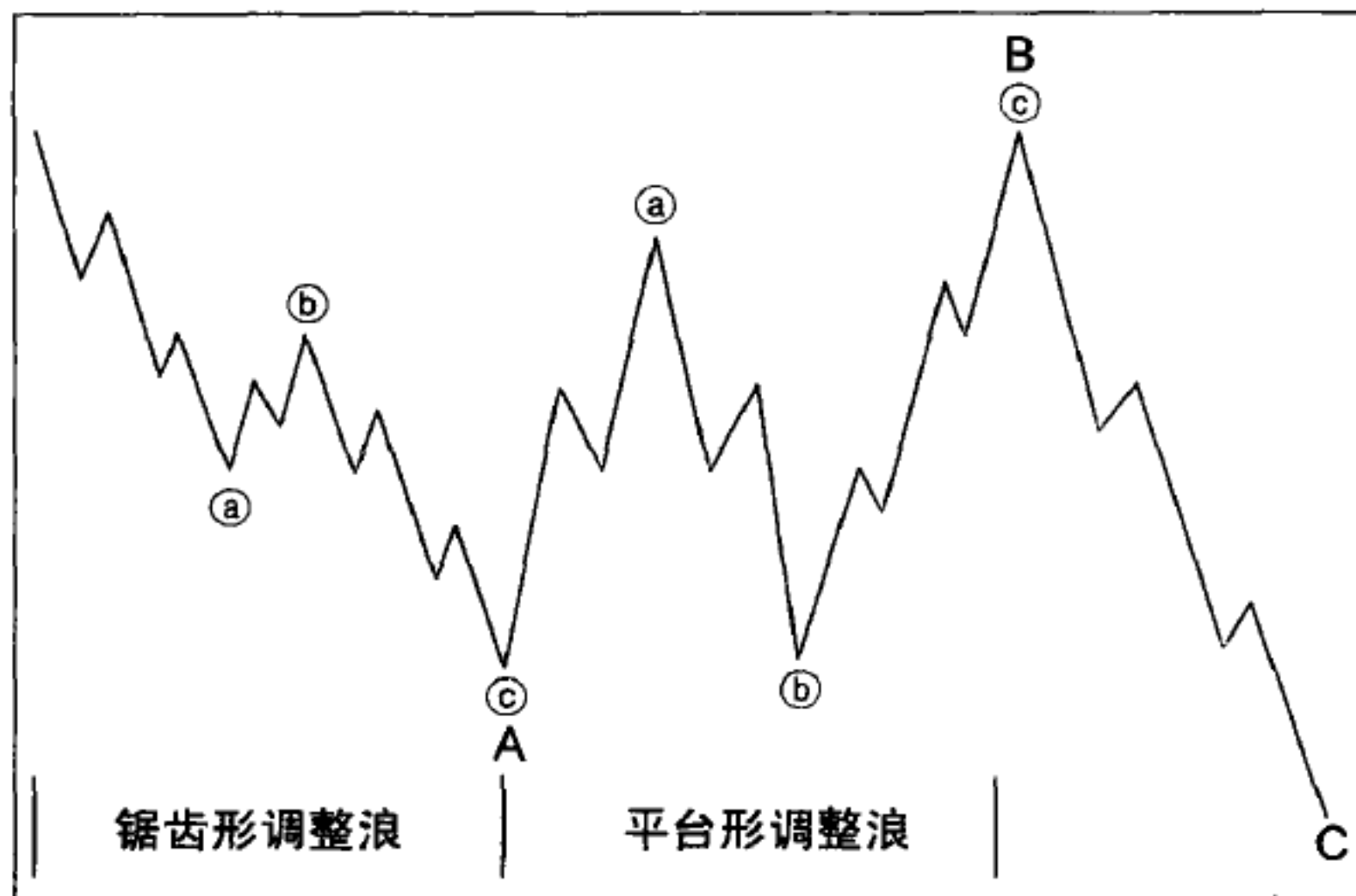


图 2-3

更常见的是，如果一轮大调整以简单的a-b-c锯齿形的浪A开始，那么

浪B就会展开更加精细细分的a-b-c锯齿形调整浪, 以实现一种类型的交替, 如图2-4。有时浪C会变得更复杂, 如图2-5。但复杂性的相反顺序就有些少见了。它出现的例子可以在图2-16中的浪4中找到。

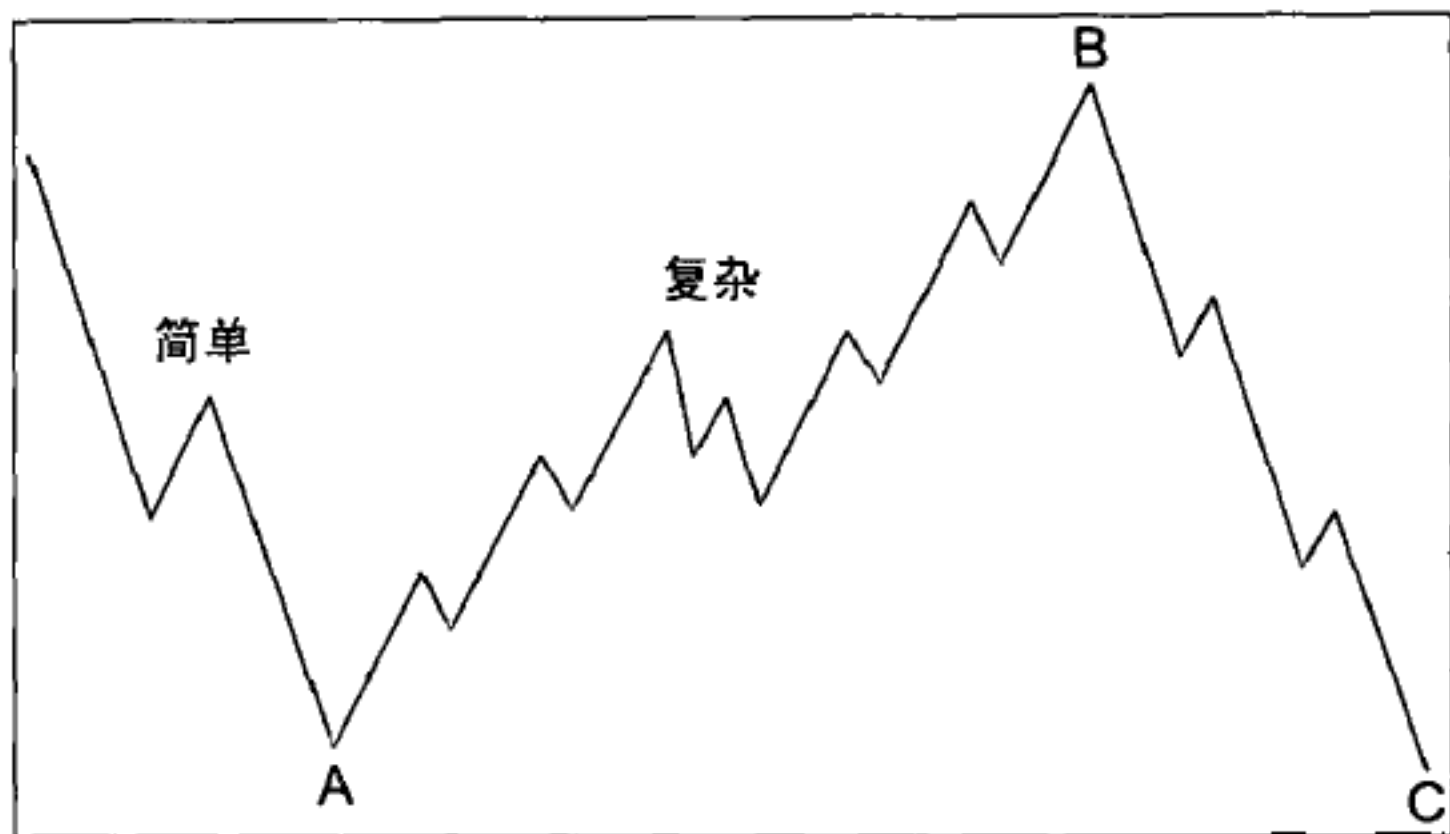


图 2-4

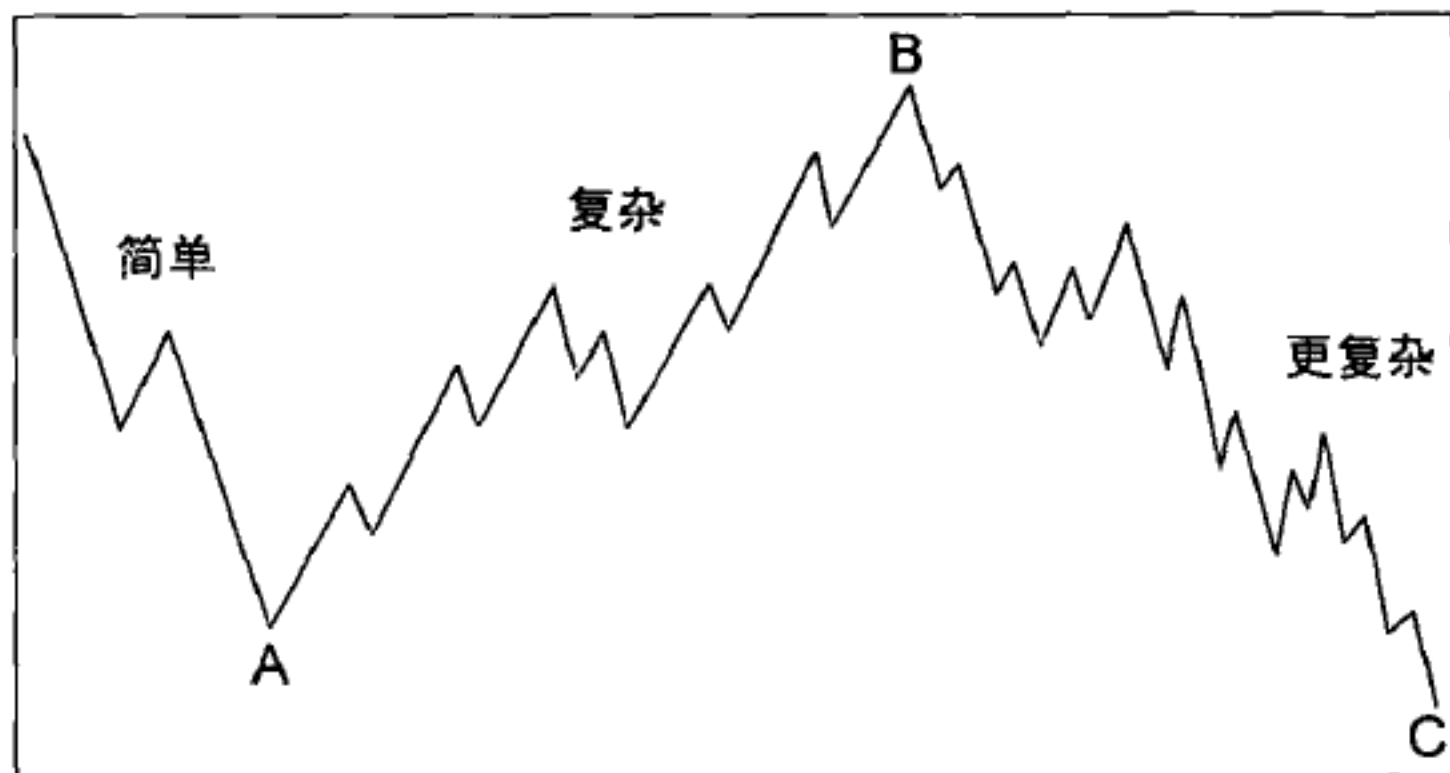


图 2-5

调整浪的深度

“一个熊市预计会跌多少？”除了波浪理论，没有哪种市场手段能给这个问题满意的回答。解答这个问题的主要指导方针是，调整浪——尤其当它们本身是第四浪的时候，往往在先前小一浪级的第四浪的运动区域内记录下它们的最大回撤，大多数情况下是在其终点的水平附近。

例1：1929～1932年的熊市

我们对1789～1932年这段时期的分析，使用了按定值美元校正的股票市场走势图。它由格特鲁德·舍克（Gertrude Shirk）制作，并在1977年1月号的《循环》（*Cycles*）杂志上出现。在此我们发现，1932年的超级循环浪的最低点，在先前循环浪级的第四浪——跨越1890～1921年的扩散三角形调整浪——的区域内见底（见图5-4）。

例2：1942年的熊市最低点

在这个情形中，1937～1942年的循环浪级熊市是一个锯齿形调整浪，它在1932～1937年牛市的第四大浪的区域内结束（见图5-5）。

例3：1962年的熊市最低点

1962年，浪④的暴跌刚好把平均指数带到了1949～1959年的五浪结构的大浪序列在1956年形成的最高点之上。正常情况下，这个熊市本该跌进浪(4)——浪③中的第四浪调整——的区域。不过，这次有限的失败说明了为什么这个指导方针不是一种规则。先前强劲的第三浪延长，以及浪(4)中回撤不深的A浪和强劲的B浪，都指明了这个波浪结构中的力量，它导致了这种适度的净调整深度（见图5-5）。

例4：1974年的熊市最低点

1974年的最后一跌，结束了1966～1974年循环浪级的浪IV对从1942年起涨的整个浪III的调整，它把平均指数带入了先前小一浪级的第四浪（大浪④）区域。图5-5再次显示了这种调整深度。

例5：伦敦黄金熊市，1974～1976年

这里我们有一个来自另一个市场的例子，说明调整浪在先前小一浪级的第四浪的运动幅度内结束的倾向（见图6-11）。

在过去20年中，我们对浪级较小的波浪序列的分析进一步证实，任何熊市的极限通常是先前小一浪级的第四浪的运动区域，尤其是当被研究的熊市本身是第四浪的时候。但是，在对指导方针的合理修正中，如果一个波浪序列中的第一浪延长，那么第五浪后的调整会以小一浪级的第二浪的底为典型极限也是常见的情况。例如，跌至1978年3月的DJIA，正好在1975年3月的第二浪的最低点见底，这个第二浪跟在从1974年12月的最低点涨起的延长的第一浪之后。

有时，平台形调整浪或三角形调整浪——尤其是那些跟在延长浪后面的，通常会以微小的幅度达到第四浪的区域（见例3）。有时，锯齿形调整浪会大幅下跌，并深入到先前小一浪级的第二浪的区域，尽管这几乎仅发生在这个锯齿形调整浪本身是第二浪的时候。“双重底”有时就是这样形成的。

第五浪延长后的市场行为

有了20多年日积月累的对DJIA的小时变化的观察，本书作者确信艾略特不严密地交代了他有关延长浪的发生和延长浪后的市场行为的某些发现。能够从我们对市场行为的观察中提炼出的最重要的源自经验的规则是，如果上升行情的第五浪是延长浪，那么继而发生的调整浪将是陡直的，而且会在延长浪中的浪2的最低点找到支撑。有时调整会在那里结束，如图2-6所示，而有时只有浪A在那里结束。尽管存在的实际例子的数量有限，但A浪在这个位置反转的精度不同寻常。图2-7既说明了锯齿形调整浪，又说明了扩散平台形调整浪。在图5-5中，可以在浪II中的浪①的最低点发现一个涉及锯齿形调整浪的实例，而在图2-16中，可以在浪4中的浪②中的浪(a)的最低点发现一个涉及扩散平台形调整浪的实例。正如你会在图5-5中目睹的那样，浪(IV)中的浪a在浪③中的浪(2)附近筑底，

而这个浪⑤是1921~1929年的浪V中的延长浪。

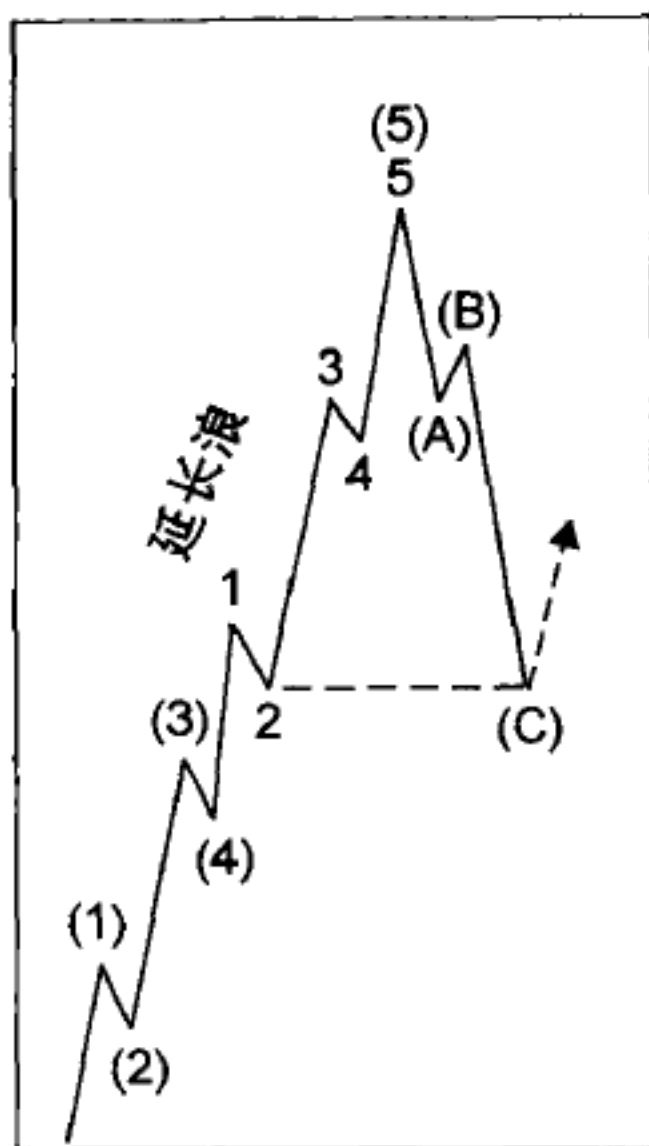


图 2-6

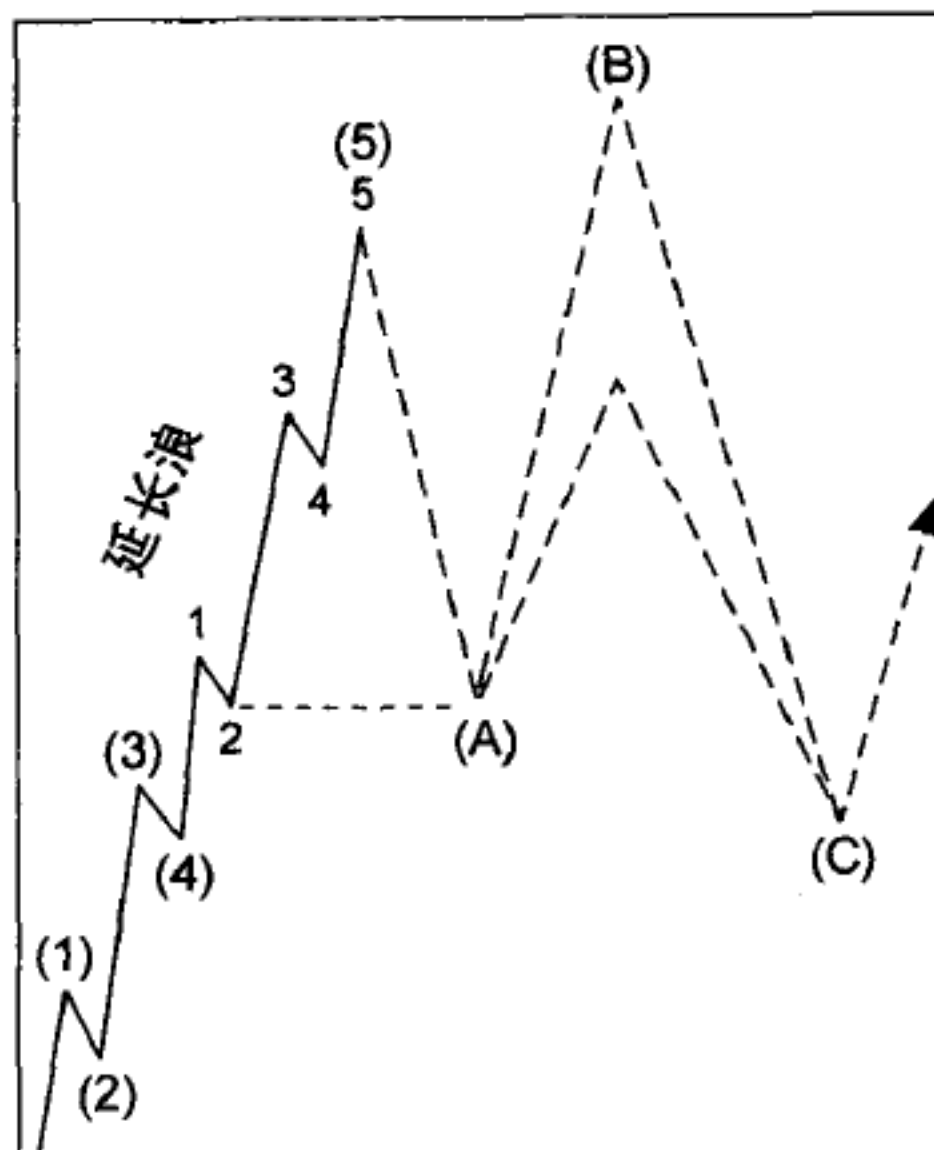


图 2-7

既然一个延长浪的第二浪的最低点通常处于或接近于紧连着的先前大一浪级的第四浪的价格运动区域，那么这个指导方针包含的市场行为与先前的指导方针包含的相类似。但是，这个指导方针的精度很显著。第五浪延长后通常有快速的回撤，这种事实又提供了额外的价值。因此，第五浪延长的发生是对市场戏剧性地反转至一个特定水平的预警，这是对知识的有力综合。如果股市不只在浪级结束第五浪，那么这个指导方针就不需要运用，然而图5-5中的市场行为（见上面的说明）说明我们仍应将这个位置至少看做是潜在的支撑或暂时的支撑。

波浪等同

波浪理论的指导方针之一是，一个五浪序列中的两个驱动浪在时间和幅度上趋向等同。如果一个驱动浪是延长浪，那么另外两个驱动浪通常就出现这种情况，而且如果第三浪是延长浪，这就尤为明显。如果缺乏

完美的等同，那么0.618倍很可能是下一个关系（见第3章和第4章）。

当波浪大于中浪级时，价格关系通常必须用百分比来交代。这样，在1942~1966年的整个延长循环浪的上升行情中，我们发现大浪级的浪①在49个月里运行了120点，也就是上涨129%，而大浪⑤在40个月里运行了438点（见图5-5），也就是上涨80%（0.618乘以129%的涨幅），这与持续了126个月的第三个大浪的324%的涨幅相差甚远。

当波浪处于中浪级或中浪级以下时，价格等同通常可以用算术来交待，因为百分比长度也几乎相等。因此，在1976年底的反弹中，我们发现浪1在47个交易小时内运行了35.24点，而浪5在47个交易小时内运行了34.40点。波浪等同指导方针常常极为准确。

绘制波浪

A. 汉密尔顿·博尔顿总是坚持绘制“小时收盘价”走势图，也就是表示每小时结束时的价格走势图，本书的作者也是如此。艾略特本人无疑也有同样的习惯，因为在《波浪理论》中，他出示了一张1938年2月23日至3月31日的股票市场小时走势图。每个艾略特波浪理论的实践者，或任何对波浪理论感兴趣的人，都会发现绘制DJIA的小时波动有指导意义而且有效，《华尔街日报》（*The Wall Street Journal*）和《巴伦》（*Barron's*）^①都出版这种走势图。这是项简单的任务，只需要每周几分钟的工作。柱线图（bar chart）虽好，但可能使人误入歧途，因为它揭示的是发生在每条柱线时间变化附近的价格波动，而不是柱线时间内的价格波动。实际印刷数值必须全部绘制。那些所谓的DJIA“开盘”（opening）和“理论日内价格”（theoretical intraday）数值是统计上的发明，并不能反映任何特定时刻的平均指数。这些数值分别代表了一堆可能在不同时

^① 道琼斯公司出版的一份关于金融和投资事务的周刊。1924年创刊。——译者注

候发生的开盘价，或是单个指数股的一大堆每天的最高价或最低价，而不管这些价格极端是在一天中的什么时候产生的。

波浪分类的主要目的是为了确定股价在股市前进中所处的位置。这种练习非常简单，只要波浪数像在快速运动、情绪高涨的市场中，特别是像在推动浪中那样清晰明了，此时微小的波浪运动通常以不成熟的方式展开。在这些情况下，就必须绘制短期走势图来观察所有的细分浪。但是，在低迷或波幅很小的市场中，尤其是在市场调整中，波浪结构很可能发展得复杂且缓慢。在这些情况下，长期走势图常常有效地将市场运动浓缩成一种使前进中的波浪模式清楚明了的形态。正确理解波浪理论，有时可以预计横走的趋势（例如，当浪2是锯齿形时的第四浪）。但即使在预测时，复杂性和缺乏生气对分析人士来说也是最令人灰心丧气的事。然而，它们是现实市场的一部分，而且肯定会遇上。本书作者极力建议你在这种时候从市场脱身一段时间，享受在快速展开的推动浪中获得的利润。你不能“希望”市场进入运动；市场可不听你摆布。当市场休息的时候，你也休息。

追踪股市的正确方法是用半对数刻度走势图，因为市场的历史仅以百分比相关联。投资者关心的是盈亏的百分比，而不是市场平均指数运行的点数。例如，1980年时DJIA的10个点，意味着1%的运动；但在20世纪20年代初，10个点则意味着10%的运动，相比之下重要得多。然而，为了作图方便，我们建议仅用半对数刻度绘制长期走势，这时的差别非常显著。算术刻度适用于跟踪小时波浪，因为按百分比计算，DJIA在800点反弹40点与DJIA在900点反弹40点的差别不大。这样，对于短期运动中，通道技术就可很好地运用在算术刻度上。

通道

艾略特曾提到，平行的趋势通道常常可以相当准确地标出推动浪的上下边界。你应尽早绘制出一条价格通道来帮助确定波浪的运动目标，并为趋势未来的发展提供线索。

一个推动浪的原始通道至少需要三个参考的点。当第三浪结束的时候，先连接标示着1和3的两点，然后做一条平行线触及标示着2的点，如图2-8所示。这种构造为第四浪提供了预计的边界（大多数情况下，第三浪会走得很远，以至于它的起点被排除在最终通道的接触点之外）。

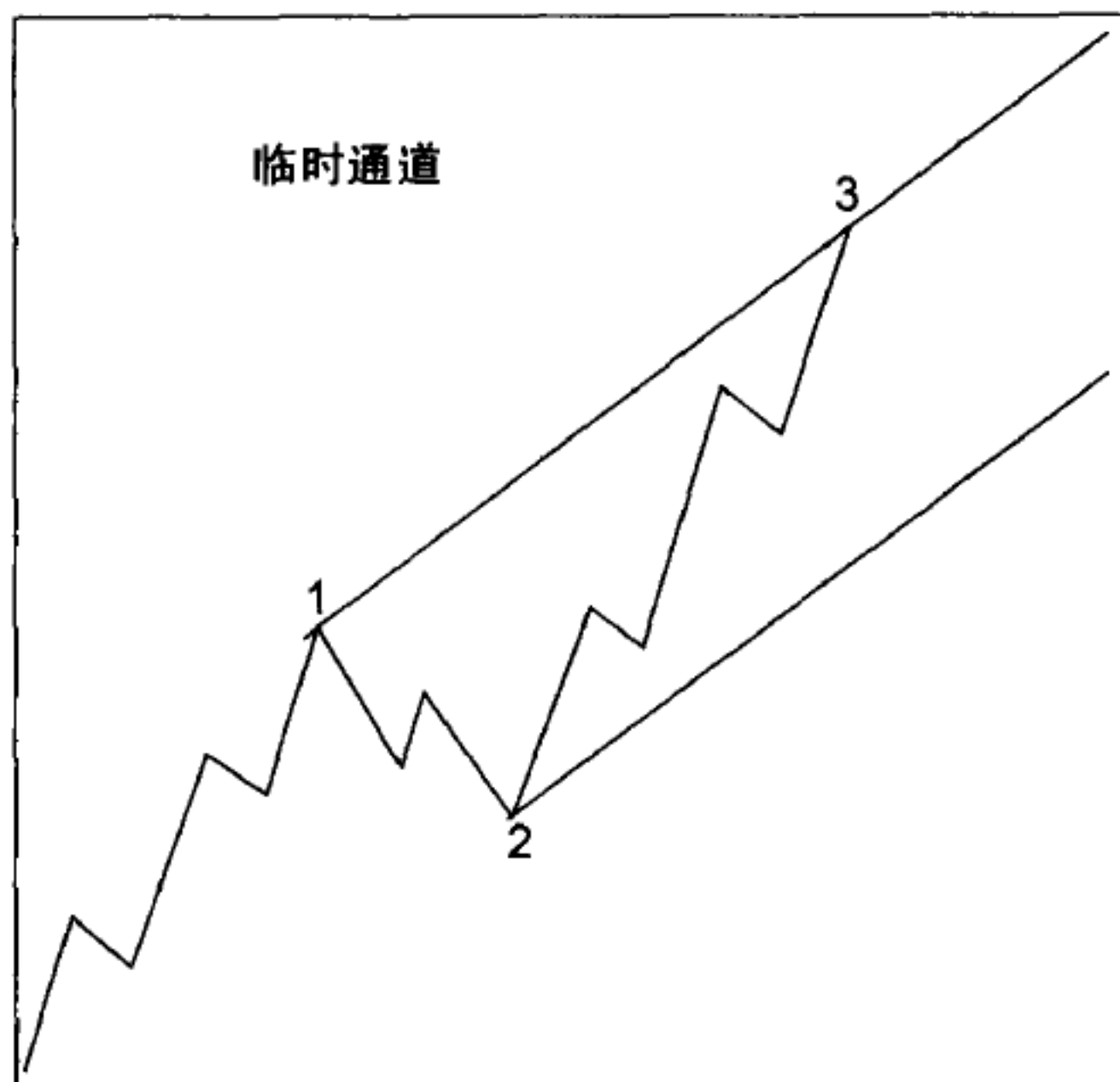


图 2-8

如果第四浪的终点没有触及平行线，那么为了给第五浪估计边界，你必须重建通道。首先连接浪2和浪4的终点。如果浪1和浪3正常，那么触及浪3顶点绘制的上平行线就能准确预示浪5的终点，如图2-9所示。如果浪3异常强劲，几乎竖直，那么由它的顶点做出的平行线就会太高。经验表明，与触及浪1终点的基线相平行的线更有效，如我们绘制的1976年8

月~1977年3月的金价走势(见图6-12)。在某些情况下,画两条潜在的上边界线有助于提醒你特别注意这些位置上的数浪和成交量特征,然后像波浪数保证的那样采取适当的行动。

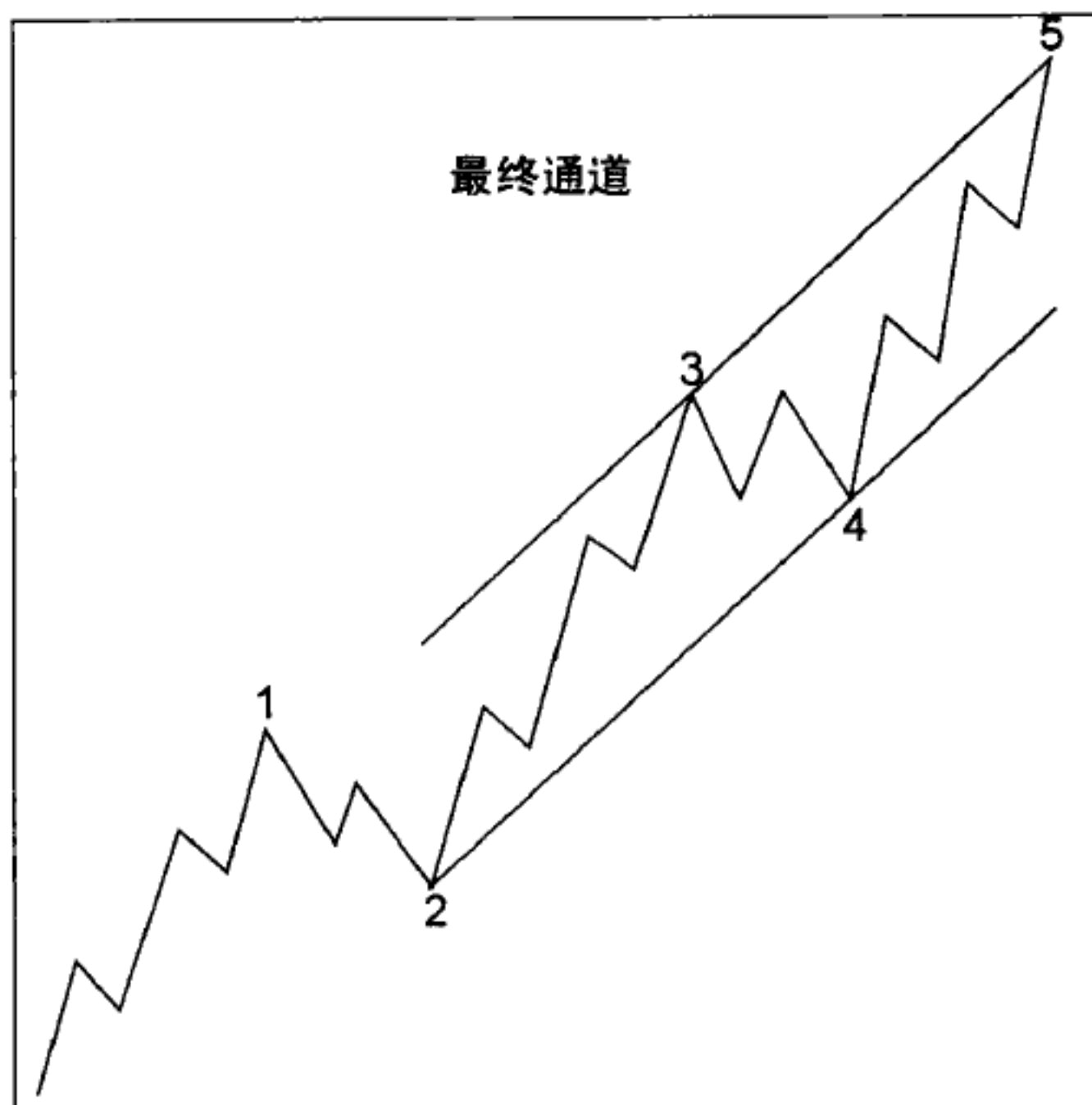


图 2-9

永远记住,所有浪级的趋势总是同时运转。例如,有时一个大浪级的第五浪中的中浪级的第五浪会在趋势在这两个浪级同时到达上边界线时结束。或者有时,超级循环浪级的翻越会正好在市场在循环浪级到达通道的上边界线时终止。

翻越

在平行通道或倾斜三角形的汇聚线内,如果第五浪在成交量萎缩中向它的上趋势线运动,就说明波浪的终点将要到达或到达不了上趋势线。如果在第五浪向上趋势运动时成交量巨大,就说明了穿过上边界线的可能性,这就是艾略特所说的“翻越”。在翻越点附近,小一浪级的第四浪

会紧贴在平行通道下部横走，使第五浪在最后的成交量巨放中突破通道。

浪4或浪5中的浪2产生的“翻下”(throw-under)常常能预示翻越的发生，正如取自艾略特《波浪理论》的图2-10描绘的那样。翻越可用即刻回到通道线下方的反转来印证。有同样特征的翻越也会在下跌市场中出现。艾略特曾正确警告说，浪级较大的翻越会使翻越期间的浪级较小的波浪难以识别，因为最后的第五浪时常向上穿过浪级较小的价格通道。图1-17、图1-19和图2-11显示了翻越的实际例子。

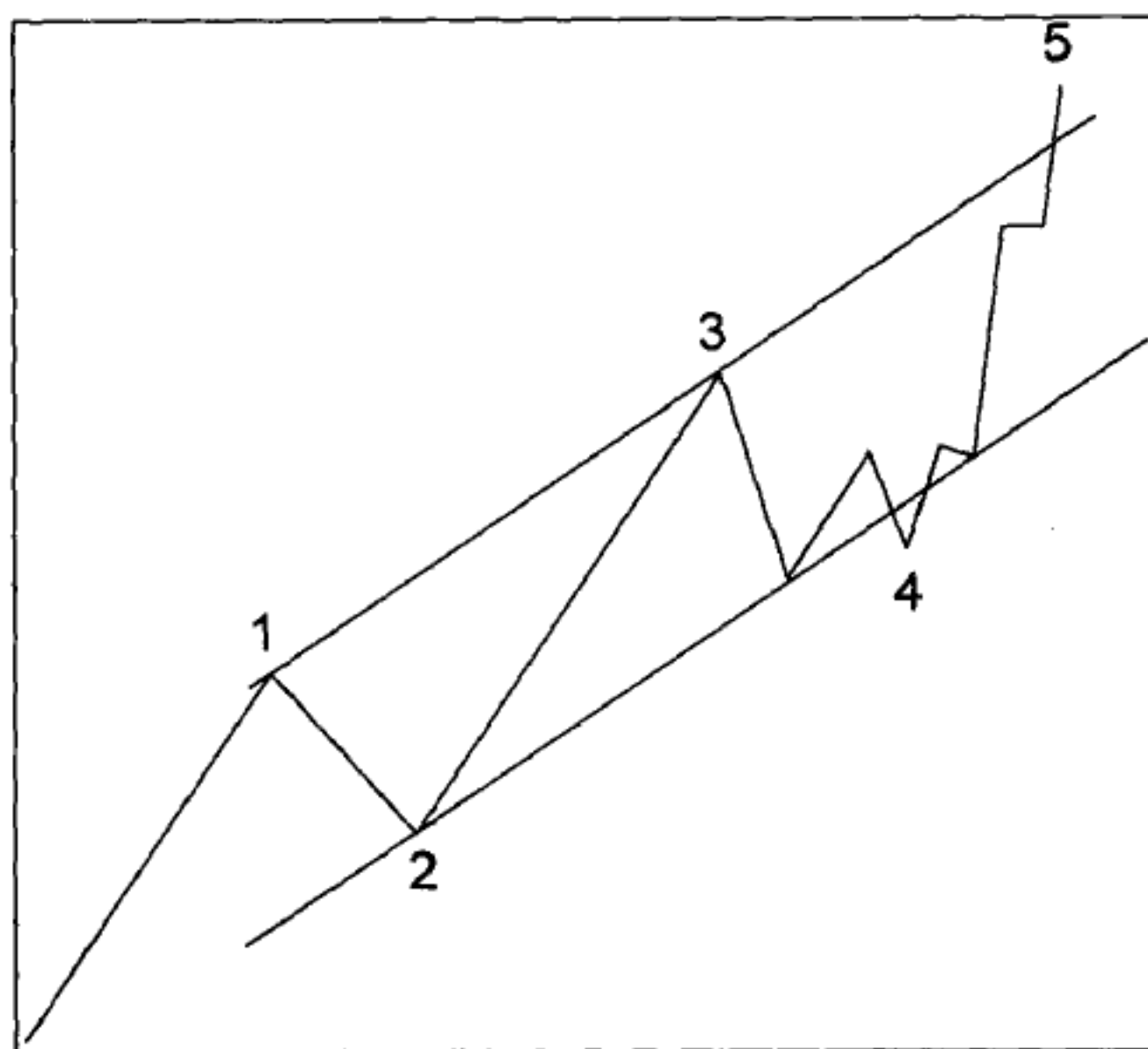


图 2-10

✓ 刻度

艾略特认为，在半对数刻度上绘制通道的必要性表明了通货膨胀的存在。时至今日，没有哪个波浪理论的学者怀疑这个显然错误的假设。一些对艾略特来说的明显差异，可能归咎于他绘制的波浪的浪级差异，因为浪级越大，通常就越有必要使用半对数刻度。另一方面，1921~1929年的市场在半对数刻度上形成的完美价格通道（见图2-11），以及在算术

刻度上的1932~1937年的市场表明，只有选择了适当的刻度绘制走势，同一浪级的波浪才会形成正确的艾略特趋势通道。在算术刻度上，20世纪20年代的牛市加速超出上边界，而在半对数刻度上，20世纪30年代的牛市却远达不到上边界。

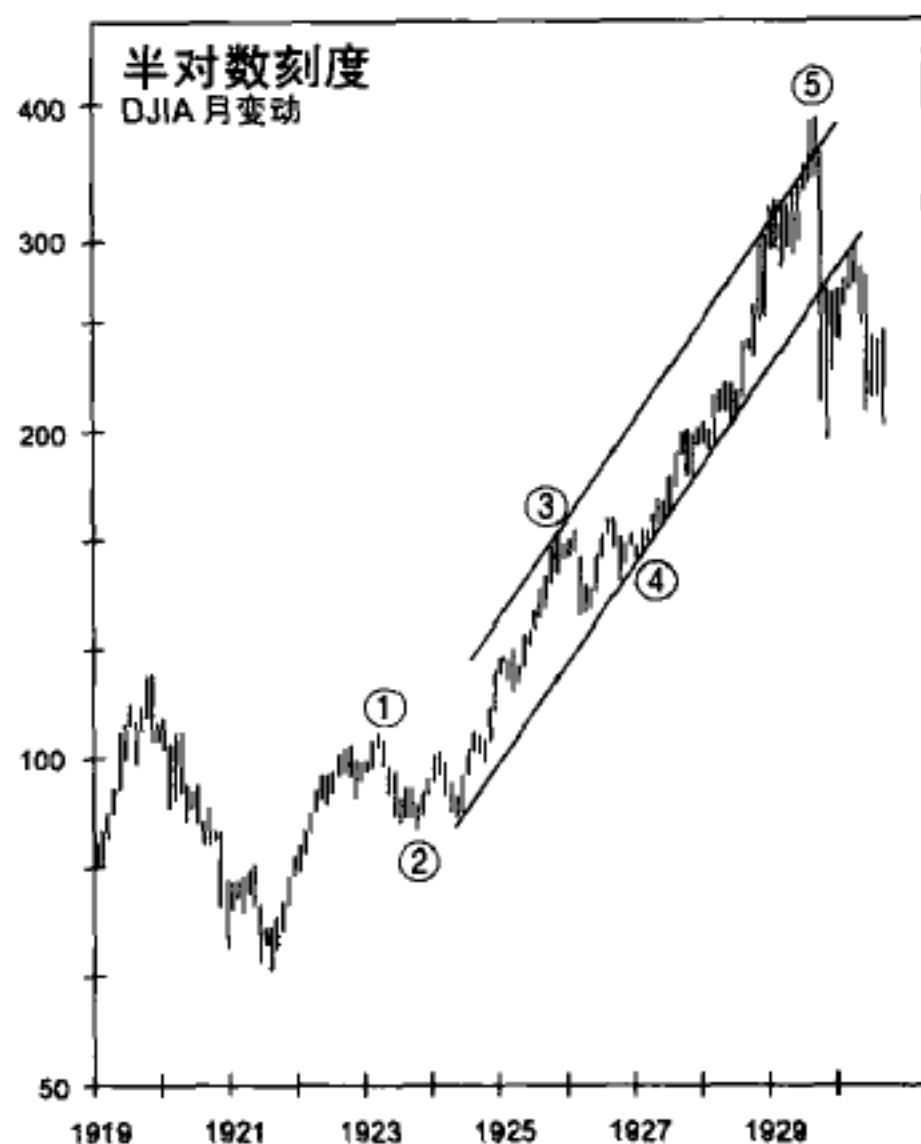


图 2-11

至于艾略特有关通货膨胀的论点，我们注意到20世纪20年代实际伴随着轻微的通货紧缩，因为消费者价格指数（consumer price index, CPI）^①平均每年下降0.5%，而1933~1937年这个时期却是轻微的通货膨胀，CPI平均每年上涨2.2%。这种货币背景使我们确信通货膨胀并不是采用半对数刻度的必要原因。实际上，除了通道中的这种差异以外，这两个循环浪的规模惊人地相似：它们创造了几乎相同的价格倍率（分别是6倍和5倍），它们都含有延长了的第五浪，而且在每个情形中，第三浪的顶点在底部之上有相同的百分比涨幅。两个牛市之间的本质区别是每一个子浪的外形和时间长度不同。

^① 美国劳工部的劳动统计局发布的衡量生活成本的指数，始于第一次世界大战。——译者注

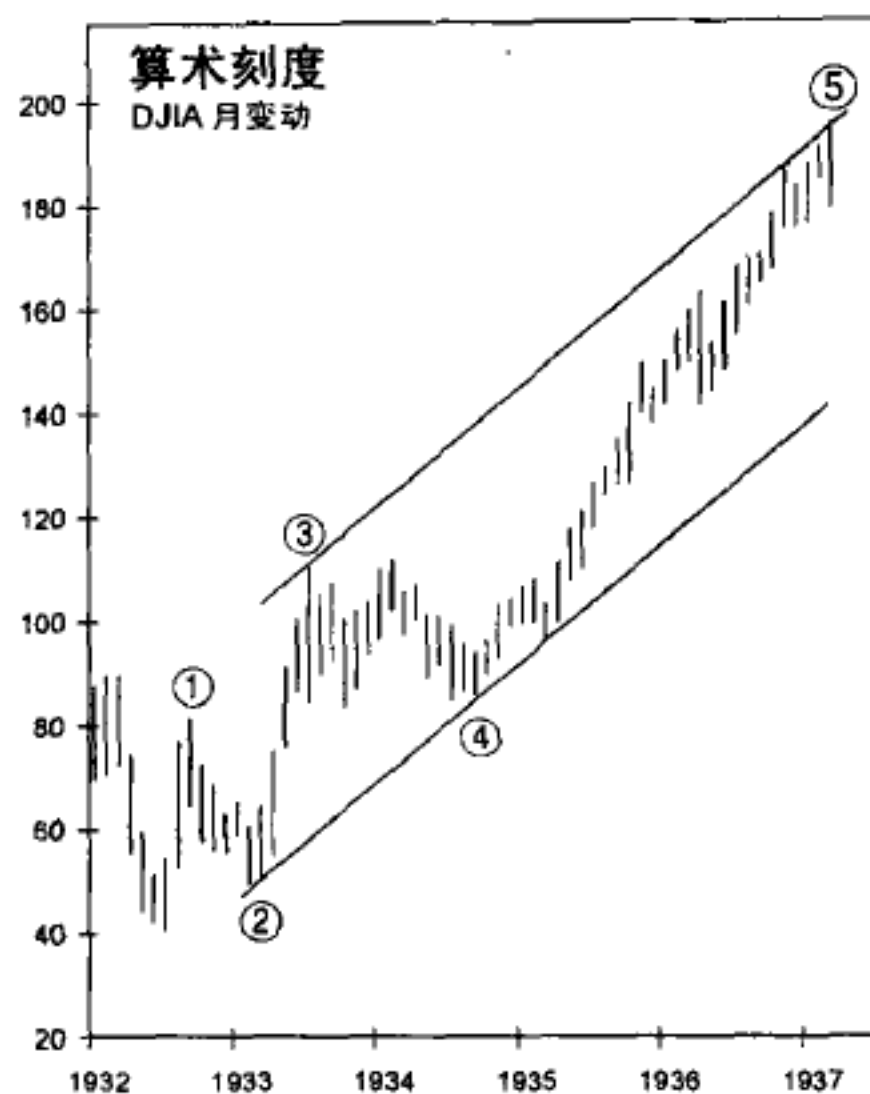


图 2-12

至多，我们能说半对数刻度的必要性表明了一个处于加速过程中的波浪，而无论出于何种大众心理原因。给定一个单一的价格目标和一段特定的时间长度，任何人都可以通过调整波浪的倾斜与波浪通道相适应，从同样的起点在算术刻度和半对数刻度上圆满地画出假设的艾略特波浪通道。因此，在算术刻度上或是在半对数刻度上预测平行通道的问题，就建立有关这个主题的规则而言仍悬而未决。如果在任何时刻的价格发展都不能在你使用的刻度上有序地落在两条平行线内，那么为了从正确的角度观察通道得采用别的刻度。为了站在所有的发展之巅，你应永远采用这两种刻度。

成交量

艾略特用成交量作为校验数浪并预测延长浪的工具。他识别出，在牛市中，成交量有随价格变化的速度放大或萎缩的自然倾向。在调整阶段后期，成交量萎缩通常表示卖压下降。在市场中，成交量的最低点常常与转折点同时发生。在大浪级以下的正常第五浪中，成交量往往比在第

三浪中的少。如果上升中的大浪级以下的第五浪的成交量与第三浪的相比持平或放大，那么第五浪延长就有效。如果第一和第三浪的长度基本相等，至少可以预测第五浪延长很可能出现，同时，它是第三和第五浪都延长的那些罕见时候的最佳警告。

在大浪级和大浪级以上，成交量往往会在上涨的第五浪中放大，而这仅仅是因为牛市参与者的数量自然的长期增长。实际上，艾略特注意到，大浪级以上的牛市终点的成交量常常创天量。最后，如前面讨论的那样，在平行趋势通道线或倾斜三角形的阻力线的翻越点，成交量常常短暂骤放（有时，这样的点会同时出现，因为此时倾斜三角形第五浪正好在包含大一浪级价格活动的通道的上平行线结束）。

除了这几个颇具价值的观察以外，我们还在本书的不同小节深入探讨了成交量的重要性。就成交量指导数浪和波浪预期而言，成交量最为重要。艾略特曾说过，成交量独立跟随在波浪理论的各种模式之后，这是一个本书作者没有发现任何可信证据的论断。

“正确的外表”

一个波浪的总体外形必须与适当的图解一致。尽管我们可以通过把最初的三个细分浪标示为单一的浪A，从而将任何五浪序列强数成三浪，如图2-13所示，但这样做不正确。如果允许这样的扭曲存在，那么艾略特理论分析就会失去根基。如果第四浪在远高于第一浪顶部的位置结束，那么这个五浪序列就必须归为推动浪。在这个假设情况中，既然浪A由三个浪组成，那么浪B就可能像在平台形调整浪中那样跌到浪A的起点附近，但浪B明显没有这样走。尽管波浪的内部波浪数是其分类的指导，但正确的总体外形常常是其正确内部波浪计数的指导。

必须用我们到目前为止在第1、2两章中阐述的所有因素来控制一个波

浪的“正确的外表”(right look)。在经验中我们发现,仅仅因为波浪理论中的各种模式相当灵活,就让我们对市场的冲动使我们接受反映比例失调的波浪关系,或扭曲的波浪模式的波浪计数,是极其危险的。

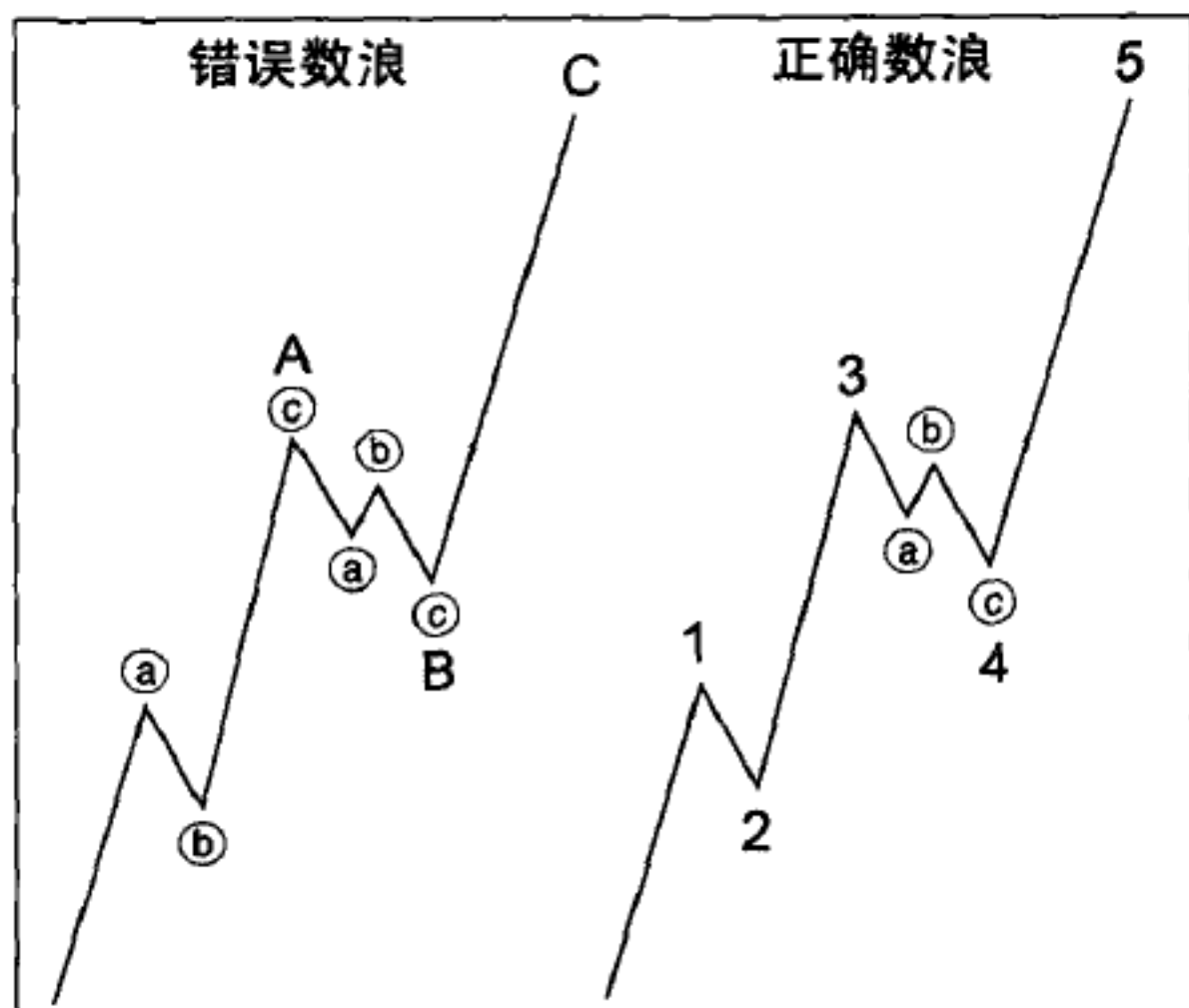


图 2-13

艾略特警告说,“正确的外表”并不一定在所有浪级的趋势中同时显现。解决方案是专注于最清晰的浪级。如果小时走势图含混不清,那就回过头去看看日走势图和周走势图。反过来说,如果周走势图提供了太多的可能性,那就注意短期的市场运动,直至更大的画面使之明朗。一般来说,你需要短期走势图来分析快速运动市场中的细分浪,并用长期走势图来分析运动缓慢的市场。

波浪个性

波浪个性的观点是对波浪理论的重要扩展。它具有把人类行为更加个性化地带入方程的优势。

艾略特波浪序列中的每一浪的个性,是反映它所包含的群体行为的必不可少的部分。群体情绪从悲观到乐观,再从乐观到悲观的前进,在每个时间轮回中往往沿着相似的路径,这在波浪结构中的相应点产生了相

似的环境。每一种波浪类型的个性显示出该浪属于甚超级循环浪级还是亚微浪级。当由于其他原因数浪不清，或存在不同的研判时，这些性质不仅可以预先警告在下一个波浪序列中要期待什么，而且有时可以帮助判定在波浪前进中市场的当前位置。在波浪展开过程中，有时根据所有已知的艾略特规则会有几种相当可行的数浪结果。正是在这些交汇点上，波浪个性的知识可能非常宝贵。认清单个波浪的性质常常使你得以正确研判更大模式的复杂性。下面的讨论与牛市图形有关，如图2-14和图2-15所示。当作用浪向下，而反作用浪向上时，这些观察资料反过来用。

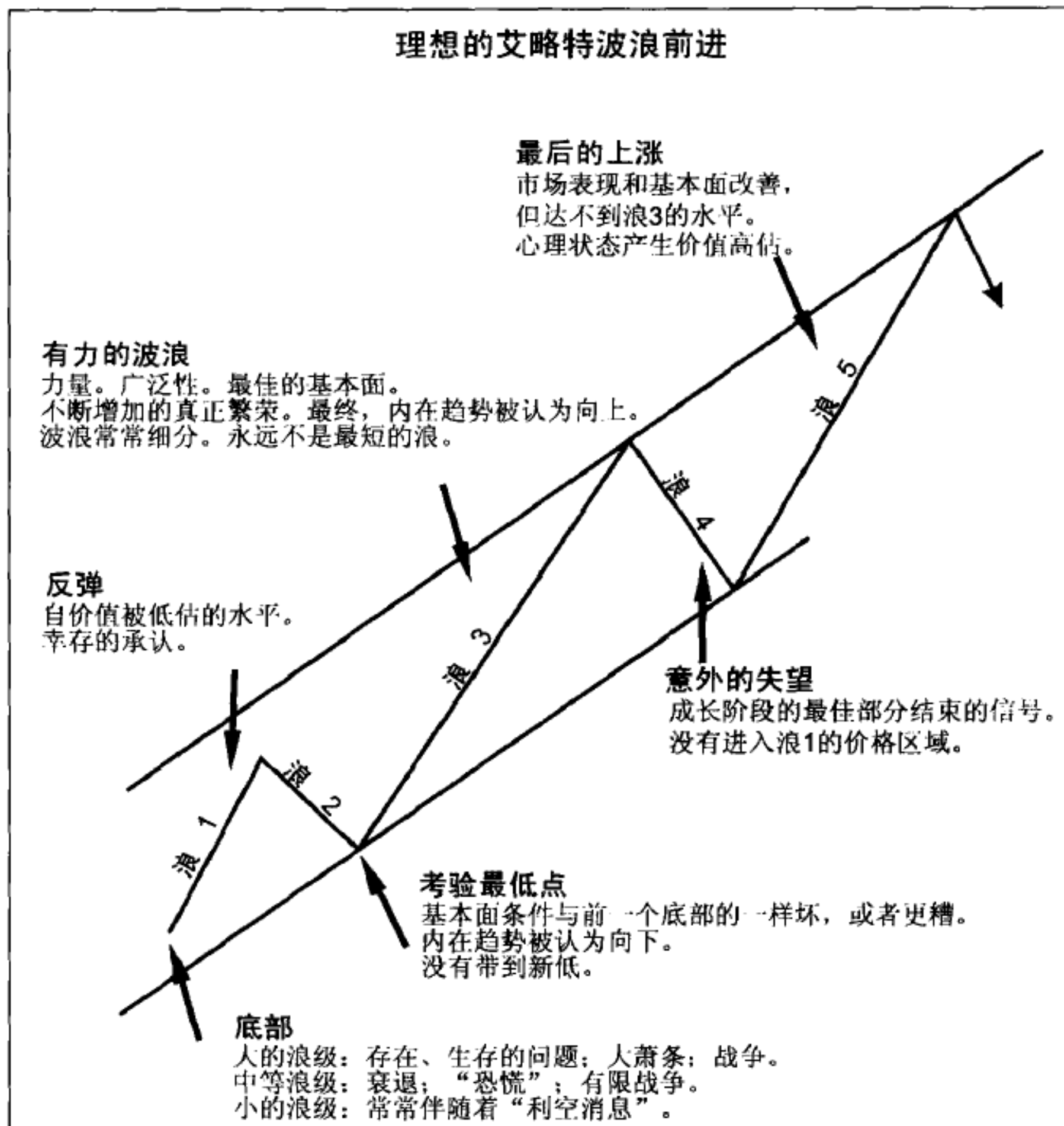


图 2-14

1) **第一浪**——粗略估计, 大约一半的第一浪是“打底”(basing)过程中的一段, 因此它们常常被浪2大幅调整。然而, 与先前下跌中的熊市反弹相比, 这个第一浪的上扬在技术上更有结构性, 常常显示出成交量和广泛性的轻度增加。此时大量的卖空显而易见, 因为大多数人最终开始确信大势向下。投资者们最终“又多了一次做空的反弹”, 因而他们抓住不放。另外50%的第一浪, 或是从先前的调整浪形成的大底部涨起——像在1949年中的那样, 或是从下跌失败涨起——像在1962年中的那样, 或是从极度的压制涨起——像在1962年和1974年中的那样。这样开始的第一浪非常有力, 而且仅受到略微的回撤。

2) **第二浪**——第二浪常常回撤掉第一浪的大部分, 因而到那时获得的大部分利润会在第二浪结束时丧失殆尽。这在买入看涨期权(call option)[⊖]中尤其明显, 因为在第二浪的恐慌环境下, 期权权利重(premium)[⊖]猛烈下跌。此时, 投资者们彻底相信熊市又回来了。第二浪常常以非常低的成交量和波动性结束, 这表明卖压正在消失。

3) **第三浪**——第三浪是要看到的奇迹。它们强劲且广泛性强, 因此这时的趋势准确无误。因为信心恢复, 有利的基本面逐渐进入画面。第三浪通常产生最高的成交量和最大的价格运动, 而且大部分时候是序列中的延长浪。当然, 它符合第三浪中的第三浪, 诸如此类, 在任何波浪序列中将是力量最具爆炸性的时候。这种时候总免不了产生突破、“持续”跳空、成交量放大、异常的广泛性、主要道氏理论趋势的印证, 以及失去控制的价格运动, 这根据浪级在市场中产生了巨大的小时盈利、日盈利、周盈利、月盈利或年盈利。基本上所有的股票都参与到了第三浪中。除了B浪的个性以外, 第三浪的个性在波浪展开时能提供最有价值的数浪线索。

⊖ 以设定的价格在期权到期之日前的任何时间买入股票(通常是100股)的权利。看跌期权(put option)则是卖出股票的权利。——译者注

⊖ 看涨期权或看跌期权的价格。——译者注

4) **第四浪**——第四浪的深度和形态是可预测的，因为根据交替指导方针，它们应该与先前相同浪级的第二浪不同。第四浪往往呈横向趋势，为最后的第五浪运动打底。表现不佳的股票在该浪期间做头并开始下跌，因为首先只有第三浪的力量才能在它们之中产生运动。市场中的这种初步恶化开始了没有印证和第五浪中走软的微弱信号的阶段。

5) **第五浪**——就广泛性而言，在股市中第五浪的力度比第三浪的小。通常，它们还显示出较低的价格变化最大速度，尽管如果第五浪是延长浪的话，那么第五浪中的第三浪的价格变化速度可能超过第三浪的价格变化速度。相似地，虽然成交量常常在循环浪级或浪级更大的相继的推动浪中持续放大，但它只有在第五浪延长时才出现在大浪级以下的第五浪中。否则的话，寻找较少的成交量作为第五浪中的规则而不是第三浪中的规则。市场戏水者有时指望在长期趋势的尽头出现“喷发”(blowoff)，但股票市场没有在顶峰达到最高加速度的历史。即便第五浪延长，第五浪中的第五浪也缺乏产生这种现象的活力。在上升的第五浪中，尽管广泛性逐渐变窄，投资者的乐观情绪却异常高涨，而且，市场活动确实比前面调整浪中的反弹增加了。例如，1976年末的道指反弹并不激动人心，但相对于先前在4月、7月和9月上涨的调整浪，它无疑是驱动浪，而那些调整浪相比之下对二级指数(secondary indexes)^①和累积腾落指标(cumulative advance-decline line)的影响更弱。作为对第五浪能够产生的乐观情绪的纪念，在那次反弹结束两周后，对投资顾问机构的民意调查取得了在有数值记录的历史上最低的“熊市”百分比：4.5%，尽管那个第五浪未能创出新高！

6) **A浪**——在熊市的A浪期间，投资界一般确信这次反作用浪只是下一腿上升行情前的退却。大众蜂拥买入，尽管有这种个股形态上的第一个真

^① 即道琼斯工业股平均指数以外的分类股票指数，如高技术股指数、金融股指数等。

正的技术性破坏裂纹。A浪为随后的B浪定下了调子。五浪结构的浪A意味着浪B是锯齿形调整浪，而三浪结构的浪A意味着平台形或三角形调整浪。

7) B浪——B浪是赝品。它们是无知者的举动、牛市陷阱、投机者的天堂、零股投资者心态的放纵，或愚蠢的投资机构者自满情绪的显露（或两者兼有）。它们通常只集中于少数股票，常常没有被其他平均指数“印证”（见第7章对道氏理论的讨论），技术上也极少是强势，而且注定要被浪C完全回撤。如果分析人士可以毫不费力地对自己说，“市场出问题了”，那它很可能是B浪。X浪以及扩散三角形中的D浪——都是调整浪上升行情，有着相同的特征。几个例子足以说明这一点。

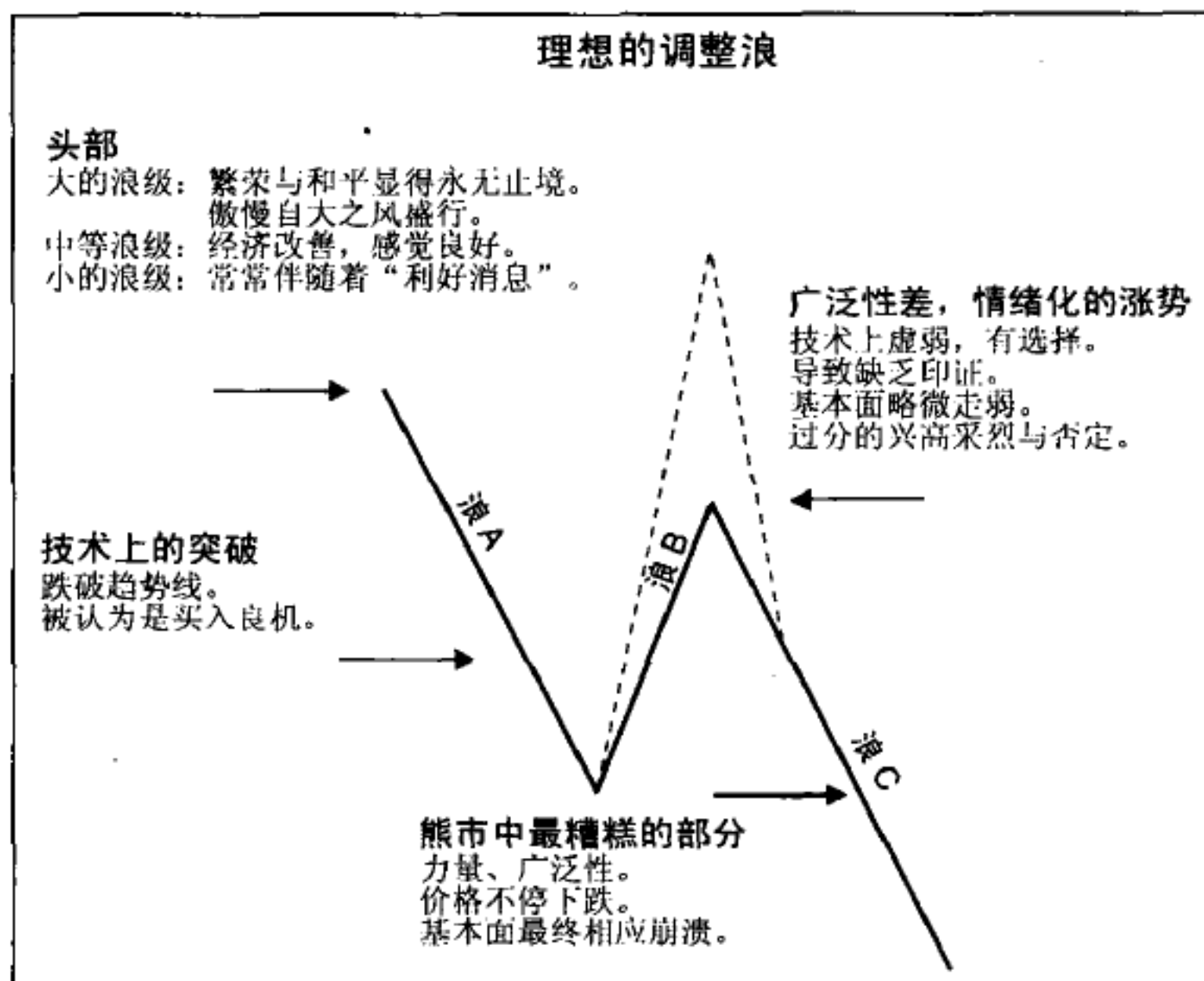


图 2-15

➤1930年的向上调整是1929~1932年的A-B-C锯齿形下跌行情中的浪B。罗伯特·雷亚在他的巨著《平均指数史话》（*The Story of the Averages*, 1934年）中把那次情绪化的高峰刻画得淋漓尽致：

……许多观察者把它当做牛市的信号。我能够记得，
在1929年10月建立了盈利的空头仓位后，12月初我又做

空股票。当1月和2月的缓慢但稳步的上升行情超越了前一个高点时，我变得惊恐不安，而且损失不小……我那时忘记了，一般可指望这次反弹回撤掉1929年的向下摆动的66%或更多。几乎所有的人都说这是个新的大牛市。各种投资服务机构极端看涨，而且上涨的成交量正在超过1929年高峰时的成交量。

- 1961~1962年的升市是(a)-(b)-(c)扩散平台形调整浪中的浪(b)。在1962年年初的顶部，股票卖到了空前绝后的市盈率。而腾落指标早已在1959年与第三浪的顶部一同达到高峰。
- 1966~1968年的升市是循环浪级调整模式中的浪B。感情主义紧紧抓住了大众，而低价股(cheapies)[⊖]在投机的狂热中火箭般地飙升，这与第一和第三浪中次级公司(secondaries)[⊖]股票的有秩序而且通常是有调节的参与不同。道琼斯工业股指数在整个上升行情中摇摇晃晃地爬升，而且最终拒绝印证二级指数中显著的新高。
- 1977年，道琼斯运输股平均指数(Dow Jones Transportation Average, DJTA)在B浪中爬到了新高，但可怜地没有得到工业股指数的印证。航空公司和卡车运输公司行动迟缓。只有运煤的铁路公司股参与了部分的能量运动。因此，指数中的广泛性明显匮乏，这再次印证了良好的广泛性通常是推动浪的而不是调整浪的属性。
- 对于黄金市场中的B浪的讨论，见第6章。

总体观察，中浪级和浪级更低的B浪通常显示出成交量的逐渐萎缩，而大浪级和浪级更高的B浪显示出的成交量比伴随着先前牛市的更大，这通常说明广泛的公众参与。

⊖ 俚语。相对它们的实际价值而言，价格便宜的股票。这种便宜可能表现为每股净资产与股价的差异、相对低的价格，或低市盈率。——译者注

⊖ 俚语。吸引投资者的小公司。它们通常含有很高的风险，但也提供了获得巨大利润的机会。——译者注

8) C浪——下跌C浪的摧毁性极强。它们是第三浪，而且有第三浪的大部分属性。就是在这段下跌行情中，实际上除了现金以外无处可藏。在浪A和浪B中持有的种种幻想往往灰飞烟灭，因而恐惧控制了一切。C浪持续时间长，且广泛性强。1930~1932年是一个C浪。1962年是一个C浪。1969~1970年和1973~1974年也可归类为C浪。在大熊市中，向上调整浪中的上升C浪一样强劲有力，因而可能被误认为是一轮新的上升摆动的开始，这尤其是因为它们以五浪方式展开。例如，1973年10月的反弹（见图1-37）就是一个倒置的扩散平台形调整浪。

9) D浪——除了扩散三角形中的之外，所有的D浪常常伴随成交量的放大。这很可能是因为在非扩散三角形调整浪中的D浪是混合物，是部分的调整浪，然而又有第一浪的某些特征，因为它们跟在C浪后面而且没有被完全回撤。在调整浪中上升的D浪与B浪一样是赝品。1970~1973年的升市是循环浪级的浪IV中的浪①。那时，平庸的机构基金经理的“唯一决策”的自满情绪得到了最好的证明。参与的范围仍然很窄，这次是蓝筹股50家（nifty fifty）^②和时兴股（glamour issue）。1972年，广泛性与运输股平均指数一样早早见顶，因而拒绝印证50家蓝筹股授予的奇高的市盈率。为了准备总统选举^③，华盛顿在整个上升行情中开足马力维持虚假的繁荣。就像对先前的浪B那样，“赝品”是合适的评价。

10) E浪——三角形中的E浪，在大多数市场观察者看来，是做头后一轮新的下跌趋势的戏剧性开始。它们几乎总是伴随着支撑力强的消息。这连同E浪将要对三角形的边界线形成假突破的趋势，在市场参与者本应准备反方向的实质性运动的当口，坚定了他们看跌的信念。因此，作为终结浪的E浪的参与心理同第五浪一样情绪化。

① 对1973~1974年的纽约股市大熊市前，最热门的50家蓝筹股的称呼“漂亮50”（nifty fifty），它们曾创造过不可思议的天价。——译者注

② 1972年尼克松竞选连任总统成功，但在1974年又因“水门事件”辞职。——译者注

因为这里讨论的各种倾向并非必然出现，所以它们称做指导方针，而非规则。它们缺乏必然性，但这丝毫不能贬低其效用。例如，看看图2-16这幅近期市场活动的小时走势图，它是DJIA从1978年3月1日的最低点涨起的最初四个小浪。这些波浪从头到尾都是教科书式的艾略特波浪：从波浪长度到成交量模式（未显示）、到趋势通道、到等同的指导方针、到延长浪后的(a)浪形成的回撤、到第四浪的预期最低点、到完美的内部波浪数、到交替、到斐波纳契时间序列，再到内含的斐波纳契比率关系。它唯一的超常之处是浪4的巨大规模。值得注意的是，914点是个合理的目标位，因为它是1976~1978年下跌行情的0.618倍回撤。

这些指导方针也有例外，但没有这些例外，市场分析就成了一门精确性的科学，而不是一门概率的科学。然而，有了波浪结构指导方针的完整知识，你就能对自己的数浪有足够的信心。实际上，你可以用市场活动来印证数浪，就像用数浪来预测市场活动一样。

还要注意，艾略特波浪的指导方针覆盖了大部分传统的技术分析，如市场动量和投资者的情绪。结果是，传统的技术分析现在大幅增值，因为它可以帮助在艾略特波浪结构中确定市场的位置。从这个意义上讲，使用这些工具应该得到鼓励。

✓ 学习基础知识

有了第1章和第2章中的各种工具的知识，任何专于此道的学者都可以进行专业的艾略特波浪分析。那些忽视彻底研究这个主题或严格应用这种工具的人，在真正尝试以前就已经放弃了。最好的学习过程是坚持绘制小时走势图，努力将各种摆动与艾略特波浪模式相适应，同时对所有的可能性保持开放的头脑。慢慢地，刻度应当从你的眼中减弱，同时你

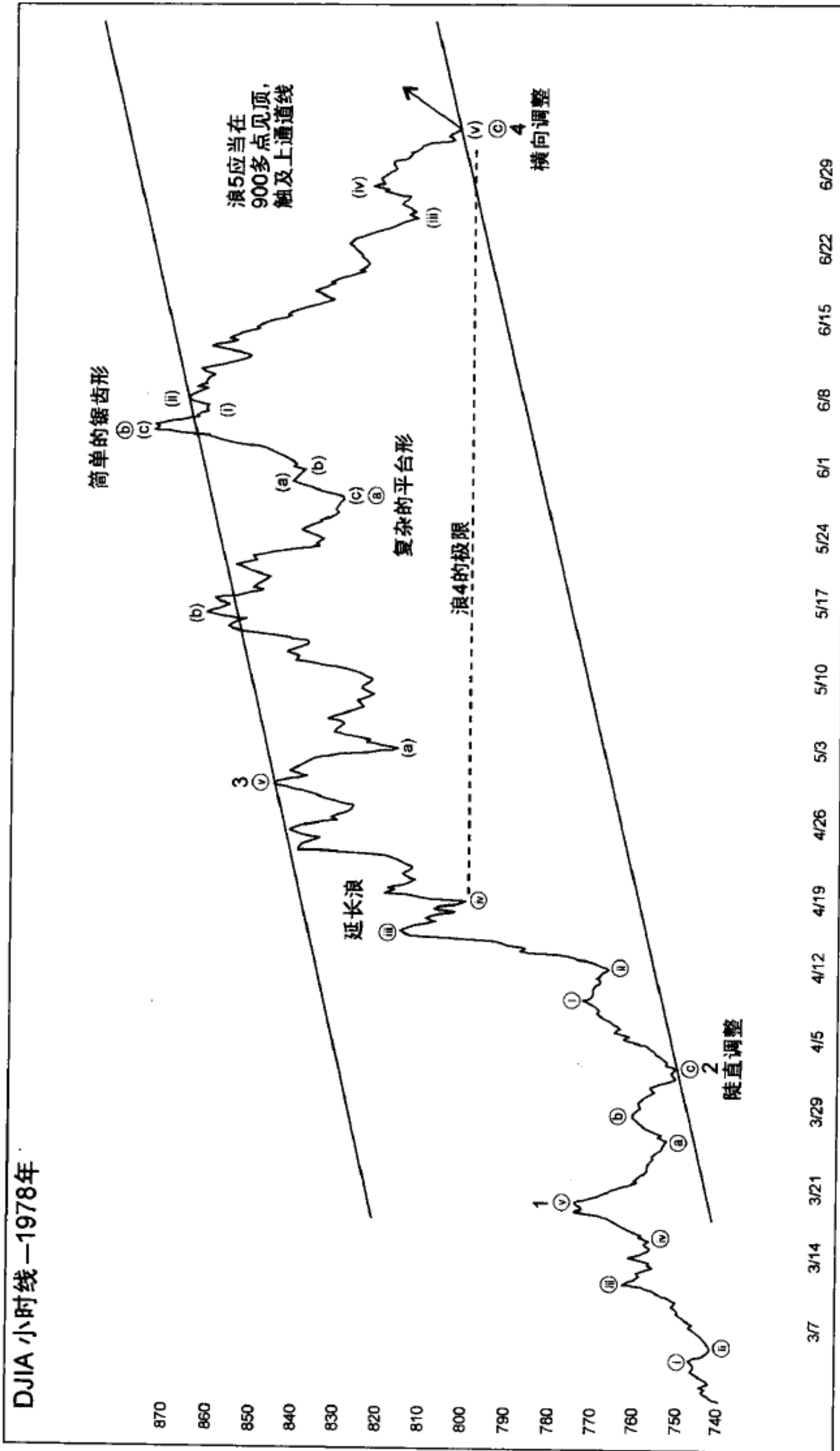


图 2-16

会不断为自己的所见感到惊奇。

尽管投资策略必须永远配合最有效的数浪，但各种替代的研判知识在对突发事件做出的调整时会极为有用，这将突发事件置于眼界中，并适应了不断变化的市场框架，记住这个很重要。波浪构造的严格规则在将无尽的可能性缩入相对较小的范围时意义巨大，而各种模式中的灵活性又排除了现在无论市场怎么走都是“不可能的”的叫喊。

“一旦你排除了不可能的东西，那么剩下的无论多么不可能都必定是事实。”在阿瑟·柯南道尔（Arthur Conan Doyle）^①的小说《四签名》（*The Sign of Four*）^②中，这是夏洛克·福尔摩斯（Sherlock Holmes）对他忠诚的伙伴华生医生（Dr. Watson）的雄辩之词。要想成功运用艾略特波浪理论，你就需要这条言简意赅的建议。演绎是最佳的方法。知道艾略特规则不允许的东西，你就能够推断剩下的必定是市场适当的前景，而无论用其他方法看起来有多么不可能。运用延长、交替、重叠、通道、成交量以及其他所有的规则，你就有了比初次一瞥所能想象得到的强大得多的武器库。不幸的是，对于许多人来说，这种方法需要思考和劳作，而且很少提供机械的信号。然而，这种基本上是排除过程的思考可以挤出艾略特理论的精华，除此之外，这种思考乐趣横生。我们真诚地鼓励你做出尝试。

作为这种演绎的例子，请回到图1-14，并遮住1976年11月17日以后的价格活动。没有波浪标识和边界线，市场就显得没有条理。但有了波浪理论作为指引，这种结构的含义就会变得清晰。现在问问你自己，你会怎样预计下一步波浪运动？这里是罗伯特·普莱切特从那天起的分析，取自他写给阿尔弗雷德·弗罗斯特的一封信，该信概括了他在前一天提交给美林证券的分析报告：

^① 1859—1930，英国作家，《福尔摩斯探案集》的作者。——译者注

^② 1890年出版，《福尔摩斯探案集》中的一部。——译者注

在附件中你将找到我目前对近来趋势线图的看法，尽管我只用小时走势图就得出了这些结论。我的观点是，从1975年10月起步的第三大浪尚未走完，而且这个大浪中的第五中浪目前正在运行之中。首先而且最重要的是，我相信1975年10月~1976年3月是一个三浪，而非五浪，而且只有当5月11日走出失败形态时，才有可能以五浪完成那个浪。然而，这个可能的“失败形态”后的波浪结构不能说服我是正确的，因为至956.45点的第一个下跌腿是五浪的，而且整个随后的结构明显是一个平台形调整浪。所以，我认为从3月24日以来我们一直处于第四浪调整中。这个调整浪完全符合扩散三角形的构造条件，它当然只可能是第四浪。相关的趋势线在表示下跌目标时异常精确，这个目标是把第一次重要的下跌长度（3月24日~6月7日，55.51点）乘以1.618得到89.82点得来的。从第三中浪的正统顶部的1011.96点下跌89.82点，给出了下跌目标922点，这正好在上周的11月11日到达（实际的小时最低点是920.62点）。现在这可能意味着第五中浪将回到新高，完成第三大浪。对这种研判我看到的唯一问题是，艾略特认为第四浪下跌通常在先前小一浪级的第四浪下跌之上止住，在这种情况下是2月17日的950.57点，这显然已被跌破了。但是，我已经发现这条规则并非牢不可破。反对称三角形构造后应该有大约是三角形最宽部分宽度的上升行情。这样一轮上升行情的目标会在1020~1030点，因而远达不到1090~1100点的趋势线目标。而且，在第三浪中，第一和第五子浪往往在时间和幅度上趋同。既然第一浪（1975年10月~12月）是两个月内10%的运动，那么这个第五浪应当上涨大约100点（1020~1030点）并在1977年1月见顶，这也达不到趋势线。

现在请揭开走势图的其余部分，看看所有这些指导方针是如何有助于估计可能的市场轨迹的。

克里斯托弗·莫利 (Christopher Morley)^①曾经说过，“对于女孩而言，跳舞是一项绝佳的训练。这是她们学习在男人行动之前就揣摩出其意图的第一途径。”同样，波浪理论可以训练分析人士在市场行动之前就看清楚它的趋势。

在你获得了一种艾略特“触觉”后，它就会伴你终生，这就像学会了骑车的小孩子以后永远不会忘记一样。此后，抓住转机变成了一种颇为平常的经历，而且真的不太难。此外，对于你在市场前进中的位置，艾略特理论的知识通过给你一种自信的感觉，能使你对价格运动振荡本性做好心理上的准备，并使你避免再犯下普遍的分析失误，也就是永远线性地将今天的趋势预测至未来。最重要的是，波浪理论常常可以事先指出下一个市场前进或倒退阶段的相对规模。在各种金融事务中，与这些趋势和谐共处可以导致成败之间的差异。

实际应用

任何分析方法的实际目的是要确定适合买入（或回补空头仓位）的市场最低点，以及适合卖出（或做空）的市场最高点。在建立一种交易或投资系统时，你应当根据环境的要求，采用某种能够帮助你灵活果断、能攻能守的思维模式。艾略特波浪理论不是这样一种系统，但作为创造这样一种系统的基础，它无可匹敌。

尽管许多分析人士并不这样看待，但波浪理论一定是一种客观的研究，或者像柯林斯所说的那样，“是一种技术分析的严谨形式”。博尔顿过去经常说，他必须学习的最难的事之一就是相信他看到的東西。如果不相

^① 克里斯托弗·莫利 (1890—1957)，美国作家。下面的这段话出自他的小说《基蒂·福利》(Kitty Foyle)。——译者注

信你看到的東西，那么你就很可能曲解你的分析，出于其他原因想当然。此时，你的数浪变得主观，而且毫无价值。

你怎样才能在一个不确定的世界中保持客观？一旦你理解了分析的正确目的，那就不难。

没有艾略特理论，市场活动的可能性看起来就会无穷无尽。对于市场未来可能的路径，波浪理论提供的是一种首先限定可能性然后按相对可能性排序的手段。艾略特理论非常具体的规则把有效的替代方案减至最少。在这之中，最佳的研判，有时称为“首选数浪”，是满足最多数量的波浪指导方针的那一种。其他研判相应地排序。因此，面对在任何特定的时候出现的种种可能，客观运用波浪理论规则和指导方针的合格分析人士通常应当同时考虑可能性列表和概率顺序。这种顺序通常可以明确说明。但是，不要以为概率顺序的确定等同于出现某个特定结果的确定。只有在极少数情况下，你能确切知道市场将会如何运行。你必须理解而且接受，即使可以对一种相当具体的事件得出很高概率的手段，有时也会出错。

你可以通过不断更新第二最佳研判——有时称“替代数浪”，来为这种结果做好心理上的准备。因为应用波浪理论是一项概率中的练习，所以不断修正替代数浪是正确使用波浪理论的基本组成部分。一旦市场打破了预期中的情形，替代数浪就会将意外的市场活动纳入眼界中，并即刻成为你新的首选数浪。如果你被自己的马摔了下来，骑上另一匹马会有用。

永远用首选数浪投资。时常地，两个甚至三个最佳数浪和谐地指示了相同的投资立场。有时，不断对替代数浪保持敏感甚至可以使你在首选数浪出错时盈利。例如，在一个你误认为非常重要的次要最低点之后，你可能会在更高的层次上认识到市场还会创新低。在次要最低点后面跟随着清楚的三浪反弹而不是必需的五浪之后，这种认识就会出现，因为三浪式的

反弹是一种向上调整的信号。因此，转折点后出现的情况常常有助于确认或取消这个最低点或最高点的假设地位，这远在危险出现之前。

即使市场不允许这种观点的轻易转换，波浪理论仍然提供了额外的价值。如果你错了，那么其他大多数市场分析手段，无论是基本分析、技术分析还是循环分析，都没有强制改变观点或仓位的良好途径。相比之下，波浪理论为设置止损点提供了内置的客观手段。因为波浪分析基于各种价格模式，所以一个确定为完成了的模式或是结束或是延续。如果市场改变方向，分析人士就已经抓住了转折点。如果市场超过了一个明显完成的模式允许的范围，那么你的结论就错了，因而任何处于风险中的资金都能够立即收回。

当然，时常会有尽管分析严格，但还是没有一种明确的首选研判。在这种时候，你必须等待，直到波浪数自己决定。过一会，等杂乱的走势变成了一幅清晰的图案时，那么即将到来的市场转点的概率可以猛增至100%左右。精确定位一个转折点是一种惊心动魄的经历，而且波浪理论是唯一能够时常提供这种机会这样做的手段。

确定这种交汇点的能力已足够出类拔萃，但波浪理论还是唯一一种提供了预测指导方针的分析方法。这些指导方针中的许多都是具体的，而且时常可以得出精确的结果。如果实际的市场是模式化的，而且这些模式有可识别的几何形状，那么即使不考虑允许出现的变体，某种价格和时间关系也很可能会重演。实际上，经验表明它们的确重演。

事先确定下一轮运动很可能将市场带往何处是我们的实际任务。设定目标价位的一个好处是，它给监控市场的实际轨迹提供一种背景。这样，你就可以在出现问题时迅速得到警告，而且如果市场不是按你预期的那样运行，你能转向更合适的研判。提前选择目标价位的第二个好处是，它能使你做好心理准备，在其他投资者绝望地卖出时买入，并在其他投资者在一片喜气洋洋中自信地买入时卖出。

无论你的信仰是什么，它永远不能让你的视线离开现实中的波浪结构。本质上，市场就是消息，行为的变化可以指示前景的变化。那时，一个人真正需要知道的是做多、做空还是离场，有时迅速一瞥走势图就可做出这个决定，但有时只能在艰苦的工作之后。

除了你全部的知识 and 技能之外，绝对没有什么可以使你对拿自己的钱在市场中冒险这种痛苦做好充分的准备。纸上交易不会。观察他人不会。模拟游戏更不会。一旦你掌握了专业运用一种方法的本质工作，你就比为工作而收集各种工具做的稍许多一些。当你运用那种方法时，你就遇到了实际的工作：与你自己的情绪战斗。这就是为什么分析和赚钱是两种完全不同的技能。无法在岸上学游泳。只有金融投机才能使你为金融投机做好准备。

如果你决定尝试只有千分之一的人才能做的事——在市场中成功地交易或投资，那就投入大大少于你的净资产总值的钱。这样一来，即使你在第一阶段末血本无归，你也将在研究损失的原因时有钱生活。当你开始了解亏损的原因时，你就最终进入了第二阶段：让你的理智战胜情感的长期过程。这是一项没人能为你准备的工作；你必须自己完成。然而，我们能给你的分析提供的是一个良好的基础。无数潜在的交易生涯和投资生涯从选择一种毫无价值的分析手段开始已经难逃厄运。我们要说：选择波浪理论。它将使你开始正确思考，而这是你在通向成功投资的道路上迈出的第一步。

没有哪种手段保证对市场无所不知，也包括波浪理论。然而，当用正确的眼光看待时，它提供了它允诺的一切。



坐落于意大利比萨的里昂纳多·斐波纳契雕像
底座上铭刻着，“A. 里昂纳多·斐波纳契，
13世纪比萨著名的数学家。”

小罗伯特 R. 普莱切特 摄

第3章 Chapter3

波浪理论的历史背景与数学背景

斐波纳契数列是13世纪的意大利数学家，来自比萨（Pisa）[⊖]的里昂纳多·斐波纳契（Leonardo Fibonacci）发现的（确切地说是重新发现的）。我们将概述这位奇才的历史背景，然后比较完整地讨论以他的名字命名的数列（技术上，它是序列，而不是级数）[⊖]。艾略特在撰写《自然法则》时曾经解释说，斐波纳契数列提供了波浪理论的数学基础。（对于波浪理论背后数学的进一步讨论，请见沃尔特 E. 怀特（Walter E. White）撰写的《波浪理论的数学基础》（*Mathematical Basis of Wave Theory*），此文收录在了新经典文库即将出版的一本书中。

来自比萨的里昂纳多·斐波纳契

在欧洲，黑暗时代（dark ages）是文化几乎全面衰退的一段时期。它

⊖ 当时的比萨共和国首都，今意大利西北部的港口城市。——译者注

⊖ 序列（Sequence）的数学概念是：设M是给定的（有限或无限）集合，它的元素是a, b, c, …假若对于自然数列1, 2, 3, …, n, …中每一个数，有集合M的某一个元素和它对应，就说给出了集合M的元素的一个“序列”。序列的各项可以是任何事物，如数、曲线、图形等等；而级数（Series）的数学概念是：给定一系列数 $a_1, a_2, \dots, a_n, \dots$ ，将它们形式相加 $a_1 + a_2 + \dots + a_n + \dots$ 就称为数项级数。给定一系列具有相同定义域的函数 $u_1(x), u_2(x), \dots, u_n(x), \dots$ 将它们形式相加， $u_1(x) + u_2(x) + \dots + u_n(x) + \dots$ 就称为函数项级数。数项级数和函数项级数统称为级数。级数也可以由有限项组成，故无限项所组成的级数是无穷级数。——译者注

从公元476年罗马帝国的衰亡^①，持续到公元1000年左右。在这一时期，数学和哲学在欧洲日渐衰败，但在印度和阿拉伯却得到了充分的发展，因为黑暗时代没有蔓延到东方。当欧洲逐渐从停滞不前中恢复过来的时候，地中海发展成了一条文化之河，它指引来自印度和阿拉伯的商业、数学以及新思想流入欧洲。

在中世纪 (middle ages)^②，比萨发展成了一个城墙坚固的城邦 (city-state)^③ 和繁荣的商业中心，它的滨水区反映了那时的商业革命 (commercial revolution)。皮革、毛皮、棉花、羊毛、铁、铜、锡和香料都在比萨的城墙内交易，而黄金则充当一种重要的货币。港口挤满了大到400吨，长至80英尺的船只。比萨的经济支撑了皮革业和造船业，以及一家炼铁厂。即使按今天的标准来衡量，比萨的政治也是构造完善的。例如，共和国的首席治安官 (chief magistrate) 直到任期满后才能得到报酬，期满时他的行政管理还可能受到调查，以决定他是否能拿到工资。事实上，我们的主人公斐波纳契也是检查员之一。

生于1170~1180年^④的斐波纳契的父亲是一位杰出的商人兼市政官，斐波纳契很可能生活在比萨众多塔楼中的一座里。塔楼可作为工厂、碉堡和家庭住宅，并被建造得使箭能从狭窄的窗户里射出，将烧开的柏油倒向接近塔楼的图谋不轨的陌生人。在斐波纳契活着的时候，那座著名的比萨斜塔 (leaning tower of Pisa) 正在建造之中，它是要在比萨建造的三座宏伟建筑中的最后一座，其余的两座大教堂和洗礼堂已经在几年前完工。

① 这里主要是指西罗马帝国。整个罗马帝国的灭亡，以1453年穆罕默德二世占领君士坦丁堡为标志。——译者注

② 476~1453年，中世纪欧洲历史上的古代与文艺复兴之间的时期。——译者注

③ 旧时由一个城市和周围地区组成的独立王国。当时的意大利有三个强大的海洋国家：比萨、热那亚 (Genova) 和威尼斯 (Venezia)。今天它们分别是意大利三个著名港口城市的名字。——译者注

④ 斐波纳契的确切生卒时间不详。——译者注

作为一名学生，斐波纳契逐渐熟悉了当时的海关和商业技巧，包括使用算盘——这曾作为一种商用计算器在欧洲广泛使用。斐波纳契的母语是意大利语，此外他还学会了其他几种语言，包括法语、希腊语，甚至还有拉丁语，而且这些语言他都能熟练掌握。

不久，里昂纳多的父亲^①被任命为北非贝贾亚 (Bogia)^②的海关官员，他要求里昂纳多一同前往，以完成学业。里昂纳多开始绕着地中海做了许多次的商业旅行。在一次埃及之旅后，他出版了其名著《计算的书》(*Liber Abaci*)，这本书把有史以来最伟大的数学发现：十进制，包括将零定位在计数法符号的首位，介绍到了欧洲。这种包括常见的符号0、1、2、3、4、5、6、7、8和9的数学进制，成了现在广泛使用的所谓印度-阿拉伯 (Hindu-Arabic) 进制。

在真正的数位制或位值制中，与其他符号排列在一起的任何符号代表的实际值，不仅取决于它基本的数值，还取决于它在排列中的位置，例如，58有着与85不同的值。尽管几千年前，巴比伦 (Babylonia)^③人和中美洲的玛雅人 (Maya)^④已经分别建立了数位的或位值的命数法，但他们的方法在其他方面十分笨拙，因此，首先采用零和位值的巴比伦进制，并未被带入希腊的甚至罗马的数学进制中。罗马命数法包括七个符号：I、V、X、L、C、D和M，这些符号没有分配数字值。在使用这些非数字符号的进制中加、减、乘和除并不是件容易的事，尤其在涉及大数时。矛盾的是，为了克服这些困难，罗马人使用算盘这种非常古老的数字设备。因为这种设备是基于数字的，并含有零原理，所以它对罗马人的计算体系起到了必

① 斐波纳契的父亲古里奥默·波纳契 (Guilielmo Bonacci) 时任比萨共和国的国务秘书。斐波纳契家族的名字波纳契 (Bonacci) 是“好运气”的意思。——译者注

② 今天阿尔及利亚北部的港口城市，当时是比萨共和国的经济殖民地。——译者注

③ 前18世纪—前6世纪。古代奴隶制国家，意为“上帝之门”。位于亚洲西南部的第格里斯河 (Tigris River) 和幼发拉底河 (Euphrate River) 之间，以及今天伊拉克首都巴格达以南地区。——译者注

④ 约公元前1500~900年，印第安人的一族，主要生活在今天的墨西哥境内。——译者注

要的补充作用。在那个时代，簿记员和商人都靠它来协助自己的工作。在《计算的书》中解释了算盘的基本原理后，斐波纳契开始在旅行中使用他的新进制。通过他的努力，这种新进制因计算方法简单而最终传入了欧洲。渐渐地，罗马数进制被阿拉伯数进制所取代。将这种新进制引入欧洲，是罗马帝国衰亡700年后数学领域里最重要的成就。斐波纳契不仅在中世纪使数学保持了生气，而且还为更高等的数学领域，以及物理学、天文学和工程学相关领域的巨大发展奠定了基础。

尽管后来的世界几乎忘却了斐波纳契，但无疑他是那个时代的人物。斐波纳契的名声是如此之大，以至于科学家兼学者的弗里德里克二世(Frederick II)^① 安排访问比萨来寻找他。弗里德里克二世是圣罗马帝国(Holy Roman empire)^② 的皇帝，西西里王国(Sicily)^③ 和耶路撒冷王国(Jerusalem)^④ 的国王，欧洲和西西里王国两个贵族家庭的后裔^⑤，而且是那个时期最有威望的王子。弗里德里克二世的观念是那些君主专制的思想，他将自己置身于罗马皇帝的所有盛大场面之中。

斐波纳契与弗里德里克二世的会见发生在公元1225年，而且是当时比萨城的一件盛事。皇帝一马当先，带领着由号兵、侍臣、骑士、官员和威风凛凛的随从组成的长长队伍。皇帝在这位举世闻名的数学家面前提出的一些问题在《计算的书》中得到详尽的描述。斐波纳契显然是解决

① 弗里德里克二世(1194—1250)，德语Friedrich，欧洲历史上出色的统治者之一，德意志霍亨斯陶芬(Hohenstaufen)王朝的皇帝，会流利使用六种语言，精通阿拉伯哲学。幼由教皇抚养，及长。加强中央集权，与教皇进行长期斗争。三次被开除教籍。提倡学术文艺。——译者注

② 800~1806年西欧历史上的一个政治实体，力图恢复西罗马帝国。——译者注

③ 今天意大利南部的西西里岛。——译者注

④ 1099年，始建于第一次十字军东征时，亡于1291年。今天的以色列、巴勒斯坦，以及约旦和黎巴嫩的部分地区。弗里德里克二世娶了耶路撒冷王的公主兼王位继承者，于1229年自称为耶路撒冷王。——译者注

⑤ 弗里德里克二世的父亲亨利六世(Henry VI, 1165—1197)，是德意志霍亨斯陶芬王朝的第三代皇帝，圣罗马帝国皇帝，兼西西里国王。他在征服了西西里王国之后，娶了该王朝的继承人。——译者注

了皇帝提出的问题，因此永远受欢迎去宫廷。公元1228年，当斐波纳契修订《计算的书》时，他把这部修订版题献给了弗里德里克二世。

说斐波纳契是中世纪最伟大的数学家，丝毫也不夸张。斐波纳契总共写了三本重要的数学著作：1202年出版并于1228年修订的《计算的书》，1220年出版的《实用几何学》(*Practica Geometriae*)^①，以及《求积法》(*Liber Quadratorum*)^②。公元1240年，钦佩他的比萨公民们把他记载成一位“言行谨慎且学识渊博的人”，而《大英百科全书》(*Britannica Encyclopedia*)的资深编辑约瑟夫·基斯(Joseph Gies)最近曾说，未来的学者迟早会“给比萨的伦纳德^③应得的世界上伟大的学术先驱之一的称号”。过了这么久之后，现在才开始将斐波纳契的著作从拉丁文译成英文。对于那些感兴趣的读者，约瑟夫·基斯与弗朗西斯·基斯(Frances Gies)^④合著的《比萨的伦纳德和中世纪的新数学》(*Leonard of Pisa and the New Mathematics of the Middle Ages*)是关于斐波纳契的时代及其著作的杰出论文。

尽管斐波纳契是中世纪最伟大的数学家，但他的纪念物仅是与比萨斜塔隔着阿诺河(Arno River)^⑤的一座雕像，和以他的名字命名的两条街道——一条在比萨，另一条在佛罗伦萨。这似乎很奇怪，在参观179英尺高的著名比萨斜塔的游客中，很少有人听说过斐波纳契，或瞻仰过他的雕像。斐波纳契与公元1174年开始建造的比萨斜塔的设计师波纳纳(Bonanna)^⑥是同时代的人，两者都对世界做出了贡献，但是其中一个

① 此书汇集了当时的几何学知识，并介绍了一些三角学方面的知识。——译者注

② 1225年出版，这是一部关于二元二次方程，或多元二次方程近似解的数论著作。斐波纳契在书中将一个立方根精确到了小数点后第9位。——译者注

③ 英语里对里昂纳多的称呼。——译者注

④ 约瑟夫·基斯是《大英百科全书》的技术类科目编辑，曾参与策划和编辑1974年出版的《大英百科全书》第15版。弗朗西斯·基斯是他的夫人。——译者注

⑤ 意大利中部的一条河流，全长约240公里。——译者注

⑥ 究竟是谁设计了比萨斜塔，目前尚有争议。但波纳纳(好年景之意)是第一个铸造前文提到的比萨大教堂青铜门的人。另外，比萨斜塔开工的确切日期是1173年8月9日，完工时间约是1350年。——译者注

的影响远远超过了另一个，伟大的斐波纳契几乎不为人知。

斐波纳契数列

在《计算的书》中提出的一个问题产生了数列1, 1, 2, 3, 5, 8, 13, 21, 34, 55, 89, 144, 以至无穷，这就是今天所知的斐波纳契数列。这个问题是：

如果一对兔子从第二个月开始，每个月生一对新兔子，那么置于一个封闭地区中的兔子在一年内总共会有多少只？

为了得到答案，我们发现每一对兔子，包括第一对，需要一个月的时间成熟，而一旦在生育中，则每个月都会生出一对新兔子。在头两个月的每一个月开始，兔子的对数是一样的，所以数列是1, 1。第一对兔子最终在第二个月使兔子的数量翻番，所以在第三个月开始时，就有了两对兔子。在这两对兔子中，较老的那对在接下来的一个月里又生了第三对兔子，所以在第四个月的开始，数列扩大为1, 1, 2, 3。在这三对兔子中，两对较老的兔子，而不是最年轻那对，再次生育，这样兔子就扩大为五对。在下一个个月里，这三对再次生育，因此数列扩大到了1, 1, 2, 3, 5, 8，依此类推。图3-1显示了以对数加速度成长的兔子家族树。继续这个数列几年，就会产生天文数字。例如，在100个月中，我们会得到354 224 848 179 261 915 075对兔子。由兔子问题产生的斐波纳契数列有着许多有趣的特性，而且在各项中反映出一种几乎恒定的关系。

数列中任何两个相邻的数字之和，形成了序列中的下一个更大的数字，即，1加1等于2，1加2等于3，2加3等于5，3加5等于8，等等以至无穷。

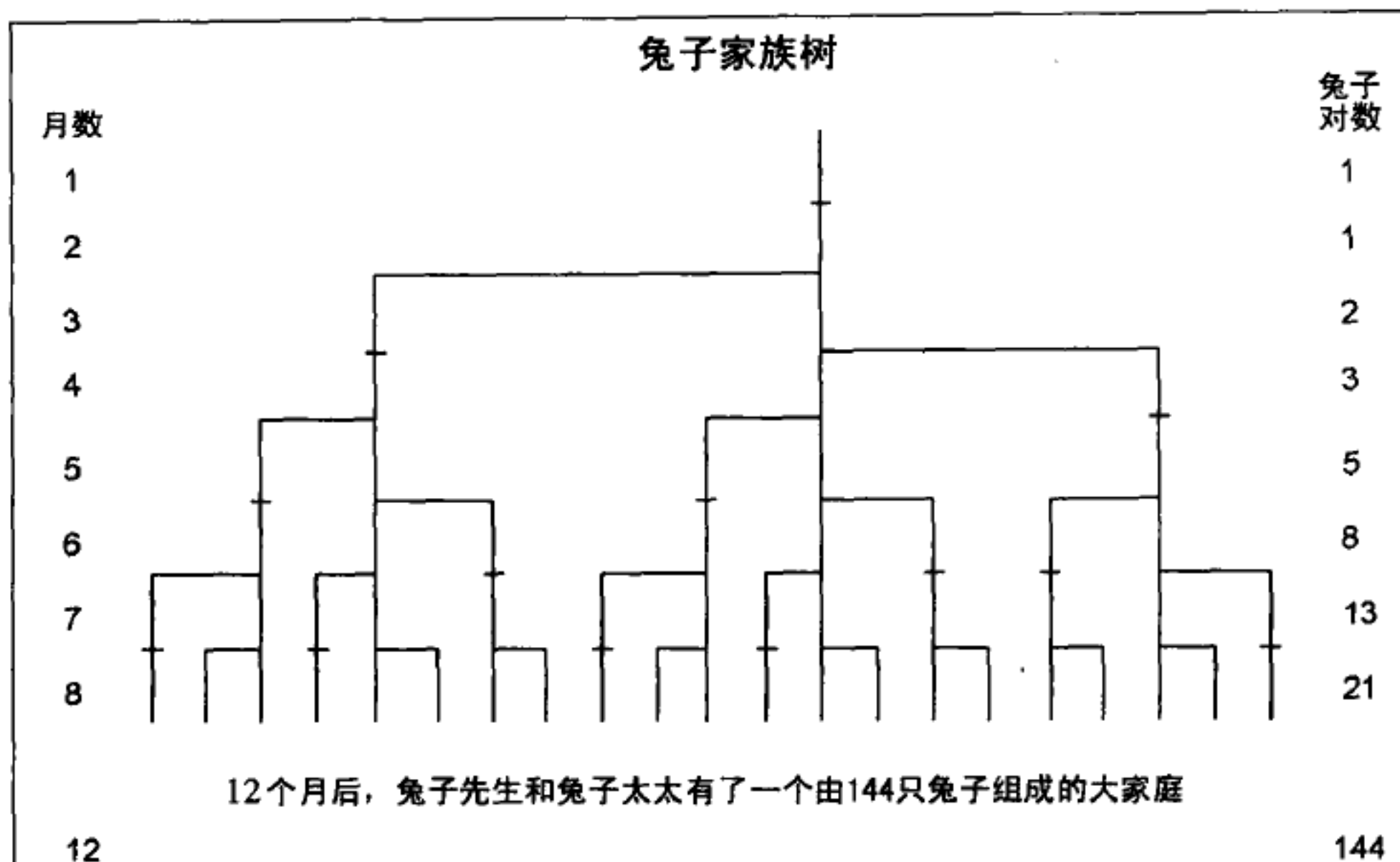


图 3-1

黄金比率

在数列中的头几个数字之后，任何一个数字与下一个数字的比率大约是0.618 : 1，而与前一个数字之比大约是1.618 : 1。数字在数列中越靠后，比率就越接近于 ϕ ， ϕ 是无理数0.618 034……数列中间隔的数字之间的比率是0.382，其倒数是2.618。参考图3-2，看看链接所有1~144的斐波纳契数字的比率表。

ϕ 是唯一一个与1相加得到其倒数的数字： $0.618+1=1\div 0.618$ 。这种相加和相乘的结合，产生了以下等式序列：

$$0.618^2 = 1 - 0.618$$

$$0.618^3 = 0.618 - 0.618^2$$

$$0.618^4 = 0.618^2 - 0.618^3$$

$$0.618^5 = 0.618^3 - 0.618^4, \text{ 等等}$$

斐波纳契比率表

分子	1	2	3	5	8	13	21	34	55	89	144	233	377	610	987
1	1.000	2.000	3.000	5.000	8.000	13.000	21.000	34.000	55.000	89.000	144.000	233.000	377.000	610.000	987.000
2	0.500	1.000	1.500	2.500	4.000	6.500	10.500	17.000	27.500	44.500	72.000	116.500	188.500	305.000	493.500
3	0.333	0.667	1.000	1.667	2.667	4.333	7.000	11.333	18.333	29.667	48.000	77.667	125.667	203.333	329.000
5	0.200	0.400	0.600	1.000	1.600	2.600	4.200	6.800	11.000	17.800	28.800	46.600	75.400	122.000	197.400
8	0.125	0.250	0.375	0.625	1.000	1.625	2.625	4.250	6.875	11.125	18.000	29.125	47.125	76.250	123.375
13	0.077	0.154	0.231	0.385	0.615	1.000	1.615	2.615	4.231	6.846	11.077	17.923	29.000	46.923	75.923
21	0.048	0.095	0.143	0.238	0.381	0.619	1.000	1.619	2.619	4.238	6.857	11.095	17.952	29.048	47.000
34	0.029	0.059	0.088	0.147	0.235	0.382	0.618	1.000	1.618	2.618	4.235	6.853	11.088	17.941	29.029
55	0.018	0.036	0.055	0.091	0.145	0.236	0.382	0.618	1.000	1.618	2.618	4.236	6.855	11.091	17.945
89	0.011	0.022	0.034	0.056	0.090	0.146	0.236	0.382	0.618	1.000	1.618	2.618	4.236	6.854	11.090
144	0.007	0.014	0.021	0.035	0.056	0.090	0.146	0.236	0.382	0.618	1.000	1.618	2.618	4.236	6.854
233	0.004	0.009	0.013	0.021	0.034	0.056	0.090	0.146	0.236	0.382	0.618	1.000	1.618	2.618	4.236
377	0.003	0.005	0.008	0.013	0.021	0.034	0.056	0.090	0.146	0.236	0.382	0.618	1.000	1.618	2.618
610	0.002	0.003	0.005	0.008	0.013	0.021	0.034	0.090	0.090	0.146	0.236	0.382	0.618	1.000	1.618
987	0.001	0.002	0.003	0.005	0.008	0.013	0.021	0.034	0.056	0.090	0.146	0.236	0.382	0.618	1.000

至最佳比率

图 3-2

或另一种，

$$1.618^2 = 1 + 1.618$$

$$1.618^3 = 1.618 + 1.618^2$$

$$1.618^4 = 1.618^2 + 1.618^3$$

$$1.618^5 = 1.618^3 + 1.618^4, \text{ 等等}$$

这四种主要比率的某些关联性质可以如下列举：

$$1.618 - 0.618 = 1$$

$$1.618 \times 0.618 = 1$$

$$1 - 0.618 = 0.382$$

$$0.618 \times 0.618 = 0.382$$

$$2.618 - 1.618 = 1$$

$$2.618 \times 0.382 = 1$$

$$2.618 \times 0.618 = 1.618$$

$$1.618 \times 1.618 = 2.618$$

除了1和2之外，任何斐波纳契数字乘以4，如果加到一个经挑选的斐波纳契数字上，就给出了另一个斐波纳契数字，因此：

$$3 \times 4 = 12; +1 = 13$$

$$5 \times 4 = 20; +1 = 21$$

$$8 \times 4 = 32; +2 = 34$$

$$13 \times 4 = 52; +3 = 55$$

$$21 \times 4 = 84; +5 = 89, \text{ 依此类推。}$$

在新数列前进时，第三个数列从与4倍的乘积相加的数字开始。这种关系是可能的，因为隔两个数字的斐波纳契数字之间的比率是4.236，这里0.236不仅是4.236的倒数，也是4.236与4的差。其他乘积产生了不同的

数列，它们都基于斐波纳契乘积。

以下，我们列举了部分与斐波纳契数列有关的现象：

1) 两个连续的斐波纳契数字没有公约数。

2) 我们发现，如果把斐波纳契数列标上1, 2, 3, 4, 5, 6, 7, 等等，除了第一、第二和第四个斐波纳契数字以外[⊖]，每次遇到素数（仅能被1和自身整除的数）的斐波纳契数字时，它的序列号也是素数。相似地，从斐波纳契数列的第六项开始[⊖]，所有合数（除了1和自身以外，还能被其他整数整除的数）的序列数都标示着合数的斐波纳契数字，如下表。这些现象反过来就并不总是成立了。

斐波纳契数字：素数对合数[⊖]

X	X	P	X	P	P	P	P	P							
1	1	2	3	5	8	13	21	34	55	89	144	233	377	610	987
1	2	3	4	5	6	7	8	9	10	11	12	13	14	15	16
			X		C	C	C	C	C	C	C	C	C	C	C

3) 数列中的任何十个数字之和，均可被11整除。

4) 数列中发展至任何一点的所有斐波纳契数字之和加上1，等于与最后一个加数向后相隔一项的斐波纳契数字。[⊗]

5) 从第一个1开始的任何相连的斐波纳契数列的平方和，总是等于所选数列的最后一个数字乘以下一个更大的数字。[⊘]

6) 一个斐波纳契数字的平方，减去数列中比这个数字小两项的数的平方，总是一个斐波纳契数字。[⊙]

⊖ 此处原文是指“除了第四个斐波纳契序列数字（3）以外”，但实际上1既不是素数也不是合数。——译者注

⊖ 原文是：“除了第四个斐波纳契序列数字（3）以外。”——译者注

⊗ P代表素数，C代表合数，X代表除此以外。原著表中的错误，译者已改正。——译者注

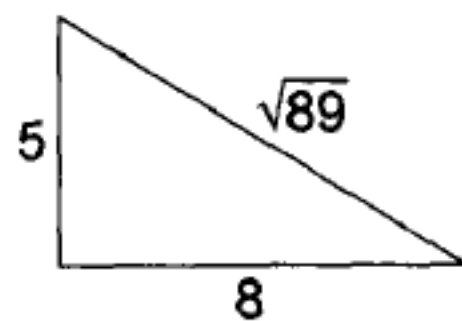
⊘ 例如， $1+1+2+3+5+8=20$ ， $+1=21$ ，在斐波纳契序列数字中，21与8相隔一项。——译者注

⊙ 例如， $1^2+1^2+2^2+3^2+5^2=40$ ， $=5 \times 8$ 。——译者注

⊙ 例如， $13^2-5^2=144$ ，144还是个斐波纳契数字。——译者注

7) 任何斐波纳契数字的平方, 等于数列中这个数字的前一项与后一项的乘积再加上1或减去1。在整个数列中加上1或减去1相互交替。[⊖]

8) 一个斐波纳契数字 F_n 的平方加上下一个斐波纳契数字 F_{n+1} 的平方等于斐波纳契数字 F_{2n+1} 。公式 $F_n^2 + F_{n+1}^2 = F_{2n+1}$ 适用于直角三角形, 它的两条短边的平方和等于最长边的平方。右边是一个例子, 它使用 F_5 , F_6 和 $\sqrt{F_{11}}$ 。



9) 一个公式解释了数学中两个无处不在的无理数 π 和 φ 之间的关系:
 $F_n \approx 100 \times \pi^2 \times \varphi^{(15-n)}$, 其中 $\varphi = 0.618\dots\dots n$ 代表斐波纳契数列中各项的数学位置, 而 F_n 代表这个项本身。在这种情形中, 数字“1”仅被代表了一次, 因此 $F_1 \approx 1$, $F_2 \approx 2$, $F_3 \approx 3$, $F_4 \approx 5$, 等等。

例如, 令 $n=7$, 则:

$$\begin{aligned} F_7 &\approx 100 \times 3.1416^2 \times 0.618\ 033\ 9^{(15-7)} \\ &\approx 986.97 \times 0.618\ 033\ 9^8 \\ &\approx 986.97 \times 0.021\ 29 \approx 21.01 \approx 21 \end{aligned}$$

10) 一个思维延伸现象, 据我们所知以前未提过, 是斐波纳契数字间的比率得出的数字非常接近于其他斐波纳契数字的千分之一, 其差值是第三个斐波纳契数字的千分之一, 所有都成数列(见比率表, 图3-2)[⊖]。因此, 在比率上升的方向上, 相同的斐波纳契数字以1.00, 或称0.987加上0.013相关; 相邻的斐波纳契数字以1.618, 或称1.597加上0.021相关; 相隔一项的斐波纳契数字以2.618, 或称2.584加上0.034相关; 依此类推。在比率下降的方向上, 相邻的斐波纳契数字以0.618, 或称0.610加上0.008相关; 相隔一项的斐波纳契数字以0.382, 或称0.377加上0.005相关; 相隔二项的斐波纳契数字以0.236, 或称0.233加上0.003相关; 相隔三项的以0.146, 或称0.144加上0.002相关; 相隔四项的以0.090, 或称0.089加上

⊖ 例如, $8^2 = 64$; $= 5 \times 13 - 1$, 而 $13^2 = 169$; $= 8 \times 21 + 1$ 。——译者注

⊖ 原作者的这种分析, 是从斐波纳契序列的第二项开始。——译者注

0.001相关，相隔5项的以0.056，或称0.055加上0.001相关，相隔6项至相隔12项的以比率本身就是从0.034开始的一个斐波纳契数字的千分之几相关。有趣的是，根据这种分析，相隔13项的两个斐波纳契数字之间的比率又回到了0.001，它开始时的千分之一！在所有的计数中，我们像斐波纳契数列的崇拜者定性的那样，真的创造了“在一个无穷级数中繁衍”的“特征传递”，这揭示了“所有数学关系中最紧密的”特性。

最后，我们注意到， $(\sqrt{5}+1)/2=1.618$ 和 $(\sqrt{5}-1)/2=0.618$ ，其中 $\sqrt{5}=2.236$ 。5是波浪理论中最重要的数字，而它的平方根是 ϕ 的数学解。

1.618（或0.618）被认为是黄金比率（golden ratio）或称黄金平衡（golden mean）。它的比例对眼睛和耳朵来说很舒服。它在生物、音乐、绘画和建筑中出现。威廉·霍法（William Hoffer）^①曾在为1975年12月号的《史密森人》（*Smithsonian Magazine*）^②撰写的文章中说：

……0.618 034与1之比是纸牌与巴台农神庙（Parthenon）^③、向日葵与蜗牛壳、希腊花瓶与外宇宙的螺旋星系的形状的数学基础。希腊人将他们的绘画和建筑大量基于这个比例。他们称其为“黄金平衡”。

斐波纳契的魔术兔子在许多意外的地方出现。这些数字无疑是一种神秘的自然和谐，这种和谐宜人、悦目，甚至动听。例如，音乐的一度有8个音符，在钢琴上它用8个白键，5个黑键表示，共13个键。看起来给耳朵最动听的音乐和声是大六度绝不是巧合。音符E的振动是音符C的0.625 00倍，音符A仅仅与确切的黄金平衡相差0.006 966，

① 一位美国的自由撰稿人。下面的这段摘录出自他的关于斐波纳契数字的文章。——译者注

② 美国史密森学会（Smithson Institute）于1970年创办的一份科普读物。——译者注

③ 祭祀希腊智慧女神雅典娜·巴台农（Athena Parthenos）的神庙，始建于公元前5世纪，位于希腊首都雅典，是希腊建筑的代表作。——译者注

大六度的比例引起内耳耳蜗——正好也是对数螺线形的器官——的和谐振动。

斐波纳契数字与自然界中的黄金螺线不断出现，精确地解释了为什么0.618 034与1之比在绘画中让人感觉如此舒服。人们可以在绘画中发现基于黄金平衡的生命图像。

小到原子结构、大脑中的微细管以及DNA分子（见图3-9），大到行星的距离和周期，大自然在其最本质的积木和最高级的模式中采用黄金比率。它包含在非常广泛的现象中，如准晶体排列，光束在玻璃表面上的反射，大脑和神经系统，乐曲改编，植物的结构和动物的结构。科学正在迅速地证明，实际上有一种基本的自然比例原理。顺便说一下，你用你的五个附肢中的两个拿着这本书，每个附肢有三个相结合的部位，终端有五个手指或脚趾，而每个手指或脚趾有三个相结合的部分，这或许说明了波浪理论的5-3-5-3前进。

✓ 黄金分割

任何长度都可以这样分割，也就是使较短部分与较长部分之间的比率，等于较长部分与整个长度之间的比率（见图3-3）。这个比率永远是0.618。



图 3-3

黄金分割出现在整个自然界。事实上，从外形尺寸到面部器官的位置，人体各处都是一幅体现黄金分割（见图3-9）的挂毯^①。“柏拉图（Plato）^②在

① 美国巡回法庭法官兰尼德·韩德（1872—1961），对美国自由民主作过许多有分量的演说。他曾经说过，人生，就像一幅挂毯，由许多股线组成，它编结成一种形态，分离出一根线而且单独看不会破坏整幅挂毯，但却使线本身毫无价值。——译者注

② 约前428—前347年，古希腊哲学家。——译者注

他的《蒂迈欧篇》(Timaeus)^①中”彼得·汤普金斯(Peter Tompkins)说,“曾深入考虑过 ϕ 及其产生的黄金分割比例——所有数学关系中最紧密的约束,并认为它是宇宙的物理学的关键。”16世纪,约翰尼斯·开普勒(Johannes Kepler)^②在谈到黄金分割或称“神赐分割”时说,它实质上描绘了万物,尤其象征了“特征传递”的上帝造化。人体可以在肚脐处分成黄金分割。统计上的平均值大约是0.618。这个比率对男女分别成立,是一种“特征传递”造化的完美标志。人类的进步也是一种“特征传递”的造化吗?

✓ 黄金矩形

黄金矩形相邻两边之比是1.618:1。要构建一个黄金矩形,首先得画一个两个单位长度乘两个单位长度的正方形,然后从一边的中点至对边直角的顶点作一条连线,如图3-4所示。

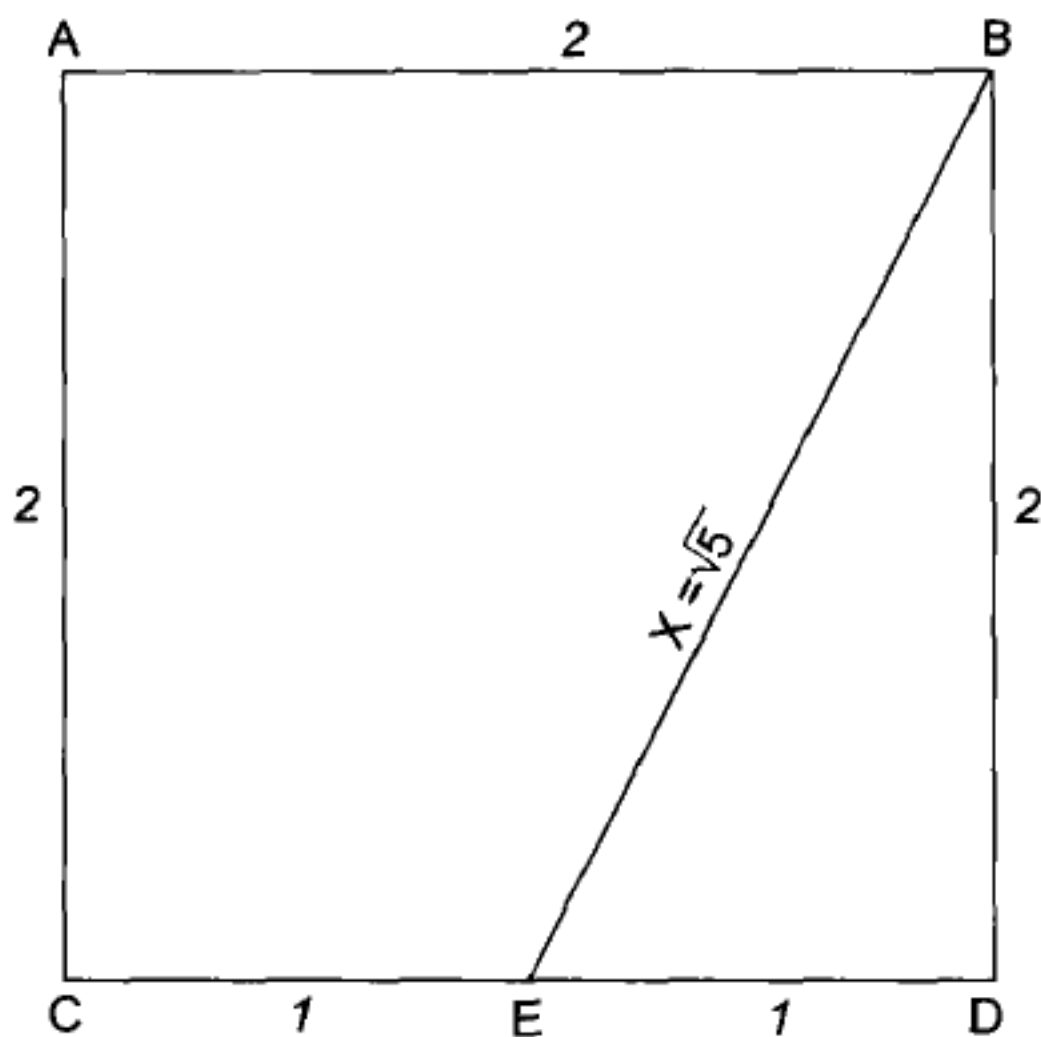


图 3-4

① 柏拉图的一篇有关自然科学及宇宙学的对话。柏拉图的宇宙生成论就是在这篇对话中提出来的。——译者注

② 1571—1630, 德国数学家, 天文学家。发现了行星运动的三条定律, 即开普勒三大定律。——译者注

三角形EDB是一个直角三角形。公元前550年左右，毕达哥拉斯(Pythagoras)[⊖]曾证明，直角三角形的斜边(X)的平方等于两直角边平方的和[⊕]。因此，在这个情形中， $X^2 = 2^2 + 1^2$ ，即 $X^2 = 5$ 。所以，线段EB的长度必是5的平方根。构建黄金矩形的下一步是延长线段CD，使EG的长度等于5的平方根或称2.236个单位长度，如图3-5所示。画完时，矩形相邻两条边呈黄金比，所以矩形AFGC和矩形BFGD都是黄金矩形。证明过程如下：

$$\begin{array}{lcl}
 CG = \sqrt{5} + 1 & \text{和} & DG = \sqrt{5} - 1 \\
 FG = 2 & & FG = 2 \\
 \frac{CG}{FG} = \frac{\sqrt{5} + 1}{2} & & \frac{DG}{FG} = \frac{\sqrt{5} - 1}{2} \\
 = \frac{2.236 + 1}{2} & & = \frac{2.236 - 1}{2} \\
 = \frac{3.236}{2} & & = \frac{1.236}{2} \\
 = 1.618 & & = 0.618
 \end{array}$$

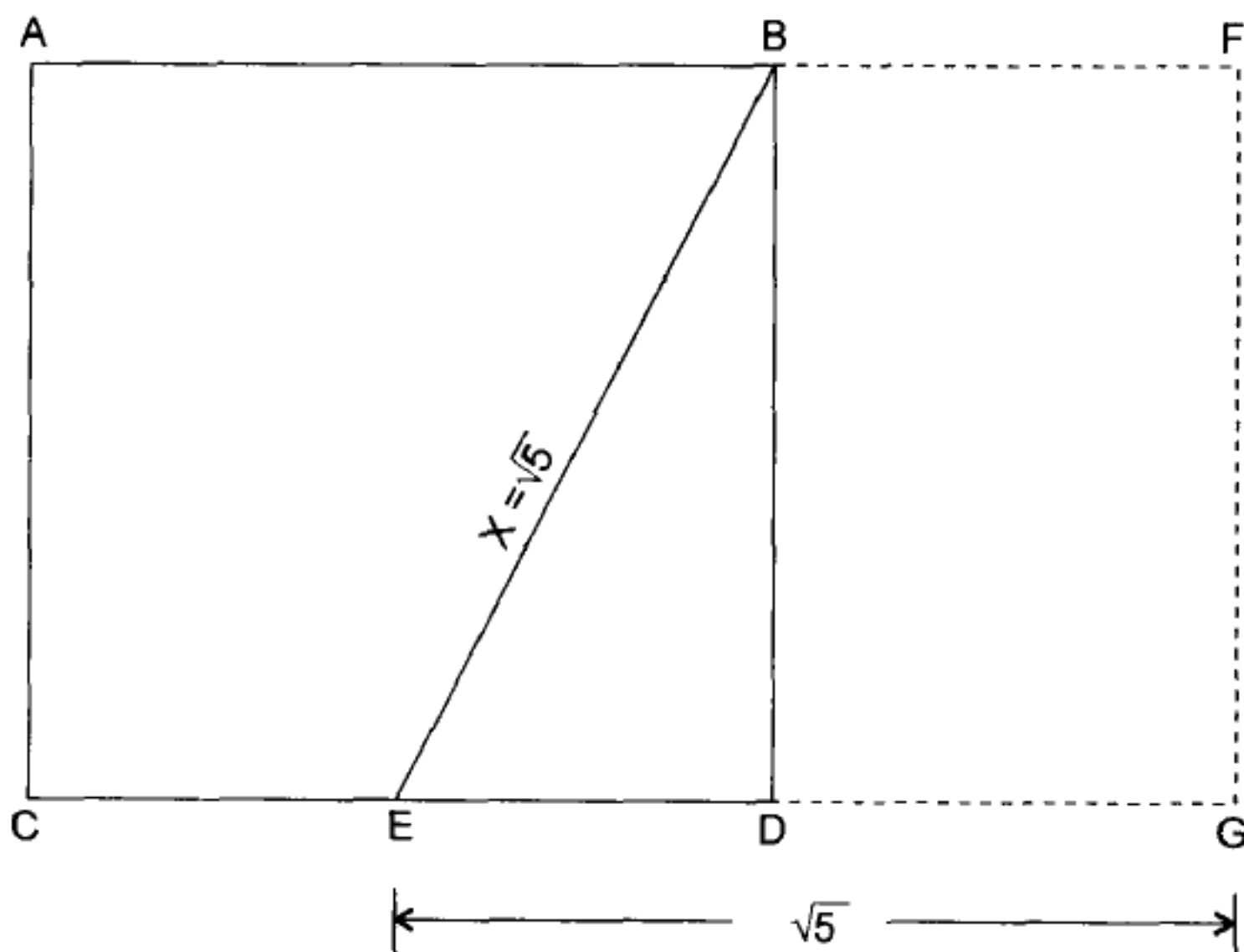


图 3-5

⊖ 毕达哥拉斯（约前580—约前500年），古希腊数学家，哲学家。神秘的毕达哥拉斯社团的创始人。——译者注

⊕ 即毕达哥拉斯定理。——译者注

因为矩形的两条邻边呈黄金比，所以根据定义，这个矩形是黄金矩形。

艺术品因黄金矩形的知识得到了极大的提高。在古埃及、古希腊和文艺复兴（renaissance）^①这些文化高峰时期，黄金比的价值与应用的魅力尤其强烈。里昂纳多·达芬奇（Leonardo da Vinci）^②曾为黄金比率赋予了伟大的意义。他发现这种比率使人感觉舒服，并说，“如果一件东西没有正确的外表，它就不成功”。达芬奇的许多绘画作品拥有正确的外表，因为他有意识地用黄金分割来提高它们的表现。古代的建筑师和现代的建筑师——最著名的是那些设计雅典巴台农神庙的建筑师，已经将黄金矩形成功地运用到了他们的设计之中。

显然， ϕ 比例确实对形态的观察者有影响。试验人员已经证实，人们认为这个比例有美学上的舒适感。例如，要求被试验者从一组不同类型的矩形中选择一个矩形，结果发现一般选择通常接近于黄金矩形的形状。当要求被试验者以他们最喜欢的方式，将一根杆子与另一根杆子交叉时，被试验者通常会用一根杆子将另一根杆子划分成 ϕ 比例。窗户、画框、建筑、书籍以及墓地的十字架常常近似于黄金矩形。

就像黄金分割，黄金矩形的价值不仅仅限于美学，而且显然还有功能上的作用。在无数的例子中，最有说服力的就是，DNA的双螺旋结构本身在它扭转的规则间隔处创造了精确的黄金矩形（见图3-9）。

黄金分割与黄金矩形代表了自然和人工美学及功能的静态形态，而美学舒适物力论（dynamism）^③——一种生长或发展的有序过程——的代表，就要用到宇宙中最独特的形态之一——黄金螺线。

① 意大利语，意为“再生”。14世纪起源于意大利，并在16世纪、17世纪蔓延到整个欧洲，是欧洲历史上的一次重大的新文化运动。——译者注

② 里昂纳多·达芬奇（1452—1519），意大利画家、雕刻家、建筑家兼科学家，文艺复兴时期的代表人物。——译者注

③ 认为一切现象都是自然力相互作用结果的哲学理论。——译者注

黄金螺线

黄金矩形可以用来构建黄金螺线。任何黄金矩形，如图3-5中的，都可以划分成一个正方形和一个较小的黄金矩形，如图3-6所示。这个过程理论上可以无限延续。我们这样做出的正方形明显向内旋转，它们被标示为A、B、C、D、E、F和G。

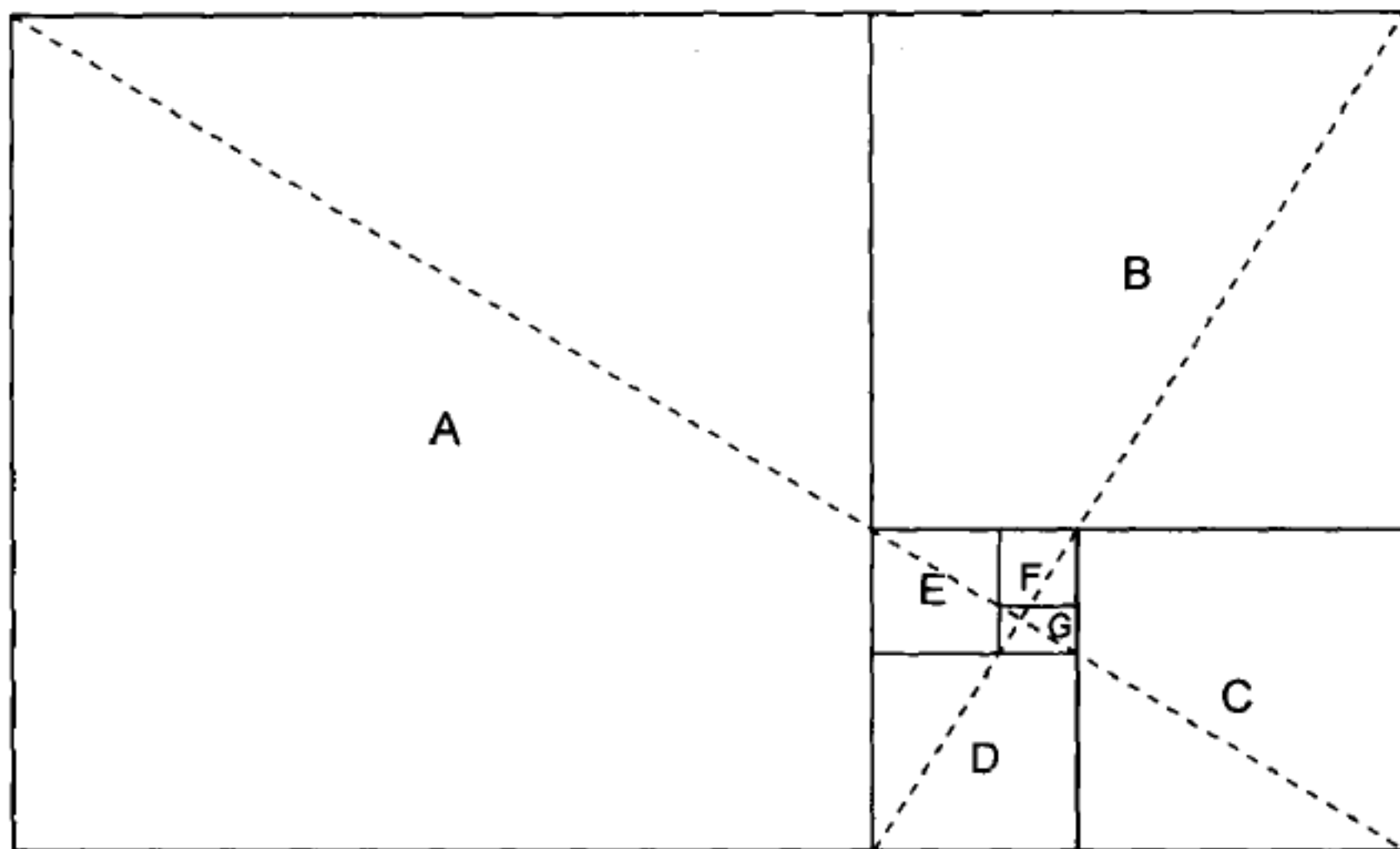


图 3-6

本身互为黄金比例的两条虚线，对角分割开了这个矩形，并精确指出了旋转正方形的理论中心。从靠近这个中心的地方，我们能以规模增大为序，通过用一条曲线连接每个旋转正方形的交叉点来绘制图3-7所示的螺线。当正方形向内或向外旋转时，它们的连接点就描绘出了一条黄金螺线。

在黄金螺线进化的任何一点，弧长与直径的比率是1.618。黄金螺线的直径和半径依次与相距90度的直径和半径以1.618相联系，如图3-8所示。

黄金螺线是对数螺线或称等角螺线的一种类型，它没有边界，而且是形状恒定。从螺线上的任何一点，螺线都可以向内和向外无限推移。既遇不到中心，又碰不到终点。如果在显微镜下观察，图3-8中的对数螺线的核心，与从几光年外看到的对数螺线外形一模一样。

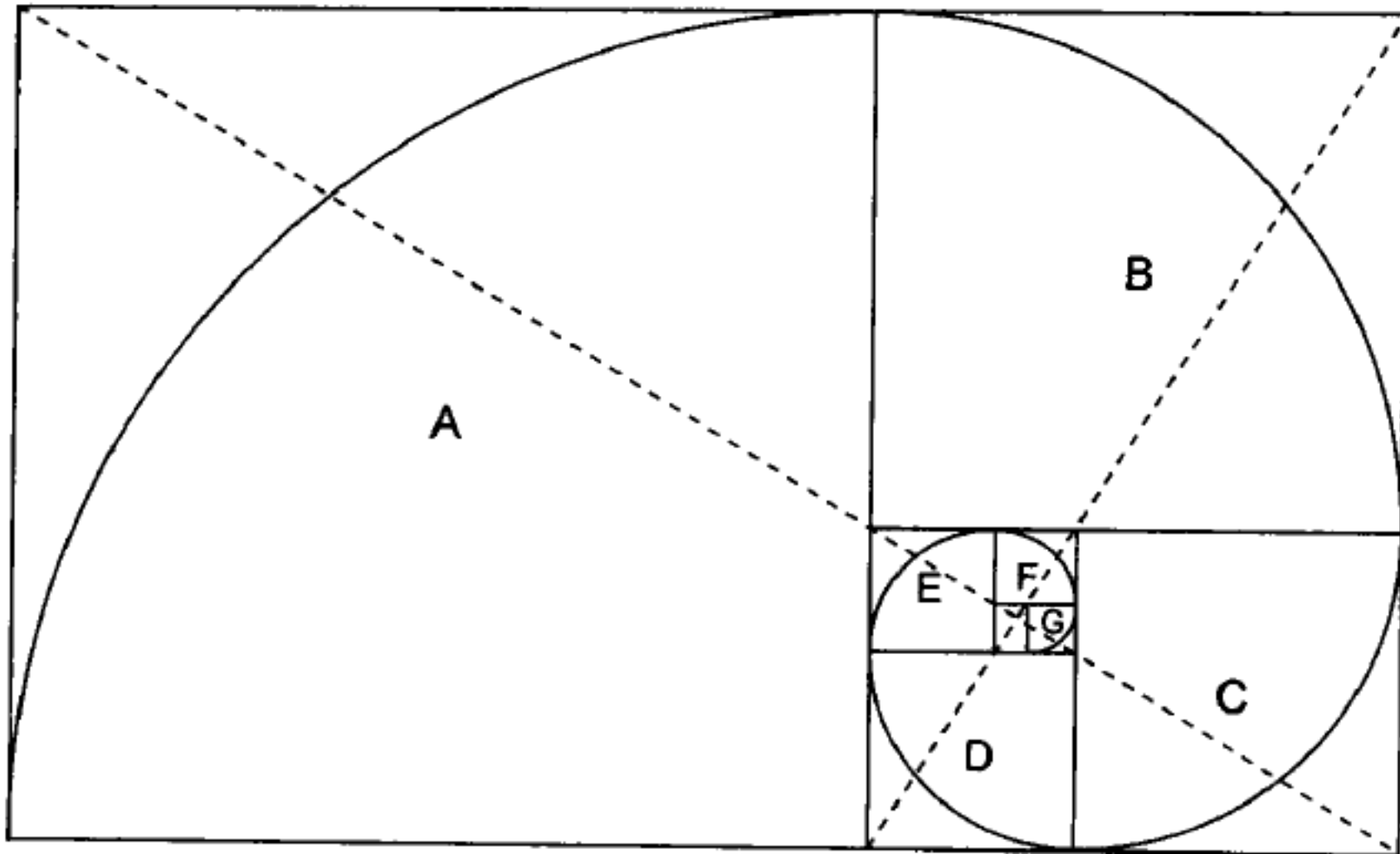
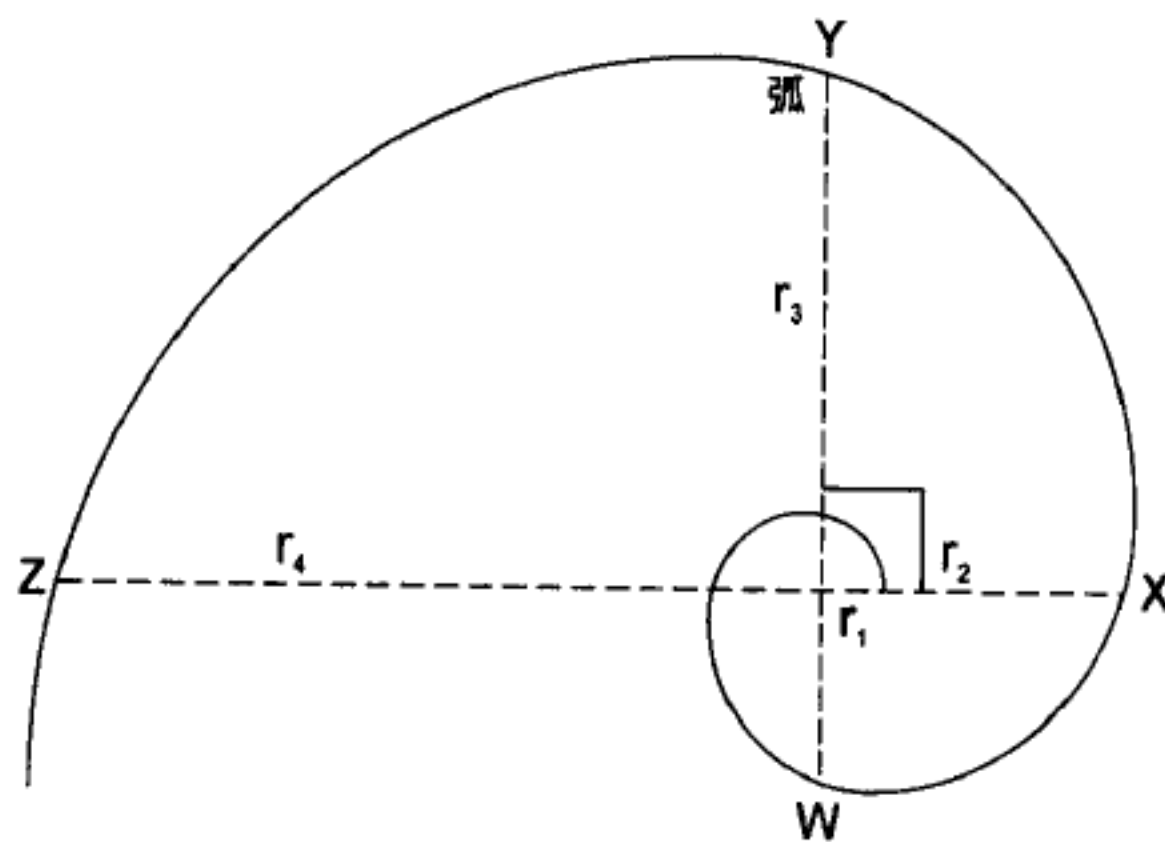


图 3-7



$$\frac{r_2}{r_1} = \frac{r_3}{r_2} = \frac{r_4}{r_3} = \dots = \frac{r_n}{r_{n-1}} = \underline{1.618}$$

$$\frac{d_2}{d_1} = \frac{d_3}{d_2} = \dots = \frac{d_n}{d_{n-1}} = \underline{1.618}$$

(其中 $d_1 = r_1 + r_3$, $d_2 = r_2 + r_4$, 等。)

$$\frac{\text{弧XY}}{\text{弧WX}} = \frac{\text{弧YZ}}{\text{弧XY}}, \text{等。} = \frac{\text{弧XZ}}{\text{弧WY}} = \underline{1.618}$$

$$\frac{\text{弧WY}}{\text{直径(WY)}} = \frac{\text{弧XZ}}{\text{直径(XZ)}}, \text{等。} = \underline{1.618}$$

图 3-8

如果欧几里得 (Euclid) ^① 几何形态 (也许除了椭圆以外) 通常意味着静止, 那么螺线就意味着运动: 生长与衰老, 扩散与收敛, 前进与倒退。对数螺线是在整个宇宙中发现的自然生长现象的精华表述。它覆盖了小到原子粒子, 大到银河系的各种规模的运动。就像大卫·伯嘉米尼 ^② 在撰写《数学》(在“时代—生活”的科学书库系列中) 时指出的那样, 彗星的尾巴以对数螺线从太阳曲线离开。圆蛛 (epeira) ^③ 将它的网织成对数螺线。细菌以可沿对数螺线绘制的加速度生长。陨星在地球表面爆裂时, 形成符合对数螺线的陨坑。瞄准准晶体的电子显微镜揭示出了对数螺线。松果、海马、蜗牛壳、软体动物的壳、海浪、蕨类植物、动物的角, 以及向日葵和菊花上的种子分布曲线, 都形成了对数螺线。飓风云、漩涡和外太空的星系以对数螺线旋转。甚至由互成黄金分割的三根骨头组成的人的手指, 在弯曲时也呈凋谢中的一品红叶子 (见图3-9) 的螺线形。在图3-9中, 我们可以在许多形态中看到这种宇宙影响的反映。数年的时间和数光年的空间分开了松果和螺旋的星系, 但布局是一样的: 1.618比率, 也许它是主宰动态自然现象的基本规律。因此, 作为自然界的重大布局之一, 作为一种无穷扩散或收敛的力量, 作为一种主宰动态过程的静态规律, 黄金螺线在我们面前以符号形态展开, 所有这些都受1.618比率, 即黄金平衡的支撑。

✓ Φ 的含义

各个时代的盖世奇才都深刻赞赏这种普遍现象的价值。历史上有许多杰出的学者痴迷这种数学表达的例子。毕达哥拉斯选择五角星作为他的

① 约生于公元前3世纪的希腊几何学家、教育家, 被称为几何学之父。——译者注

② 一位专门撰写科普题材文章的美国自由撰稿人。美国《生活》杂志“自然书库”专栏的作者。他在《数学》一书中, 着重记录了历史上的数学家, 并阐述了数学对其他学科的影响。——译者注

③ 一种生活在美洲大陆的蜘蛛, 大约有800种。——译者注

社团符号，因为五角星中的每一条线段与它临近的较短线段呈黄金比；17世纪著名的数学家雅科布·伯努利（Jacob Bernoulli）^①要求把黄金螺线蚀刻在自己的墓碑上；伊萨克·牛顿（Isaac Newton）^②让人在他的床头板（现由美国新罕布什尔州新波士顿市的重力基金会（Gravity Foundation）收藏）上刻上了相同的螺线。已知最早的黄金分割狂热爱好者是埃及吉萨（Gizeh）^③金字塔的建筑师，他们大约5000年前就在建筑中记录了 φ 的知识。埃及的工程师们有意识地将黄金比率融入大金字塔（Great Pyramid）^④中，他们使大金字塔侧面的斜高等于底边长度一半的1.618倍，这样金字塔的竖直高度同时就是1.618的平方根乘以底边长度的一半。按《大金字塔的秘密》（*Secrets of the Great Pyramid*）（哈普&罗出版公司（Harper&Row），1971年）的作者彼得·汤普金斯的说法，“这种关系表明希罗多德（Herodotus）^⑤的报告实际上是正确的，因为大金字塔塔高的平方是 $\sqrt{\varphi} \times \sqrt{\varphi} = \varphi$ ，而斜面的面积是 $1 \times \varphi = \varphi$ 。”此外，使用了这些比例，埃及的设计师（显然是为了建造北半球的比例模型）能以非常成熟的数学方法来使用 π 和 φ ，因此他们可以求圆的面积和球的体积（也就是，使它们分别有相同的面积和体积），这种技艺在四千多年里未被重复过。

尽管仅仅提到大金字塔会给怀疑论以口实（也许是出于更好的原因），但要注意，它的形态反映出的科学、数学、艺术和哲学思想大师们也为之着迷，这些大师包括柏拉图、毕达哥拉斯、开普勒、达·芬奇和牛顿。那

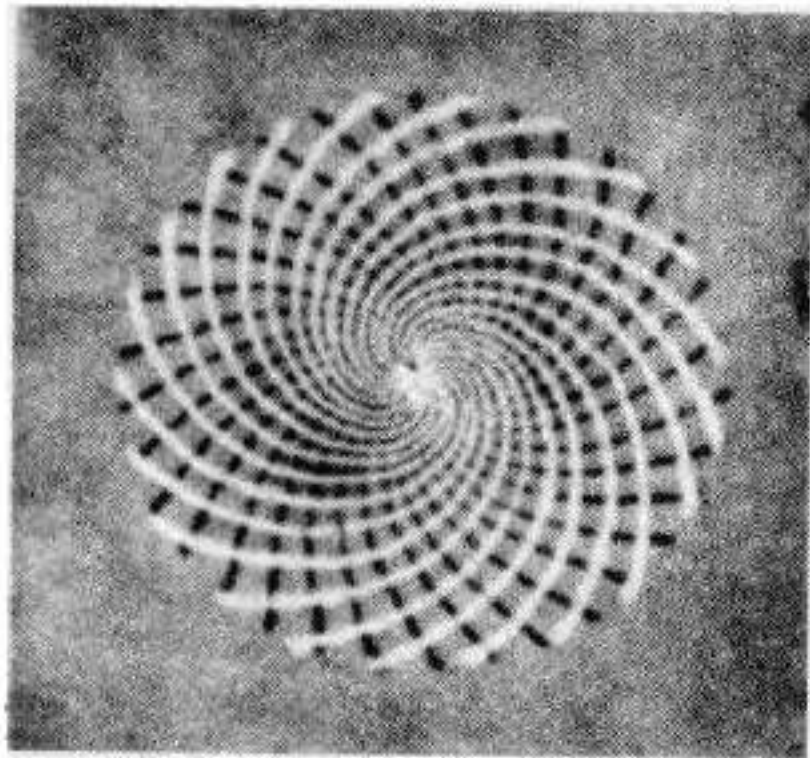
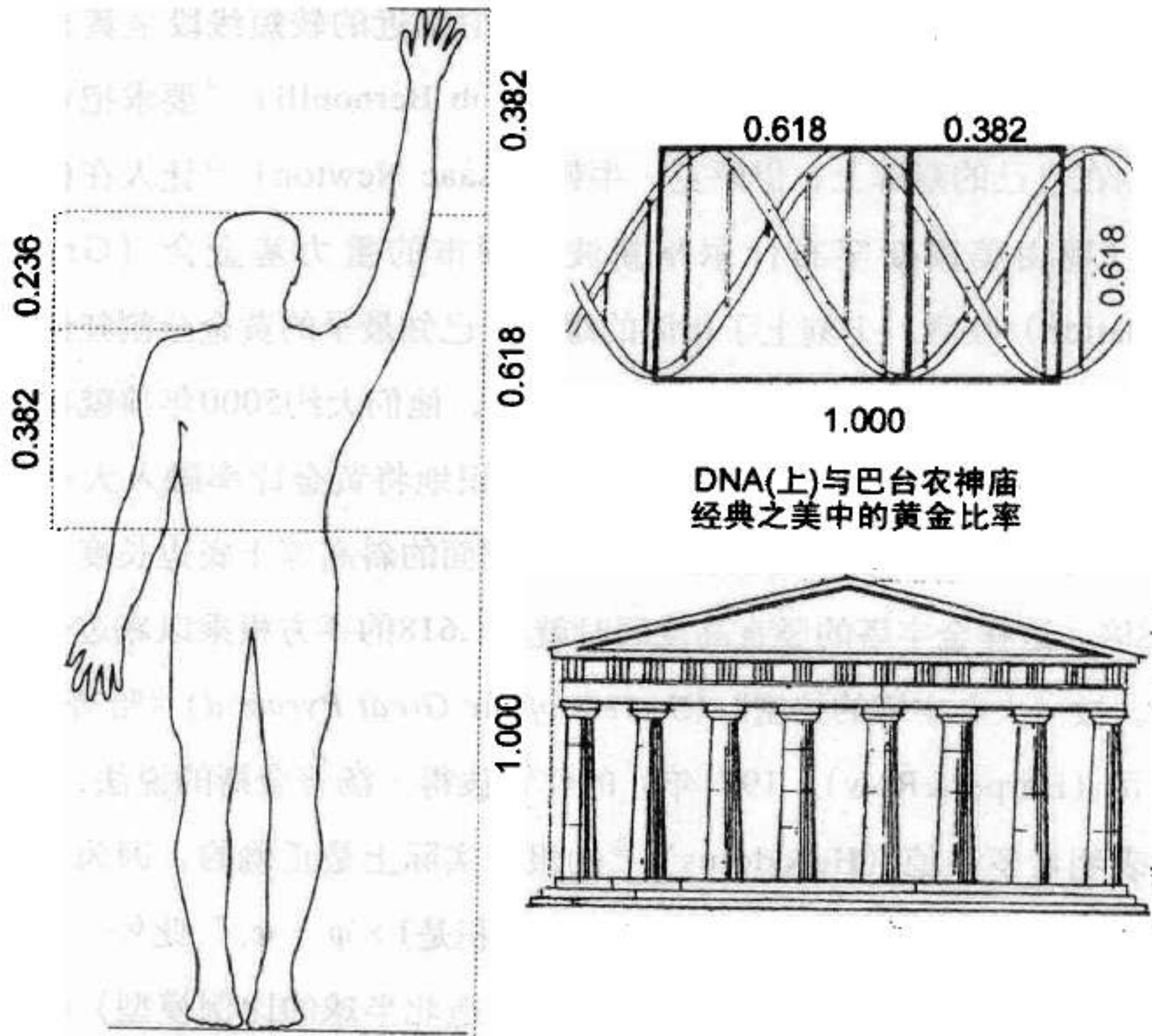
① 1654—1705，瑞士的伯努利家族产生过11位数学家，雅科布·伯努利是其中最著名的三位之一。他运用新观念研究一系列曲线的性质，曾详细研究过对数螺线，发现对数螺线的渐屈线和渐伸线是对数螺线等的重要性质。——译者注

② 1642—1727，英国数学家、物理学家、天文学家。——译者注

③ 埃及北部的城市，同名省省会，英语中又称Giza。在尼罗河下游左岸，与首都开罗隔河相对。市西南约8公里处有金字塔群，其中包括大金字塔。——译者注

④ 古埃及金字塔中最大的一座，是埃及法老胡夫（Pharaoh Khufu）的坟墓。——译者注

⑤ 前484—前425年，古希腊历史学家。被认为是第一个具有世界眼光的史学家。他所著的《历史》（*Histories*）是西方最早的一部“世界史”。在《历史》一书中，他将埃及法老胡夫（Khufu）的名字译成了希腊文Kheops或Cheops，沿用至今。——译者注



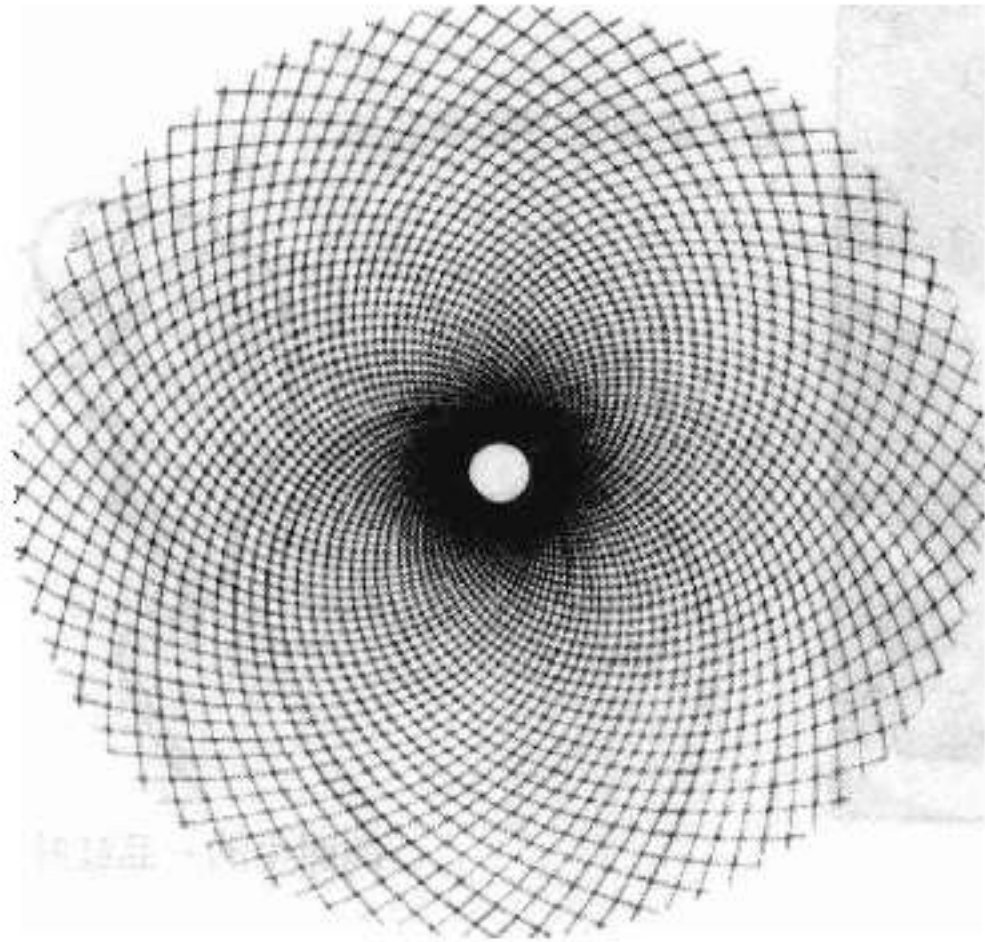
螺线形的花朵

上面的图形揭示了雏菊花头的双螺线形。两组相反的旋转螺线由花头上的独立小花排列形成。它们是近乎完美的等角螺线。在顺时针方向有21条；在逆时针方向有34条。这个21:34比率由神秘的斐波纳契数列中的两个相邻数构成。



贝壳

图 3-9

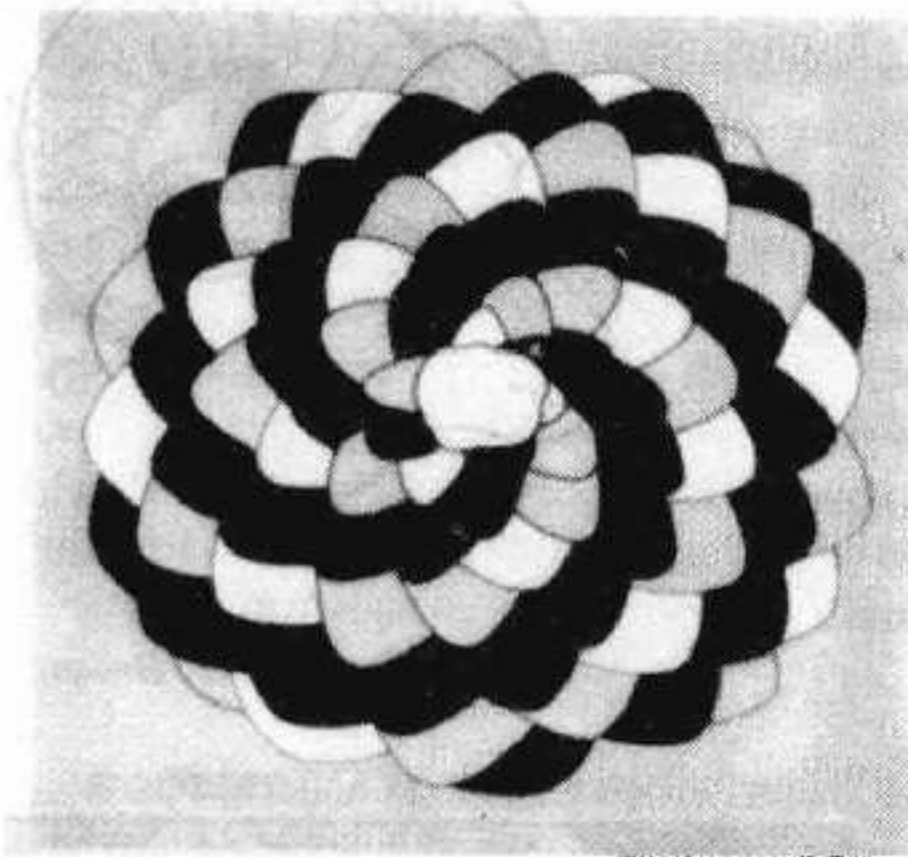


向日葵籽的排列

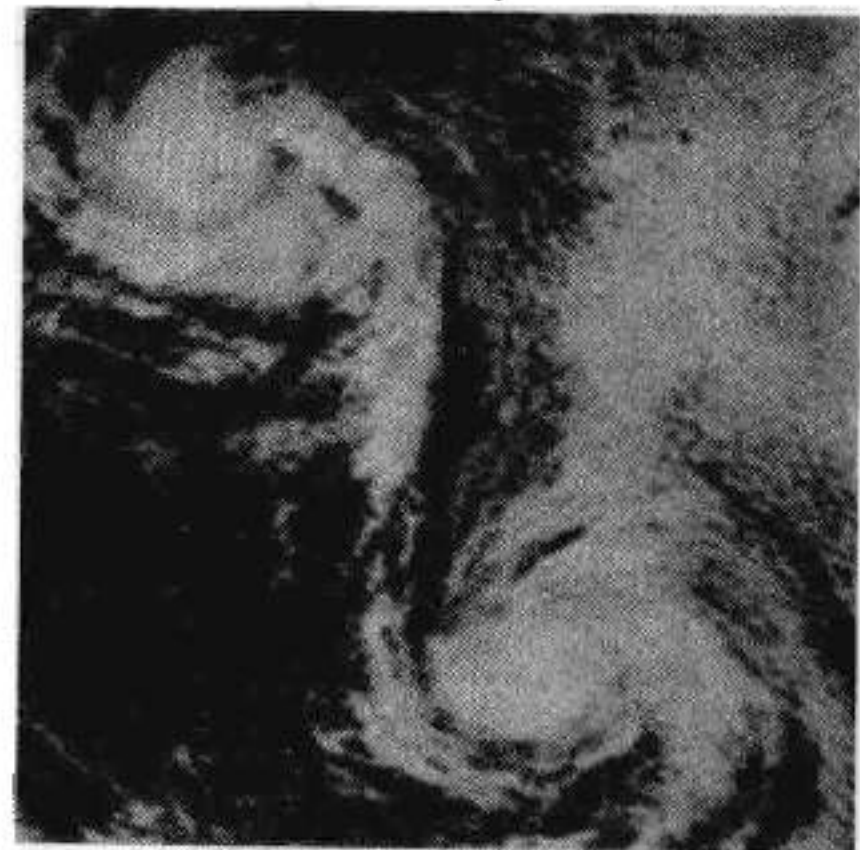
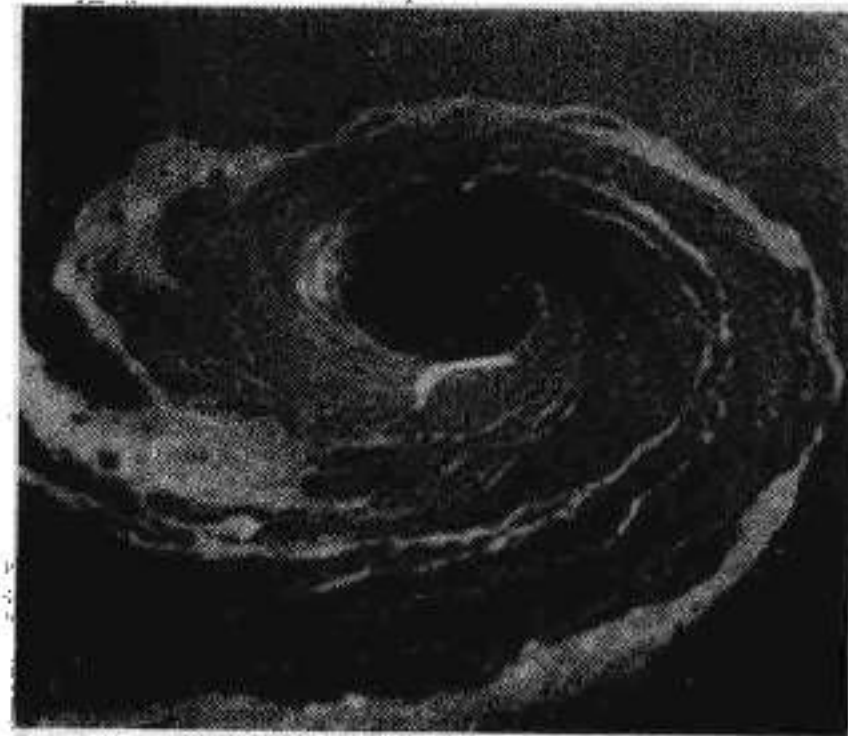
海马



生长中的蕨类植物

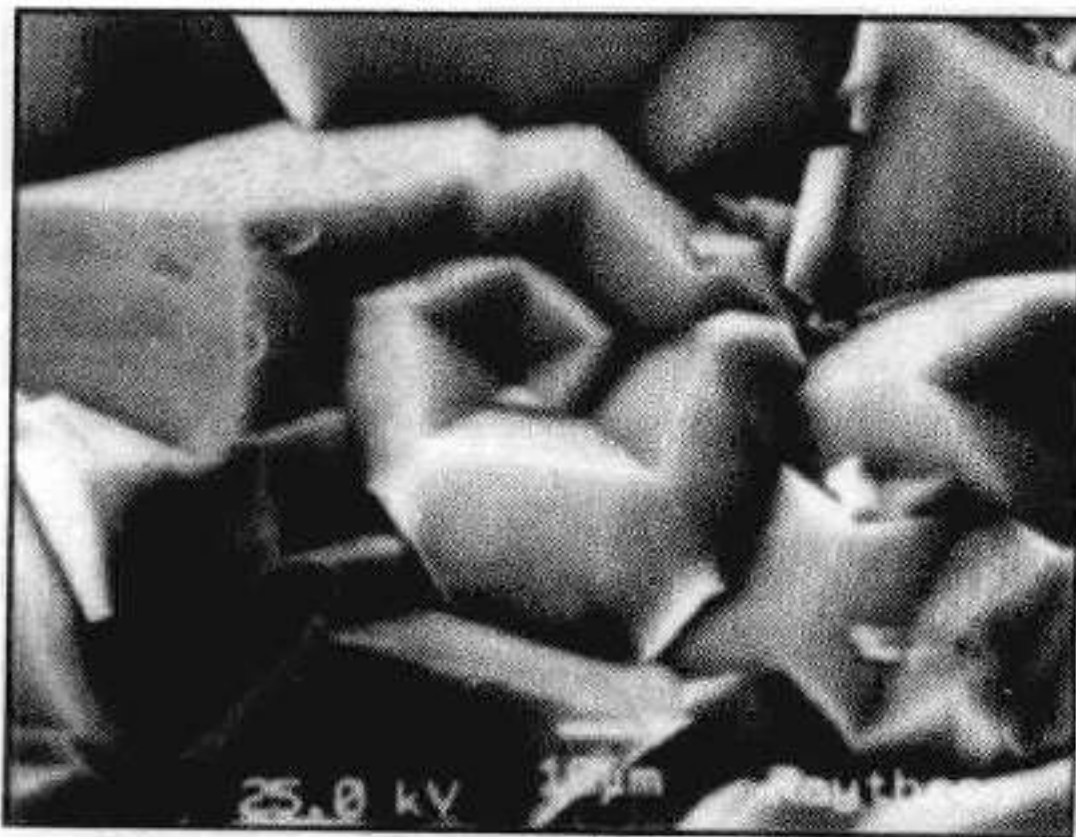


松果



飓风

图 3-9 (续)

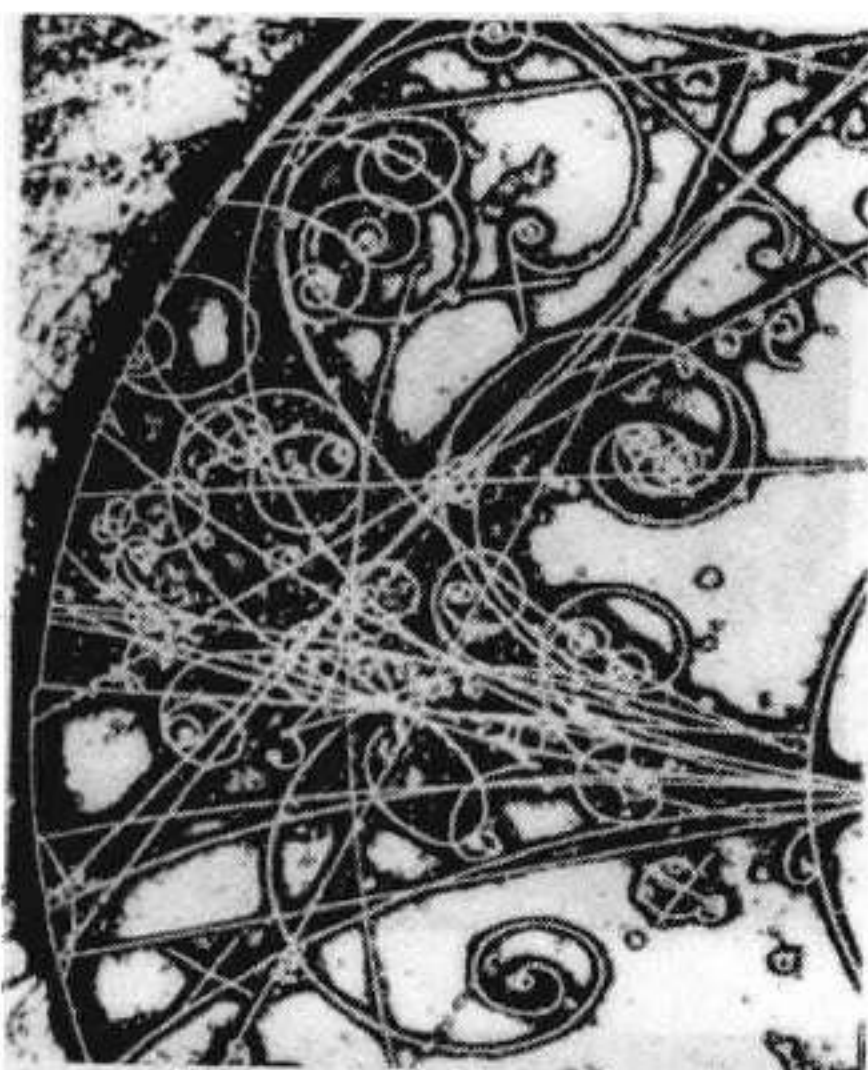


由以色列的D.Schechtman提供

电子显微镜下的准晶体



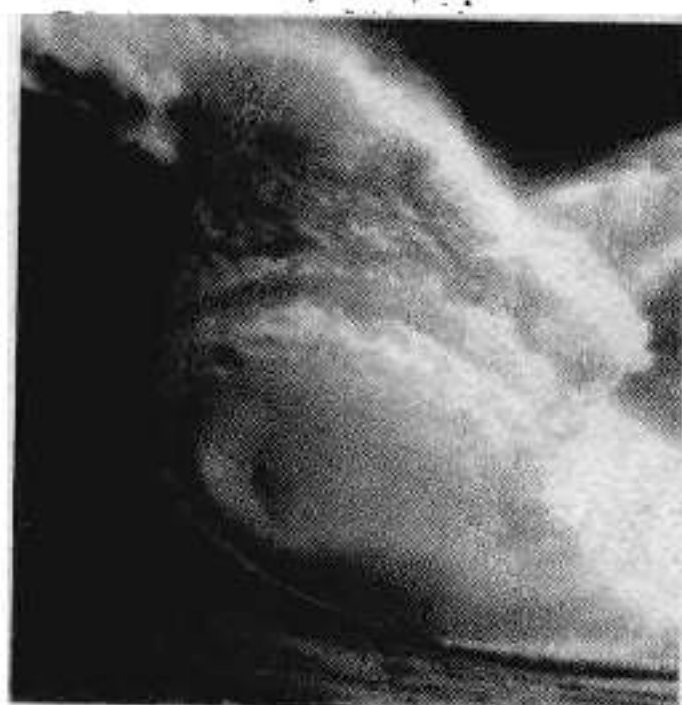
凋谢中的一品红叶子



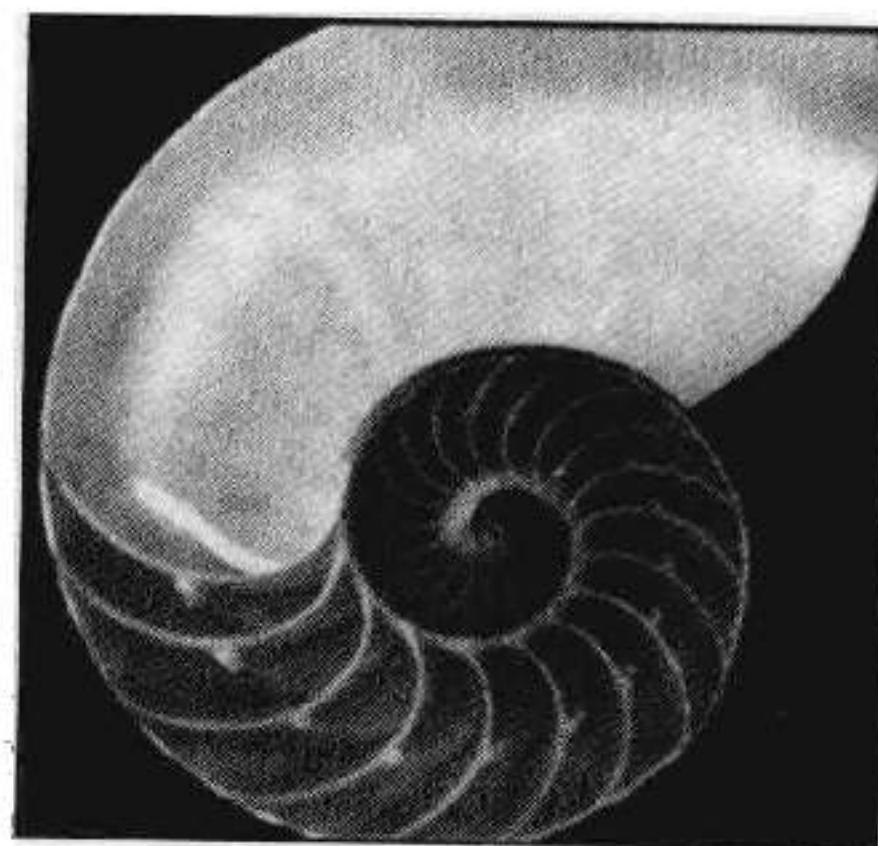
气泡室中的原子粒子



羊角

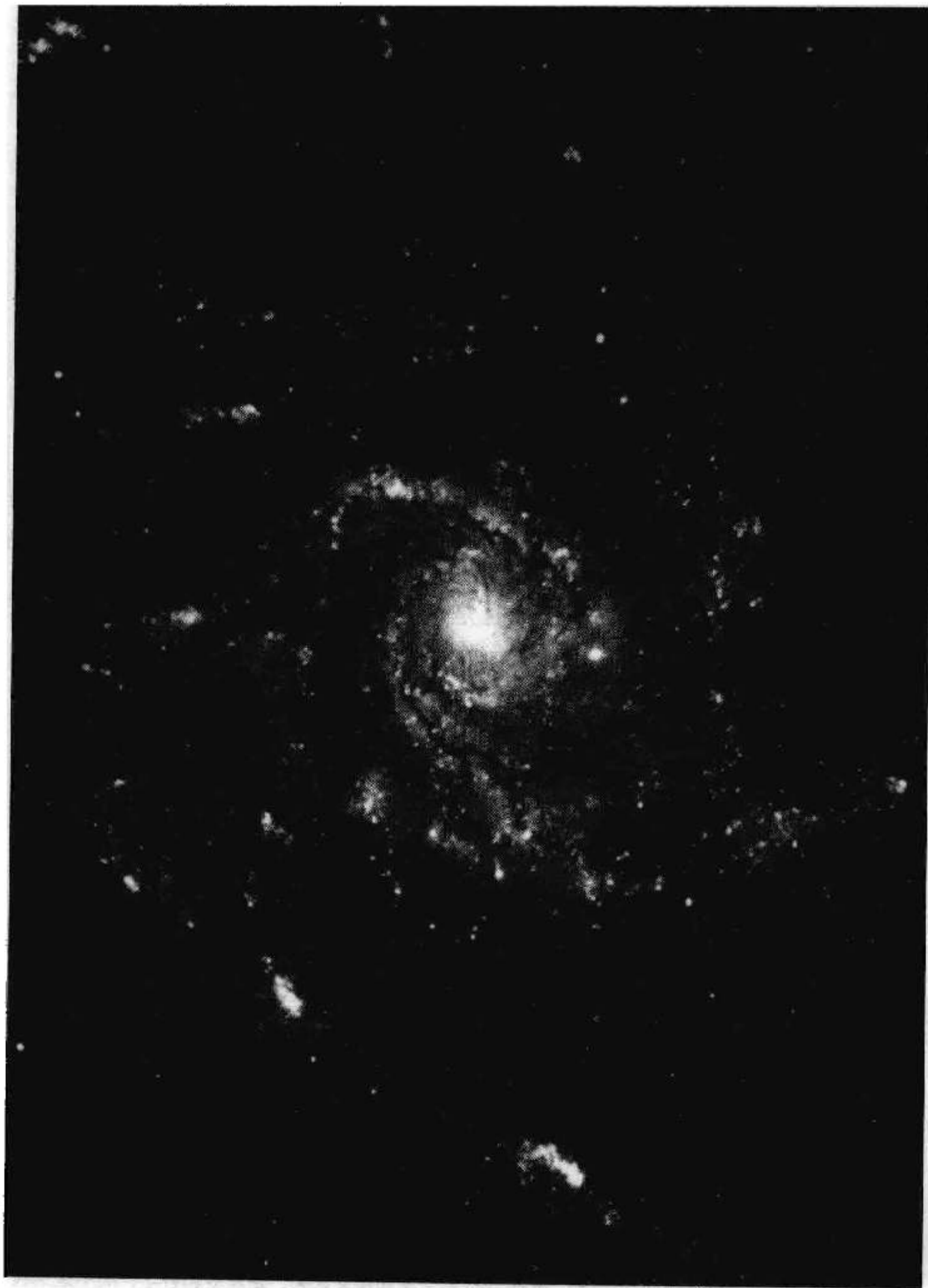


海浪



鹦鹉螺

图 3-9 (续)



螺线形的银河系

图 3-9 (续)

些设计和建造金字塔的人也是才华横溢的科学家、天文学家、数学家和工程师。很清楚，他们是要将黄金比率作为一种有至高无上价值的东西成千上万年地保存下去。这些高超的学者从事这种任务本身就是十分重要的，古希腊和欧洲启蒙运动（enlightenment）^①时期的智者，出于对黄金比率的痴迷也加入了这些人的行列。至于为什么，我们有的全部答案是来自几个作家的推测。这种推测尽管笨拙但符合我们自己的观察。据猜测，大金字塔在建成后的几个世纪中，是向那些证明自己适于了解这种伟大宇宙奥秘的人传授知识的庙宇。只有那些能将领悟上升到事物看起来的表面之上，以发现它们究竟是什么的人，才能在这种“神秘的东西”——也就是永恒的秩序和生长的复杂道理——中得到教授。这种“神秘的东西”包括 ϕ 吗？汤普金斯解释道，“舒瓦勒·卢比茨（Schwaller de Lubicz）说，埃及法老们认为 ϕ 不仅是一个数字，而且是一种创造机能的符号，或一个无穷级数重现的符号。对于他们来说，它代表了‘生命之火、精子的雄性活动、圣约翰福音（中提到的）逻各斯（Logos）’。”逻各斯这个希腊词被赫拉克里特（Heraclitus）^②和后来的异教徒，犹太教和基督教的哲学家定义为意味着宇宙的理性秩序、一种内在的自然法则、一种蕴藏在万物中的给与生命的力量，以及主宰并渗透世界的宇宙结构力量。

在阅读这些深奥而时髦的描述时，要考虑这些人不能清楚地看到他们感觉到的东西。他们没有图形和波浪理论来证明自然的生长模式，因此尽己所能来描述一种他们认为给自然界定形的组织原理。如果这些古代哲人的有一种宇宙结构力量主宰并渗透着世界的观点是正确的，那么它不会主宰并渗透到人类世界中吗？如果宇宙中的各种形态，包括人体、大脑和DNA反映了 ϕ 的形态，那么人类的活动也反映它吗？如果 ϕ 是宇宙

① 18世纪欧洲的一段历史时期，此时一些思想家和作家认为，是理智和科学，而不是宗教推动了人类的进步。——译者注

② 约前540—约前480年，希腊哲学家。出身贵族，认为万物都处于流变状态中。鄙视人类；赞成战争。——译者注

中的生长力量，那么它能在背后推动人类生产力的进步吗？如果 ϕ 是一种创造机能的象征，它会主宰人类的创造活动吗？如果人类的前进是基于“一种无穷级数”的生产与再生产，那么这种前进没有可能甚至没有理由有这种 ϕ 的螺线形态吗？而且在人类生产力的估价，也就是股票市场的运动中，这种形态可以识别吗？聪明的埃及人显然知道，在宇宙的无序外表之内隐藏着有序和生长的真理。在20世纪80年代，现代“混沌理论”（chaos theory）已经再次发现了这种观点。相似地，我们认为，如果我们考察的是股票市场的本质，而不是一种基于草率考虑之上的表面市场表现，那么股票市场是可以被正确理解的。股票市场不是对时事随机的、无形的大量反映，而是一种对人类前进的有形结构的精确记录。

请把这个概念同天文学家威廉·金斯兰德（William Kingsland）在其著作《实际与理论中的大金字塔》（*The Great Pyramid in Fact and in Theory*）中的话相比较，他写到，埃及的天文学/星象学是一种“与人类进化大循环相联系的深奥科学”。波浪理论解释了人类进化的大循环，并揭示了它们怎样以及为什么要这样展开的道理。此外，它不仅包含了小规模循环，还包含了大规模循环，这些循环都是基于一种物力悖论（paradoxical principle）^①，并在一种恒定的形态中变化。

正是这种形态赋予宇宙以结构和统一。自然界中没有什么东西表明生命是无序的或无形的。“宇宙”这个词意味着“一种秩序”。如果生命有形态，那么我们必定无法拒绝，作为现实生活的一部分，人类前进也有秩序和形态的可能性。延伸开去，估价人类生产企业的股票市场也有秩序和形态。所有了解股市的技术分析手段都是基于秩序和形态的基本原理，而艾略特的理论更胜一筹。它假设，形态无论是大是小，基本结构是恒定的。

^① 数理逻辑与数学基础理论中的概念。指相互矛盾着，但又能自圆其说的一对陈述。——译者注

艾略特在他的第二篇专论中，用《自然法则——宇宙的奥秘》来代替《波浪理论》，并将自然法则运用到各种人类活动中。艾略特说波浪理论是宇宙的奥秘可能有些过头了，因为大自然已经创造了数不清的形态和过程，而不只是一种简单的布局。然而，前面提到过的历史上的一些科学巨匠，很可能会赞同艾略特的构想。至少，说波浪理论是宇宙中最重要的奥秘之一是可信的。

✓ 螺线式股市中的斐波纳契数学

我们能推论并观察到股市像许多自然现象那样按相同的数学基础运行吗？回答是“是”。正像艾略特在他最后的统一结论中解释的那样，各种波浪的前进有着相同的数学基础。斐波纳契数列主宰着在总体股票指数运动中形成的波浪数，它按照我们在第1章开头描述的5:3内在关系扩展。

正像我们首先在图1-4中介绍的那样，市场的本质结构产生了完整的斐波纳契数列。一个调整浪的最简单表现形式是直线下降。一个推动浪的最简单表现形式是直线上升。一个完整的循环是两条直线。在下一级的复杂形态中，相应的数字是3、5和8。如图3-10所示，这个数列可以无穷无尽。波浪产生斐波纳契数列的事实揭示出，人类总体表达出的情绪锁定在了这条自然的数学法则上。

现在比较图3-11和图3-12中显示的构造。每一幅都解释了内旋黄金螺线的自然法则，而且受到斐波纳契比率的控制。每一浪都与前一浪按0.618相关。事实上，就DJIA点数而言的距离本身就反映出斐波纳契数学。在显示1930~1942年序列的图3-11中，市场的摆动分别覆盖了约260点、160点、100点、60点和38点，这与下降的斐波纳契比率：2.618、1.618、1.000、0.618和0.382很相近。

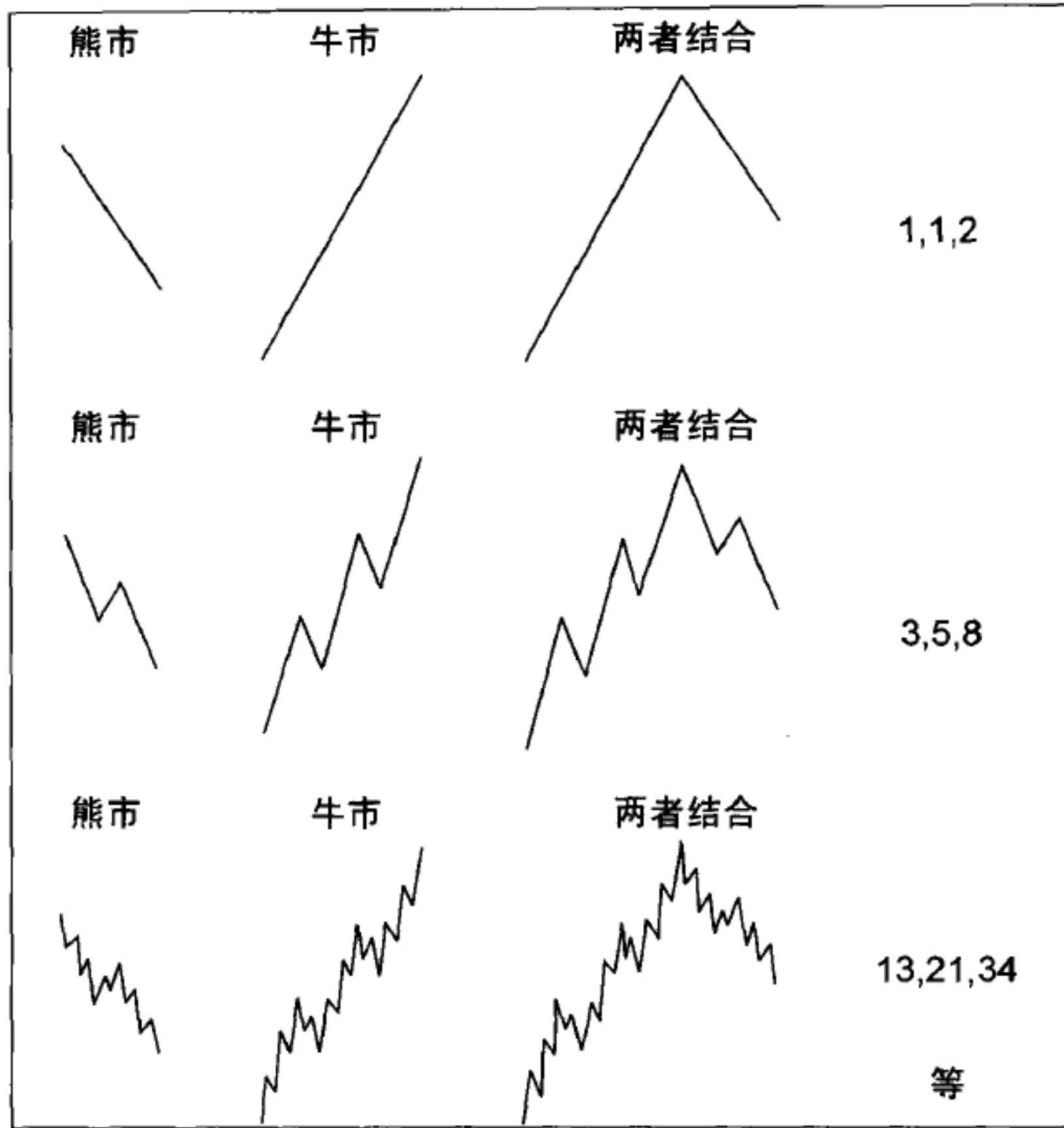


图 3-10

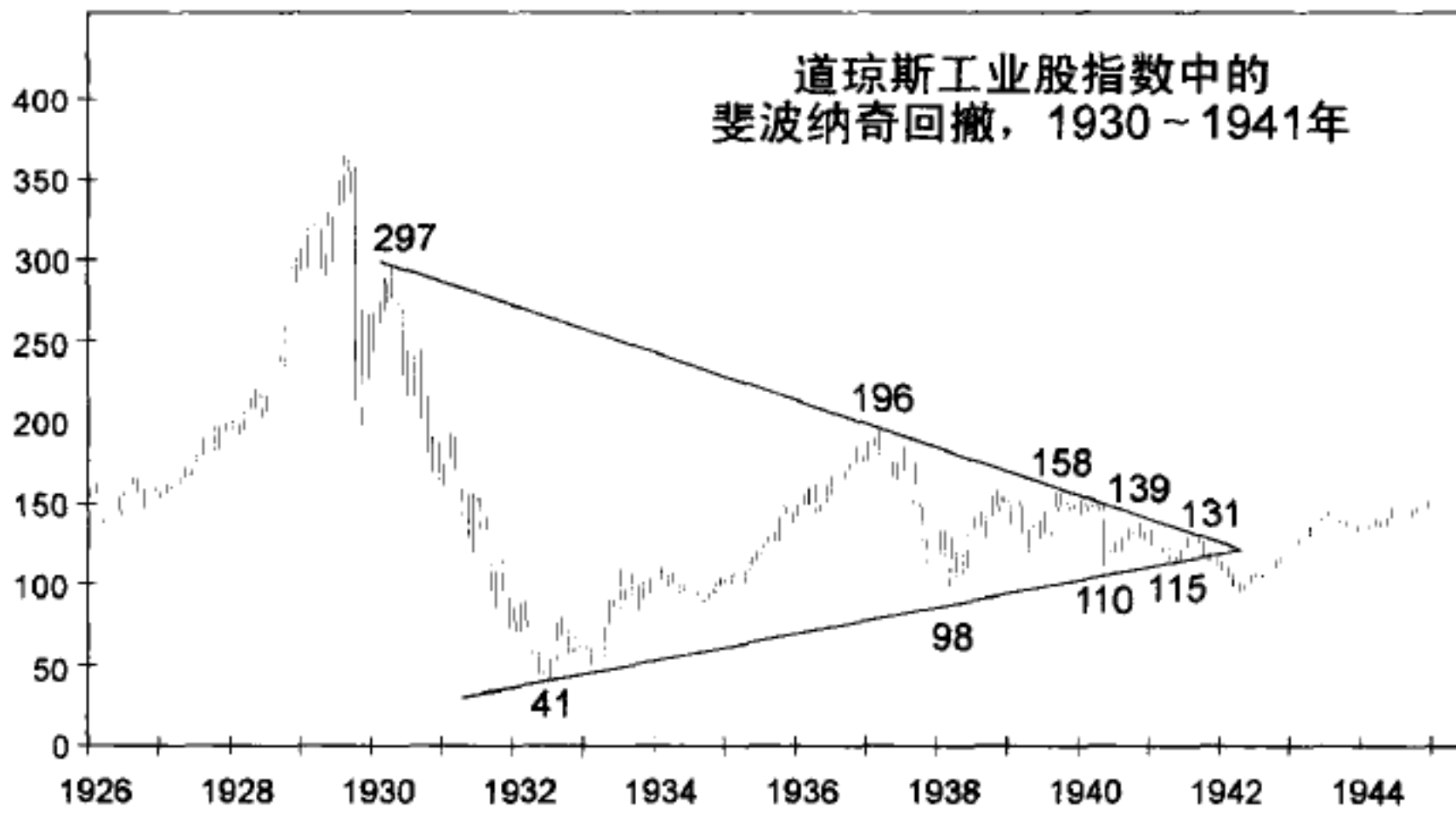


图 3-11

在图3-12中，以1977年向上调整中的浪X开始，指数的摆动几乎正好是55点（浪X）、34点（浪Ⓐ至浪Ⓒ）、21点（浪Ⓓ）、13点（浪Ⓔ中的浪(a)）和8点（浪Ⓔ中的浪(b)），也就是斐波纳契数列本身。从头至尾的净调整是13点，而且三角形的端点正好处于930点的调整起始位置，这也是后来6月份反弹的高峰。无论你认为波浪中的实际点数是巧合还是布局的一部分，都能肯定每一个相继波浪之间的0.618比率恒定不是巧合。第4章和第7章将重点讨论各种市场模式中的斐波纳契比率。

基于斐波纳契数学的股市行为反映了螺线生长吗？再一次，回答是“是”。如图1-3所示，股市前进的理想艾略特概念是构造一条对数螺线的绝佳基础，图3-13大致说明了这一点。在这个结构中，浪级更高的每一个相继浪的顶点都是以指数式展开的接触点。

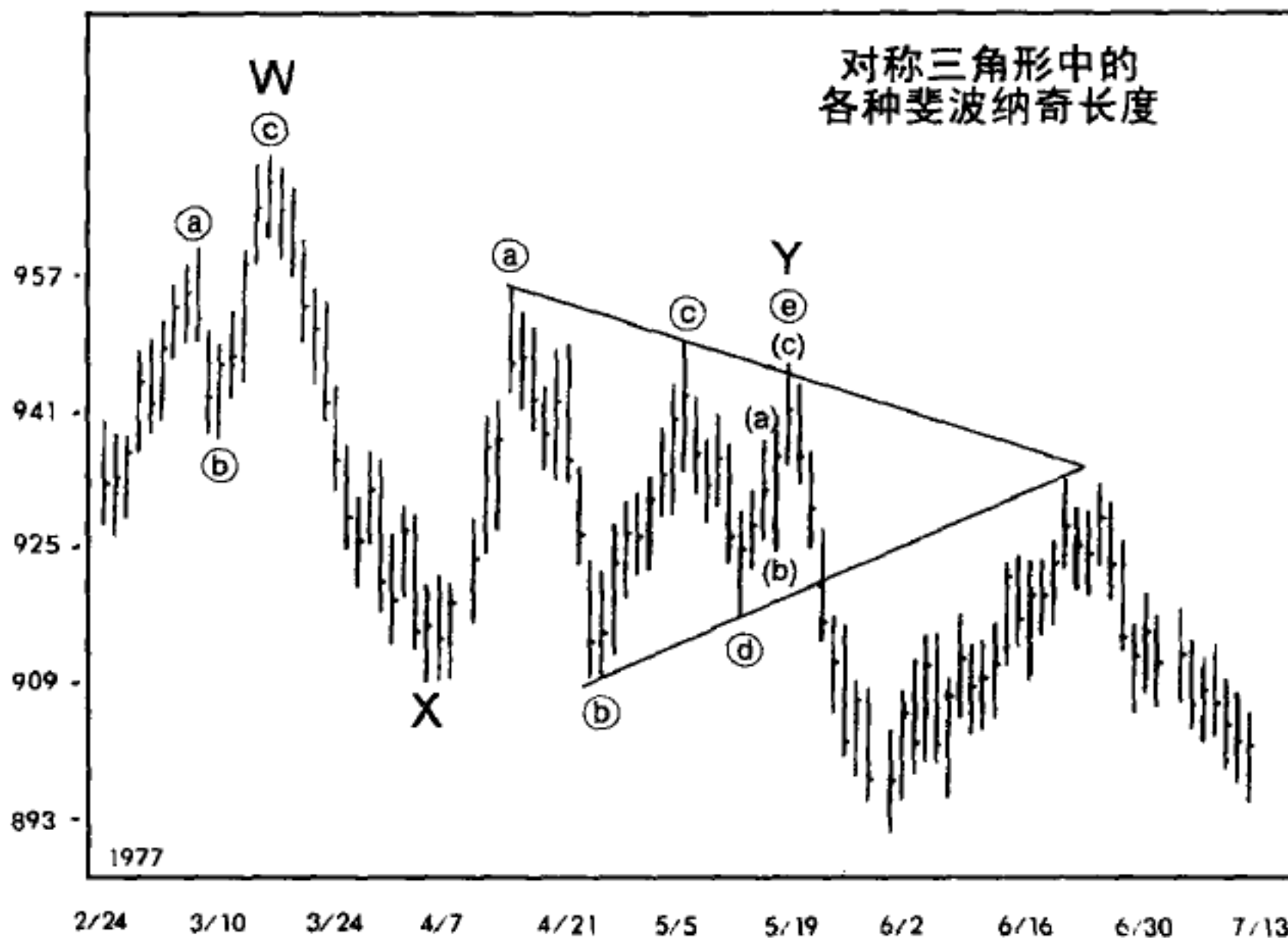


图 3-12

在这两种关键的途径中（斐波纳契数学和螺线形），对人类生产企业的社会学估价，反映了在整个自然界中发现的其他生长形态。因此，我们得出结论，它们遵循相同的法则。

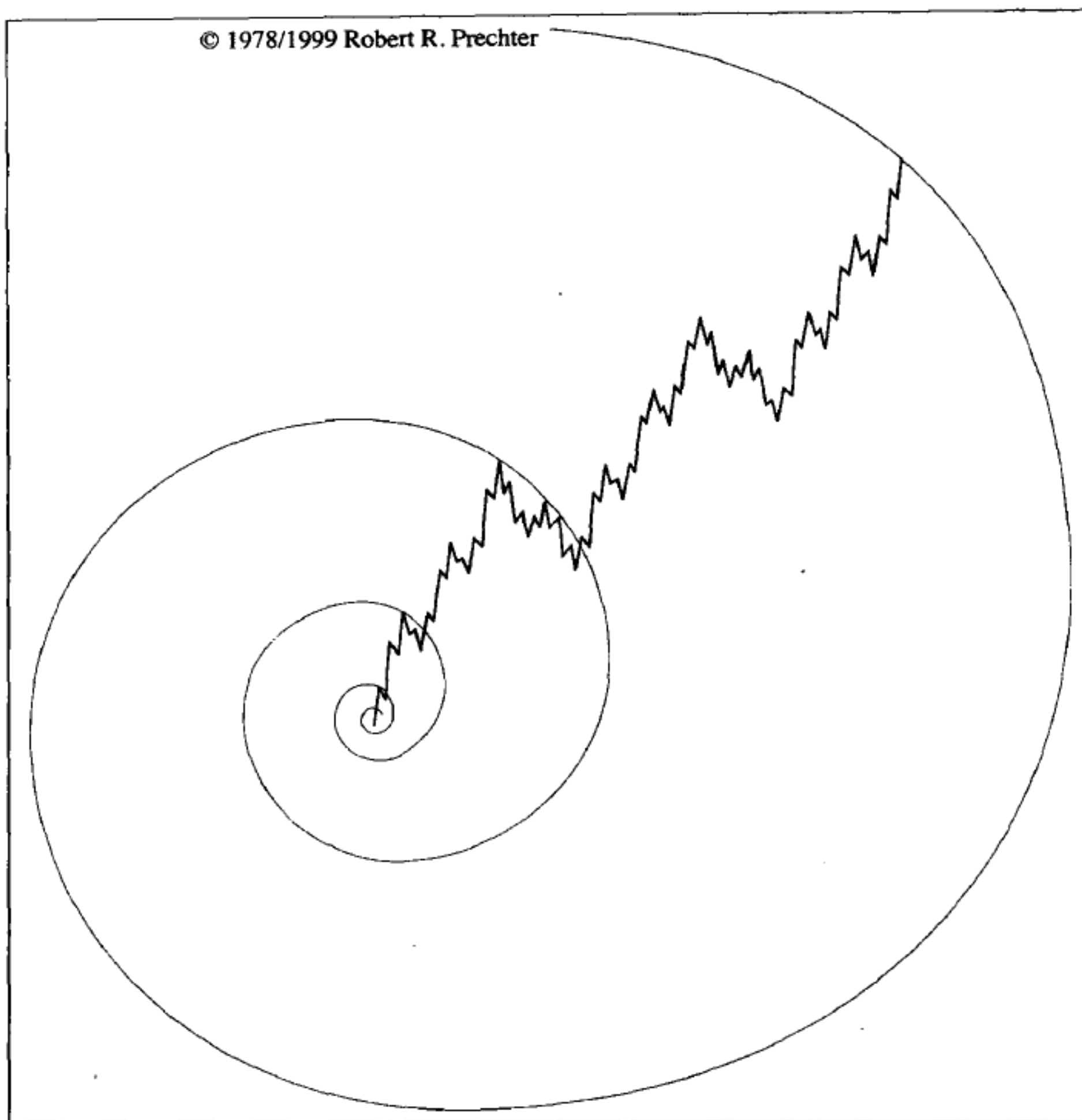


图 3-13

✓ 波浪理论结构中的斐波纳契数学

甚至艾略特波浪形态有序的结构复杂性也反映了斐波纳契数列。有1种基本形态：五浪序列。有两种波浪方式：驱动浪（可以细分成波浪的基本级，用数字标示）和调整浪（可以细分成波浪的辅助级，用字母标示）。有3目波浪的简单模式：五浪、三浪和三角形（它既有五浪的特征又有三浪的特征）。有5种简单模式：推动浪、倾斜三角形驱动浪、锯齿

形调整浪、平台形调整浪和三角形调整浪。有13种简单模式的变体：推动浪、终结倾斜三角形驱动浪、引导倾斜三角形驱动浪、锯齿形调整浪、双重锯齿形调整浪、三重锯齿形调整浪、规则平台形调整浪、扩散平台形调整浪、顺势平台形调整浪、收缩三角形调整浪、下降三角形调整浪、上升三角形调整浪和扩散三角形调整浪。

调整方式有两组：简单调整和联合形调整，使组的总数达到3。有2目调整浪的联合（双重调整和三重调整），使目的总数达到5。如果允许每个联合形调整浪中只有一个三角形调整浪，以及每个联合形调整浪中只有一个锯齿形调整浪（像要求的那样），那么总共就会有8种调整浪的联合：锯齿形/平台形、锯齿形/三角形、平台形/平台形、平台形/三角形、锯齿形/平台形/平台形、锯齿形/平台形/三角形、平台形/平台形/平台形和平台形/平台形/三角形，这使科的总数达到13。简单模式和联合形的总科数是21。

图3-14是这种复杂性的发展树。它列出了这些联合的排列组合，或波浪中的次要变体，如哪一浪延长了（如果存在的话），什么途径能满足交替，一个推动浪是否包含倾斜三角形，每个联合形态中的三角形都属于哪些类型等等，这都可以使该种进展继续下去。

在这个排列过程中，可能有一种人为修饰的因素，因为谁都能按可接受的分类构造出一些可能的变体。尽管如此，看起来反映斐波纳契数学的一种关于斐波纳契数学的原理本身值得某种反映。

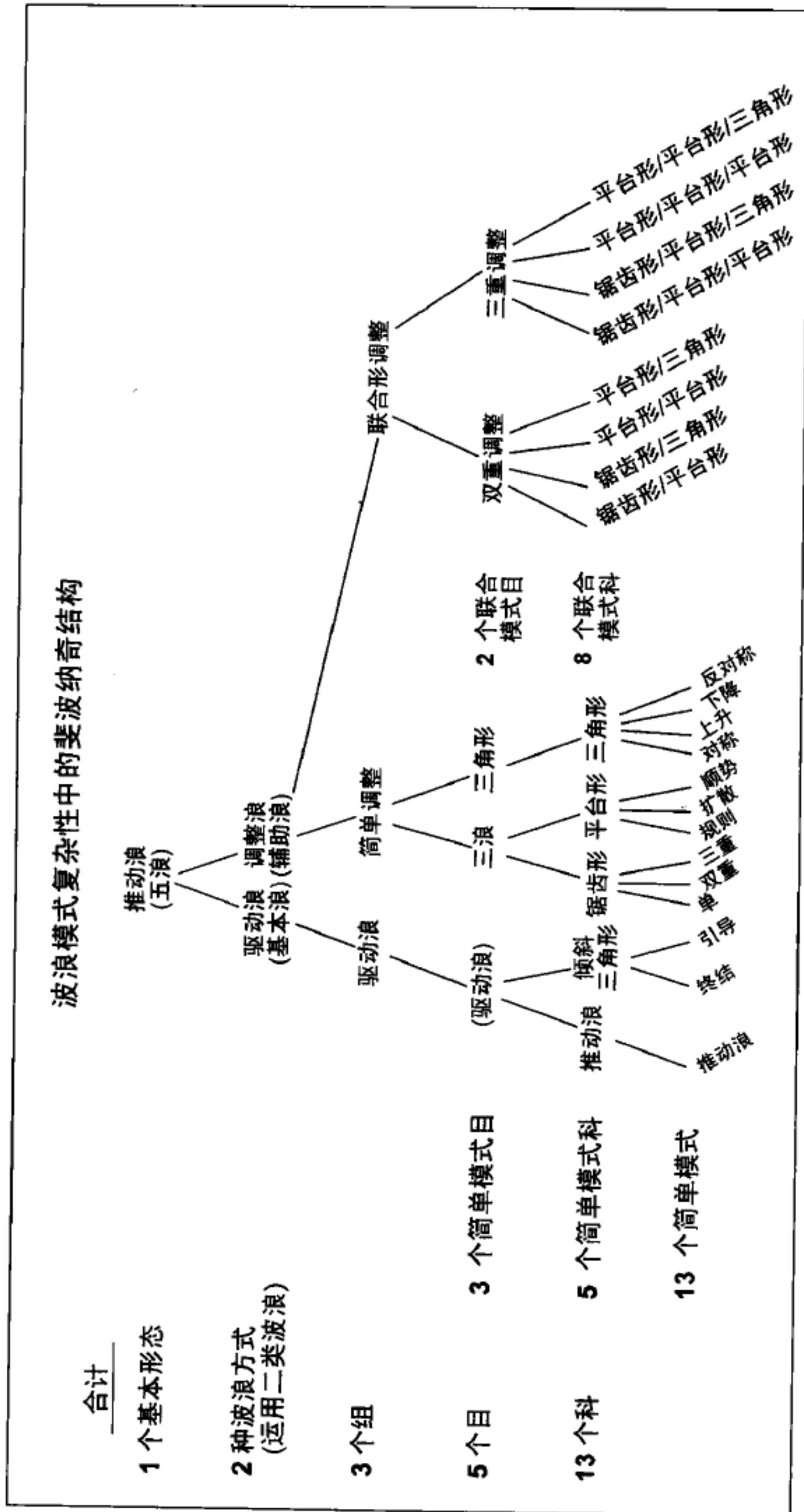


图 3-14

✓ Φ 与加性增长

正如我们将在后续几章中介绍的那样，市场活动受黄金比率的控制，甚至在市场统计中出现的斐波纳契数字也比概率允许的多。然而，关键是要明白，在波浪理论的大概念中，数字本身确实有理论上的重要性，而比率才是这种类型的生长模式的基本关键。尽管在文献中很少得到指出，但无论序列从哪两个数字开始，这种类型的加法数列导致了斐波纳契比率。斐波纳契数列是其类型的基本加法数列，因为它从数字1开始（见图3-15），而1是数学生长的起点。我们还可以任意选取两个数字，如17和352，并把它们相加产生第三个数字，按这种方法继续可产生更多的数字。随着这种数列的发展，数列中相邻两项之间的比率总是很快接近极限。到第八项产生的时候，这种关系变得十分明显（见图3-16）。因此，尽管创造这个斐波纳契数列的特定数字反映了市场中理想的波浪前进，但斐波纳契比率是几何前进的基本法则，在这个前进中前两个单位加起来产生了下一个单位。这就是为什么这个比率主宰着如此之多的与生长和衰退、扩散和收缩，以及前进和倒退的自然现象有关的数据。

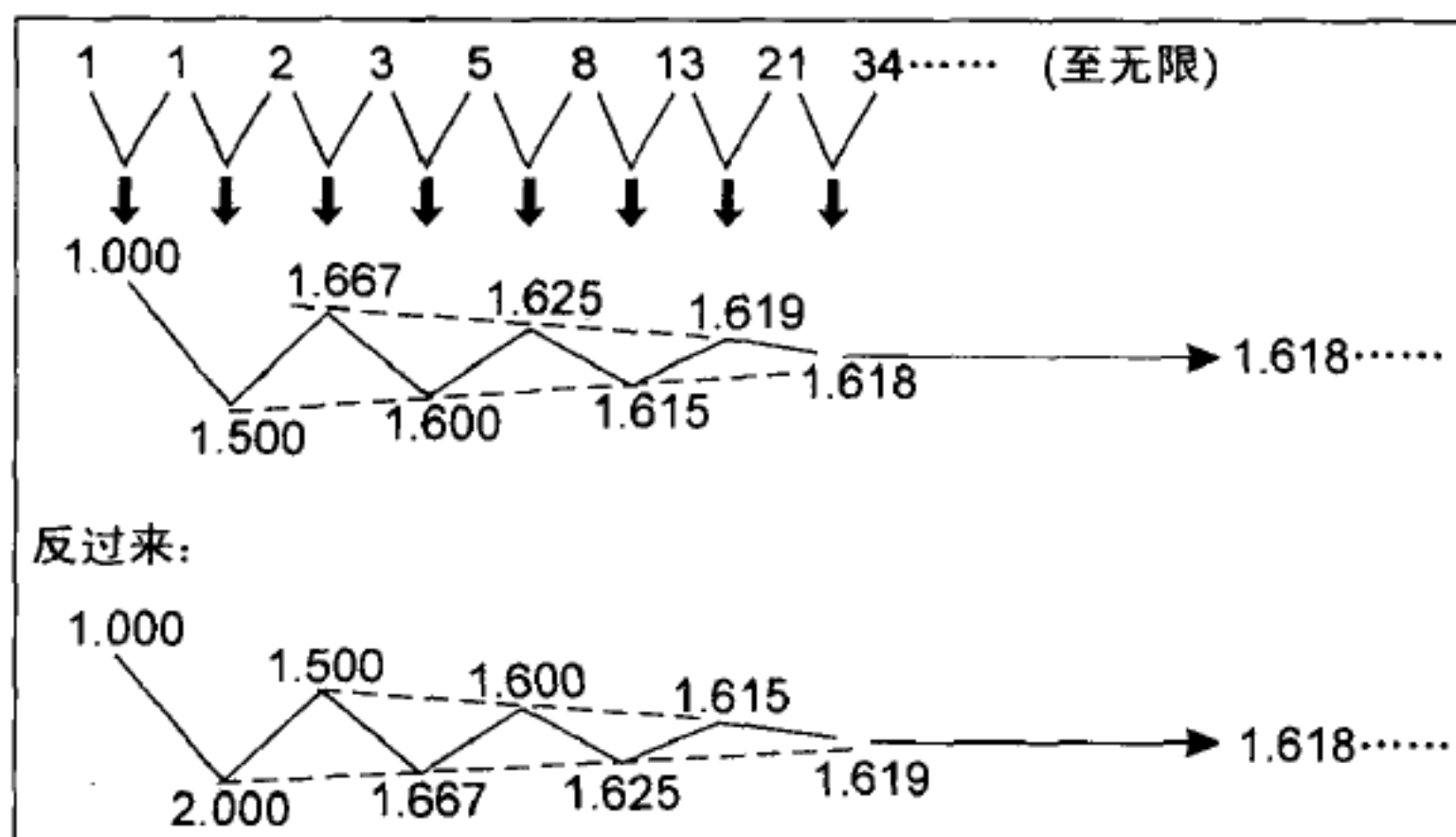


图 3-15

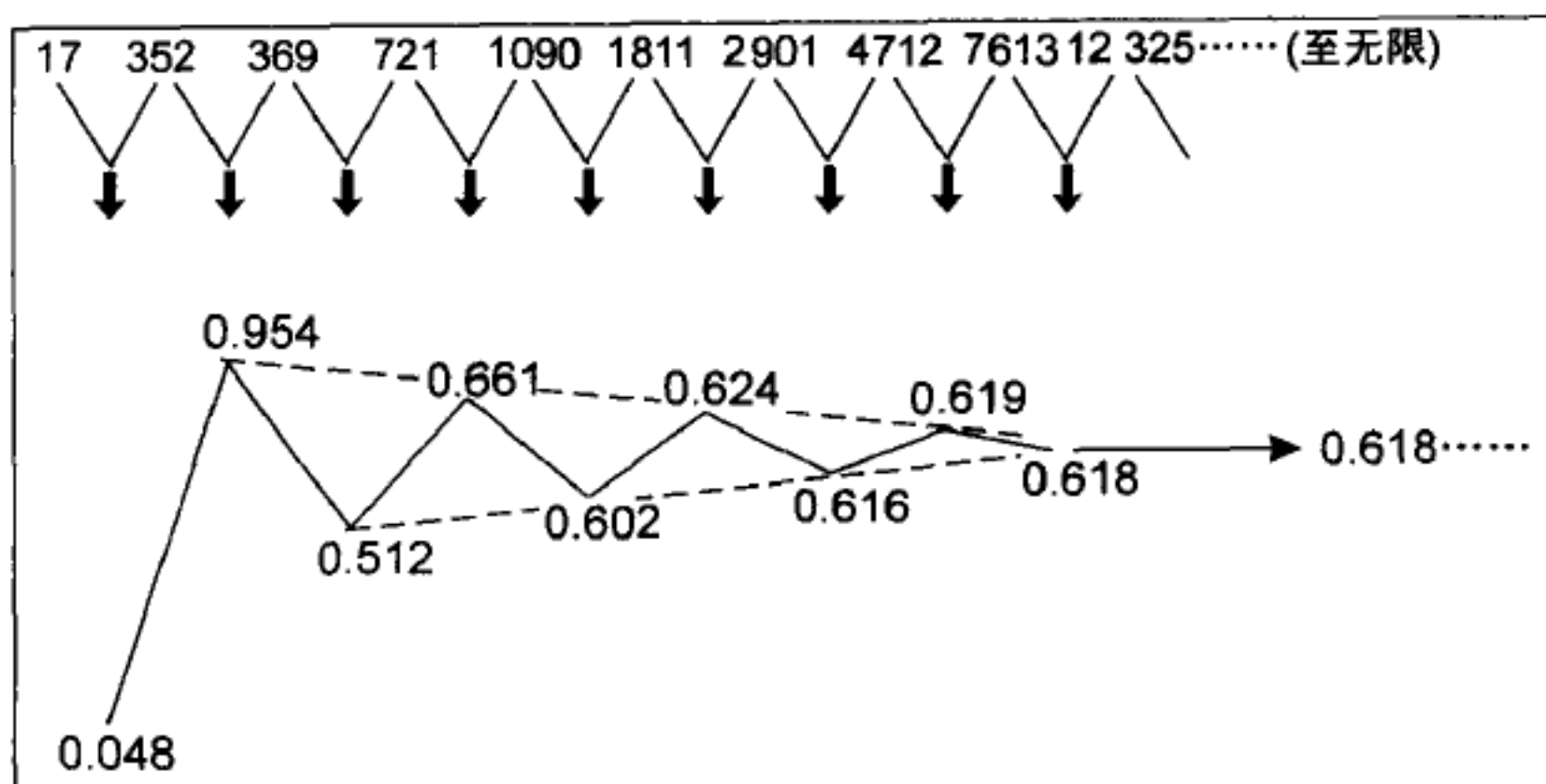


图 3-16

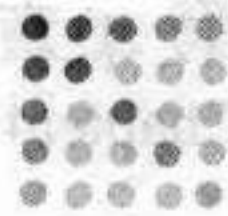
从最广的意义上说，艾略特波浪理论说明了这种观念，即塑造生物和星系外形的相同法则，在人类群体的灵魂和活动中是固有的。因为股票市场是世界上最好的大众心理反射器，所以它的数据产生了对人的社会心理状态和趋势的最佳记录。这种群居人类的生产企业自我估价波动的记录，证明了前进与倒退的各种特定模式。波浪理论说的是，人类的前进（对此股票市场是一种由大众确定的估价）不是沿一条直线发生，也不是随机地发生，更不是循环地发生。倒不如说，前进以“三步前进，两步倒退”的方式发生，这是一种自然界青睐的形态。更广义地说，因为群居人类的活动与斐波纳契数列和前进的螺线模式相关联，所以它对宇宙中有序生长的普遍法则显然也不例外。在我们看来，波浪理论与其他自然现象的大量相似之处，仅仅因为太多的无知而被忽略了。就概率的平衡而言，我们已经得出结论，有一种无处不在的原理决定着各种社会事务的形态，而且当爱因斯坦（Einstein）[⊖]说“上帝不和宇宙玩掷色子的游戏”时知道自己是在谈什么。股票市场也不例外，因为群体行为无可否认地与某种可以被研究和定义的法则有关。表达这个原

⊖ 1879—1955，伟大的物理学家。爱因斯坦晚年一直致力于统一场理论（unified field theory），试图解释所有的物理相互作用，但没有完全成功。他的同事认为，这种努力是误入歧途。1915~1930年的物理学主流是建立了一种物质基本性质的新概念，即量子理论（quantum theory）。这个理论摒弃了严格的因果关系的观点。然而爱因斯坦不接受这种看法，并成了量子理论的批评家直至去世，因为他相信“上帝不和宇宙玩掷色子的游戏”。——译者注

理的最简要途径是一个简单数学陈述：比率1.618。

诗人马克斯·埃哈曼 (Max Ehrmann)^① 写的《迫切需要的东西》(*Desiderata*) 说，“你是宇宙的子民，就像树木和星星；你有权来到此。无论对你来说是否清楚，宇宙无疑以它必需的方式展开。”生活中的秩序？是的。股票市场中的秩序？显而易见。

① 1872—1945，美国诗人。马克斯·埃哈曼一生中曾写过20多本书和小册子，以及许多短文和诗歌。于1927年发表的散文诗《迫切需要的东西》是他的代表作。——译者注



第二部分

Part 2

应用艾略特理论



第4章 Chapter4

比率分析与斐波纳契时间序列

✓ 比率分析

比率分析是评定一个浪与另一个浪在时间和幅度上的比例关系。在了解黄金比率在股票市场循环的五浪上升和三浪下降运动中的作用时，谁都会预见在任何牛市阶段结束时，随后的调整浪的时间和幅度是先前上升行情的 $3/5$ 。这种简单情况很少见。然而，与黄金分割暗示的关系相符合的市场基本趋势总是存在，而且有助于对每一浪产生正确的外表。

对股票市场中的波浪幅度关系的研究常常可以导致令人瞠目结舌的发现，因此某些艾略特波浪理论的实践者几乎对它的重要性着了魔。尽管斐波纳契时间比率极为少见，但多年绘制平均指数的经验使作者确信，基本上每一浪的幅度（用算术测量或就百分比而言）都按斐波纳契数字间的某个比率与相邻波浪、替代波浪和（或）分量波浪的幅度相联系。然而，我们必须努力举证，并让它按自己的长处说明问题。

在所有合适的来源中，第一个反映股票市场中的时间比率和幅度比率的数据，出自伟大的道氏理论家罗伯特·雷亚的著作。1934年，雷亚在他的《平均指数史话》中收集整理了1896~1932年的36年中的，覆盖了9个道氏理论牛市和熊市的合并市场数据。尽管这些数据马上会毫无用处，但雷亚感觉仍有必要出示它们，对于这样做的原因他说：

无论（这种对平均指数的回顾）是否已经对整个金融史做出了贡献，我确信介绍的这些统计资料将为其他研究人员节约许多个月的时间……所以，与其只记录看上去有用的那部分资料，还不如记录我们已经收集到的全部资料……作为预测未来可能运动方向的一种因素，在这个标题下的数值很可能毫无价值；然而，作为对平均指数总体研究的一部分，这种处理值得考虑。

观察之一是：

上面介绍的排列中的各种关系（仅考虑工业股平均指数）表明，回顾期间的9个牛市和熊市持续了13 115个日历日（Calendar Day）。牛市上涨了8143天，其余的4972天处于熊市之中。这些数字之间的关系说明熊市的持续时间是牛市的61.1%。

而且最后，

栏1显示了每个牛市（或熊市）的所有主要运动的总和。很明显，这样一个数值比任何牛市的最高点和最低点之间的净差异要大得多。例如，在第2章中讨论的牛市（对于工业股平均指数来说）从29.64点启动并在76.04点结束，因此差距或称净上涨是46.40点。现在这轮上升行情被分成了4个主要的摆动，分别是14.44点、17.33点、18.97点和24.48点。这些涨幅之和是75.22点，这是在栏1中显示的数值。如果把净上涨46.40点除以分段涨幅之和75.22点，那么结果是1.621，这给出了栏1中出现的那个百分比。假定两个交易者在他们的市场操作中万无一失，而且一个交易者在牛市的最低点建仓，并一路持有至牛市的最高点才抛出，指明他的获利是100%。现在假定另一个交易者，在底部买入，并在每个主要摆动的最高点卖出，然后在每个次级反作用的底

部再次买入同样的股票，那么相比第一个交易者实现的100%的利润，他的利润将是162.1%。因此，次级反作用的总和回撤了净上涨的62.1%。

所以，在1936年，罗伯特·雷亚在不知道斐波纳契比率时发现了这个比率，及其在时间和幅度上对牛市阶段和熊市阶段之间的联系作用。幸运的是，他感觉在出示的数据中存在一种没有即刻实际效用的价值，但是这种价值可能在未来某个时候有用。相似地，我们感觉在比率面前有许多东西要学，而且我们的仅仅触及皮毛的介绍，可能会指引某个未来的分析师回答我们甚至没想到要问的问题。

比率分析已经揭示了一些经常在波浪中出现的精确价格关系。有两类比率关系：回撤（retracement）和倍数（multiple）。

回撤

通常，一个调整浪回撤掉了先前波浪的一个斐波纳契百分比。如图4-1所示，陡直的调整浪经常回撤掉先前波浪的61.8%或50%，这尤其是当它们作为推动浪中的浪2、更大的锯齿形调整浪中的浪B，或多重锯齿形调整浪中的浪X出现的时候。横向调整浪经常回撤掉先前推动浪的38.2%，这尤其是当它们作为浪4出现的时候，如图4-2所示。

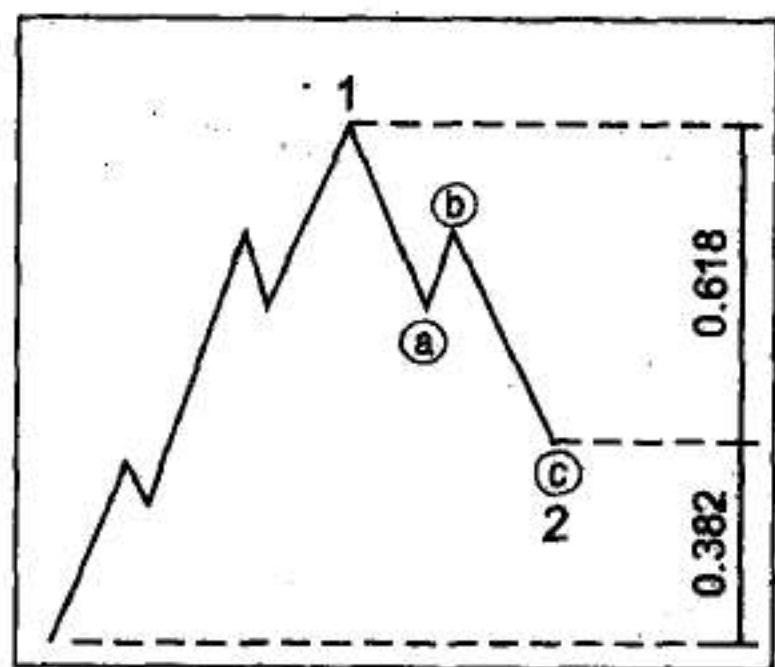


图 4-1

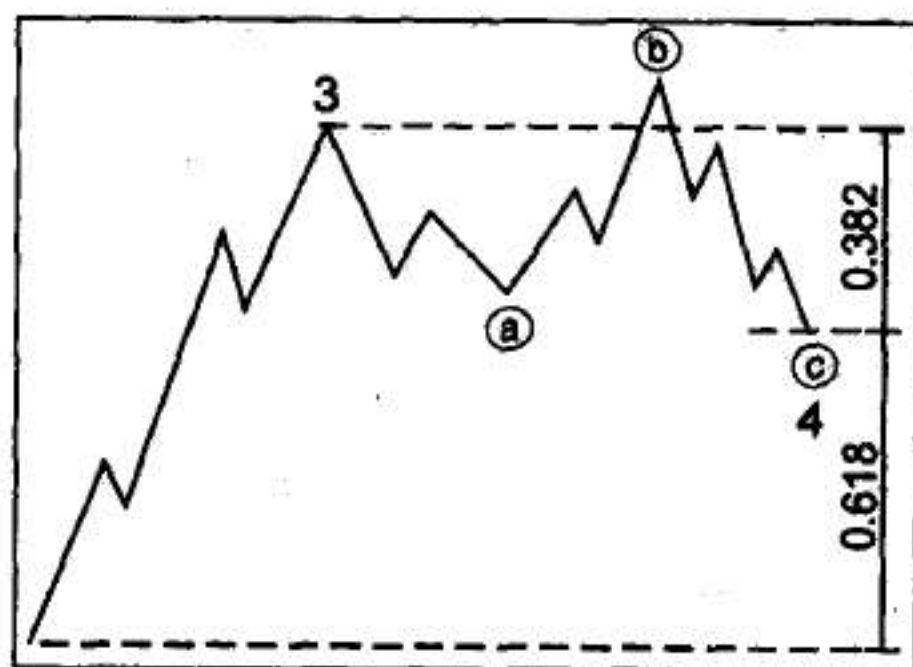


图 4-2

回撤以各种规模到达。在图4-1和图4-2中介绍的比率仅仅是各种倾向。不幸的是，那就是大多数分析人士过度关注的地方，因为测量回撤容易。然而，更精确也更可靠的是交替浪之间或同向展开的长度之间的关系，就像在下一节中解释的那样。

驱动浪的倍数

第2章曾提到，当浪3延长时，浪1和浪5就趋向等长，或成0.618的比率关系，如图4-3所示。实际上，无论是呈等长、1.618还是2.618倍（它们的倒数是0.618和0.382），所有三个驱动浪都按斐波纳契数学相关。这些推动浪的关系通常以百分比出现。例如，1932~1937年的浪I上涨了371.6%，而1942~1966年的浪III上涨了971.7%，或称浪I的2.618倍。要揭示这些关系，要求使用半对数刻度。当然，在级数较小的波浪中，算术刻度和百分比刻度实际上产生了同样的结果，因此每个推动浪中的点数揭示了同样的倍数。

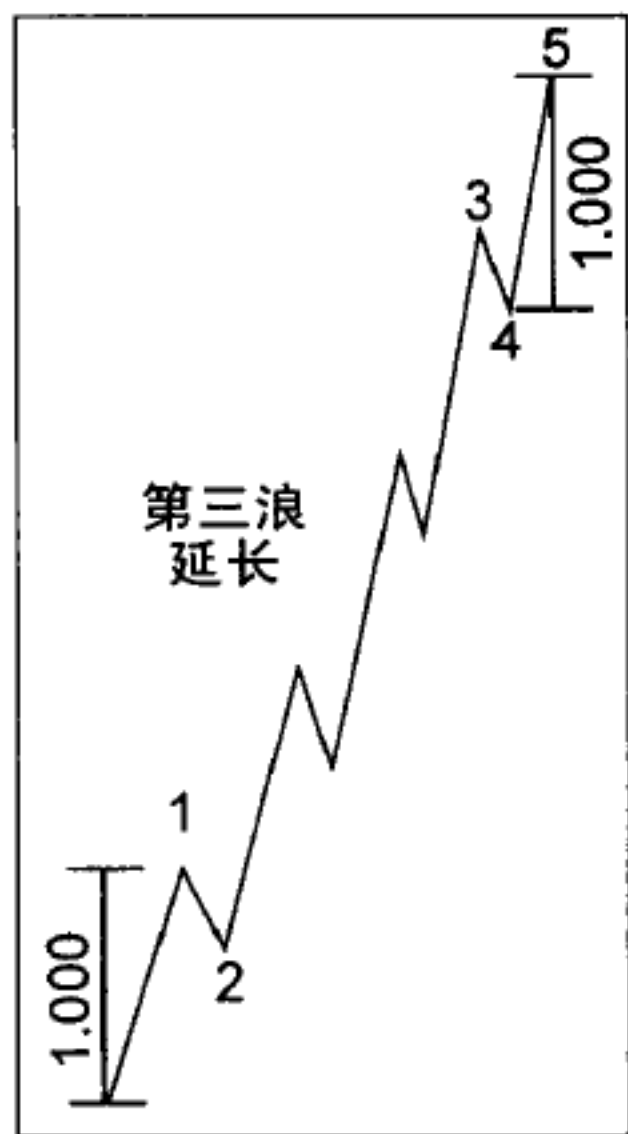


图 4-3

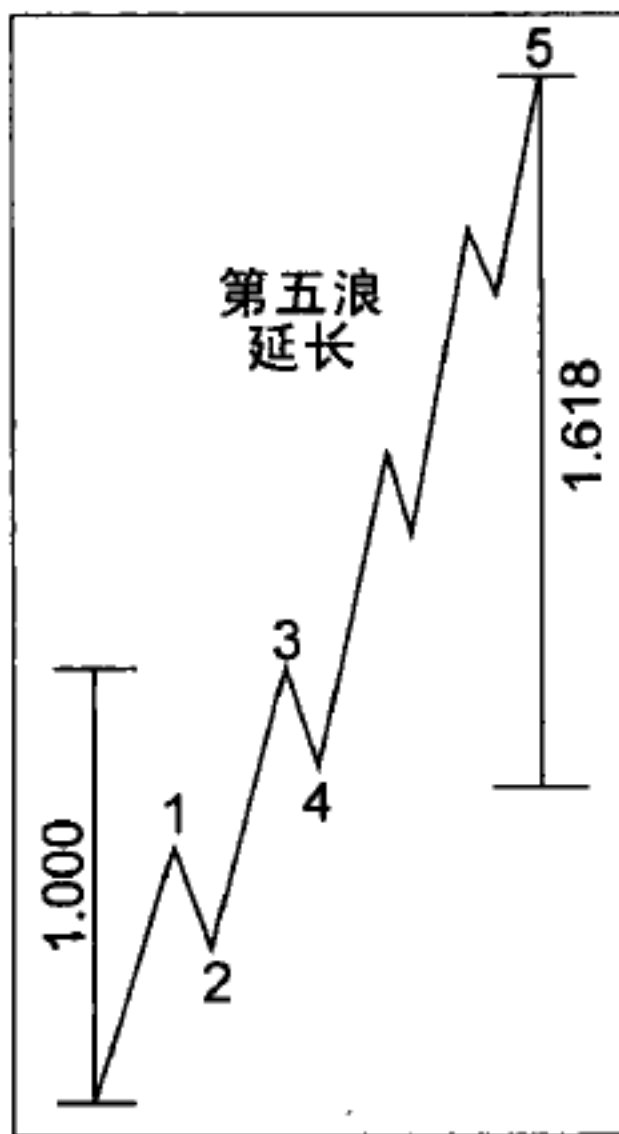


图 4-4

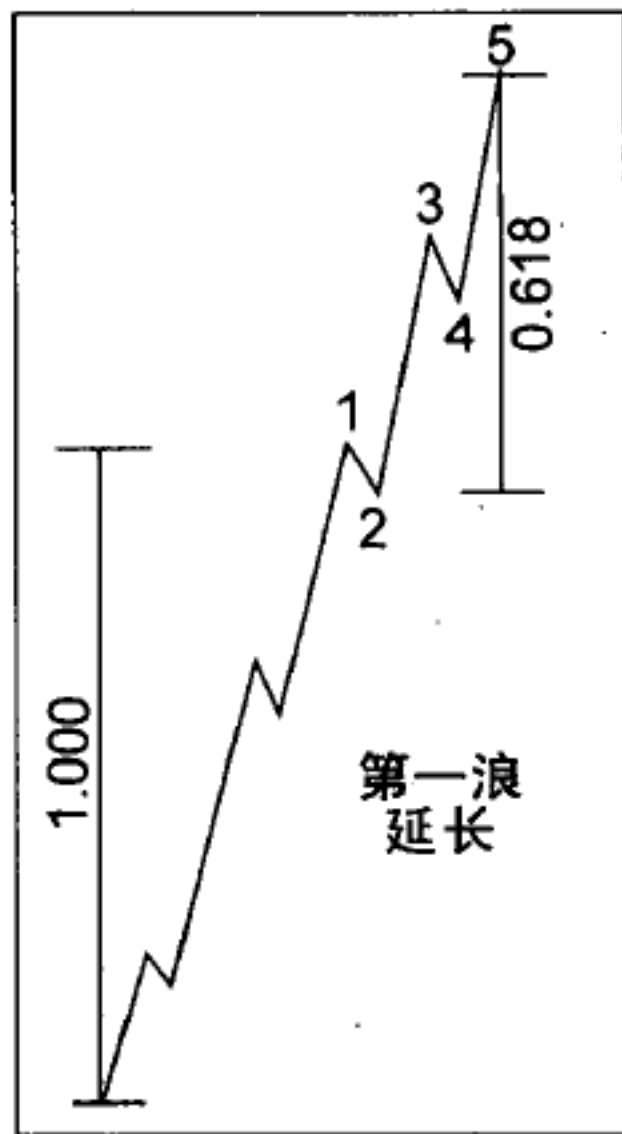


图 4-5

另一种典型的发展是，有时浪5的长度与浪1~浪3的长度呈斐波纳契

比率关系，如图4-4所示，它显示了一个延长的第五浪。0.382和0.618的比率关系在浪5不延长时出现。合乎逻辑地，在浪1是延长浪这样的罕见情形中，浪2常常将整个推动浪黄金分割，如图4-5所示。

这里有一个总结，归纳了一些我们已经做出的观察：除非浪1延长，否则浪4常常把一个推动浪的价格变动范围黄金分割。在这种情况下，当浪5没有延长时，那么后面的部分就会是整个距离的0.382倍，如图4-6所示，而当浪5延长时是0.618倍，如图4-7所示。实际的例子在图6-8和图6-9中显示。这个指导方针有些不严密，因为影响细分浪的浪4中的确切分割点不断变化。它可以是浪4的起点、终点或极限逆势点。因此，根据各种情况，它给浪5的终点提供了两三个紧密成群的目标位。这个指导方针解释了为什么第五浪后的回撤目标常常在先前第四浪的终点以及0.382的回撤点双重指明。

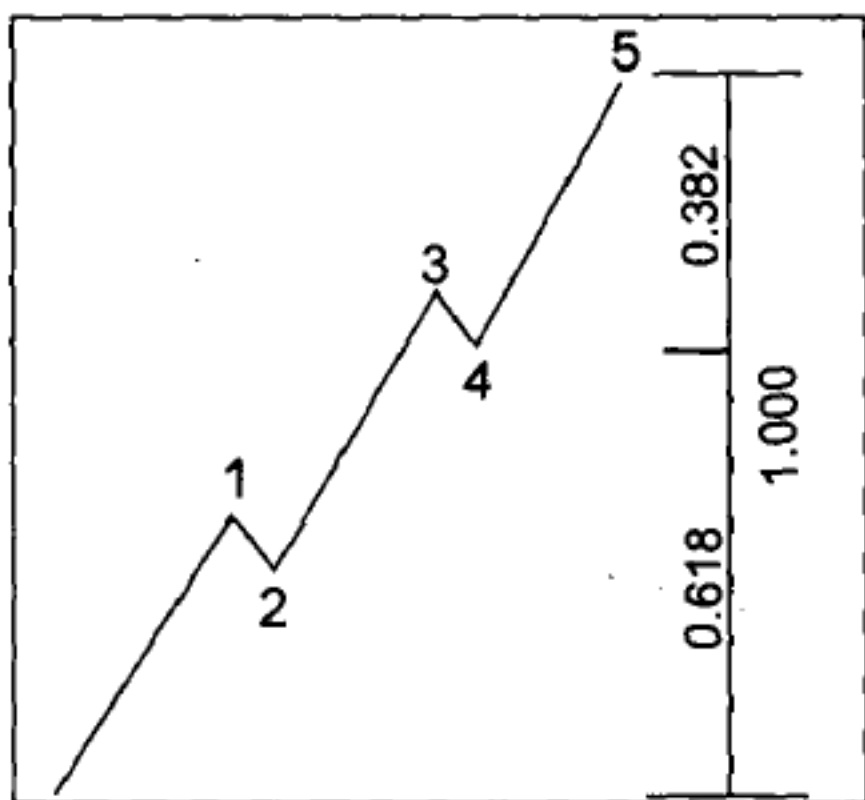


图 4-6

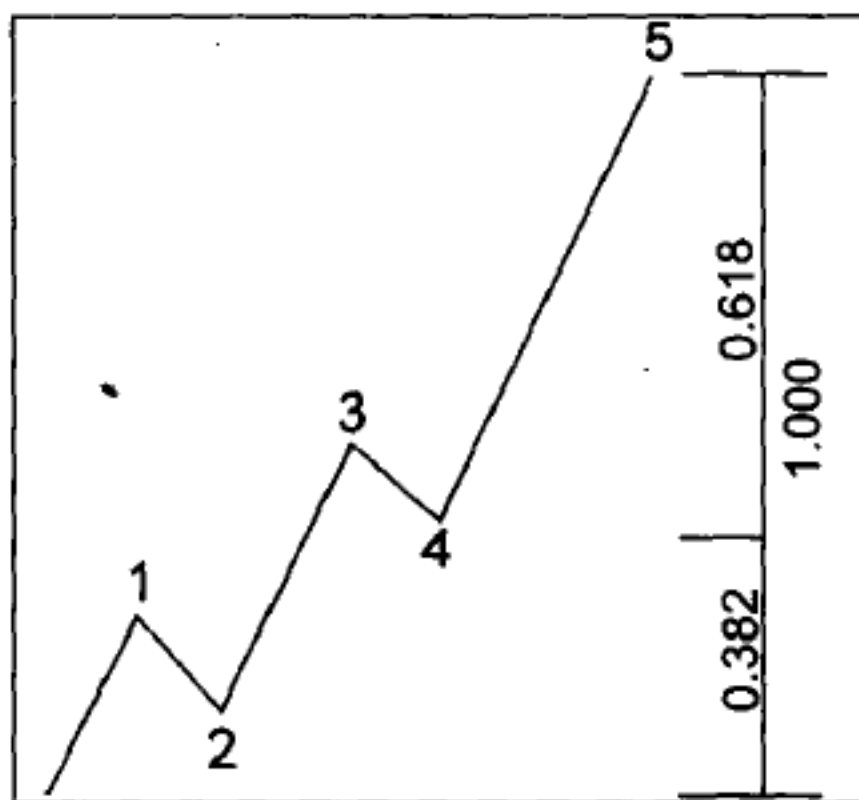


图 4-7

调整浪的倍数

在锯齿形调整浪中，浪C的长度通常与浪A的长度相等，如图4-8所示，尽管浪C的长度是浪A的1.618或0.618倍也不少见。同样的比率关系应用在了双重锯齿形调整模式中的第二个锯齿形调整浪与第一个之间的关系，如图4-9所示。

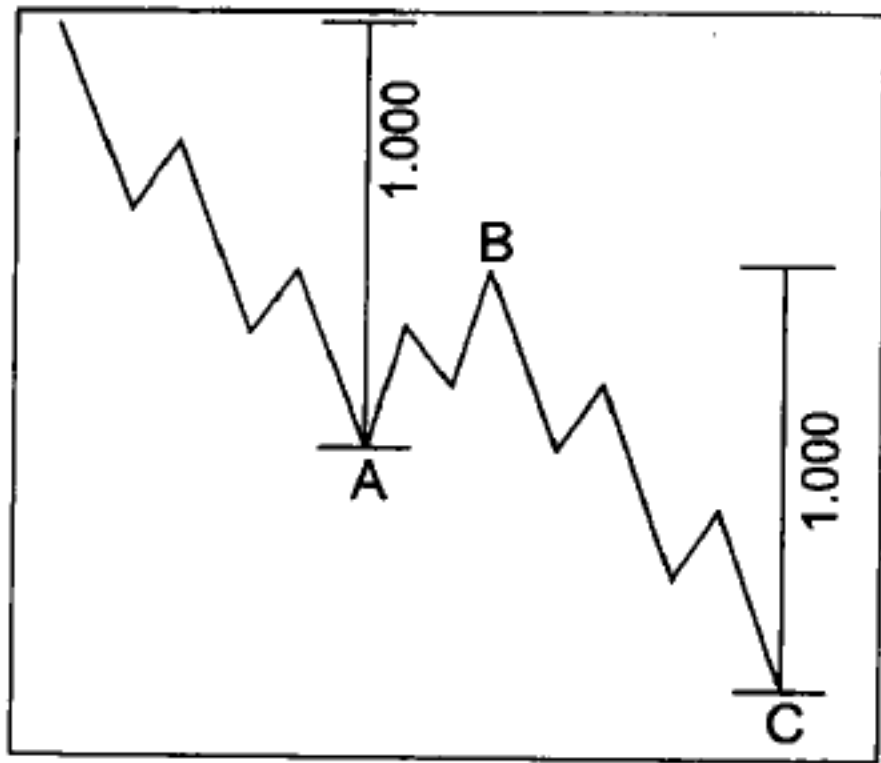


图 4-8

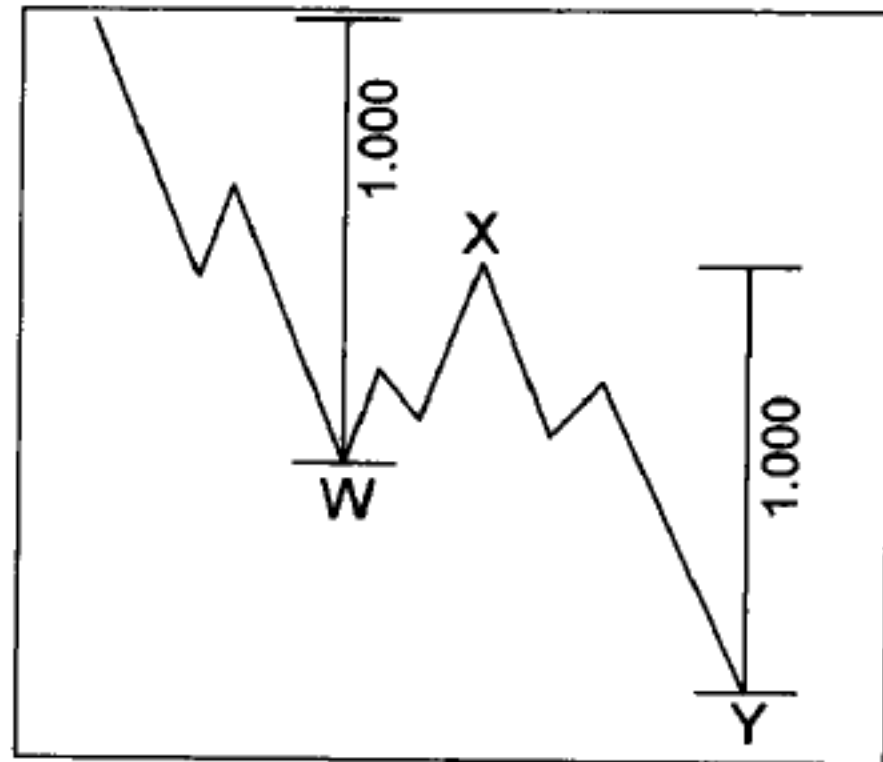


图 4-9

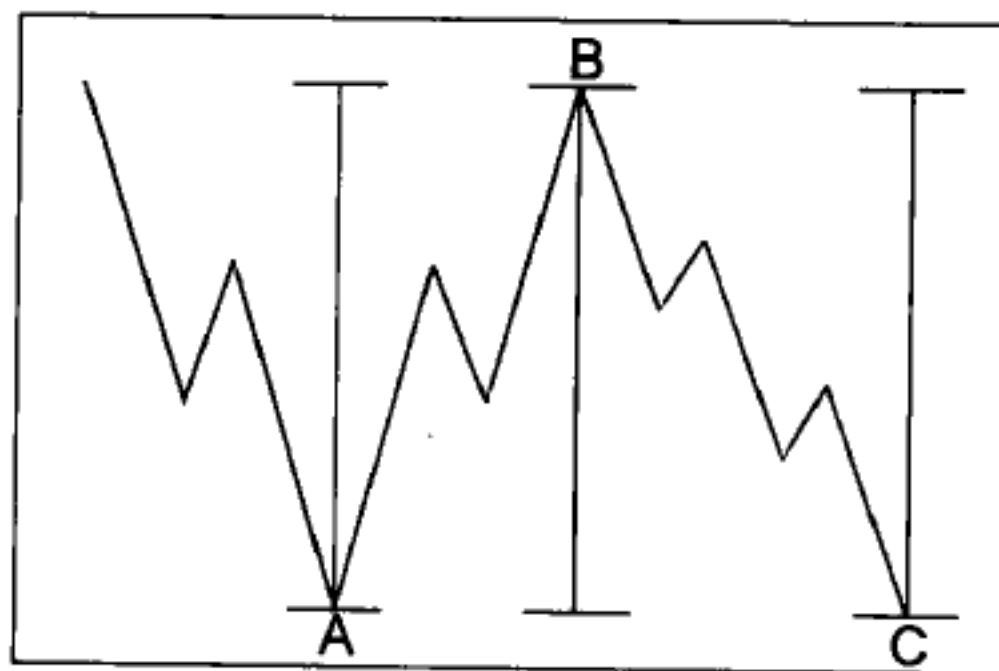


图 4-10

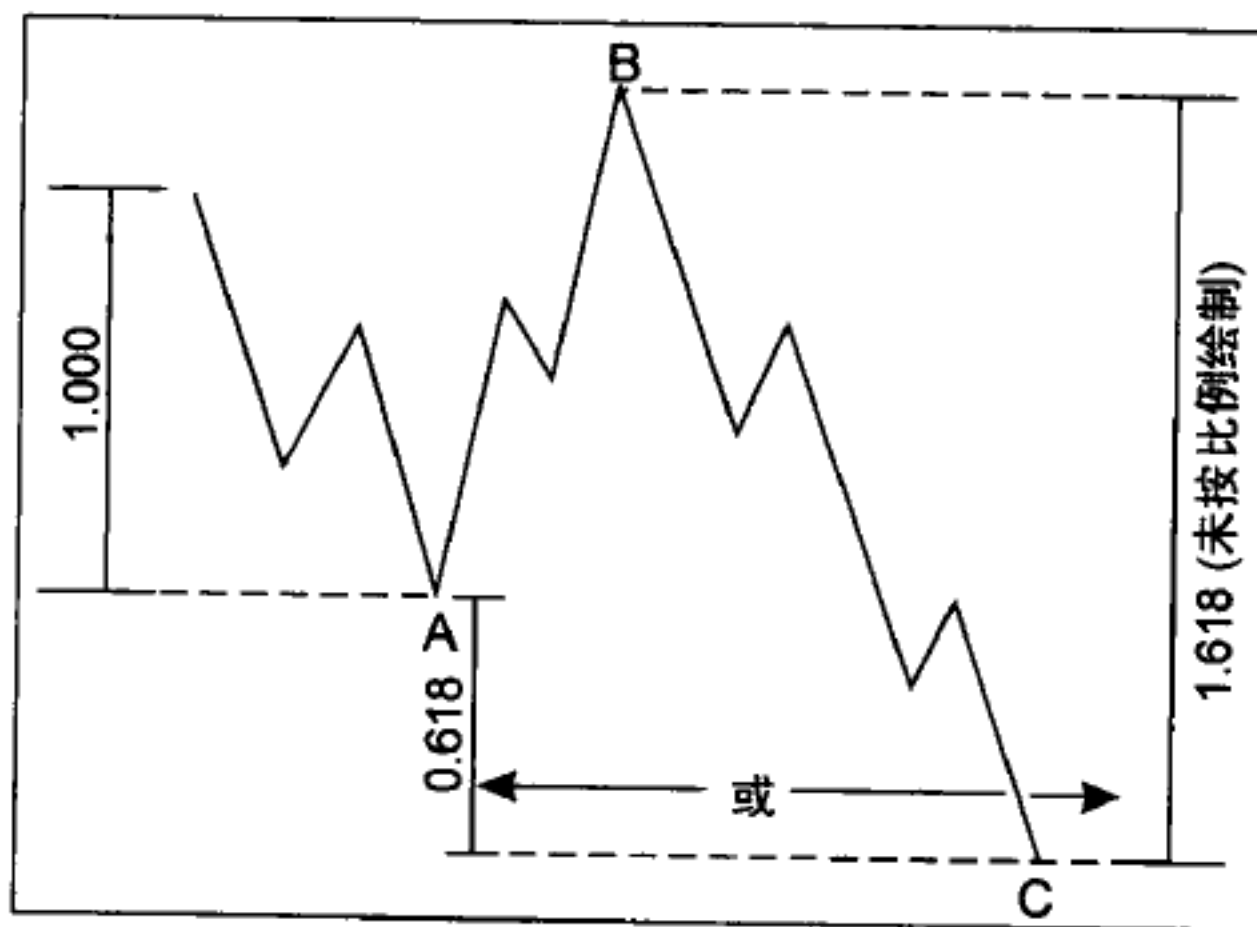


图 4-11

在规则平台形调整浪中，浪A、B和C当然几乎等长，如图4-10所示。在扩散平台形调整浪中，浪C的长度通常是浪A的1.618倍。有时，浪C会

在超出浪A终点0.618倍的浪A长度处结束。图4-11说明了上述这些倾向。在少数情形中，浪C是浪A长度的2.618倍。扩散平台形调整浪中的浪B有时是浪A长度的1.236或1.382倍。

在三角形调整浪中，我们发现至少有两个交替浪按0.618的比率相互联系。也就是，在收缩三角形、上升三角形或下降三角形调整浪中，浪E=0.618C，浪C=0.618A，或浪D=0.618B，如图4-12所示。在扩散三角形调整浪中，这个倍数是1.618。在极少数情形中，毗连波浪按这些比率相联系。

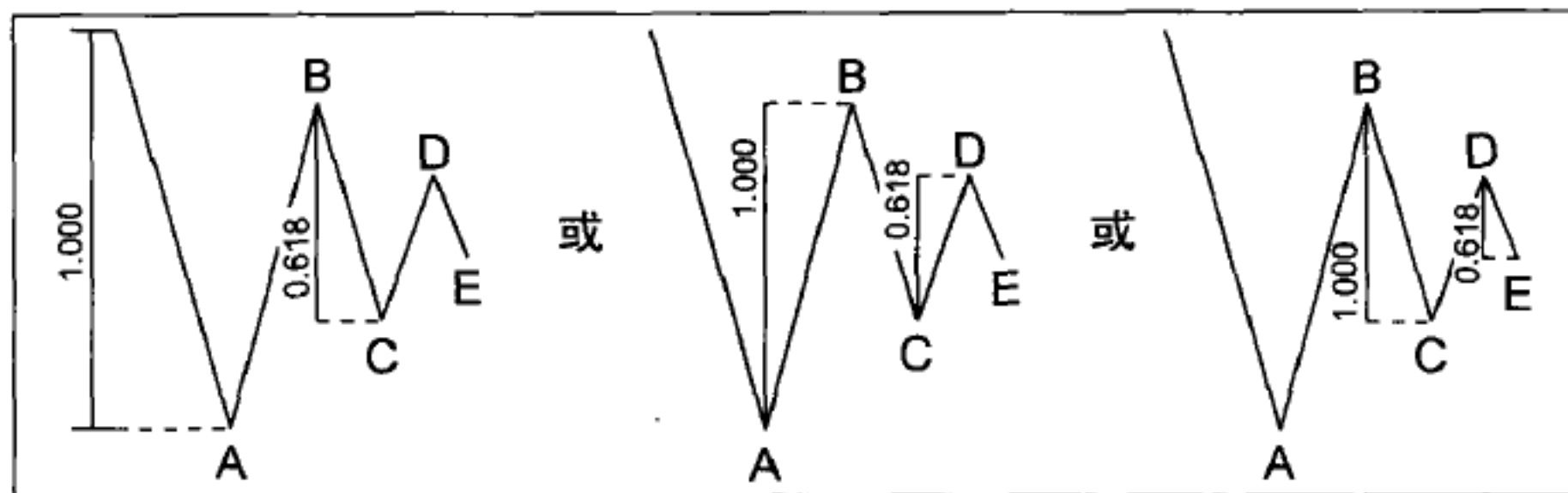


图 4-12

在双重调整浪和三重调整浪中，一个简单模式的净行程有时与另一个的相等，或呈0.618的比率关系——尤其是在这种三浪中的一个三角形调整浪的时候。

最后，浪4跨越的毛价格范围和（或）净价格范围，常常与相应的浪2相等或成斐波纳契关系。就推动浪而言，这些关系通常以百分比出现。

✓ 应用过的比率分析

在雷亚的著作问世几年后，艾略特本人首先实现了比率分析的应用。他注意到，1921~1926年的DJIA点数，包括第一浪至第三浪，是1926~1928年（艾略特认为，1928年才是牛市的正统顶部）的第五浪中的点数的61.8%。恰好，同样的比率关系又出现在了1932~1937年的第五浪上升中（参见图2-11和图2-12）。

在《银行信用分析家》1957年的《艾略特波浪副刊》(Elliott Wave Supplement)中, A. 汉密尔顿·博尔顿根据对典型波浪行为的预期, 给出了这种价格预测:

如果市场沿着正统的趋势线再巩固一年左右, 那么将要积聚的能量在我们看来会提供这种可能性, 也就是大浪V会相当壮观, 这在一个大投机浪中在20世纪60年代初把DJIA带到1000点或更高。

然后, 在记载了艾略特举出的各种例子的《艾略特波浪理论——一份中肯的评价》中, 汉密尔顿·博尔顿说:

如果1949的市场迄今遵循这个公式, 那么1949~1956年的上升行情(DJIA中的361点)应当在1957年的最低点416点加上了583点(361点的161.8%), 或称合计DJIA的999点时结束。作为选择, 416点加上361点会要求DJIA的777点。

后来, 在撰写1964年的《艾略特波浪副刊》时, 博尔顿曾得出结论,

既然我们现在已经远远经过了777点的水平, 那么看起来平均指数的1000点会是我们的下一个目标。

1966年证明这些话是股票市场历史上最精确的预言, 当时2月9日下午3时的小时读数在995.82点(“日内”最高点是1001.11点)记录下了最高点。所以, 在事情发生6年前, 博尔顿正确到在3.18个DJIA点中, 误差不到1%的1/3。

尽管有这个非凡的预言, 但波浪形态分析必须优于比例关系的推断才是博尔顿的观点, 这同我们的一样。事实上, 在应用比率分析时, 谁都

必须理解并应用艾略特的数浪和标示法，以判定首先该从哪一点开始测量，这是实质。基于正统模式终点水平的波浪长度间的比率才是可靠的；那些基于非正统的价格极限的比率通常不可靠。

作者自己都已经使用过比率分析，常常有令人满意的成功。通过在1962年10月的“古巴危机”最低点出现的那个小时抓住了它，并将结论用电报通知身在希腊的汉密尔顿·博尔顿，A. J. 弗罗斯特更加确信他识别市场转点的能力。后来，在1970年的《银行信用分析家》的一份副刊中他断定，前进中的循环调整浪的熊市最低点很可能在1966年的最低点之下1966年下跌行情的距离的0.618倍处出现，即572点。4年以后，1974年12月的DJIA小时读数的确切最低点是572.20点，从此涨到1975~1976年的爆发性上升行情出现了。

比率分析在浪级较小的波浪中也有价值。1976年夏，罗伯特·普莱切特在给美林证券的一份公开报告中识别出，当时正在运行的第四浪是少见的扩散三角形，而且在10月，他用1.618比率确定这个8个月的模式的最大预期最低点应当是道指的922点。5周后，这个最低点出现在11月11日11时的920.63点，这发动了年终的第五浪上升行情。

1977年10月，普莱切特先生提前5个月计算出，1978年的重要底部很可能在“744点或稍低”的位置。1978年3月1日11时，道指正好在740.30点记录下了它的最低点。在底部形成两周后发表的一份后续报告再次确认了740点位置的重要性，报告说：

……就道指而言，740点的区域使1977~1978年的调整浪正好是从1974年上涨至1976年的整个牛市长度的0.618倍。数学上，我们可以说 $1022 - (1022 - 572) \times 0.618 = 744$ （或用12月31日的正统最高点， $1005 - (1005 - 572) \times 0.618 = 737$ ）。第二，740点的区域使1977~1978年的调整浪，正好是先前1975年7~10月的调整浪长度的2.618倍，因此1005 -

最近的最低点的波浪结构。即使在这样早的时候，740.30点看起来也是循环浪V中的大浪②的坚固最低点。

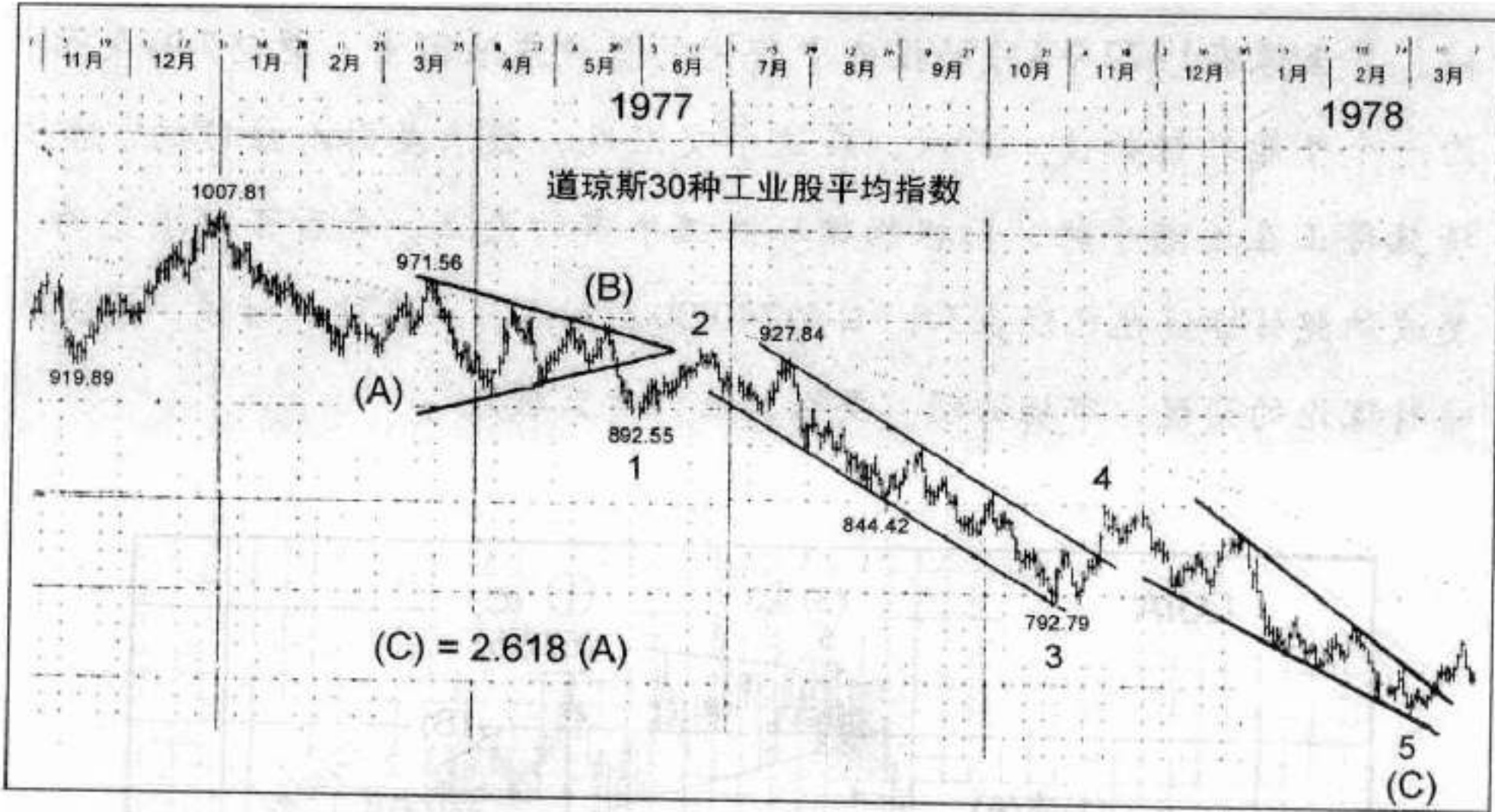


图 4-14

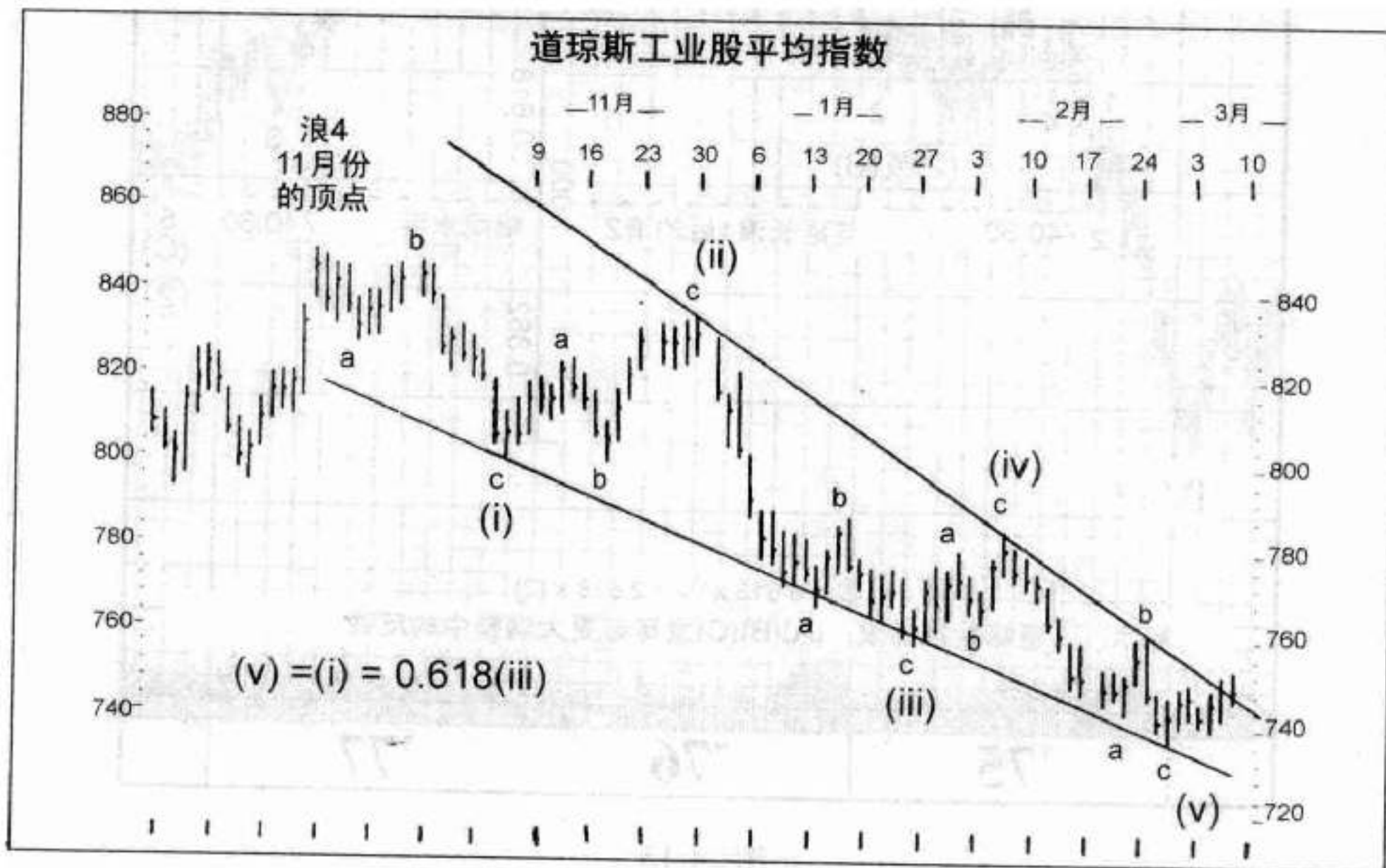


图 4-15

740点的水平以往还有几次证明很重要，这很可能是因为在1974年的最低点572.20点正好比1966年的顶点995.82点低423.60点的时候，740.30

点大约在1976年的正统顶部的1004.65点的水平之下261.80点。这两个距离都是斐波纳契比率的表示。普莱切特先生进一步对740点的水平进行了下面的讨论：

740点的水平过去已经证明了某种重要性，这当然不是巧合。1961年，日内的道指伴随着历史上最高的P/E比在741.30点见顶；1966年，735.74点的日内最低点，标志着到达循环浪IV熊市中的量度低点的第一次下滑的终点（该点是整个循环浪IV下跌行情的61.8%）；1963、1970、1974年以及1975年，在每个方向上对740点的突破都伴随着大幅振荡；1978年，740点的水平与长期趋势线的支撑相符合。再者，波浪理论认为，任何市场调整的极限是先前较小浪级第四浪的底部。然而，当一个五浪序列中的第一浪延长时，随后的调整极限常常是这个五浪序列中的第二浪的底部。考虑这个指导方针，最近3月份首次在740.30点的最低点，是一个市场止跌的重要水平。检查《华尔街日报》刊登的小时读数揭示出，1975年3月25日DJIA在740.30点触底，以完成第二浪的回档。（见图4-13上的注释。）

除了更加传统的艾略特预测方法以外，普莱切特先生已经开始研究就时间和价格两者而言的数学波浪因素，目前已经发现驱动浪是整数倍数，而调整浪是斐波纳契比率倍数。这种方法最近曾在为美林证券做的几份报告中讨论过。

无疑对某些人来说，我们像是在背后表扬自己，我们的确在这么做。然而，诚实地说，我们希望我们个人用艾略特理论已经取得的成功记录，可以激发他人努力用这个方法取得相似的成绩。据我们所知，只有波浪理论才能用来以这样的精度进行预测。当然，我们也经历过失败，但尽管如此，我们认为艾略特波浪分析方法的缺点在过去基本是被夸大了，

而且即使对市场的期望不能满足，波浪理论也能有足够的时间警告分析人士绘制下一个可能的走向，并通过让市场本身指导他的行动方向来避免损失。

我们已经发现，预定价格目标十分有用，因为如果反转在那个水平出现，而且数浪是可以接受的，那么就得到了一个有双重意义的点。如果市场对这样一个水平不屑一顾或跳空而过，那么就是在提醒你期待实现下一个计算出的位置。因为下一个水平通常较远，所以这可能是极有价值的信息。而且，各种目标是基于最令人满意的数浪。因此，如果这些目标没有达到或被大幅超出，那么在许多情况下你就得被迫以适时的方法重新考虑你首选的数浪，并研究什么会迅速成为一种更吸引人的研判。这个方法有助于你对危险的意外保持一步领先。记住所有合理的波浪研判，以便你能对关于哪一种研判能更有效地运用比率分析获得额外的线索，这是个好主意。

波浪的倍数关系

记住，趋势的所有浪级总是同时市场中运作。因此，在任何给定的时刻，市场将充满各种斐波纳契比率关系，所有这些关系按正在展开的各种浪级出现。由此得出结论，未来创造几个斐波纳契关系的水平，比只创造了一个斐波纳契关系的水平，更有可能产生转折。

例如，如果大浪②对大浪①产生的0.618回撤给出了一个特定的目标，而在这之中，不规则调整浪中的中浪(A)的1.618倍为中浪(C)给出了相同目标，而且在这之中，小浪1的1.00倍再次为小浪5给出了相同目标，那么你就有了充分的理由期待在计算出的价格水平出现转折。图4-16解释了这个例子。

图4-17是理想艾略特波浪的一次虚构的表演，它以平行趋势通道结束。它已经被当做说明比率是如何在整个市场中经常出现的一个例子。其中，以下8个比率关系有效：

浪②	=0.618 × 浪①
浪④	=0.382 × 浪③
浪⑤	=1.618 × 浪①
浪⑤	=0.618 × 浪 0 → ③
浪②	=0.618 × 浪④
在浪②中,	(A)=(B)=(C)
在浪④中,	(A)=(C)
在浪④中,	(B)=0.236 × (A)

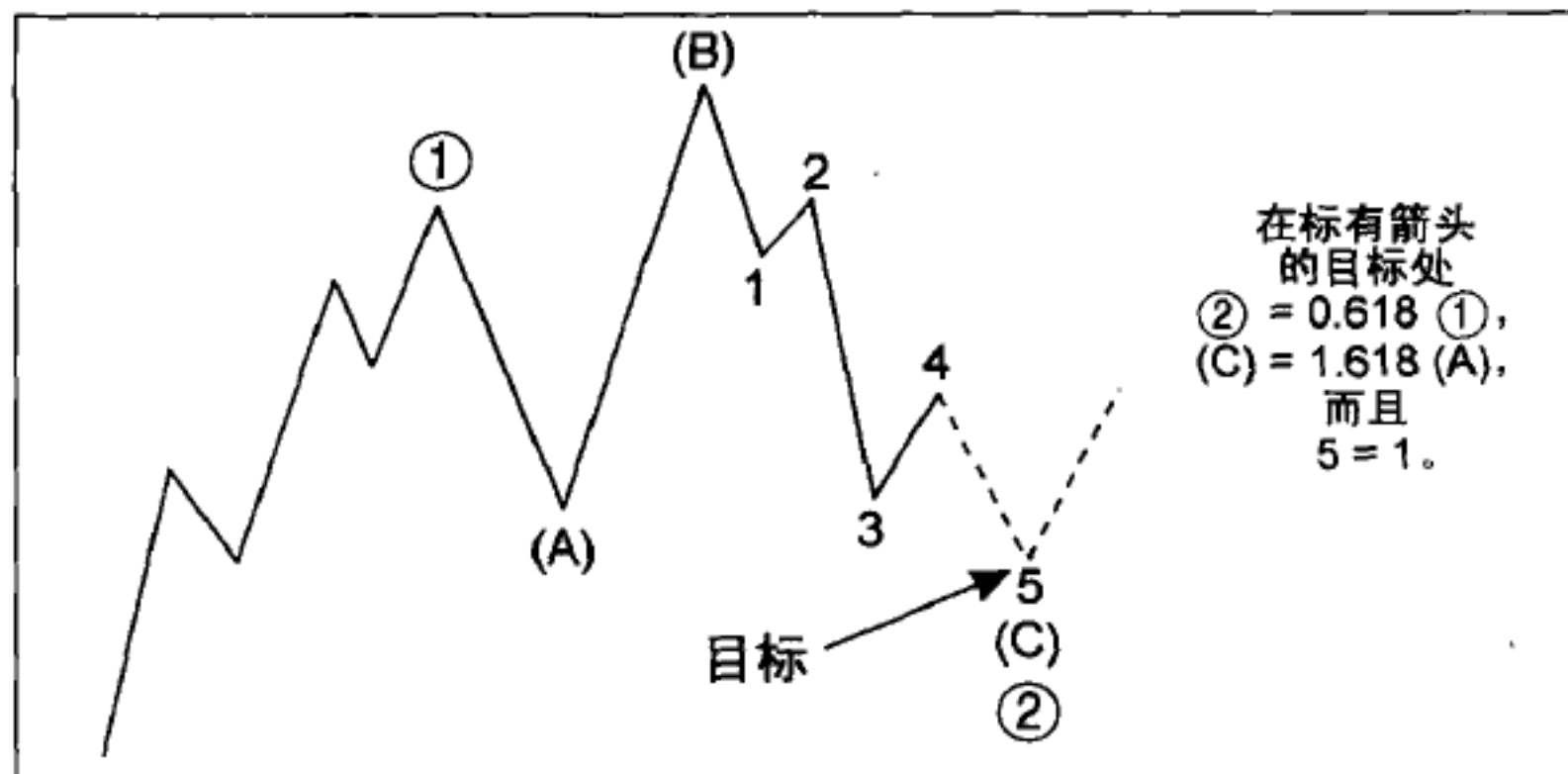


图 4-16

如果一种完整的比率分析方法可以成功地演化成基本原则，那么用艾略特波浪理论进行预测就会变得更加科学。然而，它将永远保持为一种确定概率而不是必然的演练。主宰生命和生长的自然法则尽管永恒不变，但允许特定结果的多样化，而市场也不例外。在这一点上所能说的全部是，比较各个波浪的价格长度常常精确地印证了，斐波纳契比率是决定波浪在何处停止的关键。比率分析令人惊奇，但对我们来说并不惊讶，例如，1974年12月~1975年7月的上升行情仅收复了先前1973~1974年熊市下滑的61.8%，还有1976~1978年的市场下跌正好是先前1974年12月~1976年9月上升行情的61.8%。尽管有0.618比率重要性的连续不断的证据，然而我们的基础研究必须基于形态，而比率分析是支持或质疑我们在各

种运动模式看到的的东西的证据。博尔顿对比率分析的建议是，“保持简洁”。对比率分析的研究还会取得更深的进展，因为它仍处于婴儿期。我们期待那些研究比率分析的人为艾略特理论增光添彩。

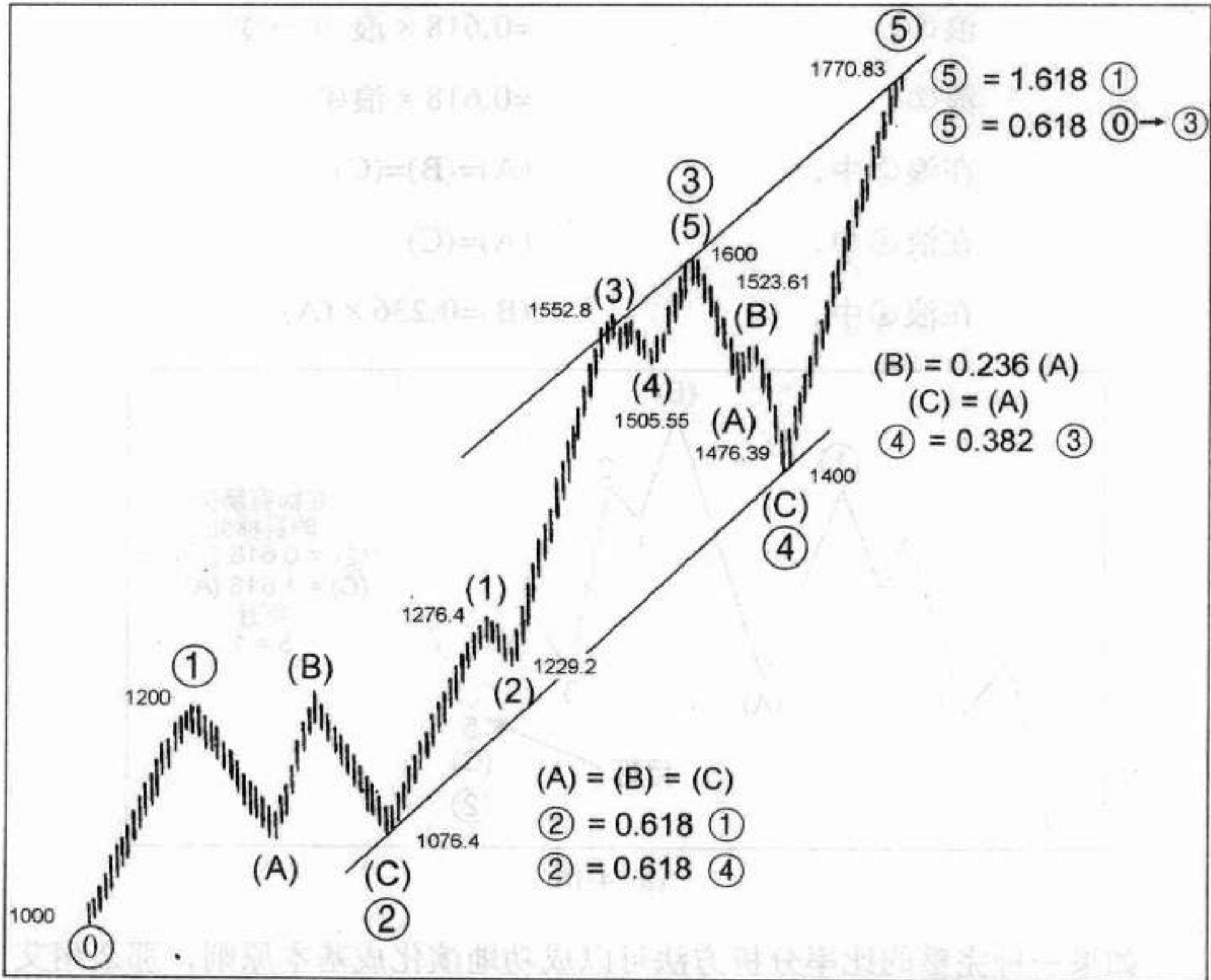


图 4-17

斐波纳契时间序列

没有用时间因素本身进行预测的确定途径。艾略特曾说，时间因素常常“与模式相适应”，例如与趋势通道相适应，而且它的主要意义也正在于此。持续时间和时间关系本身常常反映了各种斐波纳契测量结果。探索时间单位的斐波纳契数字显得超出了一种数字学中的演练，这以显著的精度适应波浪跨度。通过指出转折的可能时间，斐波纳契时间序列给

了分析人士额外的视角，特别是如果它们与价格目标和数浪一致时。

在《自然法则》中，艾略特给出了以下市场中重要转折点之间的斐波纳契时间跨度的例子：

1921～1929年	8年
1921年7月～1928年11月	89个月
1929年9月～1932年7月	34个月
1932年7月～1933年7月	13个月
1933年7月～1934年7月	13个月
1934年7月～1937年3月	34个月
1932年7月～1937年3月	5年（55个月）
1937年3月～1938年3月	13个月
1937年3月～1942年4月	5年
1929～1942年	13年

在1973年11月21日的《道氏理论通讯》(*Dow Theory Letters*)中，理查德·罗素 (Richard Russell) 给出了另一些斐波纳契时间周期的例子：

1907年恐慌性的最低点～1962年恐慌性的最低点	55年
1949年的大底部～1962年恐慌性的最低点	13年
1921年衰退的最低点～1942年衰退的最低点	21年
1960年1月的头部～1962年10月的底部	34个月

沃尔特 E. 怀特在他对艾略特波浪理论的1968年专论中曾做出结论，“下一个重要的最低点可能在1970年”。作为证明，他指出以下的斐波纳契数列： $1949+21=1970$ 年； $1957+13=1970$ 年； $1962+8=1970$ 年； $1965+5=1970$ 年。当然，1970年5月记录下了30年中最严重的下滑的最低点。从时间来看，这些距离显得不只是巧合。

从上一个超级循环浪的1928年（可能是正统的）和1929年（名义的）

最高点以来的多年市场前进中，也产生了显著的斐波纳契数列：

1929	+	3	=	1932年的熊市底部
1929	+	5	=	1934年的调整底部
1929	+	8	=	1937年的牛市顶部
1929	+	13	=	1942年的熊市底部
1928	+	21	=	1949年的熊市底部
1928	+	34	=	1962年的暴跌底部
1928	+	55	=	1983年可能的超级循环浪顶部

从目前超级循环浪中的第三循环浪的1965年（可能是正统的）和1966年（名义的）最高点开始，一个相似的数列已经开始：

1965	+	1	=	1966年的名义最高点
1965	+	2	=	1967年的反作用浪的最低点
1965	+	3	=	1968年次级公司股票的喷发性顶峰
1965	+	5	=	1970年的暴跌最低点
1966	+	8	=	1974年的熊市底部
1966	+	13	=	1979年的9.2和4.5年循环的最低点
1966	+	21	=	1987年可能的循环浪的最低点

因此，对不久以后的DJIA转折点，我们可以预见一些有趣的可能性。在第8章中，这些可能性将得到深入地讨论。

在将各种斐波纳契时间周期应用到市场模式时，博尔顿注意到时间的“排列组合趋向无限”，而且时间“周期会导致头部至底部，头部至头部，底部至底部或底部至头部”。除了这个保留，他还在1960年出版的同一本

书中成功地指出，基于斐波纳契数列，1962年或1963年可能产生一个重要的反转点。正如我们现在知道的那样，1962年目睹了一场可怕的熊市以及大浪④的最低点，随后是一轮实际上无间断的持续了近四年的上升行情。

除了这种类型的时间序列分析，牛市和熊市之间的时间关系正如罗伯特·雷亚发现的那样，已证明在预测中有效。罗伯特·普莱切特在为美林证券撰写报告时，曾在1978年3月注意到“4月17日标志着A-B-C下跌行情耗时1931个交易日，或在浪(1)、(2)和(3)的上升行情中的3124个交易小时的0.618倍的日子”。星期五，即4月14日记录下了市场从道指死气沉沉的头肩底模式向上突破，而星期一，即4月17日是记录成交量的爆发日，日成交6 350万股（见图1-18）。尽管这个时间预测未能与最低点重合，但它确实记录下了先前熊市的心理压力从市场中释放的确切日子。

贝纳理论

塞缪尔 T. 贝纳 (Samuel T. Benner) 曾是一位铁制品生产商，直到1873年美国内战^①后的大恐慌从财务上使他破产。他转而在俄亥俄州种小麦，并进行价格运动的统计研究作为一种爱好，如可能，要发现生意中的涨涨跌跌的答案。1875年，贝纳曾写过一本书，名为《未来价格涨跌的商业预言》(*Business Prophecies of the Future Ups and Downs in Prices*)。在他的书中包含的预测主要是基于生铁价格的循环，以及金融恐慌的重现。许多年，贝纳的预言曾证明非常准确，而且作为一名统计人员兼预言家，他为自己创造了令人羡慕的记录。甚至今天，贝纳的走势图还能引起循环学者的兴趣，并屡见出版，但有时未给原创者应有的荣誉。

贝纳注意到，商业的最高点往往遵循一种重复的8-9-10年模式。如果

^① 1861~1865年，亦称南北战争。——译者注

我们将这种模式应用在从1902年开始的过去75年的DJIA上，我们得到了以下结果。这些日期并非基于多年前贝纳的预测，而只是8-9-10重复模式在历史记录中的应用。

年	间隔	市场最高点
1902		1902年4月24日
1910	8	1910年1月2日
1919	9	1919年11月3日
1929	10	1929年9月3日
1937	8	1937年3月10日
1946	9	1946年5月29日
1956	10	1956年4月6日
1964	8	1965年2月4日
1973	9	1973年1月11日

至于经济的最低点，贝纳注意到两组时间序列，这些指出衰退（不景气）和大萧条（恐慌）趋向交替（考虑到艾略特的交替归则，并不奇怪）。在解释恐慌时，贝纳曾观察到1819年、1837年、1857年和1873年是恐慌年，并把它们在他原先的“恐慌”图中表示出来，以反映一种重复的16-18-20年模式，这导致了这些重现事件的不规则周期。尽管他把16-18-20年系列应用于衰退或“不景气”，但是次要的股票市场最低点看起来就像主要的恐慌性最低点那样，也遵循同样的16-18-20年模式。因此，通过将16-18-20年系列应用在交替出现的股票市场最低点上，我们达到了相当的精度，就像1967年首次出现在《银行信用分析家》副刊中的贝纳-斐波纳契循环图（图4-18）说明的那样。

注意，与现在的循环配置相同的最后一次循环处于20世纪20年代，这与我们将在第7章中讨论的康德拉蒂耶夫（Kondratieff）图一致，而且它是循环浪级的第五艾略特波浪的最后一次出现。

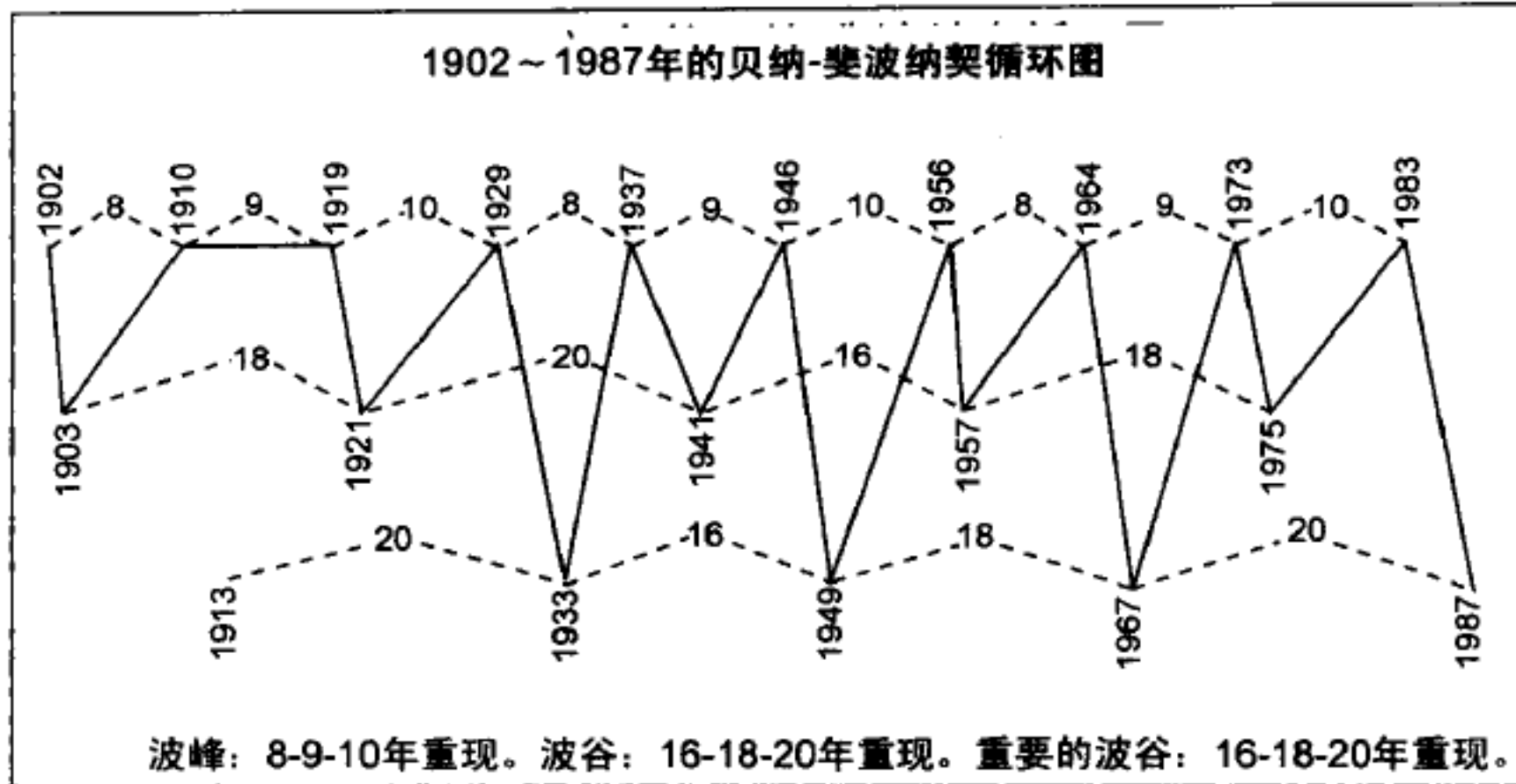


图 4-18

基于贝纳的顶部和底部的重复时间系列的观点，这个公式与20世纪的大部分股票市场转折点一致。这个模式是否总能反映未来的各个最高点是另一个问题。毕竟，这些是固定的循环，而不是艾略特循环。然而，在我们对它与现实相符合的原因的研究中，我们发现贝纳理论与斐波纳契数列极为接近，因为8-9-10的重复系列产生了高至377的斐波纳契数字，而且误差仅有一点，如下所示。

8-9-10系列		经挑选的小计	斐波纳契数字	误差
8	=	8	8	0
+ 9				
+10				
+ 8	=	35	34	+1
+ 9				
+10	=	54	55	-1
...+ 8	=	89	89	0
...+ 8	=	143	144	-1
...+ 9	=	233	233	0
...+10	=	378	377	+1

我们的结论是，基于底部和顶部的不同回转周期而不是固定周期的贝纳理论，落入了斐波纳契数列的框架内。如果我们对这种方法没有经验，

我们本不会提到它，但它已经证明在以往与艾略特波浪前进的知识结合起来使用时很有效。1964年年末，A. J. 弗罗斯特曾运用贝纳的概念做出了（在当时）难以想象的预测，也就是股票市场注定要在下一个10年里基本上横向运动，这在1973年达到大约DJIA1000点的最高点，并在1974年年末或1975年年初在500~600点的区域达到最低点。下面有一封弗罗斯特当时写给汉密尔顿·博尔顿的信。图4-19是信中所附的走势图，有完整的注释。因为这封信是1964年12月10日写的，所以它代表了另一个长期的艾略特预测，结果这个预测不是臆想。

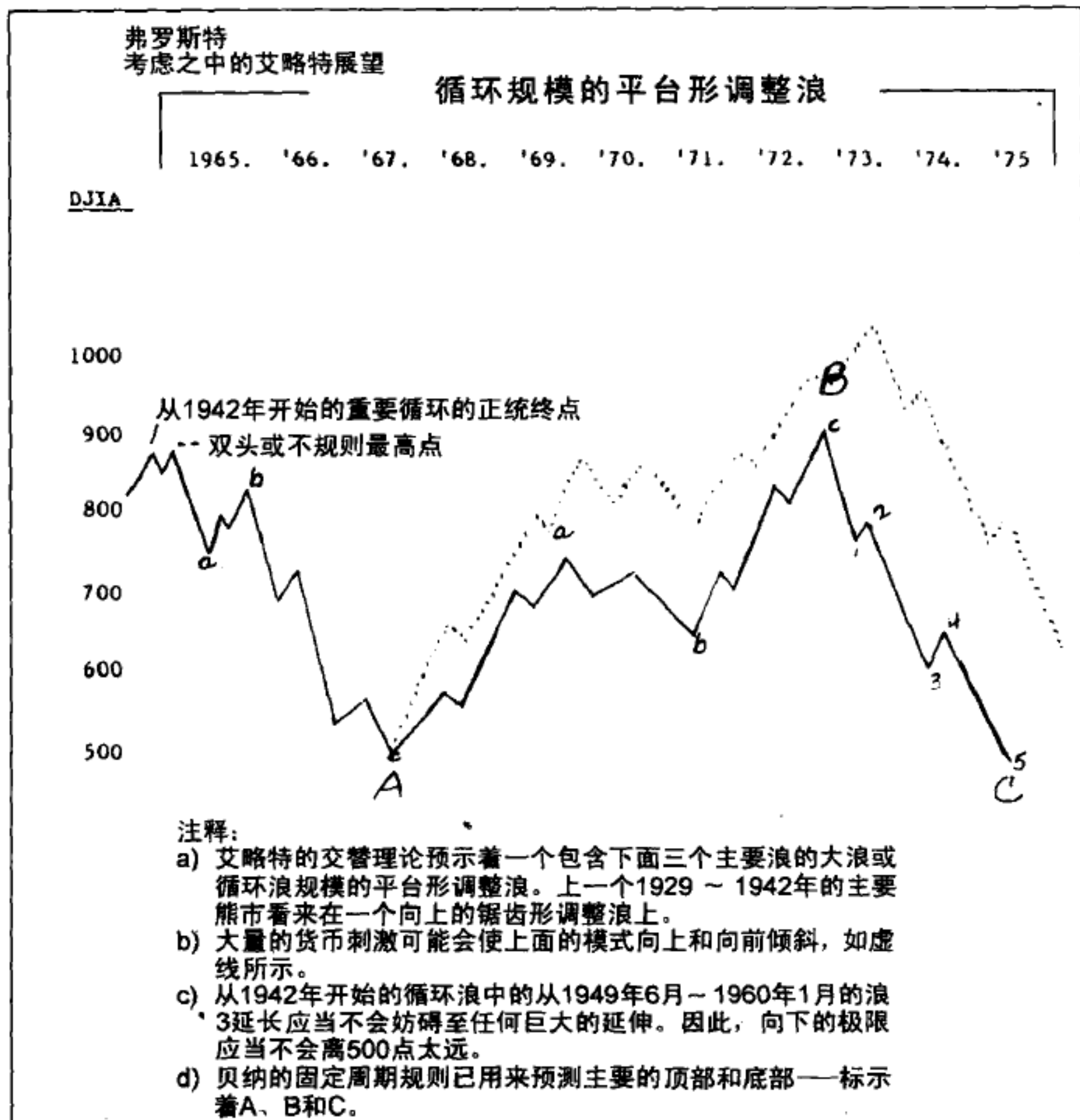


图 4-19

1964年12月10日

A. H. 博尔顿先生

博尔顿-特伦布雷公司

舍布鲁克西街1245号

魁北克省蒙特利尔市25

亲爱的哈米:

既然我们已经在当前的经济膨胀周期中走得太久了,而且渐渐变得易受到投资情绪变化的攻击,那就抛光水晶球并做出有一点难度的估计看起来是慎重的。在评估各种趋势时,除了在气氛变得奥妙莫测时以外,我对你的银行信用法很有信心。我不能忘记1962年。我的感觉是,所有的基本分析方法在很大程度上都是低压下的工具。而另一方面,艾略特的理论尽管很难运用,但确实在高压区有其特殊的优点。因此,我已经将注意力集中在波浪理论,而且我现在看到的东西已经引起了我的关心。作为我对艾略特政府的理解,股票市场已很脆弱,而且自1942年开始的大循环的终点近在眼前。

……我应当表达我对结果的看法,即我们正处在危险的境地,而且一种谨慎的投资策略(如果谁能用庄重之词表达轻浮之为)必将会飞到最近的经纪事务所,并将一切抛入风中。

从1942年开始的长期上升行情中的第三浪,也就是1949年6月~1960年1月,代表了主要循环中的一个延长浪……因此,从1942年开始的整个循环可能已经到达了正统的顶点,而且现在摆在我们前面的很可能是一个双头和一个循环级的长期平台形调整浪。

……应用艾略特的交替理论,下面的三个主要运动应该形成一个持续时间相当长的平台形调整浪。如果真是这样发展,那倒是很有趣。

同时，作为一名只用艾略特思想和贝纳思想的艾略特理论家，我并不介意做一只出头鸟，并做一次十年预测。我不是作为一名有自尊心的分析师，只是作为艾略特的一名学生来做这件事，而那正是这种独特的理论所激发出的东西。

祝好！

A. J. 弗罗斯特

尽管我们已经能像本章的前半部分描述的那样将比率分析完善地汇编成文，但看起来还有许多在股票市场中证明斐波纳契比率的途径。这里介绍的方法仅仅是给未来的分析人士抛砖引玉，并将它们置于正确的轨道。后面几章的各个部分进一步探索了比率分析的运用，并评价了它的复杂性、准确性和实用性。显然，关键就在那里。剩下的一切就是要发现它能打开多少扇门。

第5章 Chapter5

长期浪与最新的合成物

1977年9月,《福布斯》(*Forbes*)杂志发表了一篇关于通货膨胀复杂理论的有趣论文,题为“汉堡包大悖论”(The great hamburger paradox),作者大卫·沃什(David Warsh)在这篇论文中问道,“什么真正进入了汉堡包的价格?为什么价格先爆发一个世纪或更久,然后才平稳?”他引用了英国牛津大学的E. H. 菲利普斯·布朗(E. H. Phelps Brown)和希莉亚 V. 霍普金斯(Sheila V. Hopkins)教授的话:

看来,在一个世纪或更长的时间里,各种价格将遵循一种无所不能的法则:价格一变,一个新的法则立即奏效。在一种管理制度下会把价格推向新高的战争,却无力使价格在另一种管理制度下偏转。然而,是什么因素在一个时代留下这种印记,而且在这样的振动下保持了这么久之后,它们为什么会迅速而完全地让位于其他因素,我们知道吗?

布朗和霍普金斯声称各种价格看上去“遵循一种无所不能的法则”,这正是R. N. 艾略特说过的。这种无所不能的法则是在黄金比率中发现的和谐关系,黄金比率是自然法则的基础,而且还形成了人类肉体、精神和情绪结构的部分组织。正如沃什先生另外准确观察的那样,人类的进步看起来是在突然的振荡中运动,而不是在牛顿物理学的平滑时钟机

构中运动。我们同意沃什先生的结论，但进一步推断这些振动并不仅是一个变形或时代的明显浪级，而是出现在人类前进的对数螺线上的所有浪级，从细浪级和更小的浪级，到甚超级循环浪级和更大的浪级。为了引出对观念的另一种延伸，我们认为这些振动本身是时钟机构的组成部分。一块手表会显得运行平稳，但是它的前进受一个计时器——无论是机械的还是石英晶体的——振荡的控制。人类前进的对数螺线也是以相似的方式受到驱动，尽管与这种振动相联系的不是时间周期，而是重复的形态。

如果你对这个论点说“胡扯”，那就请考虑我们很可能不是在谈论一种外生的力量，而是一种内生的力量。任何以波浪理论是决定论为理由对波浪理论的否定，并未解答我们在本书中证明的各种社会模式的方法及理由。我们所要提议的是，正如市场行为揭示的那样，人类有一种在社会行为中产生形态的自然心理动力。最重要的是得明白，我们描述的形态主要是社会的，而不是个体的。个体有自由意志，实际上可以学习识别这些典型的社会行为模式，然后运用这些知识为他们谋利。与大众和你自己的自然倾向反向行动和思维可不容易，但通过训练和经验的帮助，一旦你对市场行为的真正精髓有了最初的深刻洞察力，当然就可以培养自己这样做。不用说，它与人们已经相信的东西背道而驰，无论他们是否已经受到基本分析人士对事情的因果关系所做的漫不经心的假设的影响，经济学家提出的机械模型的影响，学者提出的“随机行走”（random walk）的影响，或阴谋理论家所说的“苏黎世的守财人”（Gnomes of Zurich）[⊖]（有时称为“他们”）操纵市场的幻想的影响。

⊖ 传统上，世界上最有实力的银行家在瑞士，因为他们收任何人的钱，而从不问任何问题，存款人可以开设著名的“数字账号”，而不必用任何名字。这意味着，即使是罪犯也可以在瑞士拥有大笔的银行存款。根据阴谋理论家的说法，有了庞大的资金储备，瑞士的银行家可以在首都苏黎世，通过利率、汇率，等等，操纵世界银行系统。Gnome是瑞士民间传说中地下矿藏和财宝的守护神，因此瑞士的银行家便有了“苏黎世的守财人”的别名。——译者注

我们假定一般的投资者对他死后他的投资会怎样，或者对他的曾曾曾曾祖父的投资环境是怎样的不感兴趣。没有对我们的遥远未来以及长期埋没的过去的关心，要为了投资生存而适应日常战斗中的最新环境就很困难。我们必须花时间评估各种长期浪，首先这是因为过去的发展在很大程度上决定了未来，其次是因为可以解释应用于长期浪的相同法则也应用于短期浪，并产生相同的股票市场行为模式。

换言之，股票市场的各种模式在所有的浪级上都是相同的。在小规模波浪——用小时变动图——中显现的运动模式也会在大规模波浪——用年变动图——中显现。例如，图5-1和图5-2显示了两幅走势图，一幅反映的是1962年6月25日~7月10日为期十天的道指小时振荡，而另一幅是1932~1978年的S&P500的年线（由《大众金融周刊》提供）。尽管时间

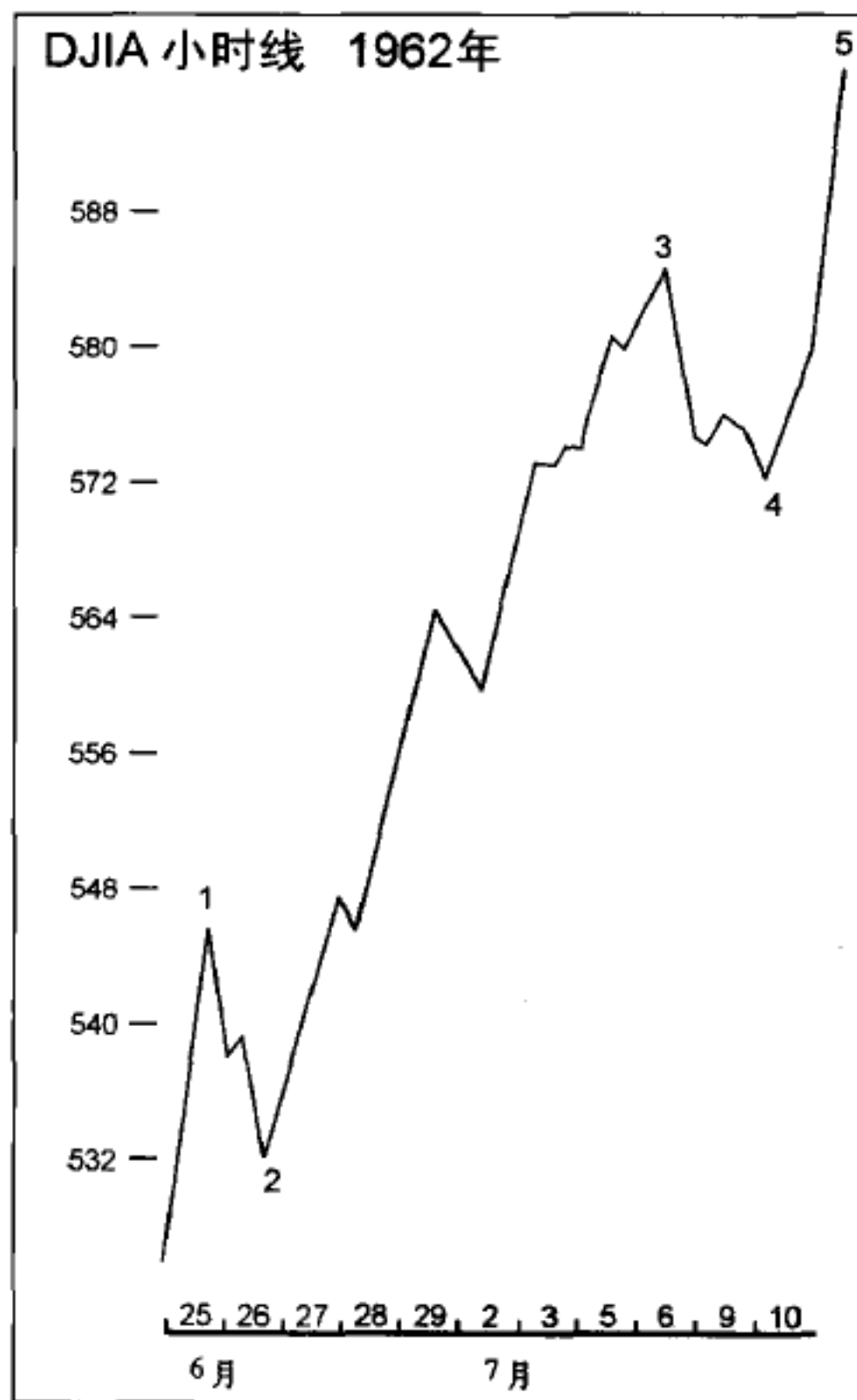


图 5-1

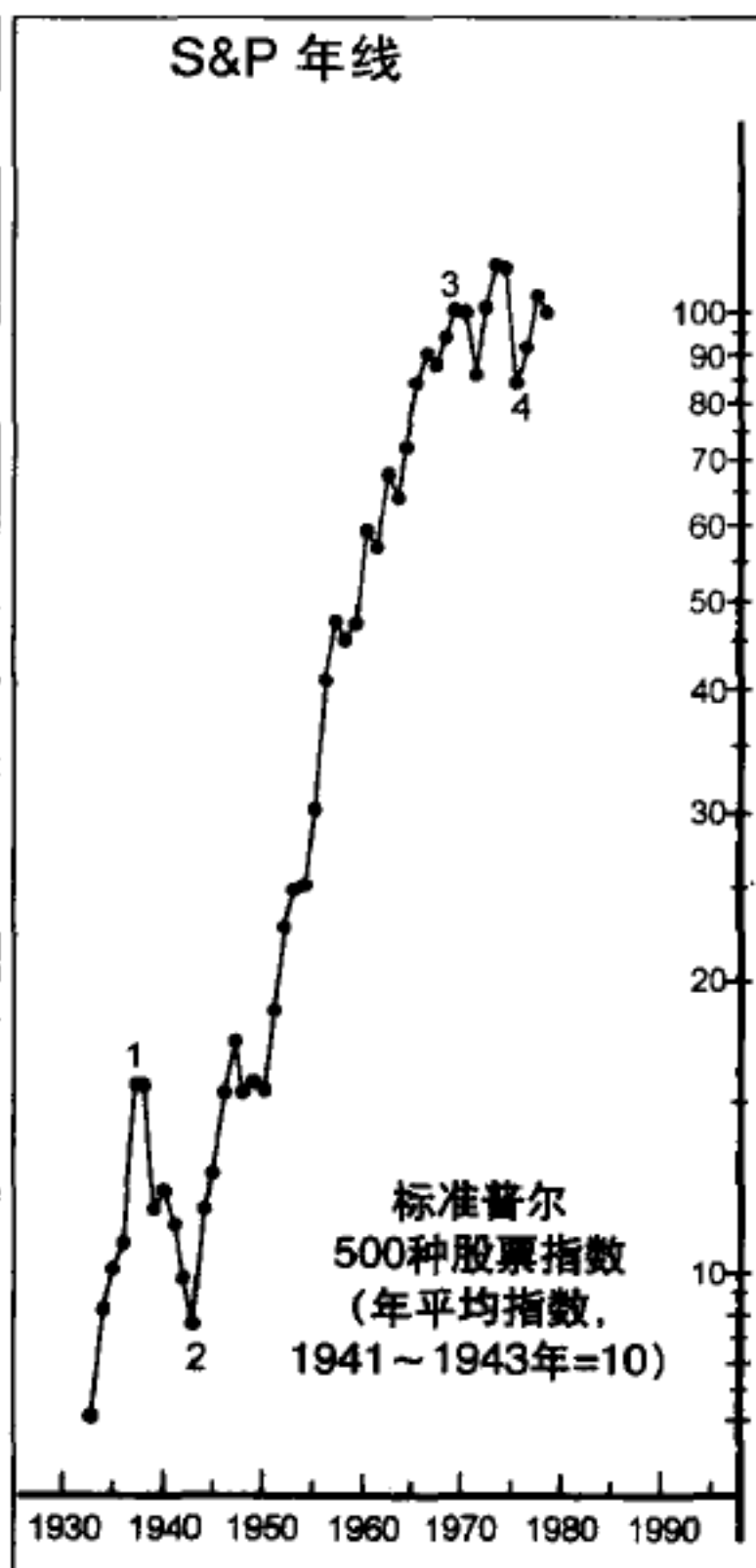


图 5-2

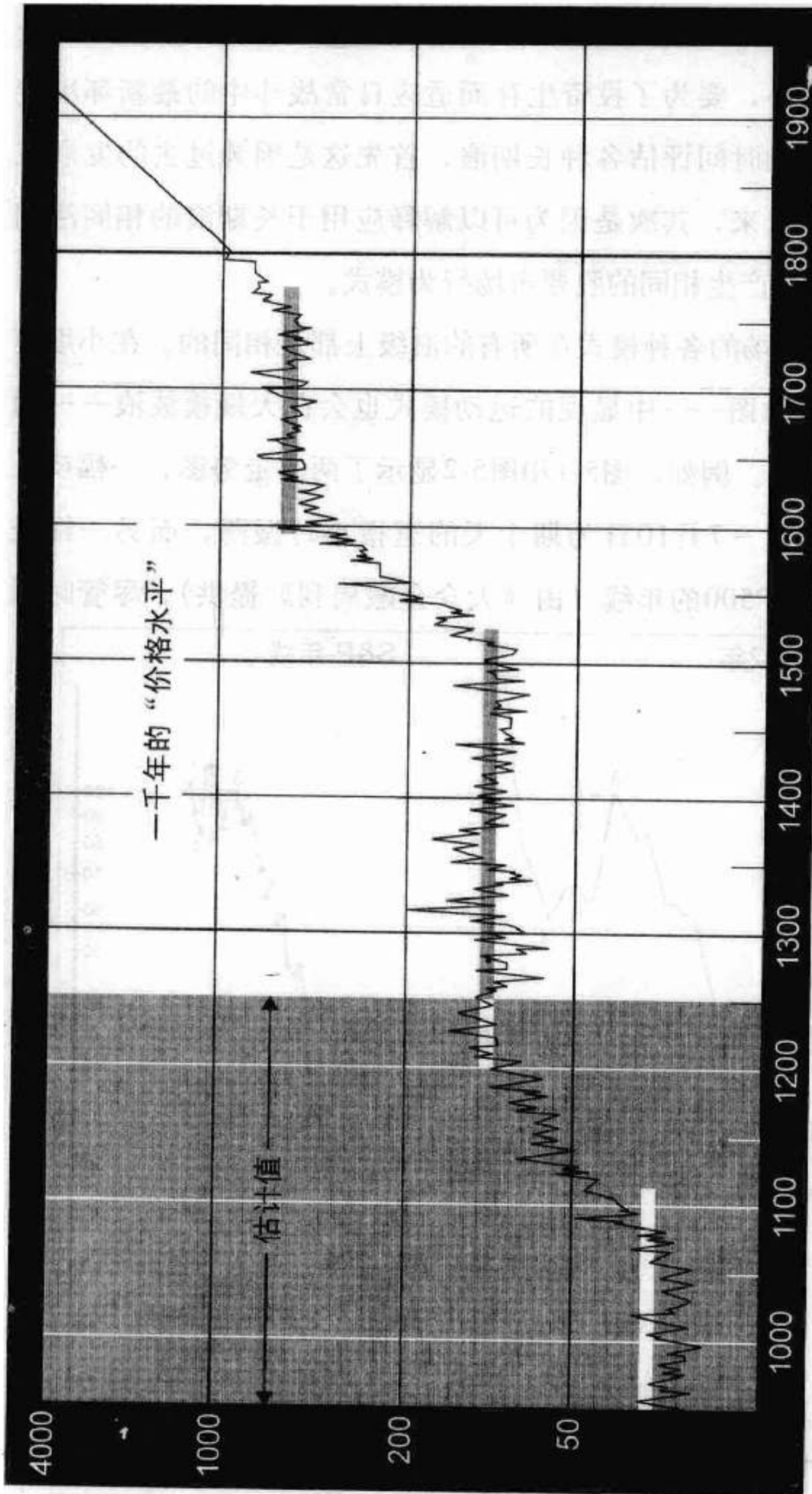


图 5-3

跨度的差异是1500 : 1, 但这两幅图都显示了出相似的模式。长期结构仍在展开中, 因为从1974年的最低点开始的浪V还没有走完它的全程, 至今这个模式仍沿着与小时走势图平行的线运行。在每一个浪级上, 这种形态是恒定的。

在这一章里, 我们将从我们所称的千年浪级到今天的循环浪级牛市中概括“摇摆与颠簸”前进的当前位置。此外, 正如我们将要看到的, 因为当前千年浪的位置以及我们最终的混合浪图形中“五浪”的步步上涨, 所以这十年可能证实是世界历史上撰写并研究艾略特波浪理论最激动人心的时期之一。

✓ 从黑暗时代开始的千年浪

研究过去两百年的价格趋势所需的数据并不难以获得, 但对于更早的趋势和条件的观点, 我们不得不依靠不太准确的统计数据。由菲利普斯·布朗和希莉亚·霍普金斯教授编制, 并经大卫·沃什进一步扩展的长期价格指数以公元950~1954年的一种简单的“人类需求的市场篮子”为基础。

把布朗和霍普金斯的价格曲线与1789年开始的工业股指数连接起来, 我们得到了过去1000年的长期价格走势。图5-3显示了黑暗时代至1789年的大致总体价格摆动。对于从1789年开始的第五浪, 我们特别用了一条直线来代表股票价格的摆动, 我们将在下一节中深入分析这一浪。奇怪的是, 这幅图形尽管只是价格趋势的非常粗糙的表示, 但却显出了一个五浪的艾略特模式。

与历史的广泛性价格运动并行的是持续了几个世纪的商业与工业扩张的伟大时期。罗马帝国最终在公元476年崩溃, 它的伟大文化曾经与前一个千年浪的高峰同时发生。在随后的500年中, 也就是在后来的千年级熊

市期间，寻求知识几乎绝迹了。商业革命（Commercial Revolution，950～1350年）最终点燃了第一个新的甚超级循环浪的扩张。1350～1520年的价格水平代表了在商业革命时期对前进的一次“调整”。

下一个价格上涨时期，与资本主义革命（Capitalist Revolution，1520～1640年）和英国历史上最伟大的时期——伊丽莎白时期（Elizabethan Period）——同时发生。伊丽莎白一世（Elizabeth I，1533—1603）^①刚好在一场与法国的疲惫不堪的战争后登上王位。英国当时非常贫穷而且处于绝望之中，但在伊丽莎白去世前，英国已经藐视所有的欧洲强国，扩张了她的帝国，并成为世界上最繁荣的国家。那是莎士比亚（Shakespeare）^②、马丁·路德（Martin Luther）^③、德雷克（Drake）^④和雷利（Raleigh）^⑤的时代，一个世界历史上真正繁荣昌盛的纪元。在这个创造辉煌和奢华的时期，商业拓展，物价上涨。到了1650年，价格达到了顶峰，并开始走平，形成了一个世纪之久的甚超级循环浪级调整。

这个千年浪中的下一个甚超级循环浪已经从1760年左右的商品价格开始，而不是从我们假定的1770～1790年左右的股票市场开始，后者我们已经标示了“1789年”，这是股票市场数据开始的地方。然而，正像格特鲁德·舍克在1977年4/5月的《循环》杂志上作的一项研究指出的那样，商品价格中的趋势比股票价格中的相似趋势要提前大约十年。以这种知识来看，这两种度量实际上结合得完美无缺。这个甚超级循环浪与工业革命（Industrial Revolution，1750～1850年）产生的生产力飞跃同时发生，并与美利坚合众国崛起为世界超级大国并行。

① 25岁时，也即在1558年，成为英国女王。她见证了英国成为具有强大政治力量和辉煌文化的国家。——译者注

② 1564—1616，全名威廉·莎士比亚（William Shakespeare），英国剧作家。——译者注

③ 1483—1546，德国宗教改革家，基督教路德教派的创始人。——译者注

④ 1540—1596，全名弗朗西斯·德雷克爵士（Sir Francis Drake），英国海军将官。1577～1580年完成环球航行。——译者注

⑤ 约1552—1618，全名沃特·雷利爵士（Sir Walter Raleigh），英国航海家。——译者注

艾略特的逻辑显示,从1789年至今的甚超级循环浪,必须以典型的时间和幅度关系,与进行中的艾略特模式中的其他波浪前后呼应。如果这是真的,那么除非这个千年浪正在延长,否则它就几乎已经走完全程,并将被三个甚超级循环浪调整(两浪下降和一浪上升),这可能延续过下一个五百年。很难想象,世界经济的低成长状况会持续这么久。这种长期困境的暗示不能排除,技术可以缓和假定会社会化发展的事物的严酷性。艾略特波浪理论是概率和浪级的法则,而不是一种确切条件的预言器。然而,当前超级循环浪(V)的结束,应当导致经济或社会震动的某种形态,这种震动会导致另一个下跌与绝望期。毕竟,如果是蛮族人(barbarians)^①最终推翻了腐败的罗马帝国,那能说现代的蛮族人没有足够的图谋和相似的目的吗?

从1789年至今的甚超级循环浪

这个长期浪有顺势的三浪和逆势的两浪组成的五浪的正确外表,它完成了一个与美国历史上最强劲和最进步的时期相对应的延长的第三浪。在图5-4中,超级循环浪级的细分浪已经被标示了(I)、(II)、(III)和(IV),而浪(V)目前还在前进中。

考虑到我们正在探索回溯至运河公司、马拉的驳船以及缺乏统计的时代的市场历史,因此格特鲁德·舍克为《循环》杂志建立的“定值美元”工业股指数记录形成了一种如此清晰的艾略特模式,真是令人惊奇。尤其显著的是趋势通道,通道的基线连接了几个重要的循环浪和超级循环浪的最低点,而通道的上平行线连接了几个上升浪的最高点。假定零售

① 蛮族人一般认为应当对“罗马陷落”负责的是日耳曼蛮族。虽然战争是灭亡的原因之一,但是罗马帝国的本质病症在于经济。这种病症在古希腊甚至更早的古代文明中都可见到。这些文明都受生产率低下这一基本问题的折磨,而生产率低下的基本原因是奴隶制。
——译者注

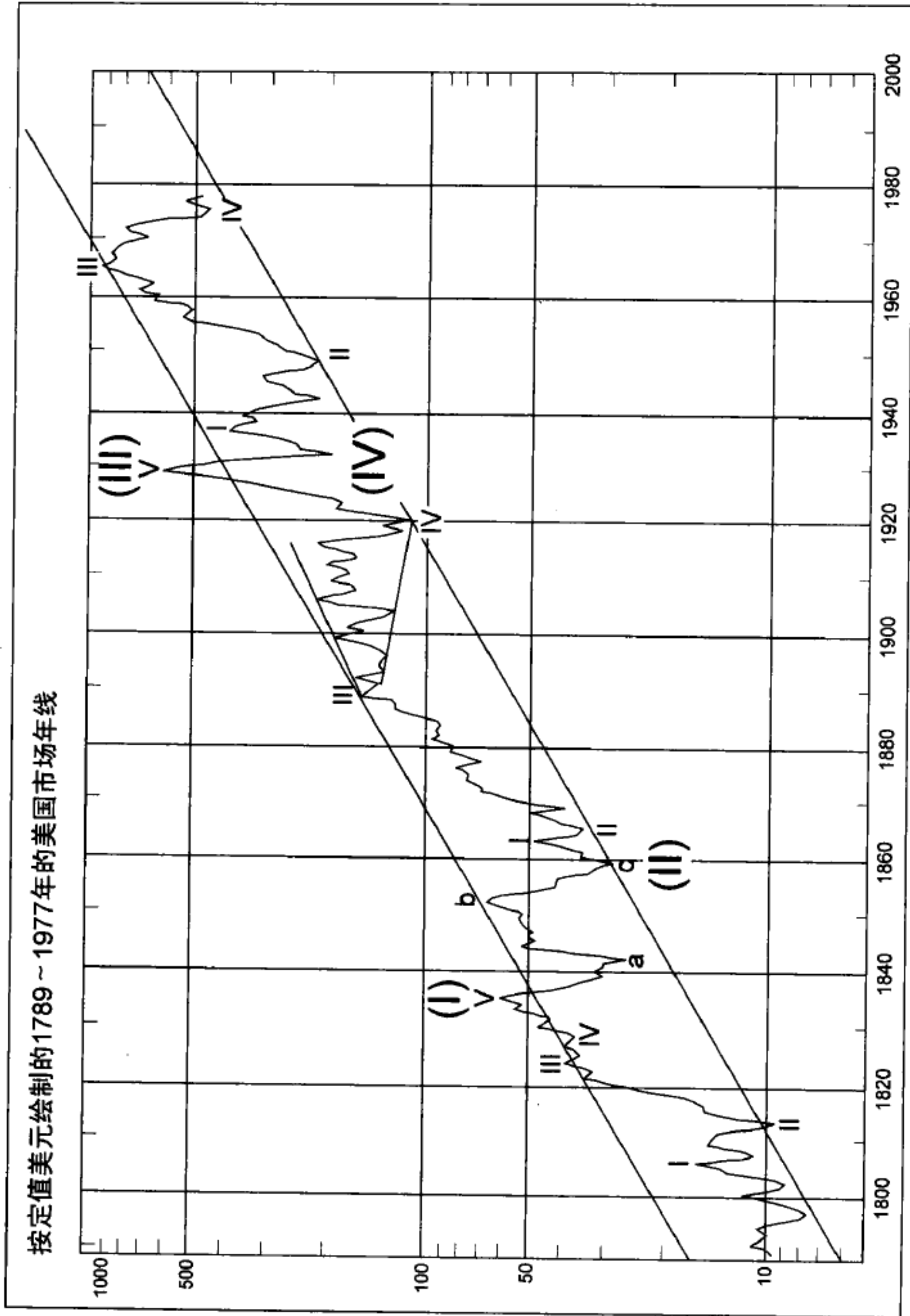


图 5-4

价格指数没有根本的净变，那么在1983年，市场的最高点将合理地我们的目标区域2500~3000点触及上平行线。

假定1789年是超级循环浪的开始，那么浪(I)是一个相当明显的“五浪”。浪(II)是一个平台形调整浪，按交替原则，它预示着浪(IV)将是锯齿形或三角形[⊖]。浪(III)延长了，而且能容易地细分成五个子浪，包括在第四浪位置上的一个典型的扩散三角形调整浪。1929~1932年的浪(IV)，在先前小一浪级的第四浪区域内结束。

对图5-5中的浪(IV)的观察，更细致地解释了超级循环浪级的锯齿形调整浪，它记录下了美国历史上最具摧毁力的崩盘。在这轮下跌行情的浪a中，日走势图显示，以典型方式下降的第三子浪包括1929年10月29日的华尔街暴跌。然后，浪a被浪b回撤了50%左右，正如理查德·罗素所称的那样，它是“1930年的著名向上调整”，在此期间，甚至罗伯特·雷亚也受到了这次反弹的情绪化本质的影响，回补了他的空头仓位。浪c最终在41.22点筑底，下跌了253点，或称浪a长度的1.382倍左右。三（一个斐波纳契数字）年中股票市场跌去了89（另一个斐波纳契数字）%。

必须再次提到，艾略特总是把1928年解释成超级循环浪(III)的正统顶部，而1929年的最高点是一个不规则顶。对于这种解释，我们同查尔斯·柯林斯一样发现了几处失误，柯林斯同意我们的观点，即1929年很可能是正统的最高点。首先，1929~1932年的下跌行情，是一个5-3-5锯齿形下跌行情的最佳标本。其次，对于在1928年做头的浪(III)，浪(IV)就得呈现一种与3-3-5扩散平台形调整浪的“正确外表”不一致的形状。根据这种研判，浪c与较小的浪a和b不成比例，而且在远远低于浪a最低点的不和谐位置结束。另一个问题是假定的浪b的力度，这个浪b很好地保持在了上升通道内，并在穿越上趋势线后结束，就像第五浪常常表现出的

⊖ 图5-4显示浪(IV)是一个锯齿形调整浪。尽管它在实际价格中是一个锯齿形调整浪，但它在经通胀调整的价格中是三角形调整浪，正如一年后识别出的那样（见附录）。

那样。浪(IV)的比率分析,既支持艾略特的不规则顶的论点,又支持我们的正统顶部的论点,因为根据艾略特的分析,浪c是1928年11月~1929年11月的浪a净下跌的2.618倍,而根据我们的分析,浪c是1929年9月~1929年11月的浪a的1.382倍(0.382是2.618的倒数)。

这个甚超级循环浪中的浪(V)仍在前进中,至今为止它已经与期望极为接近,因为浪(III)是一个延长浪,而且就时间和百分比幅度而言,浪(V)应与浪(I)大致相等。浪(I)用了大约50年时间才走完,如果浪(V)在我们预测的时间结束,那么它也应持续50年。在定值美元走势图中,浪(I)的高度大约与浪(V)的相等,也就是按百分比涨幅来说相同。甚至它们的“外表”也不会差别太大。甚超级循环浪中的浪(V)将在下面得到进一步的分析。

从1932年开始的超级循环浪

超级循环浪(V)已经自1932年开始,而且仍在展开之中(见图5-5)。如果在波浪理论下有这样一种完美的波浪构造,那么这个长期艾略特波浪序列将是主要的候选者。循环浪的细分如下:

浪I: 1932~1937年——根据艾略特建立的规则,这一浪是清楚的五浪序列。它回撤掉了从1928年和1929年的最高点开始的市场下跌幅度的0.618倍,而且在这一浪中,延长的第五浪运行了第一至第三浪距离的1.618倍。

浪II: 1937~1942年——在浪II中,子浪①是一个五浪,而子浪③也是一个五浪,所以整个结构是一个锯齿形调整浪。大部分价格损失出现在浪①中。因此,整个调整浪结构中的强度很高,大大超出了我们通常的期望,因为浪③仅稍稍创了这个调整浪的新低。浪③的大部分损失归因于侵蚀,因为持续的通货紧缩把股票的市盈率水平推到了1932年的市盈率水平之下。

浪III: 1942~1965(6)年——这一浪是延长浪,道指通过它在24年中几乎上涨了1000%。它的主要特征如下:

1965年2月开始的一个五浪式的扩散三角形，以及从1966年1月开始的一个双重三浪。这两种数浪都是可以接受的，尽管三角形的研判会显出较低的目标，因为浪V的涨幅将接近于三角形的最宽部分。然而，没有其他艾略特理论的证据显示这样弱的一浪正在形成。一些艾略特理论家试图将1973年1月~1974年12月的上一次下跌数成一个五浪，因此把循环浪IV标示成一个大平台形。我们对这个五浪计数在技术上的反对理由是，假定的第三子浪太短，而且第一浪因此被第四浪重叠，从而违反了两条基本的艾略特规则。它明显是一个A-B-C下跌。

浪V：1974至？——这个循环浪仍在展开中。此时此刻，两个大浪很可能已经走完，市场正在走出第三大浪的过程中，这个大浪应当伴随着创下历史新高的突破。最后一章将较为详细地涉及我们对当前市场的分析和期望。

因此，当我们在解读艾略特理论时，目前股票的牛市可能是始自黑暗时代的第五浪中的从1789年开始的第五浪中的从1932年开始的第五浪。图5-6给出了这个合成走势，而且不言而喻。[⊖]

回顾过去，从黑暗时代开始的西方历史显得是一个几乎不间断的人类进步时期，正像我们提出的那样，它可称做是一个千年级的波浪。欧洲和北美的文化振兴、此前希腊城邦的振兴和罗马帝国的扩张，以及此前在埃及的社会前进的千年浪，都可以称为文化级（cultural degree）波浪，每一浪都被文化级的停滞浪或倒退浪分开，每一浪都持续了几个世纪。谁都可以认为，甚至这五个浪——组成了至今完整的有记录的历史，可组成一个正在发展中的纪元级（epochal degree）波浪，而且某个社会灾难（包括核战争或生物战争，也许？）世纪最终会确保5000年中最大的

⊖ 普莱切特在《在潮浪的顶峰》（*At the Crest of the Tidal Wave*, 1995年）中介绍了一张这幅图形的变体，它包括一个从黑暗时代开始的正在发展中的延长浪。因此，它对这里显示的版本做了些改动，这断定正在到来的逆流很可能“仅是”甚超级循环浪级的而不是千年级的。

人类社会倒退的出现。

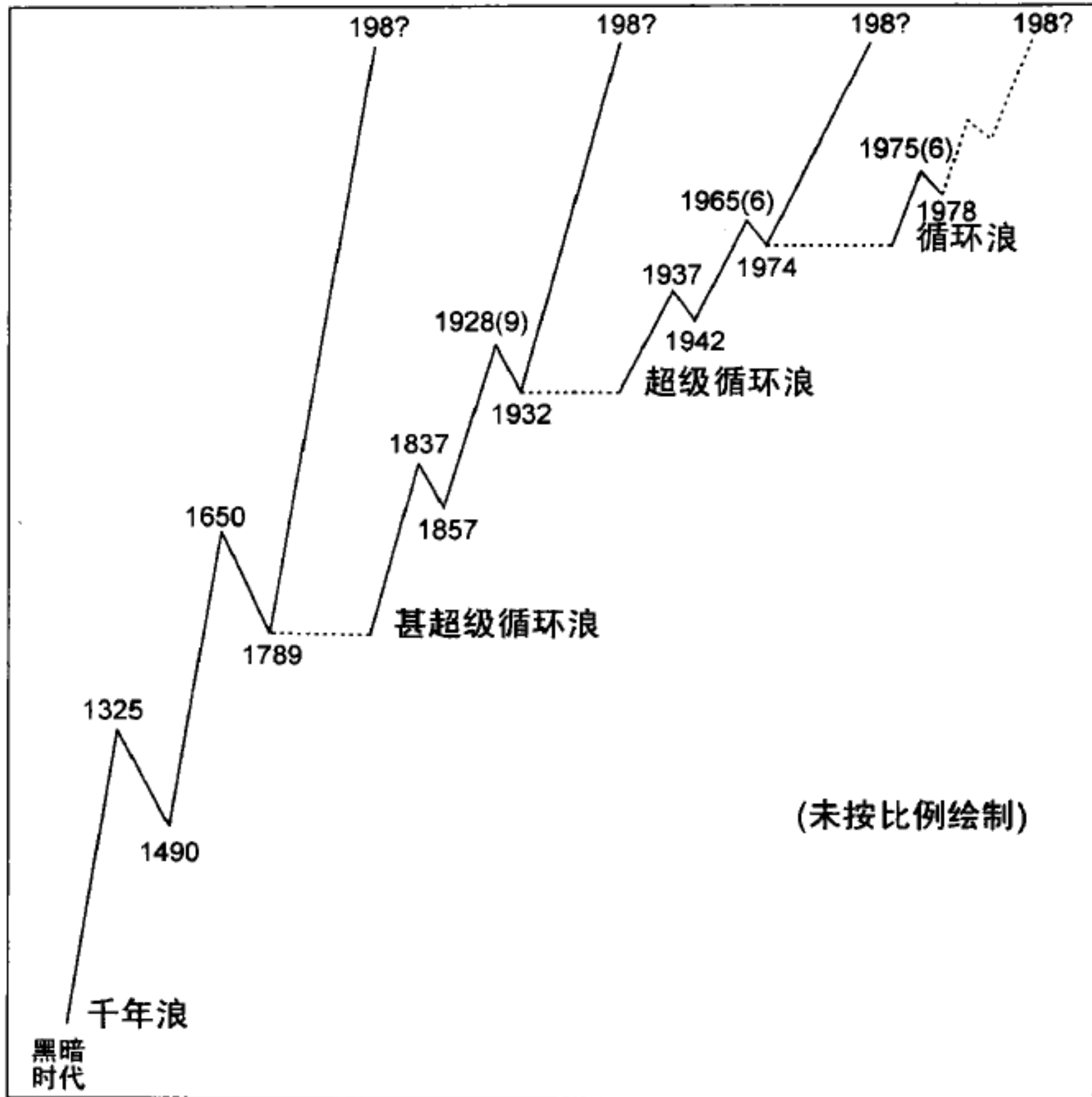


图 5-6

当然，螺线式的波浪理论表明，还存在着一种浪级比纪元级更大的波浪。人类这个物种的各个发展时期或许是更大浪级的波浪。也许人类本身是人科动物的一个发展阶段，而人科动物是地球生命前进中更大波浪发展中的一个阶段。毕竟，如果设想行星地球存在的时间至今只有一年，那么各种生命形态从海洋中出现是在5周以前，而像人的生物在地球上仅行走了这一年的最后6个小时，还不到各种生命形态所有存在时间的百分之一。按这个标准，罗马统治西方世界总共只有5秒钟。从这个角度来看，一个甚超级循环浪毕竟没有这样大的浪级。

第 6 章 Chapter6

股票和商品

✓ 个股

管理投资的艺术，是一门获得与舍弃股票和其他证券使收益最大化的艺术。在投资领域里，何时行动比挑选什么股票更重要。选股并非不重要，但比起市场时机来，它是次要的。要在股市中成为胜者，无论是作为交易商还是作为投资者，都必须知道大势的方向，并顺势投资，而非逆势操作。对于投资股票，基本面本身很少是合理的理由。美国钢铁公司（U.S. Steel）在1929年时卖260美元一股，并被认为是对寡妇和孤儿来说的一种稳健投资。红利曾是每股8美元。华尔街的暴跌将其股价减到了22美元一股，而且这家公司四年没有分过红利。股票市场通常是牛市或熊市，很少是母牛市（cow）。

作为一种群体心理现象，市场平均指数以艾略特波浪模式展开，而无论个股的价格运动。正如我们要说明的那样，尽管波浪理论对个股有一些应用，但许多股票的波浪计数常常太模糊，形成不了巨大的实用价值。换言之，艾略特理论可以告诉你跑道是否通畅，而不是哪匹马会赢。对于个股来说，其他类型的分析方法比硬把股票价格活动归结到一种或许存在或许不存在的艾略特波浪计数中更可取。

这是有理由的。波浪理论大体上允许个体的态度和环境影响任何个股

的价格模式，以及在较小的程度上影响一小群股票的价格模式，这仅仅是因为艾略特波浪理论反映的只是那部分由投资者群体共享的每一个人的决策过程。所以，在波浪形态更大的反映中，个体投资者和个体公司的独特环境相互抵消，剩下的只是一面反映群体意识的镜子。换言之，波浪理论的形态反映了人类整体及其企业的前进，而不必是每个人或每个公司的前进。公司开业歇业，趋势、时尚、文化、需求和渴望按人类的条件潮起潮落。因此，波浪理论极好地反映了总体商业活动的前进，而活动的个体领域都有它自己的精髓、自己的生活期望，以及与之独立相关的一组力量。因此，每一家公司就像每一个人那样作为总体的一部分出现，演出它的角色，并最终回到它出身的尘埃中。

如果我们通过显微镜观察一小滴水，就体积、颜色、形状、密度、含盐量、细菌数，等等而言，它的个体特征相当明显，但是当这滴水是海洋中的一个波浪的部分时，不管它的个体特征如何，它都会在波浪和海潮力量下随波逐流。对于拥有在纽约股票交易所（New York Stock Exchange, NYSE）上市的股票的两千多万颗“小水滴”，还会惊叹市场平均指数是世界上群体心理的最佳表现形式之一吗？

尽管有这种重要的差别，但是许多股票往往或多或少与总体市场的步调一致。事实表明，平均来说，75%的股票随市场一起上涨，而90%的股票随市场一起下跌，尽管个股的价格运动通常比平均指数的运动更不规则。出于显而易见的原因，相比其他大多数股票，投资公司的封闭式股票（closed-end stock）[⊖]以及循环性大公司的股票，往往与平均指数的运动模式更加一致。然而，新兴成长股会创造出最清晰的个体艾略特波浪模式，这是因为参与它们前进的强烈的投资者情绪。最好的方法看来是，尽量避免以一种艾略特理论基础来分析个股，除非是一个清晰无误的波浪模式呈现在你眼前，而且它值得注意。决策行动最好只在那时采取，

[⊖] 即公司型的封闭式投资基金。——译者注

但必须在不考虑市场总体波浪计数的情况下采取。忽略这样一种模式总是比付保险费更加危险。

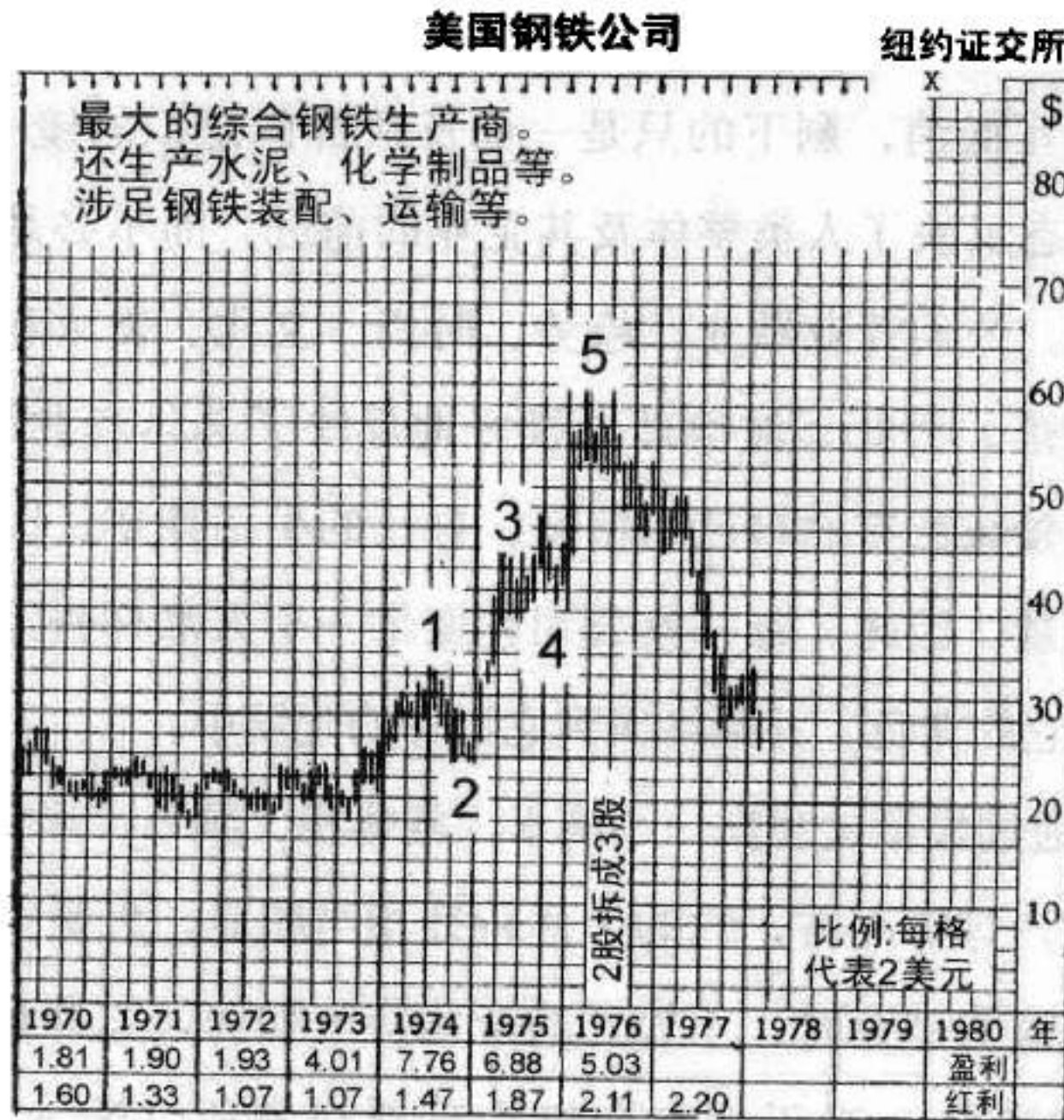


图 6-1

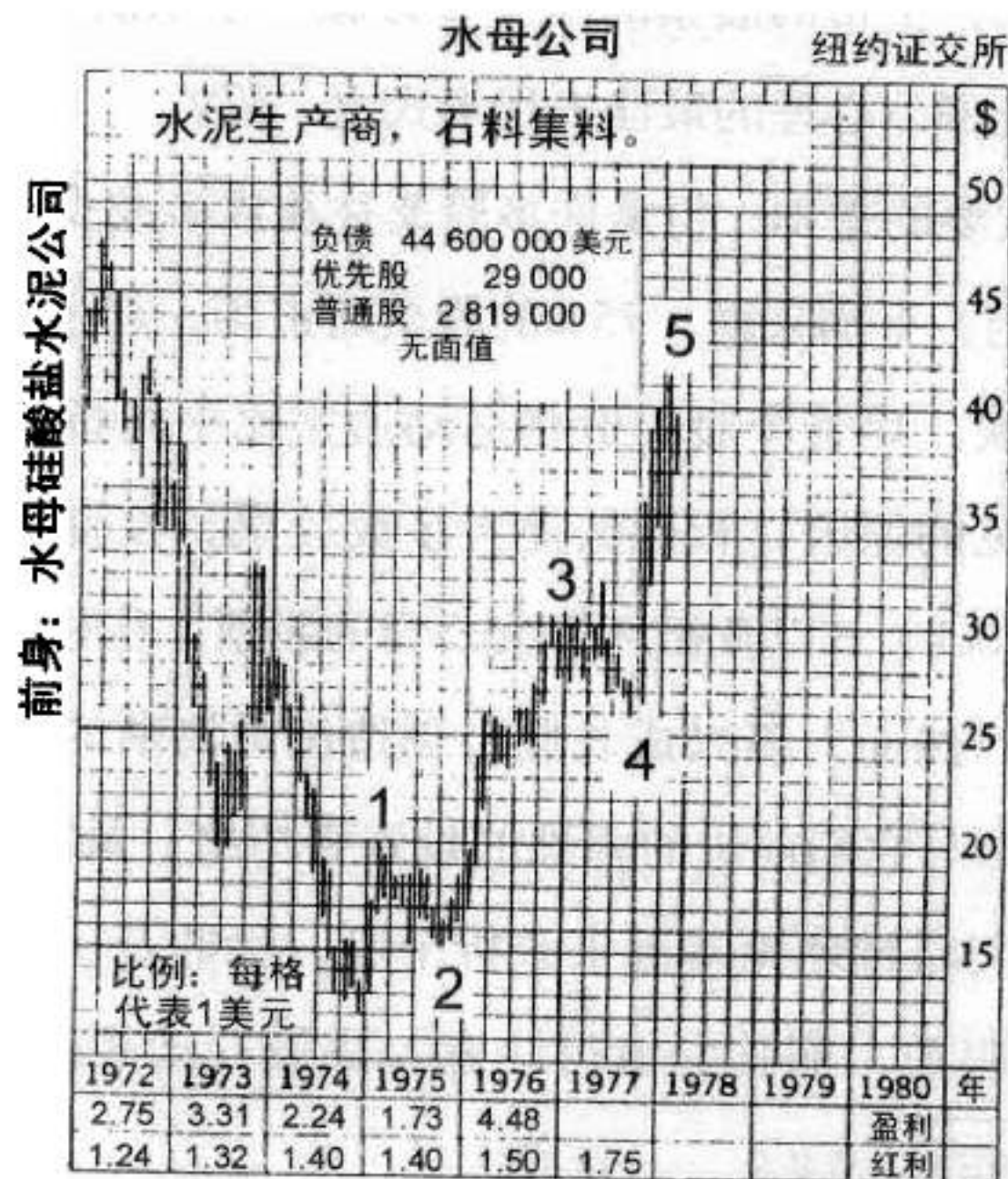


图 6-2

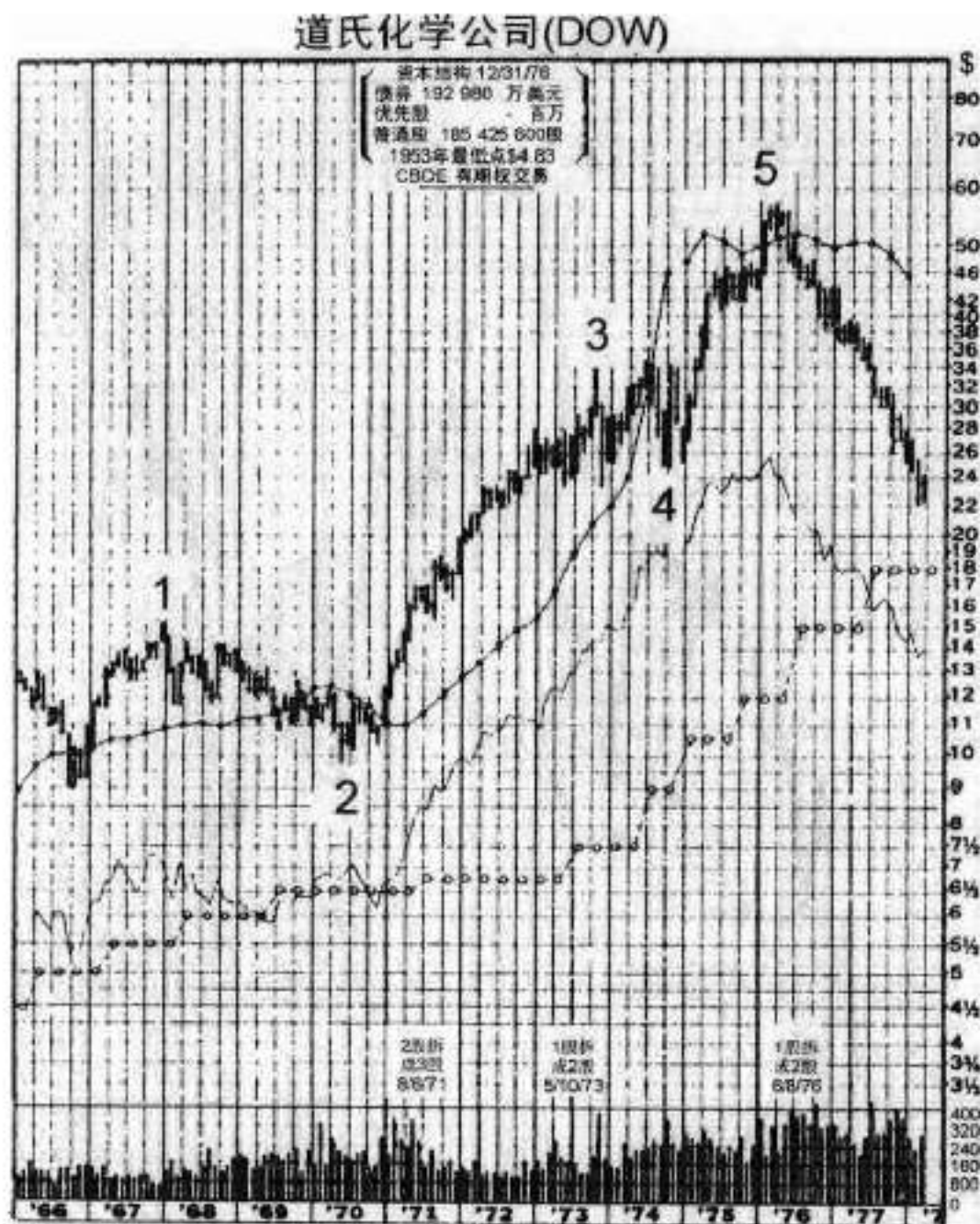


图 6-3

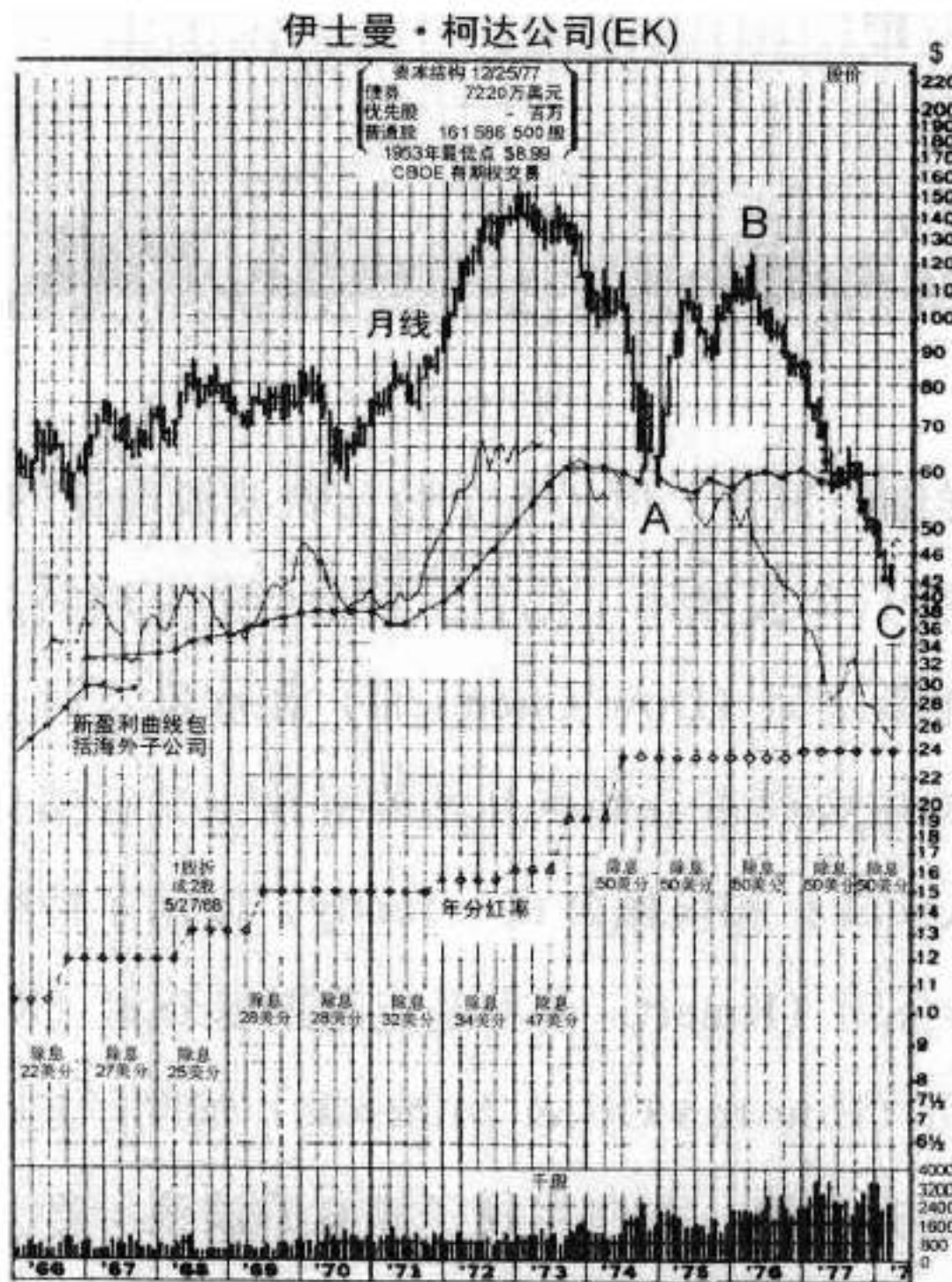


图 6-4

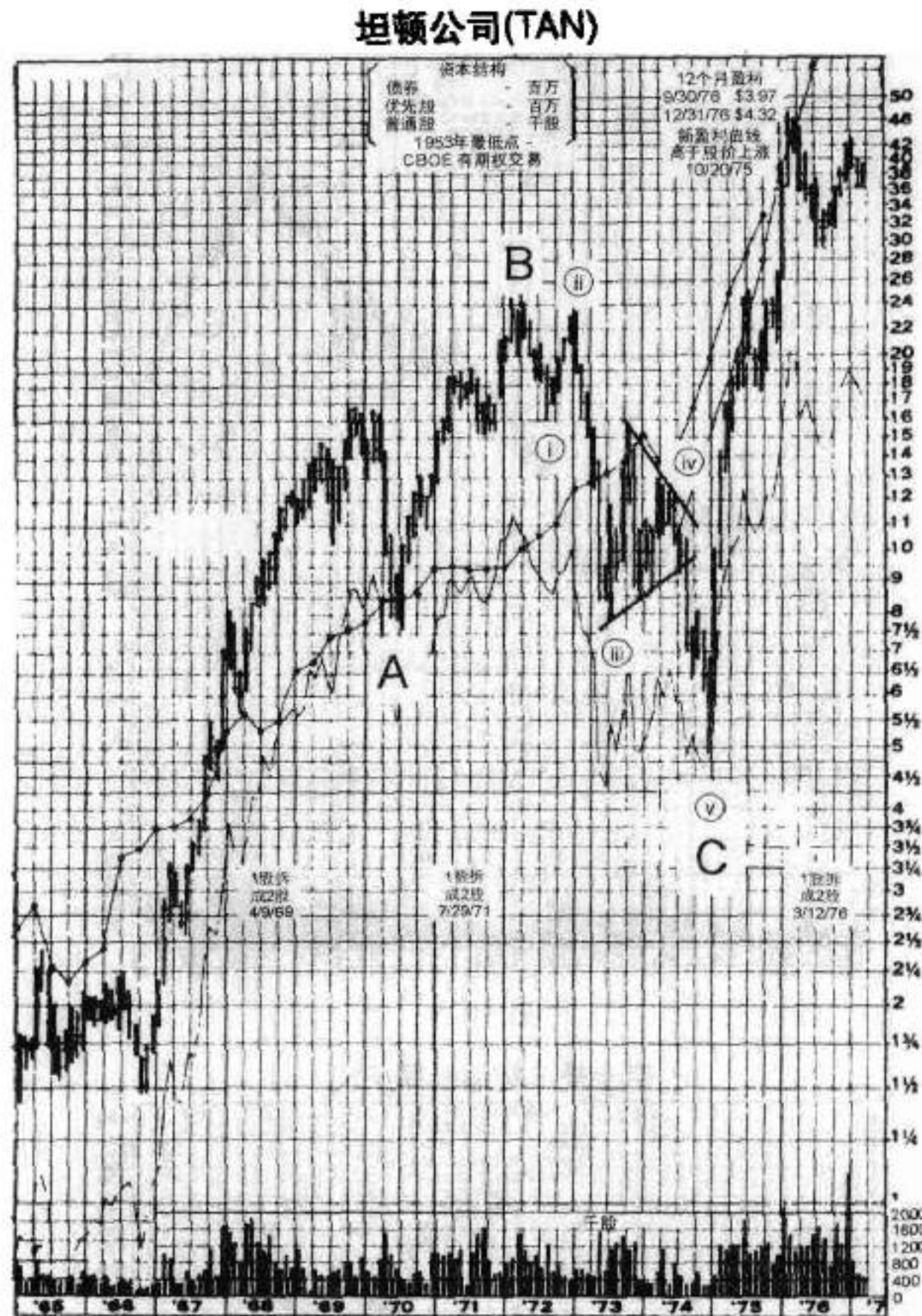


图 6-5

尽管有上述详细的警告，但仍有个股反映波浪理论的数不清的例子。图6-1～图6-7中的7只个股显示了代表三种情形的艾略特波浪模式。美国钢铁公司、道氏化学公司（Dow Chemical）和水母公司（Medusa）的牛市显示了从它们的主要熊市最低点开始的五浪上升行情。伊士曼·柯达公司（Eastman Kodak）和坦顿公司（Tandy）显示了持续至1978年的A-B-C熊市。凯马特公司（Kmart，前身是克莱斯基公司（Kresge））和休斯敦石油及矿业公司（Houston Oil & Minerals）阐明了走出艾略特模式的长期“成长”型上升行情，并在完成了满意的波浪计数后，跌破了它们的长期支持通道线。

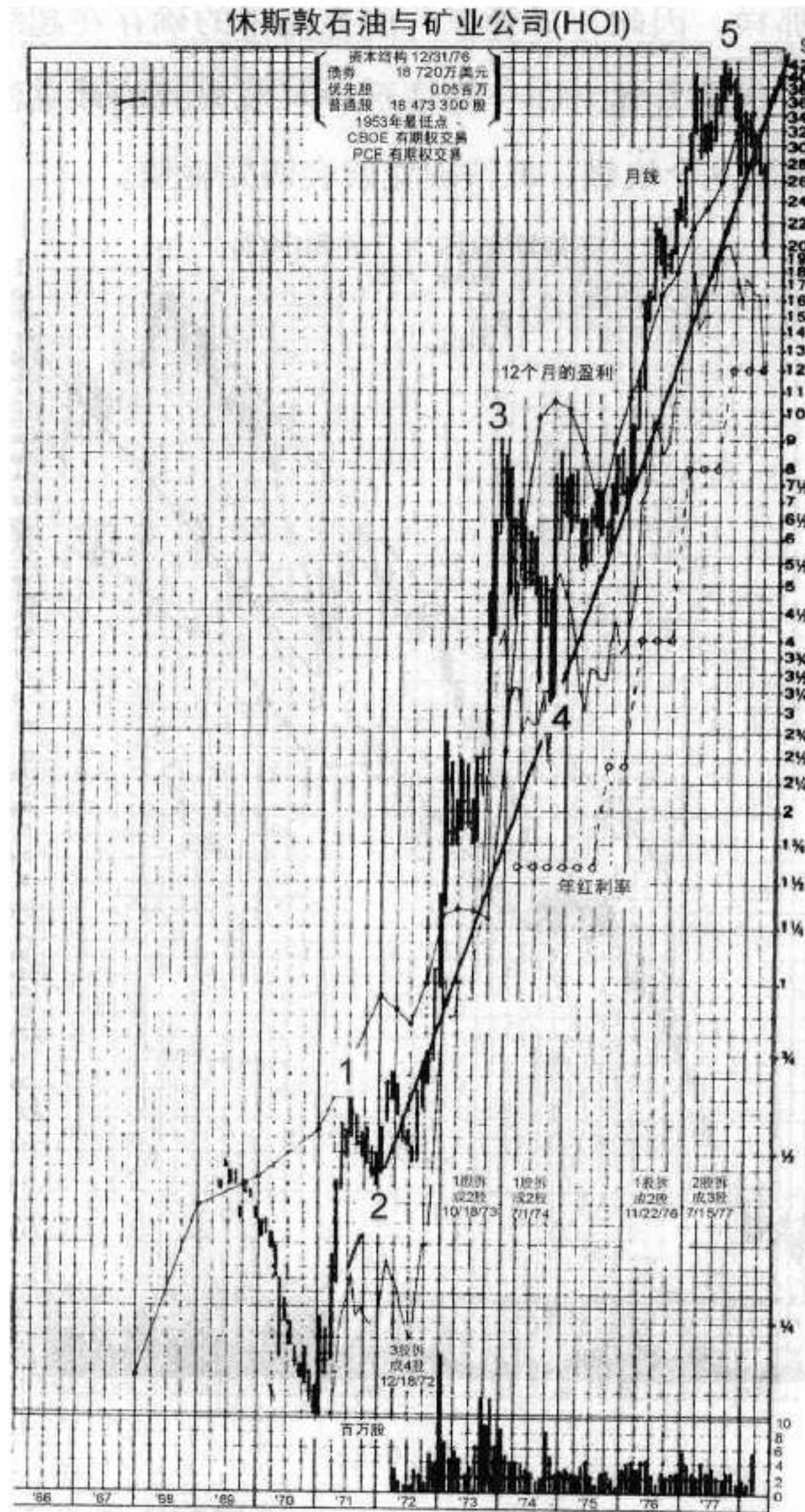


图 6-6

商品

商品有着与股票一样多的特性。商品与股票市场平均指数行为之间的一个差别是，在商品中主要的牛市和熊市时常相互重叠。比如，有时一个完整的五浪牛市不能把商品价格带到历史新高，就像图6-9中显示的大

豆期货走势图那样。因此，尽管在一些商品中的确存在超级循环级波浪的漂亮走势图，但是看起来在一些情形中可观察到的最高浪级是大浪级或循环浪级。超出这个浪级，波浪理论就会四处碰壁。

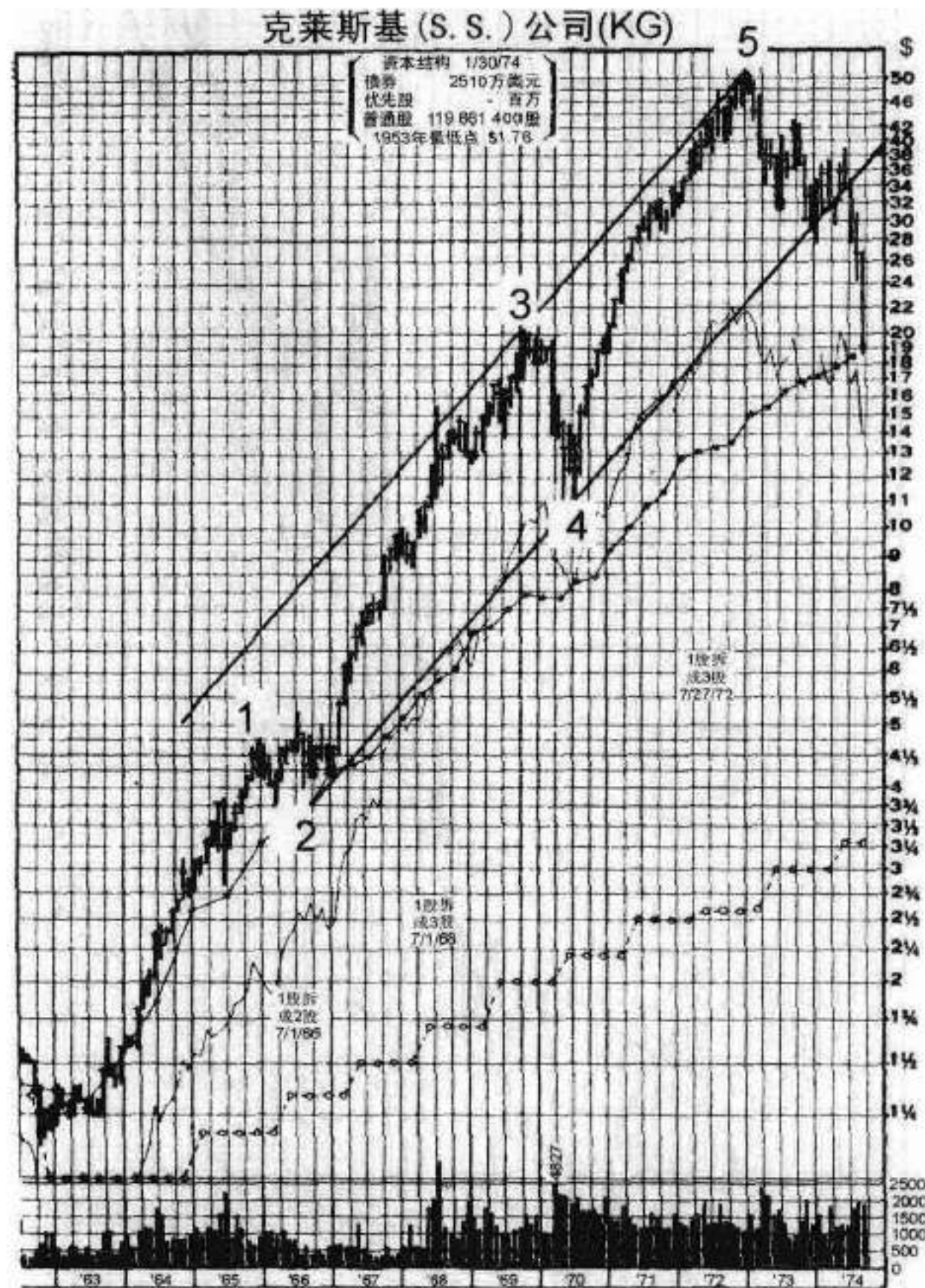


图 6-7

而且相比股票市场，商品大多在大浪级或循环浪级牛市中的第五浪中发展出延长浪。这种倾向与反映人类情绪现实的波浪理论完全一致。股票市场中的第五浪上升行情受希望的驱动，而商品中的第五浪上升行情受一种相对戏剧性的情绪——害怕——的驱动：害怕通货膨胀，害怕干旱，害怕战争。在走势图上，希望与害怕看上去大相径庭，这是商品市场的顶常常看上去像股票市场的底的原因之一。而且，商品牛市的延长

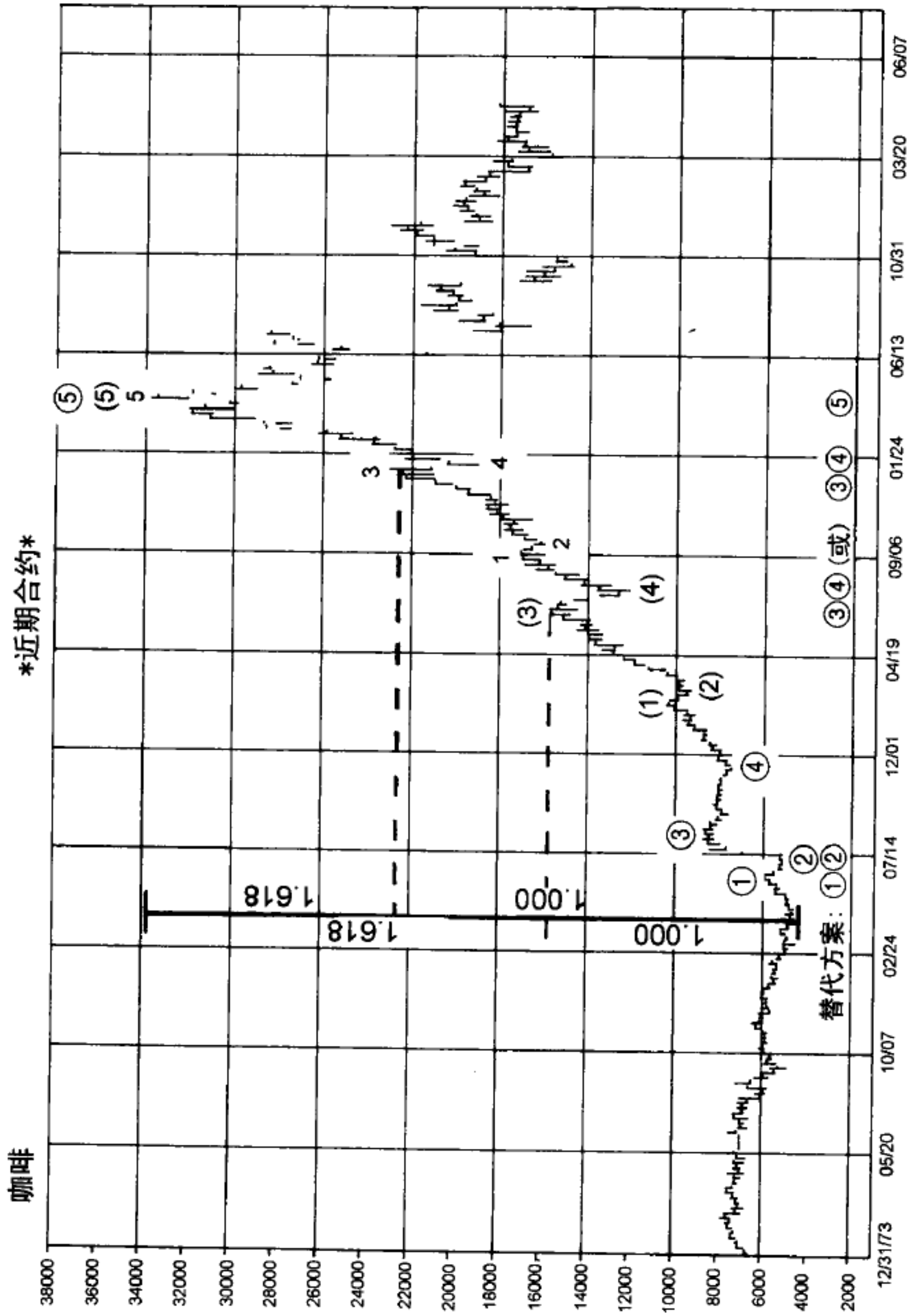


图 6-8

浪常常出现在第四浪位置上的三角形之后。因此，股票市场中的三角形后的冲击常常“迅速而短暂”，而浪级较高的商品牛市中的三角形常常出现在延长的喷发走势之前。图1-44中的白银走势图显示了一个例子。

最佳的艾略特波浪模式诞生自从延长的横向底部模式开始的重要长期突破，就像在20世纪70年代的不同时候在咖啡、大豆、糖、黄金以及白银市场中出现的那样。不幸的是，适于表现艾略特趋势通道的半对数走势图刻度不能用于这种研究。

图6-8显示了咖啡从1975~1977年中的两年价格爆发。这个模式无疑是“艾略特模式”，甚至在小浪级也是如此。所采用的比率分析完美地投射出了顶峰的价格水平。在这些计算中，上涨至浪(3)顶点的长度，以及上涨至浪3顶点的长度，每一个都以相等的距离把整个牛市黄金分割。正如你所看到的，走势图的下方列出了同样可接受的数浪，那些顶峰中的每一个都可以标示成浪③的顶点，这满足了典型的比率分析指导方针。在这个模式到达了第五浪的顶点后，一个毁灭性的熊市显然出人意料。

图6-9显示了大豆五年半的价格历史。1972~1973年的爆发性涨势始自一个长期的底部，就像咖啡市场中的爆发一样。这里目标区域也达到了，因为上涨至浪III顶部的长度乘以1.618，几乎正好给出了浪III终点至浪V顶点的距离。在继而发生的a-b-c熊市中，一个完美的艾略特锯齿形调整浪展开了，它在1976年1月触底。这个调整浪中的浪b稍少于浪a的0.618倍。1976~1977年一轮新的牛市又开始了，尽管它比正常的长度短，因为浪V的顶点刚好没有达到期望中的10.90美元的最小目标。在这个情形中，至浪III顶点的涨幅（3.20美元）乘以1.618得到5.20美元，把它加在浪IV中的最低点5.70美元上时，就给出了10.90美元的目标位。在每个牛市中，最初的测量单位是相同的，也就是牛市起涨点至浪三顶点的长度。因此，这个距离是从浪III顶点、浪IV的最低点或两者之间量起的浪V长度的0.618倍。换言之，在每一种情况下，浪IV中的某一点将整个涨幅进行了黄金分割，正如在第4章中描述的那样。

图6-10是芝加哥小麦期货的周最高-最低价走势图。在6.45美元的顶峰

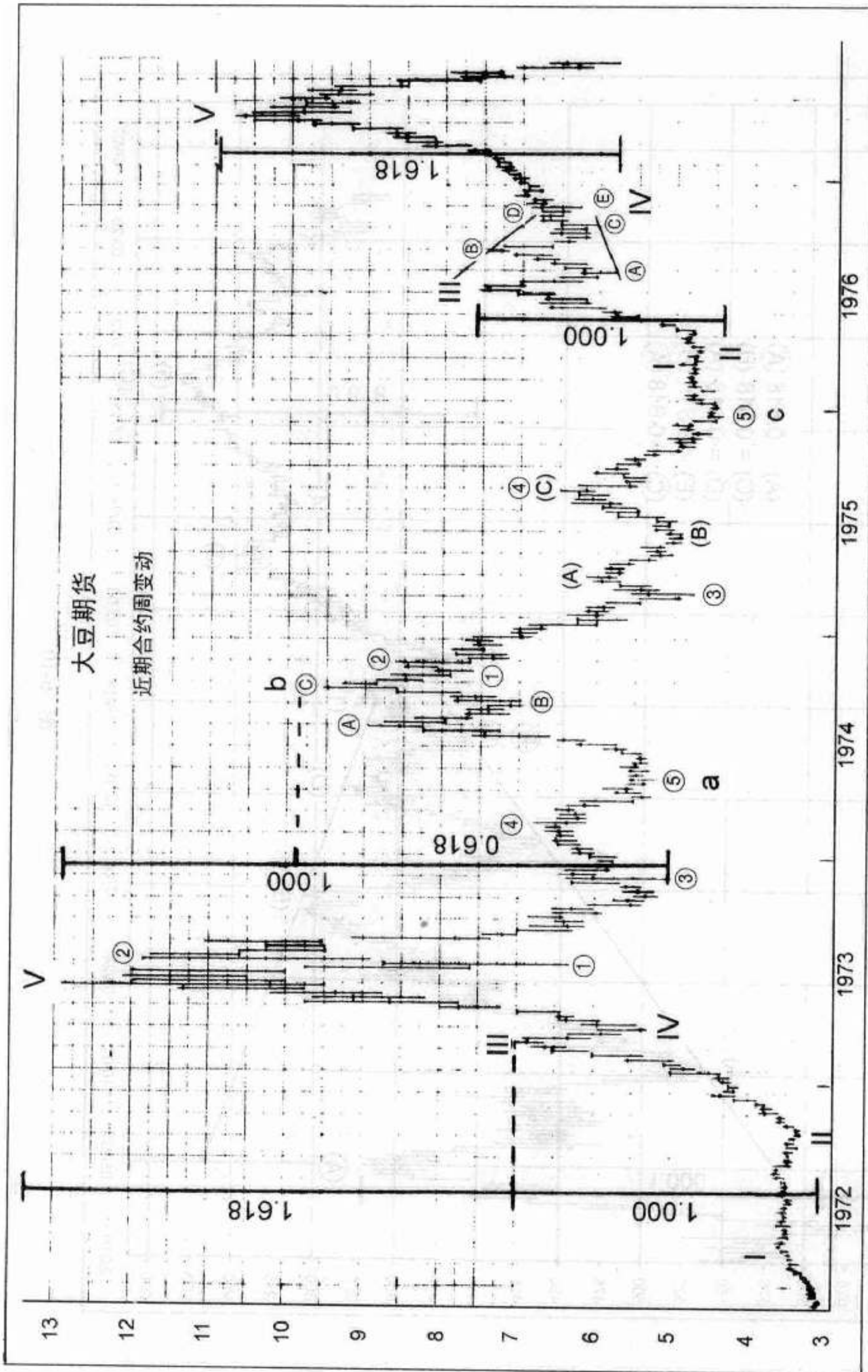


图 6-9

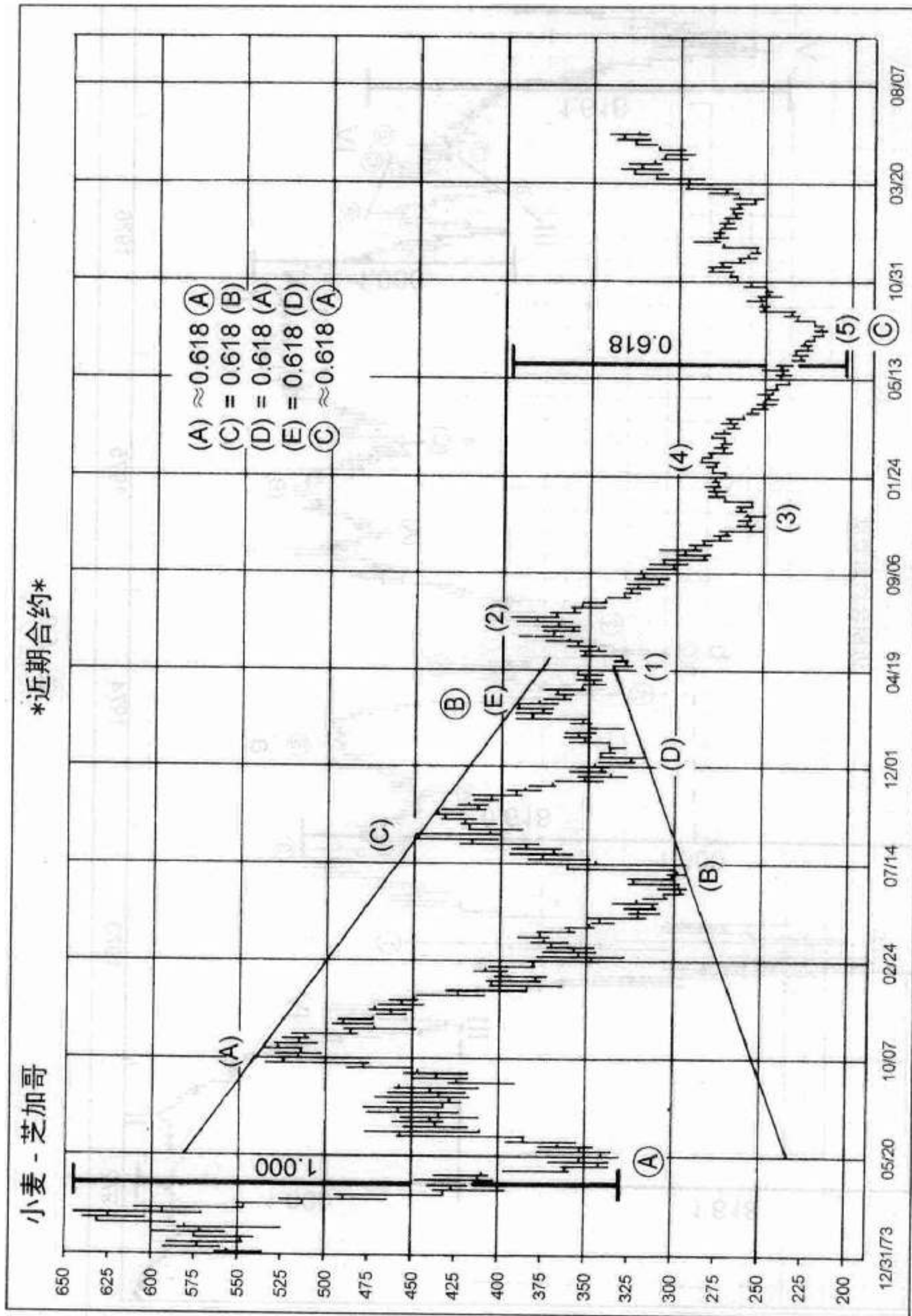


图 6-10

之后的4年里，期货市场以完美的内部相互关系，走出了艾略特①-②-③熊市。浪②是一个收缩三角形调整浪，这与在第2章和第3章中讨论的一样。5个接触点正好与趋势线边界相符。尽管未按通常的方式展开，但三角形的子浪发展反映了黄金螺线，因为每一腿都与另一个以斐波纳契比率相关 ($(C)=0.618(B)$; $(D)=0.618(A)$; $(E)=0.618(D)$)。在接近这次前进的末端发生了典型的“突破失败”，尽管这次它不是受浪(E)，而是浪③中的浪(2)的陪伴。此外，浪①的跌幅大约是浪②中的浪(A)的长度，以及浪③长度的1.618倍。

因此，我们可以证明商品有反映艾略特发现的宇宙秩序的性质。尽管看起来合理的期望是，一种商品的个性越独立，也就是说它越不是人类存在的必要组成部分，它就越不能可靠地反映一种艾略特模式。有一种商品总是和人类的灵魂紧密相连，这就是黄金。

黄金

在近几年中，黄金价格常常相对股票市场“反循环地”运动。金价从下跌后反转上升总是与股票市场转坏同时发生，反之亦然。因此，对金价的艾略特理论解读有时为道指中的一次预计的反转提供了支持性的证据。

1972年4月，美国政府将其长期存在的固定金价从35美元一盎司提高到了38美元一盎司，并于1973年2月再将其提高到42.22美元。这种为了货币交换目的由中央银行建起立的“官方”金价，以及20世纪70年代初的非官方金价的上升趋势，导致了所谓的“双轨”(two-tier)制。1973年11月，自由市场中不可避免的供需作用，废除了黄金的官方价格和双轨制。

黄金的自由市场的金价从1970年1月的每盎司35美元涨起，到达了

1974年12月30日的197美元一盎司的“伦敦固定价”(London fix)[⊖]顶峰。然后,金价开始下滑,并在1976年8月31日到达103.50美元的最低点。这轮下跌行情的基本面“原因”是所谓的前苏联抛售黄金,美国财政部抛售黄金,以及国际货币基金组织(International Monetary Fund, IMF)[⊕]拍卖黄金。此后,金价基本恢复元气,并再次上升。

尽管有美国财政部消除黄金货币角色的努力,以及影响黄金作为一种储值工具和交换媒介的高涨的情绪因素,但是它的价格仍然描绘出了清晰的艾略特模式。图6-11是一张伦敦黄金的走势,而且我们已在上面指出了正确的波浪标识。注意从自由市场的价格出发点上涨到1974年4月3日的179.50美元一盎司的最高点,是一个完整的五浪序列。1970年以前由官方维持的35美元一盎司的金价防止了波浪的构成,并因此帮助构造了必要的长期底部。从这个底部的有力突破,非常符合对一种商品最明确的艾略特数浪标准,而且走势清晰。

火箭式的五浪上升行情形成了几乎完美的波浪,它的第五浪正好在趋势通道(未显示)的上边界结束。各种商品的典型斐波纳契目标价位预测法在此得到了完美的体现,因为至浪③顶点的90美元的涨幅,为测量至正统顶部的距离提供了基础。 $90 \text{美元} \times 0.618 = 55.62 \text{美元}$,然后把它加在浪III顶点的125美元上,就得到了180.62美元。浪V顶点的实际价格是179.50美元,相当接近。还值得注意的是,179.50美元的金价刚好超过35美元的五(一个斐波纳契数字)倍。

⊖ 一般意义上的伦敦金价有两种:一种是指伦敦金属交易所(London Metal Exchange)的金锭交易价,收盘时间为伦敦时间下午4时30分;另一种是伦敦黄金定价(London Gold Fix),来自世界最大的几家投资银行——如詹姆斯·卡佩尔(James Capel)和罗斯柴尔德(Rothschild)——的代表,每天要在伦敦的一间密室里商定黄金价格,一天两次,分别制定出伦敦黄金上午定价(AM Fix)和下午定价(PM Fix)。伦敦黄金定价已经成为一种记录特定日期黄金价格的标准途径。——译者注

⊕ 成立于1945年12月,是一个旨在稳定国际金融体系的专业机构,主要任务是稳定国际汇率,消除妨碍世界贸易的外汇管制,在货币问题上促进国际合作,并通过提供短期贷款,帮助成员国解决在国际收支出现暂时困难时的外汇资金需要。——译者注

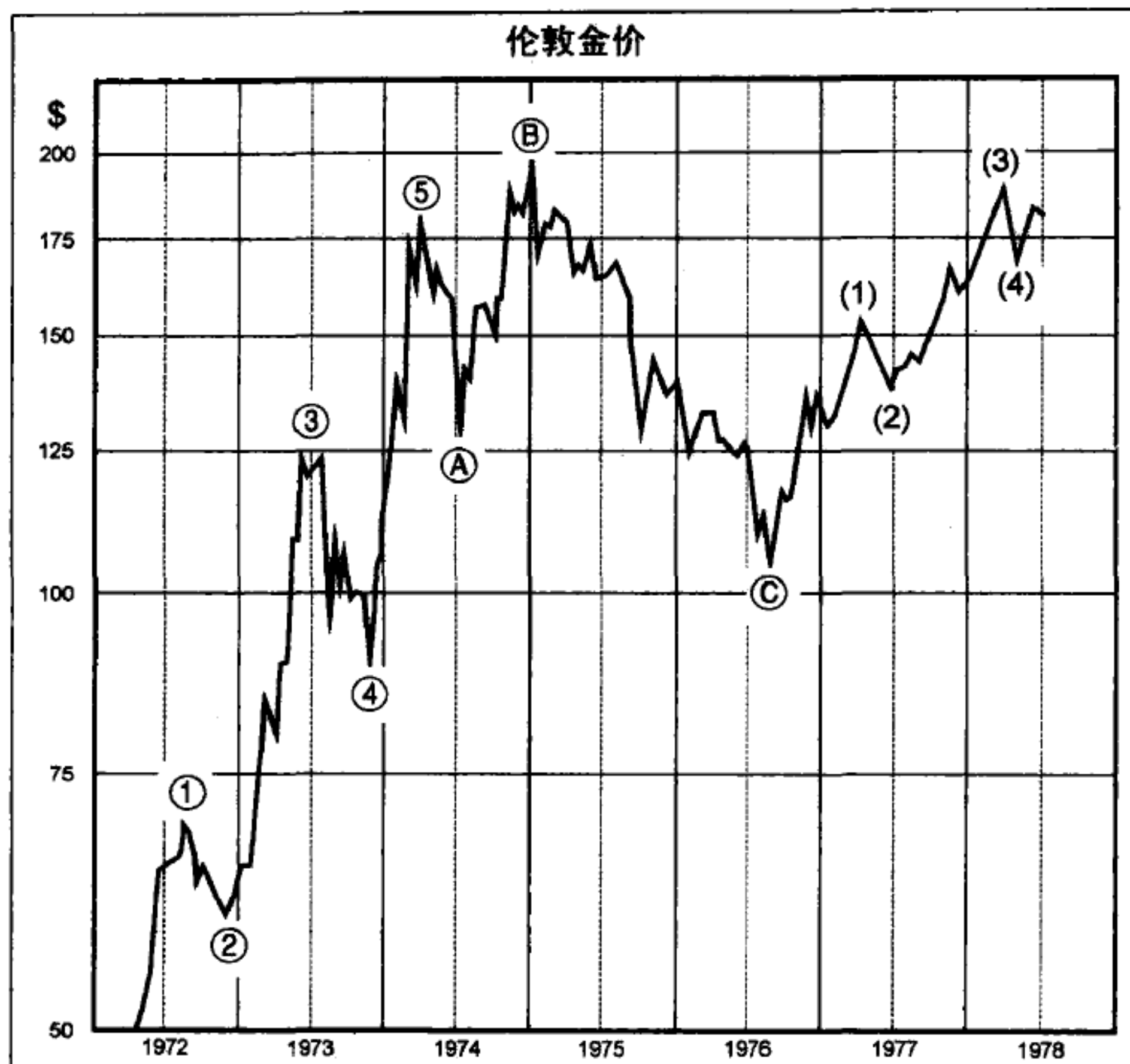


图 6-11

随后在1974年12月，在最初的浪①下跌之后，金价曾上涨到了接近200美元一盎司的历史天价。该浪是扩散平台形调整浪中的浪②，它沿着下通道线爬升，就像调整浪上升行情常常做的那样。因为与“B”浪的个性相适应，这轮上升行情的虚假性确定无疑。首先，众所周知，消息面对黄金来说看涨，因为美国的黄金持有合法化[⊖]从1975年1月1日开始生效。浪②以一种看似不合情理但又符合市场逻辑的方式，正好在1974年的最后一天见顶。其次，黄金开采股，无论是北美的还是南非的，都已明显

⊖ 美国国会于1974年8月14日通过的第93-373公法 (Public Law 93-373)，允许美国公民在美国境内购买、持有、出售或交易黄金。此前美国公民只能拥有黄金饰品。——译者注

表现不佳，这以拒绝印证假想中的牛市景象来预警麻烦的出现。

浪 ③ 是一场伴随着黄金股价值急剧下降的毁灭性跌势，这使某些股票回到了它们在1970年的起涨点。至于金锭的价格，作者曾在1976年初用通常的比率关系计算出，最低点的位置应该是98美元左右，因为浪 ① 的长度是51美元，乘以1.618，等于82美元，从正统的顶180美元减去82美元时，就给出了98美元的目标。这个调整浪的最低点正好处在先前小一浪级的第四浪的区域内，而且相当接近目标，它在1976年8月25日撞上了103.50美元的伦敦收盘价，该月正好是处于7月的道氏理论股票市场顶峰和9月略高的DJIA顶峰之间。

接下来的上升行情至今已描绘出了四个完整的艾略特波浪，并进入了第五浪，它应把金价推向历史新高。图6-12给出了从1976年8月的底部涨起的最初三浪的一幅近期图形，这里每一个上升浪都可以清楚地划分成一个五浪式的推动浪。在半对数刻度走势图，每一个上升浪还与艾略特趋势通道相符。这次上涨的坡度不如最初牛市上升的那样陡，最初的牛市是多年价格管制后的一次性爆发。目前的上涨很像是在反应美元的贬值，就其他货币而言，金价还没有接近它的历史最高点。

既然金价已经在正常的回退中保持在了先前的第四浪水平之上，那么这种数浪可能是一个几近完成的五浪序列，或是一个正在发展中的第三浪延长。这意味着一个高通货膨胀环境的到来，在这个环境中股票市场和商品将一同攀升，尽管对于这个问题我们没有提供明确的观点。但是，①-②-③扩散平台形调整浪意味着进入新高的下一浪的巨大推力。但不能忘记，商品可以形成包容的牛市，这种牛市不必发展成浪级不断增高的波浪。因此，谁也不必假定，黄金从35美元的最低点以来已经进入了一个巨大的第三浪。如果这轮上升行情按所有的艾略特规则形成了一个从103.50美元的最低点开始的清晰的五浪序列，那么它至少应当做一个暂时的卖出信号。无论如何，98美元的水平仍然应是任何重要下跌行情的极限。

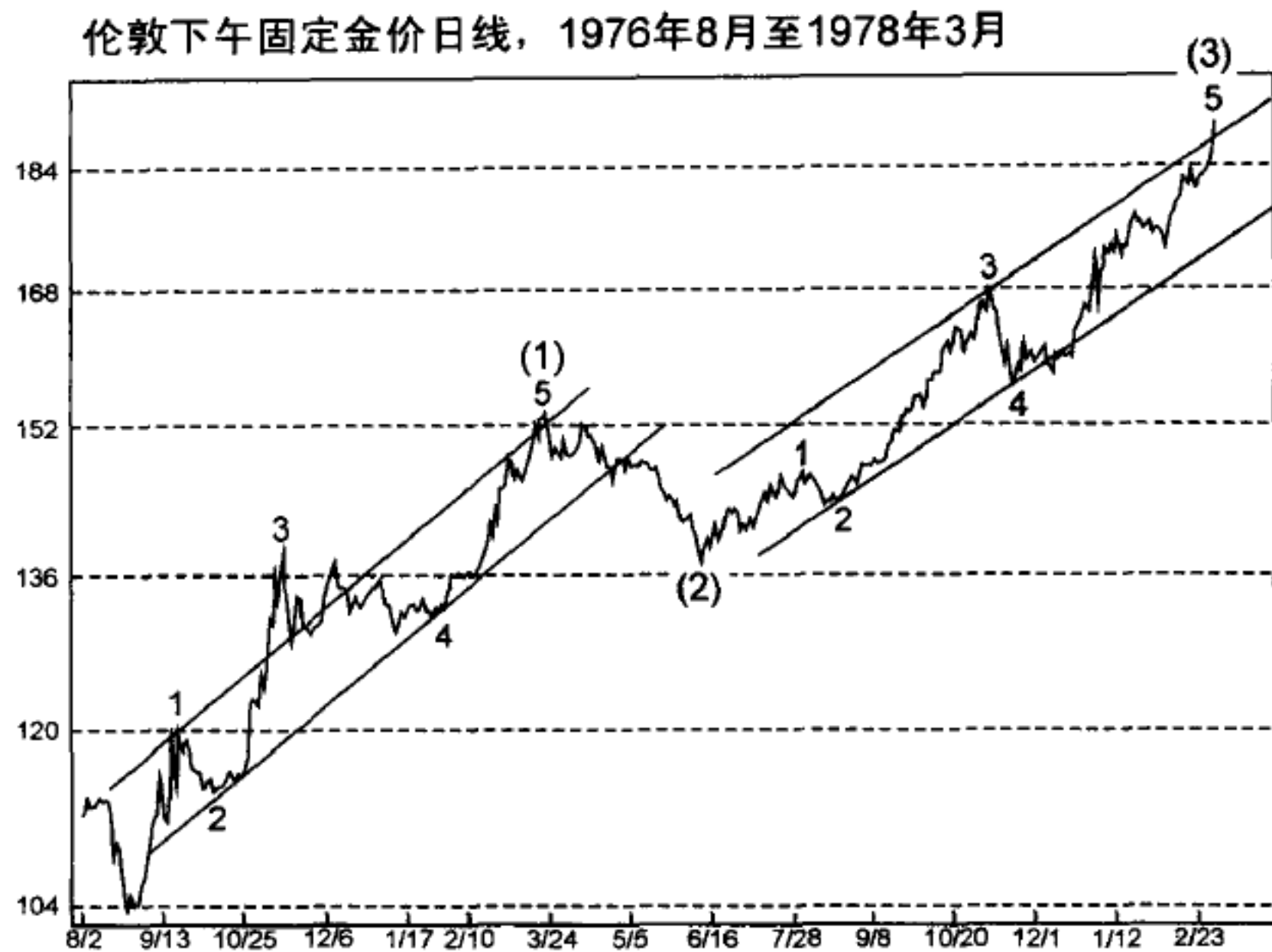


图 6-12

从历史上说，黄金是经济生活的依靠之一，有着功绩的可靠记录。它为世界提供了纪律。也许这就是政客们为了忽视它、谴责它，并试图使它不再作为货币而不知疲倦地工作的原因。但是，不知为何，政府看起来总是要在手中保持黄金储备“以防万一”。今天，作为一种旧日的遗迹，黄金虽然退居到了国际金融舞台的幕后，但它仍然是未来的先兆。有纪律的生活是富有成效的生活，而且这个概念适用于努力的各个层面，从土壤的耕种到国际金融。

黄金是历史悠久的储值工具，而且尽管金价可能长时间走平，但要拥有什么，黄金永远是好保险，直至世界的货币体系得到重建。这种发展看来不可避免，无论这种重建是通过设计还是通过自然的经济力量。作为储值工具，纸币绝不会取代黄金，这很可能是另一条自然法则。

第7章 Chapter7

股市的其他分析手段及其与波浪理论的关系

✓ 道氏理论

按查尔斯 H. 道的说法，市场的主要趋势是广泛性的、吞没一切的“潮流”（tide），这个潮流被“波浪”或次级反作用和反弹所打断。更小规模的运动是波浪上的“波纹”（ripple）。除非后者能形成一条线（定义为在5%的价格区间内至少持续三周的横走结构），否则通常无足轻重。这个理论的主要依据是运输股平均指数（前身是铁路股平均指数）以及工业股平均指数。道氏理论的顶尖倡导者威廉·彼得·汉密尔顿（William Peter Hamilton）、罗伯特·雷亚、理查德·罗素和E. 乔治·施佛（E. George Schaefer）进一步发展了道氏理论，但从未改动过它的基本原则。

正如查尔斯·道曾经观察到的那样，航标可以随着海水的涨落被冲到海边的沙滩上，以指明潮水的方向，这同用走势图来显示价格如何运动完全一样。由经验得出了基本的道氏理论原则，也就是既然两个平均指数都是同一个海洋的组成部分，那么一个平均指数的潮汐活动应与另一个的协调才可靠。因此，仅有一种平均指数在既成趋势中向新极点的运动，是一种被认为缺乏其他平均指数“印证”的新高或新低。

艾略特波浪理论与道氏理论有共同点。在上升的推动浪期间，市场应是一个“健康的”市场，有着广泛性以及印证了这种活动的其他平均指

数。当调整浪和终结浪在前进时，更可能出现背离，或称缺乏印证。道的追随者也发现了一轮市场上升行情中的三个心理“阶段”。自然地，既然两种市场分析方法都在刻画实际情况，那么道氏理论家对这些阶段的概括与我们在第2章中略述的艾略特的浪1、浪3和浪5的个性相符。

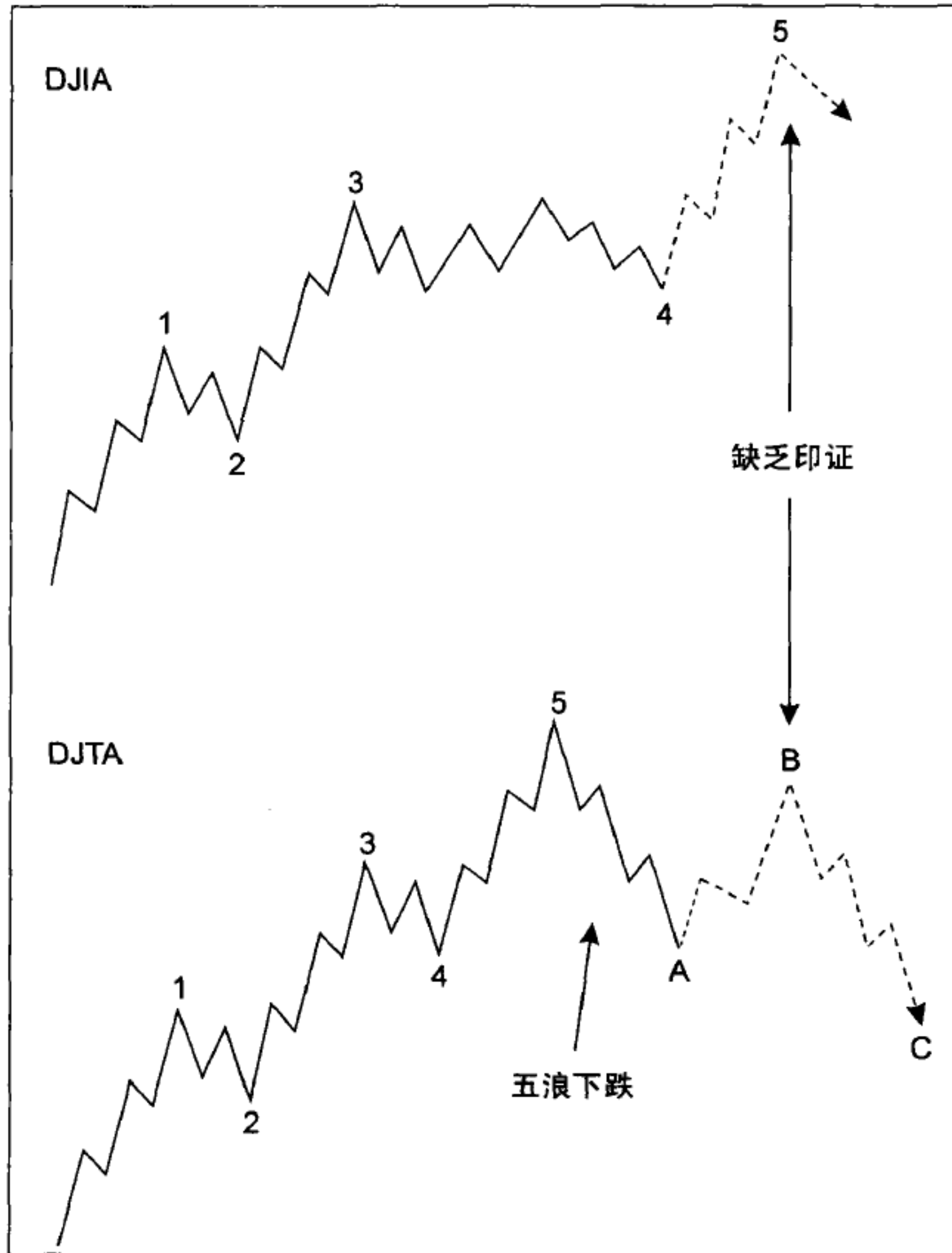


图 7-1

波浪理论证实了大部分道氏理论，但道氏理论没有证实波浪理论，因为

艾略特的波浪行为概念有一种数学基础，它只需要研判一种市场平均指数，而且根据特定的结构展开。然而，这两种手段都以经验主义的观察为基础，并在理论和实践上相辅相成。例如，平均指数的波浪数常常预警道氏理论家即将到来的缺乏印证。如图7-1所示，如果工业股平均指数已经走完了一个主要价格摆动中的四个浪以及部分的第五浪，而运输股平均指数仅是在一个锯齿形调整浪的浪B中反弹，那么缺乏印证就不可避免。实际上，这种类型的分析过程已经不止一次地帮助过作者。例如，在1977年5月，当运输股平均指数正在爬向新高时，先前工业股指数在1~2月间的五浪下跌行情清楚无误地说明，运输股指数的任何上升行情注定缺乏印证。

在事情的另一面，道氏理论中的缺乏印证常常能够警告艾略特理论分析师检查他的数浪，看看是否应期待反转。因此，一种手段的知识可以协助其他手段的应用。既然道氏理论是波浪理论的始祖，那么它的历史意义以及它在多年中恒定的表现都值得尊重。

“康德拉蒂耶夫波”的经济循环

中美洲的玛亚人和古以色列人，都各自懂得并观察到灾难和恢复的50~60年（平均54年）的循环。对这种循环的现代表达是俄国经济学家尼古拉·康德拉蒂耶夫（Nikolai Kondratieff）在20世纪20年代发现的经济趋势与社会趋势的“长波”。根据有限的的数据，康德拉蒂耶夫证明现代资本主义国家的各种经济循环往往重复一种持续半个世纪多一点的扩张与收缩循环。这些循环与波浪理论中的超级循环浪（有时是包含延长的循环浪）的规模相应。

由《大众金融周刊》提供的图7-2显示了18世纪80年代~2000年的康德拉蒂耶夫循环及其与零售价格的关系的理想化概念。注意，在图5-4的甚超级循环浪中，浪(I)的起点至1842年浪(II)中的浪a的最低点，大致描绘

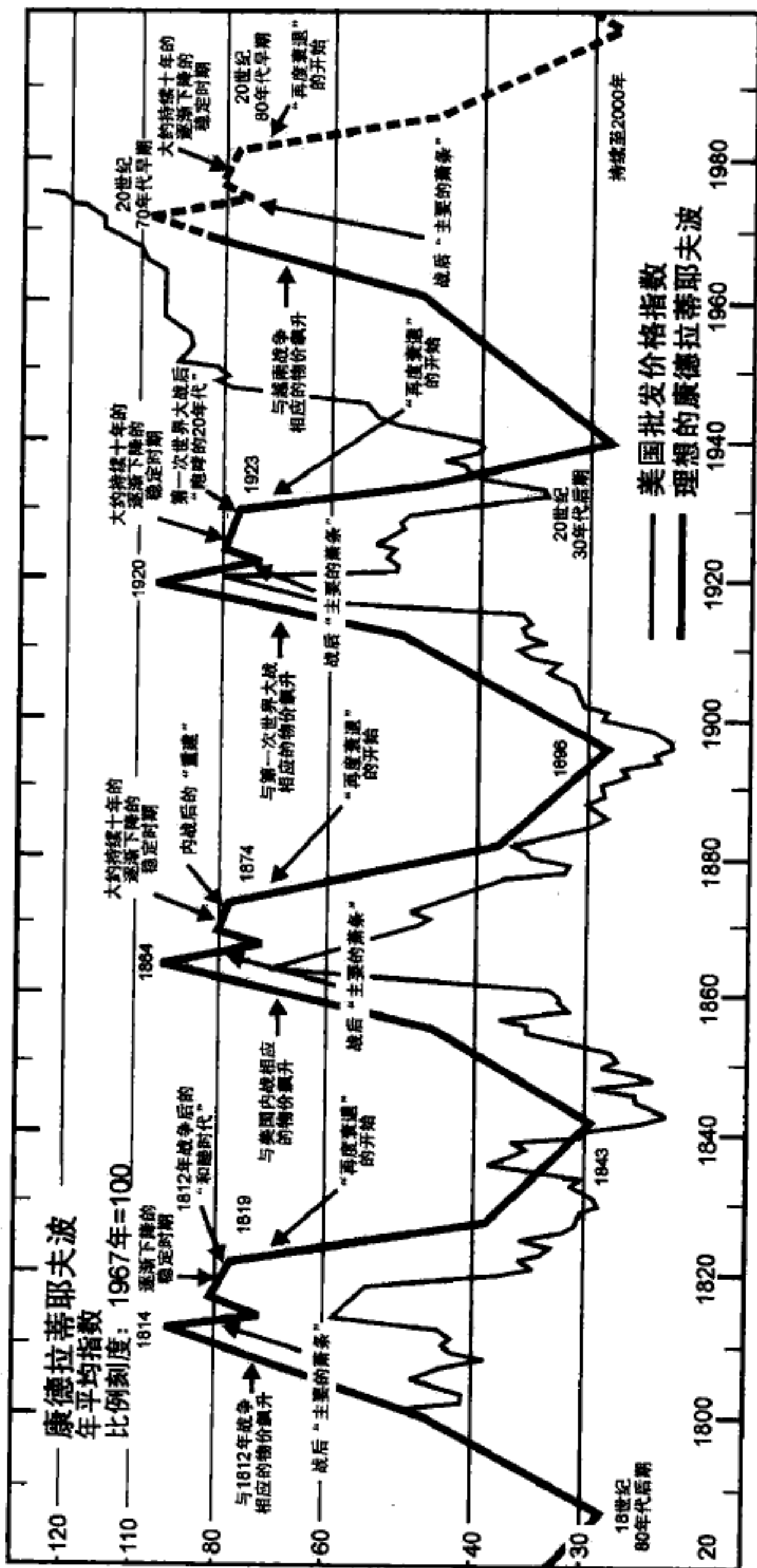


图 7-2

1983年4月6日的“特别报告”(见附录中的图A-8)识别出了上一次收缩(1949年)比这幅标准图解释来得晚,这相应地将所有的预测日期向未来推进。见《在潮浪的顶峰》中的附录B,以获得这幅图的更新。

出了一个康德拉蒂耶夫循环，而延长的浪(III)和浪(IV)描绘出了几乎两个康德拉蒂耶夫循环，而且我们目前的超级循环浪(V)将持续一个康德拉蒂耶夫循环的大部分。

康德拉蒂耶夫谈到“波谷”战争，也就是循环底部附近的战争，常常出现在经济将要从战时经济产生的价格刺激中得益时，这导致了经济复苏和价格上涨。另一方面，“波峰”战争通常发生在经济充分增长，而且因为政府用增加货币供应的惯用手段来支付战争开支，价格飙升的时候。在经济波峰后，大衰退出现了，其后是大约10年之久的无通货膨胀的“稳定状态”，此时相对安定和繁荣的时期归来了。这个周期结束之后是几年的通货紧缩和严重的萧条。

美国的第一个康德拉蒂耶夫循环始自伴随着革命战争 (revolutionary war)^① 的波谷，并在1812年战争^② 中达到波峰，然后是19世纪三四十年代萧条前的一段称为“和睦时期” (era of good feeling)^③ 的稳定状态时期。就像詹姆斯·舒曼 (James Shuman) 和大卫·罗斯纳奥 (David Rosenau) 在他们的著作《康德拉蒂耶夫波》 (The Kondratieff Wave) 中写到的那样，第二个和第三个循环也是以惊人相似的方式在经济和社会中展开，因为第二个稳定状态伴随着美国内战后的“重建” (reconstruction) 时期，而第三个则是指第一次世界大战后的“咆哮的20年代” (roaring twenties)。这种稳定时期通常支撑了表现良好的股票市场，尤其是20世纪20年代的稳定时期。那时咆哮的股票市场最终跟随着崩盘、大萧条 (great depression)^④ 和直至1942年的通货膨胀。

在我们研判康德拉蒂耶夫循环的时候，我们已经到达了另一次稳定状

① 1775~1781年，美国独立战争。——译者注

② 美国为了争夺加拿大南部的土地而同英国进行的战争。最终以两国于1814年12月24日在比利时北部城市根特签定的《根特合约》而告终。——译者注

③ 1815~1824年，美国国家主义盛行的年代。——译者注

④ 1929年年末~20世纪40年代初。现代工业史上最糟糕、最持久的经济崩溃。——译者注

态，这包括一个波谷战争（第二次世界大战）、一个波峰战争（越南战争）和一次大衰退（1974~1975年）。这个稳定状态应当再次伴随着相对繁荣的时期和强劲的股票牛市。根据这次循环的读数，经济应在20世纪80年代中期崩溃，然后是三或四年的严重萧条，以及发展到2000年波谷年的长期通货紧缩。这个情况与我们的预测完全一致，而且与我们的第五循环浪上升行情以及下一个超级循环浪下跌行情相应，正如我们在第5章中讨论的，以及在上一章中深入概括的那样。

循环

近些年，股票市场的“循环”分析法已经变得相当流行，因为投资者要寻找帮助他们应付短暂的、完全横盘的趋势的工具。这种方法的功效很大，而且在一个计谋老道的分析人士手中能成为一种出色的市场分析方法。不过，按照我们的观点，尽管它可以像其他许多技术分析方法那样在股票市场赚钱，但是“循环”法并未反映市场前进背后法则的真正实质。

不幸的是，就像艾略特波浪理论与道氏理论的结合，以及一两种曾繁殖出大批群众追随“所有牛市都有三条腿”的论点的相关方法，各种循环理论最近已经使许多分析人士和投资者对“四年循环”的观点深信不疑。有些解释看起来合乎情理。首先，任何循环的存在并不意味着在下半个循环里创新高是不可能的。测量总是从最低点至最低点，而无论期间的市场行为。其次，尽管四年循环在战后时期（大约有30年）已经显而易见，但那之前它存在的证据是无序而不规则的，这揭示了一种允许在任何时候有收缩、扩张、转变或消失的历史。

对于那些已经用循环分析方法获得成功的人，我们认为在预测循环长度的变化中，波浪理论可以是一种有效的工具，循环长度看起来时长时

短，事先的警告通常极少，甚至没有。例如，注意四年循环在目前超级循环浪的子浪II、III和IV中的大部分时候都十分明显，但在子浪I——1932~1937年的牛市——中以及此前的时期，就显得杂乱无序了。如果我们记得，一个五浪牛市运动中的两个较短的浪往往非常相似的话，那么我们可以推断，比起这个序列中的其他浪，目前的循环浪V应该与浪I（1932~1937年）更加相像，因为1942~1966年的浪III是延长浪，而且将与另外两个驱动浪不同。所以，目前的浪V应当是一个循环长度较短、结构更简单的浪，而且会使通常的四年循环突然收缩至三年半。换言之，在各种波浪中，循环会趋向时间恒定。然而，当下一浪开始时，分析人士应当警惕周期中的变化。既然我们相信循环理论家基于四和九年循环所做出的1978年和1979年大崩盘不会发生，那么我们想引用查尔斯 J. 柯林斯撰写的《艾略特的波浪理论——一份再评价》（*Elliott's Wave Principle——A Reappraisal*）中的话，该书于1954年由博尔顿-特伦布雷公司（Bolton, Tremblay & Co.）出版：

在循环理论家中，只有艾略特（尽管他卒于1947年，而其他的理论家还在世）提供了一种与战后时期（至少到现在为止）实际发生的情况一致的循环理论基本背景。

根据各种正统的循环方法，1951~1953年要在证券市场和商品市场中产生某种灾难，因为萧条正好在这个时期的中心。这个模式没有像预料的那样奏效很可能是一件好事，因为自由世界是否已从列入时刻表的，几乎同1929~1932年的下跌一样有摧毁力的下跌中幸存了下来还值得怀疑。

按我们的观点，分析人士可以在其验证固定循环周期的努力中无止境地前进，取得各种无足轻重的结果。波浪理论揭示出，市场反映出更多螺线的特性而不是圆的特性，更多自然的特性不是机械的特性。

消息

尽管大多数金融消息的作者都按时事解释市场行为，但很少有任何有价值的联系。市场上的大多数日子里都充斥着过剩的利多消息和利空消息，人们通常筛选这些消息，以找到对市场运动看似合乎情理的解释。在《自然法则》中，艾略特是这样评论消息的价值：

充其量，消息是对已经作用了一段时间的各种力量的迟缓认识，它只会使那些对趋势毫无意识的人大吃一惊。经验丰富、事业有成的交易者早就认识到，凭任何人的能力来研判任何有关股票市场的单一消息的价值是毫无作用的。没有哪个单一的新闻或一系列发展，能够当做任何持续趋势的内在成因。实际上，在很长一段时间里，相同的事件会有大相径庭的影响，因为趋势的环境已不可同日而语。对道琼斯工业股平均指数45年的记录的初略研究可以证明这个观点。

在那个时期，国王遇刺^①，还有战争、战争谣传、繁荣、恐慌、倒闭、新时代 (new era)、新政 (new deal)^②、“摧毁托拉斯” (trust busting)^③，以及各种有历史意义的和情绪化的事件接连出现。然而，所有的牛市都以同样的方式运动，而所有的熊市也表现出相似的特征，这些特征可以控制并衡量市场对任何消息以及总体趋势的分量长度和比例。这些特征可以评价并用来预测市场的未来活动，而无论消息如何。

有时会发生完全意想不到的事件，如地震。然而，不管吃惊的程度如何，看起来可以安全地得出结论：任何这种发展会很快结束，而

① 1914年6月，弗兰兹·斐迪南大公在萨拉热窝遇刺；1934年10月，巴尔都和南斯拉夫国王亚历山大在法国马赛遇刺。——译者注

② 美国总统弗兰克林·罗斯福 (Franklin D. Roosevelt) 在和平时期的一项国内计划，尤其是1933~1938年消除大萧条影响的革新手段。——译者注

③ 美国总统西奥多·罗斯福 (Theodore Roosevelt) 的“摧毁托拉斯”计划。——译者注

且不会逆转事件发生以前的既定市场趋势。那些将消息当做市场趋势成因的人，也许会在赌马中更加走运，而不是凭他们的能力来正确揣度重大消息的意义。因此，“看清森林”的唯一途径是站在环绕着的树木上面。

艾略特认识到，不是消息，而是其他什么东西形成了在市场中显而易见的模式。总的来说，要着重分析的问题不是消息本身，而是市场把或显得要把消息置于何等重要的地位。在乐观主义不断上升的时期，市场对一则消息的明显反应常常与市场处于下跌趋势时本会有的反应不同。在历史价格走势图上，标示艾略特波浪前进很简单，但以有记录的股票市场行为为基础，找出战争的爆发这种最惊人的人类活动却是不可能的。所以，与消息有关的市场心理有时是有用的，特别是当市场的反应与一个人的“通常”期望相反的时候。

我们的研究表明，消息不仅落后于市场，而且遵循完全相同的前进方式。在牛市的浪1和浪2期间，报纸头版报道的是会引起恐惧和忧郁的消息。基本面形势通常看上去糟糕透顶，因为市场新一轮升势的浪2要降至底部。有利的基本面在浪3期间回归，并在浪4的早期部分暂时达到顶峰。它们在浪5期间又开始分化，而且就像浪5的技术面，不如那些在浪3期间显现的消息令人难忘（见第3章中的“波浪个性”）。在市场的顶峰，基本面仍然是玫瑰色的，甚至更好，但市场对此无动于衷，转而下落。调整浪长驱直入之后，不利的基本面开始再次兴起。因此，消息，或称“基本面”，被一两个波浪从市场中暂时抵消。这种事件的并行前进是人类事物中的统一信号，而且往往印证了作为人类经验组成部分的波浪理论。

在解释时间差的努力中，技术分析人士认为市场“不理睬未来”，也就是市场实际上事先正确揣度了社会条件中的变化。这个理论原本是有

诱惑力的，因为在先前的经济发展中，甚至在社会政治事件中，市场显得在它们发生之前就感觉到了变化。然而，投资者是有洞察力的这种观点有些异想天开。几乎可以肯定，实际上人们的情绪状态和趋势，就像市场价格反映的那样，导致他们以最终影响经济统计和政治的方式行为，也就是制造“消息”。因此，总结我们的观点，对于预测来说，市场就是消息。

随机行走理论

在学术界，统计学家们已经建立了随机行走理论。这个理论认为，股票价格随机运动，而不是按照可预测的行为模式运动。根据这个理论，股票市场分析毫无意义，因为研究趋势、模式，或个别证券的内在强弱徒劳无获。

业余人士，无论他们在其他领域内多么成功，常常发现很难理解这种奇怪、“不合情理”、时而剧烈，以及看似随机的市场路径。学者是有头脑的人，因此为了辩解他们对预测市场行为的无能，他们中的有些人就断言这种预测是不可能的。许多事实驳斥了这种论断，而且并非所有的事实都是抽象的。例如，仅仅是那些每年要做出成百上千个甚至成千上万个交易决定的成功职业交易商的存在，就像那些努力在专业生涯中引领辉煌职业的投资组合经理和分析人士的存在那样，直截了当地否定了随机行走的观点。从统计上讲，这些业绩证明激发市场前进的力量并非随机的，或纯属巧合的。市场有其本性，而且有些人察觉到了这种本性，取得了成功。一个每周做出几十个决定，而且每周都赚钱的短线交易商，已经达到了比（在一个随机世界中）连续掷50次硬币而且每次落地时都是“正面”朝上的更小的概率。大卫·伯嘉米尼在《数学》中写到：

掷硬币是概率论中人人都尝试过的练习。要正面还是要背面是一种公平的赌博，因为每种结果的概率均是一半。谁都不能指望在每两次投掷中就有一次正面朝上，但投掷多了，结果就趋向平均。要连续50次正面朝上，就得让100万个人每分钟投掷十次硬币，每周40个小时，这样每九个世纪就会出现一次。

随机行走理论是如何脱离实际的一个迹象是从1978年3月1日的740点的最低点开始在纽约股票交易所交易的头89个交易日的走势图，如图2-16和随之的讨论。正如在那里以及在图5-5的超级循环浪走势图中证明的那样，在纽约股票交易所的活动并非没有韵律和原因地创造了一种凌乱无形的走势。时复一时，日复一日，年复一年，DJIA的价格变化创造了一连串的波浪，这些波浪可以分解并细分成与艾略特在40年前总结出的基本原则完美匹配的模式。因此，就像本书的读者会目击的那样，艾略特波浪理论在每个回合都对随机行走理论提出挑战。

技术分析

艾略特波浪理论不仅支持了走势图分析的有效性，而且它还能帮助技术分析人士判断哪个构造更可能有实际意义。因为，就像波浪理论，技术分析（正如罗伯特 D. 爱德华兹（Robert D. Edwards）和约翰·玛吉（John Magee）在他们的著作《股票趋势的技术分析》（*Technical Analysis of Stock Trends*）中说的那样）通常认为“三角形”构造是一种趋势内（Intra-trend）现象。“楔形”的概念同艾略特的倾斜三角形一样，并有相同的推断。旗形（Flag）和长条旗形（Pennant）是锯齿形调整浪和三角形调整浪。“矩形”通常是双重三浪或三重三浪。双头（double tops）通常是平台形调整浪引起的，而双底（double bottoms）则归因于衰竭的第五浪。

著名的“头肩形”（head and shoulders）模式可以用一种普通的艾略

特顶来识别 (见图7-3), 而一个“不能奏效”的头肩形模式可能包含艾略特理论中的扩散平台形调整浪 (见图7-4)。注意, 在两种模式中, 常常伴随头肩形构造的成交量萎缩, 是一种与波浪理论完全兼容的特征。在图7-3中, 当波浪属于中浪级或更小的浪级时, 浪3将有最大的成交量, 浪5的小一些, 而浪B的通常更小。在图7-4中, 推动浪将有最大的成交量, 浪B的通常小一些, 而浪C中的第四浪的成交量最小。

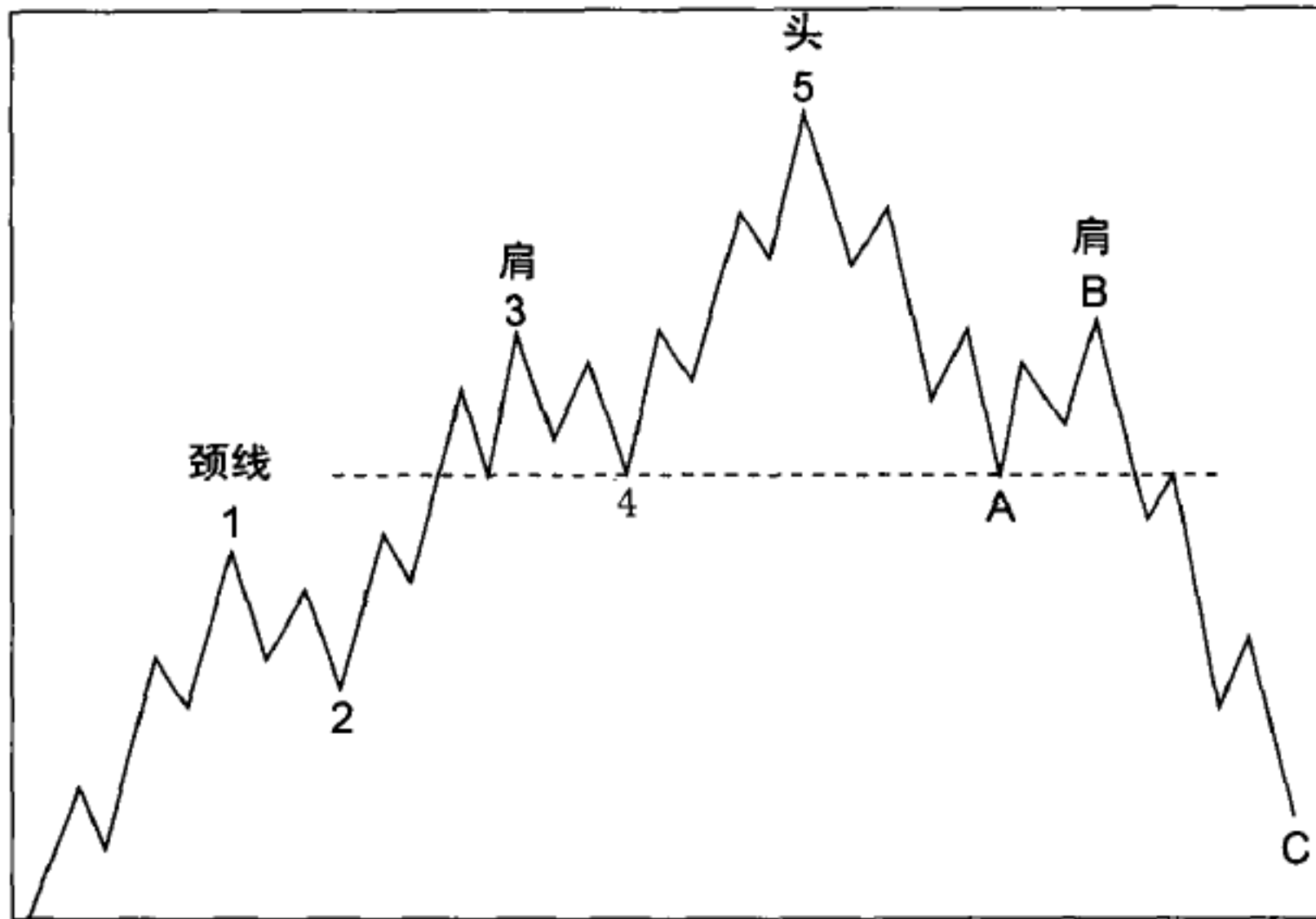


图 7-3

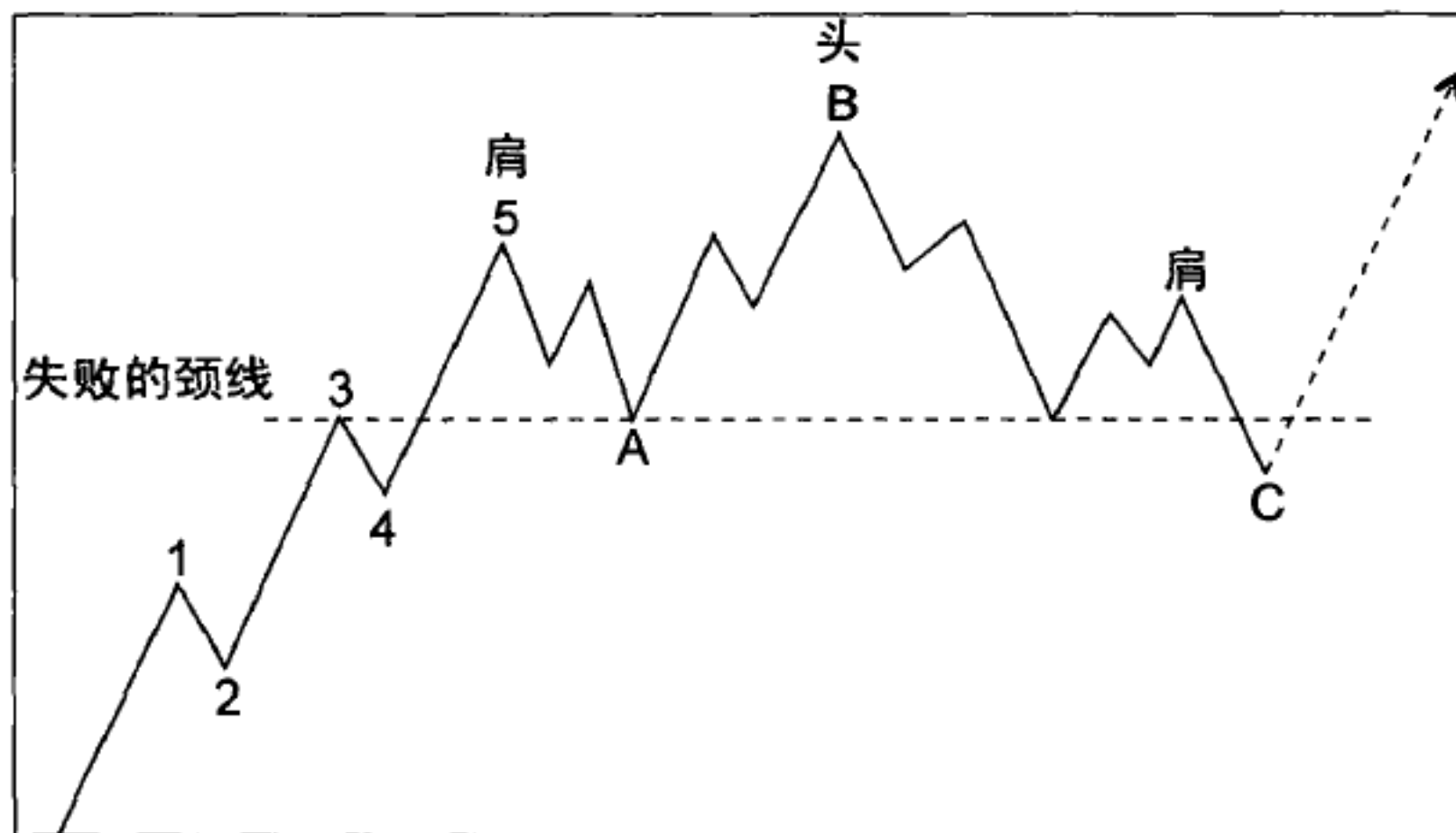


图 7-4

在两种手段中，趋势线和趋势通道的运用非常相似。支撑和阻力现象在普通的波浪前进和熊市的极限（第四浪的密集成交区域（congestion）是对后来的下跌行情的支撑）中显而易见。大成交量和挥发性（缺口）是“突破”的明显特征，它通常伴随着第三浪，正如在第2章中讨论的那样，第三浪的个性最适合。

尽管有这种兼容性，我们在使用波浪理论数年后还是发现，将经典的技术分析应用于股票市场平均指数给我们的感觉是，我们是在现代技术时代约束自己使用石器。

那些被称为“指标”（indicator）的技术分析工具，常常在判定和印证市场的动量状态或通常伴随每种类型波浪的心理背景中极为有用。各种投资者心理指标，如那些跟踪卖空、期权交易和市场观点民意测验的指标，在C浪、第二浪和第五浪的终点达到最高水平。动量指标揭示了第五浪以及扩散平台形调整浪中的B浪中的逐渐衰退的市场力量（也就是价格变化的速度，广泛性以及较小浪级中的成交量），这创造了“动量背离”。既然一个个体技术指标的效用会因为市场机器的变化而变化或消失，我们极力建议将它们用来协助正确计数艾略特波浪，而不是完全依靠它们，以至于忽略了明显预示的波浪计数。实际上，波浪理论中的指导方针有时已经暗示了一种市场环境，它使暂时的交替或某些市场技术指标的无能可以预测。

✓ “经济分析”手段

当前在机构基金经理和顾问中极为流行的是试图通过预测经济的变化来预测股票市场，这种方法使用利率趋势、典型的战后商业循环行为、通货膨胀率和其他标准。我们认为，不倾听市场本身而试图预测市场，注定要失败。按说，相比用经济预测市场，市场是经济更可靠的预测者。

而且，用历史的观点来看，我们强烈地感觉到，尽管各种经济条件在一段时期内会通过某种途径与股票市场相联系，但这些关系似乎“不宜而变”。例如，有时一场衰退从熊市的起点附近开始，而有时直到熊市的终点才出现。另一个不断变化的关系是通货膨胀或通货紧缩的显现，它们中的每一个在某些情况下对股票市场显得看涨，而在其他情况下又显得看跌。相似地，资金紧张的忧虑使许多基金经理从1978年至今待在场外，就像缺乏同样的忧虑使他们在1962年的暴跌期间不断投资一样。不断下降的利率常常伴随着牛市，但也伴随着非常糟糕的市场下跌，如1929~1932年的那样。

艾略特认为波浪理论是人类努力的所有领域中，甚至是专利申请频率领域中的证明，同时已故的汉密尔顿·博尔顿特别指出，波浪理论在传达回溯至1919年的货币趋势变化中非常有用。沃特 E. 怀特在他的著作《股票市场中的艾略特波浪》(*Elliott Waves in the Stock Market*)中也发现，波浪分析在研判货币数值的趋势中非常有用，正像这段节录指出的那样：

在最近几年，通货膨胀率一直是一种对股票市场价格非常重要的影响。如果绘制消费者价格指数（从一年前开始）的百分比变化，那么1965年~1974年年末的通货膨胀率就表现为一个艾略特式的1-2-3-4-5波浪。一个与前一个战后商业循环不同的通货膨胀循环已经从1970年起开始发展，而且未来的循环发展尚未可知。然而，波浪在指出转折点时很有用，如在1974年年末那样。

在许多不同系列的经济数据中，艾略特波浪理论的概念对判定转折点很有用。例如，怀特说的“趋向于领先股票市场转点”的银行自由准备金净值 (net free banking reserve)^①，在1966~1974年的大约8年中实质上是负的。1974年年末的五浪下跌的终点暗示了一个主要的买入点。

^① 超额准备金 (excess reserve) 与成员银行在美国联邦储备银行借款的差值。——译者注

作为验证波浪分析在货币市场 (money market) [⊖] 中的效用, 我们在图7-5中出示了一幅2000年到期的, 年利率为 $8\frac{3}{8}$ 的美国长期国债 (U.S. Treasury Bond) [⊗] 的长期价格波浪计数。甚至在这个九个月的价格模式中, 我们也看到了对艾略特过程的反映。在这张走势图上, 我们三个交替的例子, 因为每个第二浪都与每个第四浪交替, 如果一个锯齿形调整浪, 那么另一个就是平台形调整浪。上趋势线包容了所有的反弹。第五浪形成了一个延长浪, 它本身就包含在一个趋势通道中。在当前的研判阶段, 几乎是一年中最佳的债券市场反弹很快就要出现。

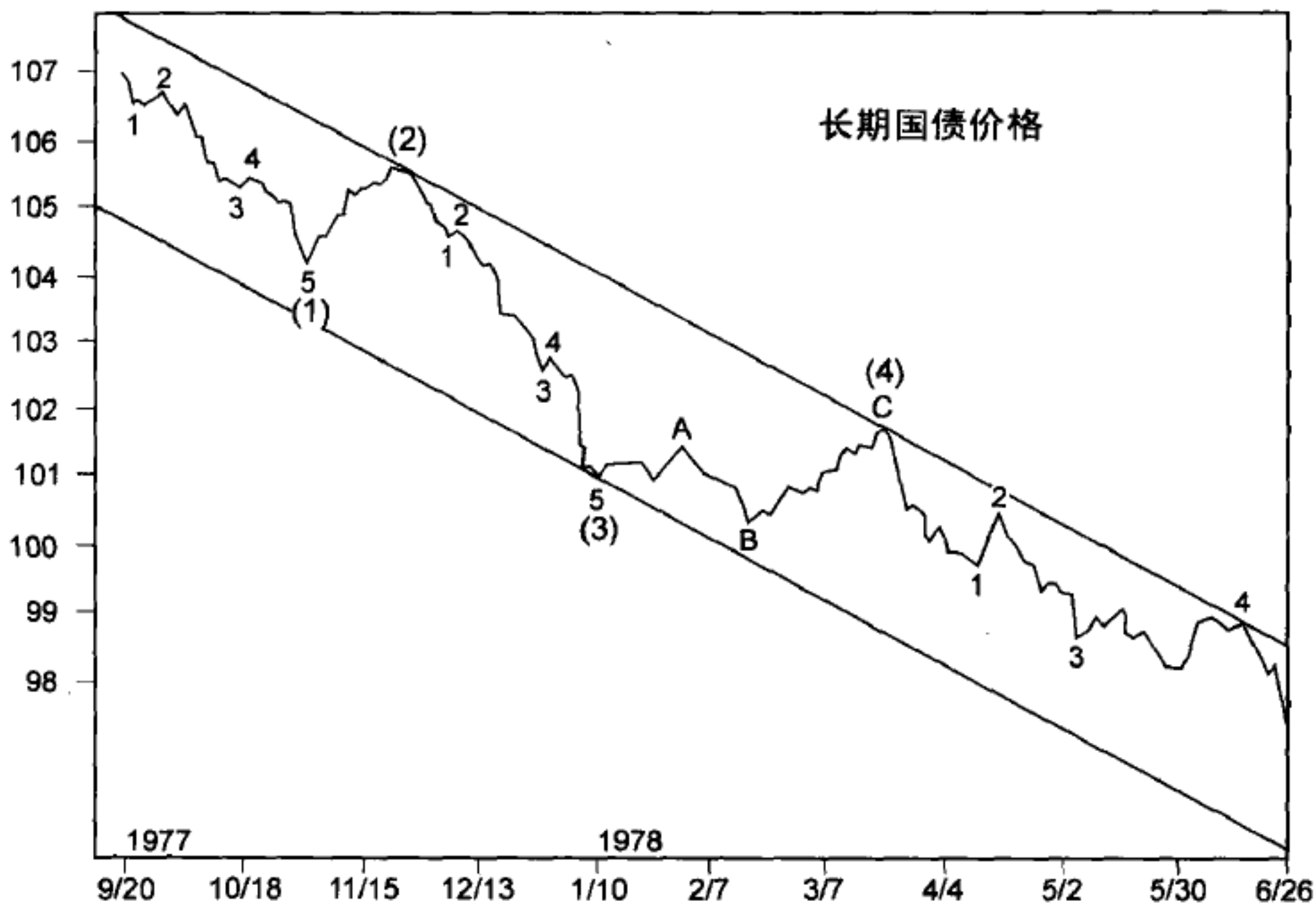


图 7-5

因此, 尽管货币现象会以复杂的方式与股票价格相关, 但我们的经验

⊖ 买卖短期 (一年以下) 的政府、公司和金融组织发行的债务证券的市场。货币市场的主要交易品种有: 国库券、商业票据、银行承兑票据和可转让定期存单。——译者注

⊗ 到期日为10年或更久的国债。——译者注

是，这种价格运动总是创造出艾略特模式。显然，影响投资者管理他们的投资组合的东西，很可能也在影响银行家、商人和政治家。当各种活动水平上的力的相互作用数不胜数、相互缠绕的时候，我们很难区分出哪个是结果，哪个是成因。作为一种大众心理的反映，艾略特波浪在所有类别的人类行为中扩展它们的影响。

✓ 外生的力量

我们并不拒绝这种想法，也就是外生的力量可能正在触发人类尚未理解的循环和模式。例如，多年来，一些分析人士一直怀疑太阳黑子的频率与股票市场价格之间有一种联系，因为电磁辐射的变化会影响人们的群体心理，包括投资者的心理。1965年，查尔斯 J. 柯林斯曾发表过一篇文章，题为“一项太阳黑子活动对股票市场影响的调查”（*An Inquiry into the Effect of Sunspot Activity on the Stock Market*）。柯林斯说，自1871年起，大熊市通常会在太阳黑子活动超出某个水平的年份之后出现。最近，R. 伯尔（R. Burr）博士在他的《生存的蓝图》（*Blueprint for Survival*）中报告说，他已经发现了地球物理循环与行星电势变化之间的一种密切联系。几项研究已经指出，电离子和宇宙射线在大气中的撞击变化会对人类行为造成一种影响，电离子和宇宙射线或许又受月球和行星循环的控制。实际上，一些分析人士曾利用明显影响太阳黑子活动的行星直线排列，成功地预测了股票市场。1970年10月，《斐波纳契季刊》（由美国加州的桑塔·克拉拉大学（Santa Clara University）的斐波纳契协会（The Fibonacci Association）发行）曾发表过里德硕士（B.A. Read）的一篇论文，他是美国陆军卫星通讯署（U.S. Army Satellite Communications Agency）的一名上尉。这篇题为“太阳系中的斐波纳契级数”（*Fibonacci*

Series in the Solar System) 的论文认为, 行星的距离和周期服从斐波纳契关系。与斐波纳契数列的相关说明, 股票市场行为与影响地球生命的地球之外的力量之间, 可能不只是一种随机的联系。然而, 我们目前满足于假设, 社会行为的艾略特波浪模式源自于人类的精神和情绪天性, 以及在各种社会环境中他们的行为倾向。如果这些倾向因外生的力量而触发, 或受其约束, 那么有人将会证实这种联系。

第 8 章 Chapter8

艾略特演说

下一个十年

尽管试图对股票市场做出“不可能的”长期预测相当危险，但如果只是根据波浪理论证明我们用来分析市场位置的方法，那么我们决定冒这个险。这种风险在于这个问题，也就是如果我们的想法在今后几年中随股票市场有所变化，这本书介绍的分析仍然维持原样，而这种分析是基于我们在1978年7月月初的知识。我们仅能希望我们的读者不会因为一个相当大胆的预测碰巧没有奏效，而彻底地拒绝接受波浪理论。有了在开头叙述的保留意见，我们直接进行我们的分析。

按艾略特的说法，从1932年开始的超级循环浪级的牛市运动已经在运行之中。目前，市场处在一个循环浪级的牛市阶段，它依次将由五个大浪级的波浪组成，而其中的两个很可能已经结束。从这幅长期画面中已经可以得出几个结论。首先，至少在未来几年中，很可能是在20世纪80年代早期或中期以前，股票市场不应发展成一个类似于1969~1970年或1973~1974年那样的熊市下跌摆动。其次，“次级公司”股票应当是整个循环浪V期间的领涨股（但比它们在循环浪III中的程度低）。最后，也许是最重要的，这个循环浪不应发展成1942~1966年类型的稳定的、持续的牛市，因为在一个任何浪级的波浪结构中，通常只有一个波浪发展成

为延长浪。所以，既然1942~1966年是一个延长浪，那么目前的循环浪级牛市就应该像1932~1937年和1921~1929年的市场那样，有一种更简单的结构和更短的持续时间。

因为DJIA处于运动至今的持续下跌趋势中，普遍存在的悲观情绪已经产生了几种歪曲了的“艾略特”波浪研判，认为会从仅仅是大浪级的第二浪调整中诞生出一场毁灭性的跌势。通过歪曲艾略特的理论，有人竟然已经预测出在不久的将来，DJIA会跌破200点。对于这种分析，我们只能引用汉密尔顿·博尔顿在《银行信用分析家》1958年的《艾略特波浪副刊》的第12页上说过的话：

无论市场何时进入熊市阶段，我们总会发现认为“艾略特理论”能被研判来证明低得多的市场的记者们。尽管“艾略特理论”可以用相当大的自由度来研判，但是它仍不能完全从前后关系中扭曲。换言之，就像在业余选手对职业选手的曲棍球赛上，你可以改动一些规则，但你必须坚守基本的规则，否则你就是处在创造一种新游戏的危险之中。

正如我们看到的，可以接受的最看跌的研判是，循环浪IV还没有结束，而且这最后一浪下跌仍在前进之中。即使考虑这种情况，最大的预期最低点是DJIA的520点，也就是1962年浪④的最低点。然而，根据我们已经在图5-5中构建的趋势通道，我们判断出现这种情形的概率极小。

基本上，两种可能的研判目前都展示了它们自己。某种证据暗示了一个巨大的倾斜三角形结构（见图8-1），可能完全由乱窜型的摆动和持续介入的下跌行情构建。既然1975年10月的最低点784.16点已经在1978年1月被跌破，这留下了一个可能是三浪的大浪级上升行情，那么这个倾斜三角形看起来是一种相当可行的循环浪级的牛市情形，因为在倾斜三角形中，每一个作用浪都由三个浪而不是五个浪构成。仅因为这个从1974年

12月开始的循环浪是超级循环浪中的第五浪，一个巨大的倾斜三角形才可能正在形成。既然倾斜三角形实质上是一种弱势结构，那么如果这种情况真的出现，我们的极限上升目标可能不得不要降到1700点的区域。时至今日，DJIA相比市场的其他部分糟糕至极的表现像是支持这种论点。

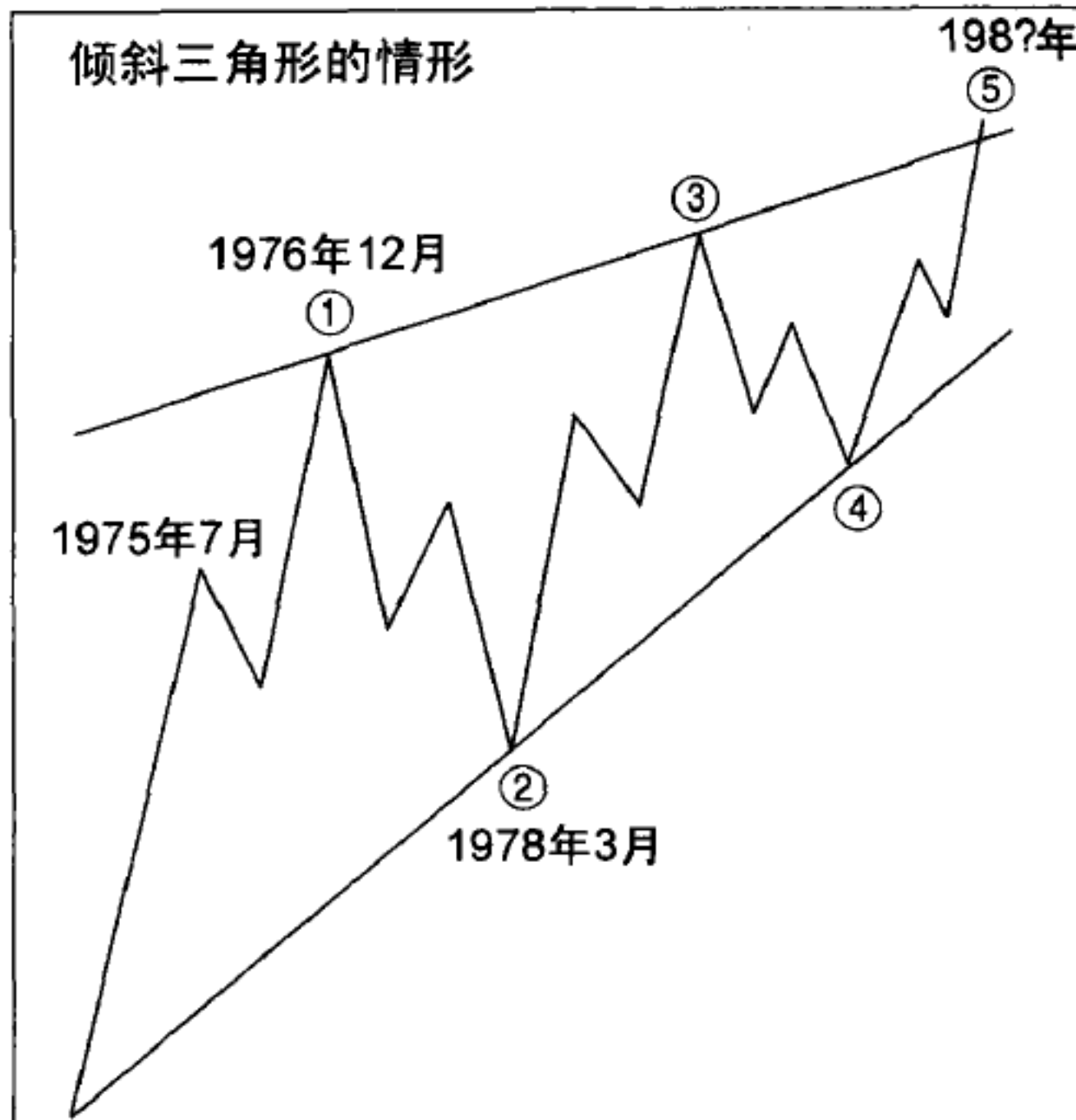


图 8-1

对倾斜三角形情形最可信的替代方案是，1975年7月~1978年3月的所有市场活动，是一个与1959~1962年的市场模式相似的，巨大的A-B-C扩散平台形调整浪。这种研判在图8-2中得到解释，而且暗示着一个非常强劲的向上冲击会出现。如果这种研判结果是正确的，那么我们的目标应当能够轻易到达。

我们对道指的价格预测出自这个原则，也就是一个五浪序列中的两个推动浪，尤其当第三浪是延长浪的时候，倾向等长。对于目前的循环浪来说，与1932~1937年的浪I半对数（百分比）等长，将市场正统的最高点推向2860点左右（用正好相等的371.6%的涨幅，是2724点），这是一个

相当合理的目标，因为趋势线的投射暗示了2500~3000点区域内的最高点。对于那些认为这些数字高得离谱的人，检验一下历史将证明市场中这样的百分比运动并非不同寻常。

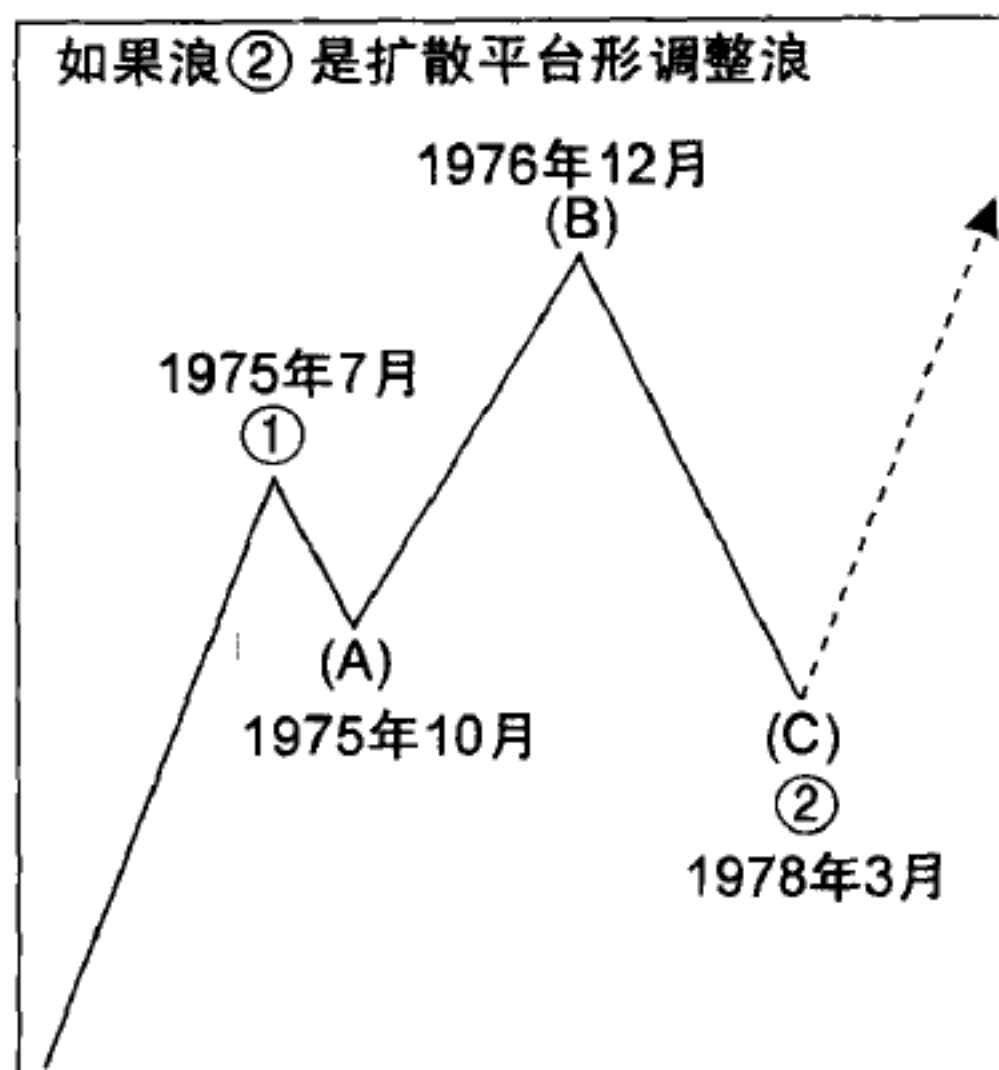


图 8-2

这是一个有趣的对照，就像道指在20世纪20年代的大牛市——上一个第五循环浪——以前在100点的水平下“工作”了九年那样，道指现已结束了在1000点的水平之下的13年工作。而且，正如根据艾略特的研判1928年道指的正统顶峰在296点那样，下一个顶峰估计也会出现在同样的相对水平上，尽管一个扩散平台形调整可能暂时将平均指数带至更高的地方。我们预计终点可能接近上超级循环通道线。如果有翻越，那么随后的反作用可能令人窒息地迅速。

如果在图8-2中介绍的对目前市场状态的研判是正确的，那么1974~1987年的市场前进的画面可能就是通过将1929~1937年这个时期的倒置图形接在最近1978年3月的最低点740点上构建的，就像我们在图8-3中做的那样。这幅图面只是这种轮廓的暗示，但它确实提供了第五浪延长的五个大浪。交替规则得到了满足，因为浪②是平台形，而浪④是锯齿形。

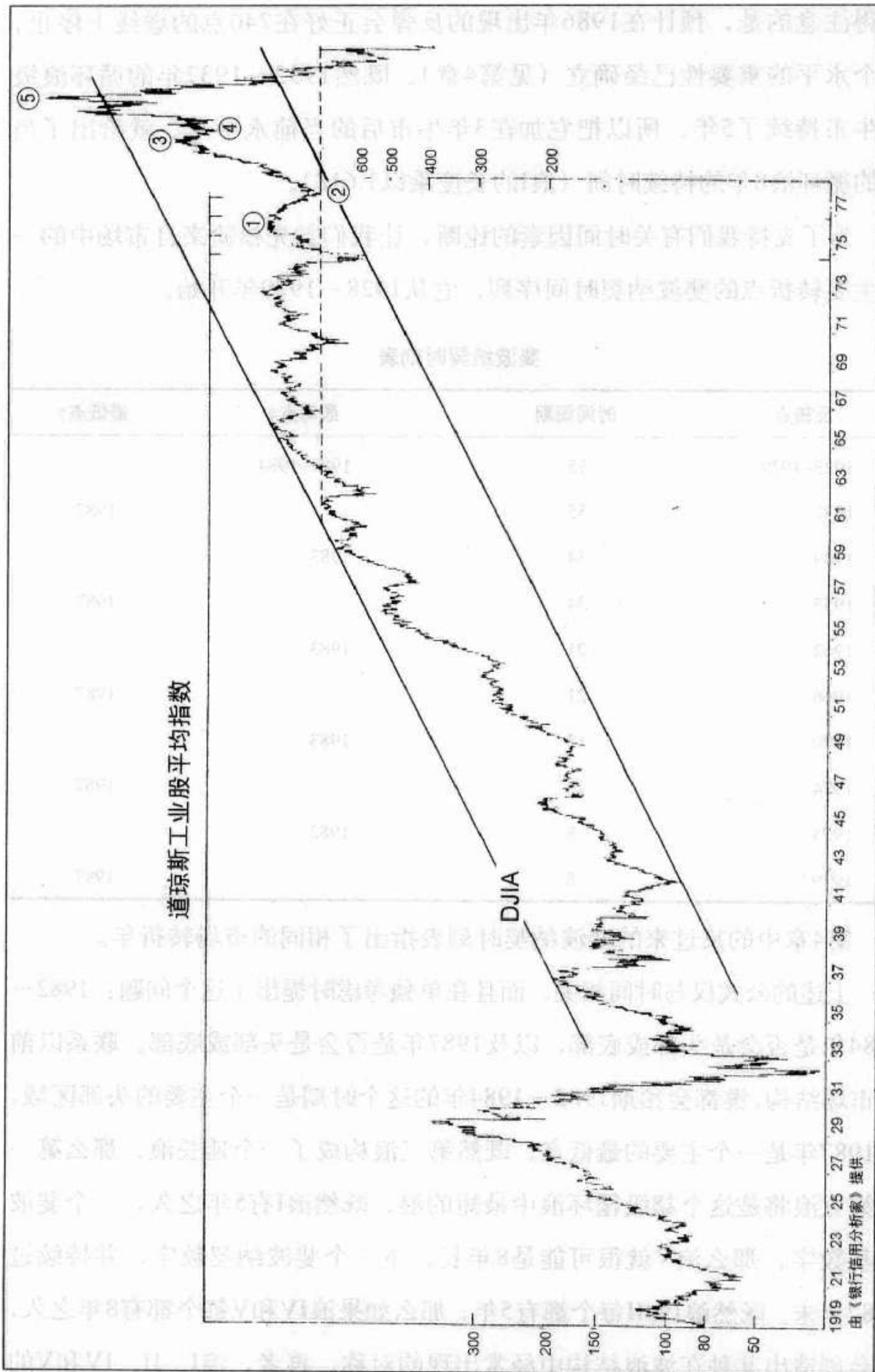


图 8-3

值得注意的是，预计在1986年出现的反弹会正好在740点的虚线上停止，这个水平的重要性已经确立（见第4章）。既然1932~1937年的循环浪级的牛市持续了5年，所以把它加在3年牛市后的当前水平上，就给出了当前的循环浪8年的持续时间（浪I的长度乘以1.618）。

为了支持我们有关时间因素的论断，让我们首先检验来自市场中的一些主要转折点的斐波纳契时间序列，它从1928~1929年开始。

斐波纳契时刻表

反转点	时间周期	最高点?	最低点?
1928~1929	55	1983~1984	
1932	55		1987
1949	34	1983	
1953	34		1987
1962	21	1983	
1966	21		1987
1970	13	1983	
1974	13		1987
1974	8	1982	
1979?	8		1987

第4章中的反过来的斐波纳契时刻表指出了相同的市场转折年。

上述的公式仅与时间相关，而且在单独考虑时提出了这个问题：1982~1984年是否会头部或底部，以及1987年是否会头部或底部。联系以前的市场结构，谁都会预期1982~1984年的这个时期是一个主要的头部区域，而1987年是一个主要的最低点。既然第三浪构成了一个延长浪，那么第一和第五浪将是这个超级循环浪中最短的浪，既然浪I有5年之久，一个斐波纳契数字，那么浪V就很可能是8年长，下一个斐波纳契数字，并持续过1982年末。既然浪I和II每个都有5年，那么如果浪IV和V每个都有8年之久，就会创造出某种在波浪结构中经常出现的对称。再者，浪I、II、IV和V的

时间长度的总和，将因此几乎等同于延长的第三浪的整个时间。

推断1982~1984年的区域很可能是当前超级循环浪V的终点区域的另一个证据纯粹是算术上的。在包含目前超级循环浪的价格行为的趋势通道内的上升行情，应当在1983年左右在我们的接近2860点的价格目标处到达上平行线。

我们还可以从在图4-17中显示的贝纳—斐波纳契循环图中获得某种额外的视角，正如我们证明的那样，它曾相当成功地用来预测1964~1974年的广泛性的股票市场运动。至少眼下，贝纳的理论像是支持我们对未来的推断，因为此时它明确指出了1983年的最高点和1987年的深深的最低点。然而，尽管我们期待这种预测在下一个十年站得住脚，就像其他所有循环公式那样，但它很可能在下一个超级循环下跌行情中失效。

甚至我们曾在第7章中讨论的由尼古拉·康德拉蒂耶夫发现的54年经济循环说明，与1933年大萧条的深渊相距54年的1987年，很可能处于某种股票市场的底部合理时期，尤其是如果目前的稳定时期产生了足够的乐观情绪，使那年以前的股票市场非常强劲。我们对出现在目前或1979年的“杀伤浪”的异议之一是，正如大多数循环理论家认为的那样，普通投资者的心理状态不像是对失望的冲击泰然自若。大多数重要的股票市场暴跌出自于乐观主义的、价值高估的时期。目前这种条件绝对不占上风，因为延续了八年之久的熊市已经教会了今天的投资者小心翼翼、谨慎保守和愤世嫉俗。防守在头部并非显而易见。

那么，下面是什么？我们到了另一个1929~1932年的混沌时期吗？

1929年，因为买气退缩，“气囊”（air pocket）[⊖]曾在市场结构中发展，所以市场骤降。一旦情绪的浪潮占支配地位，那么金融界领袖们竭尽全力也不可能阻止恐慌。在过去的两百年里发生的这种性质的形势，通常跟随着在经济和市场中出现的三四年的混沌环境。在过去的50年里我们没见过

⊖ 俚语，指某个股票的走势极弱。——译者注

一次1929年时的形势，尽管希望它永不出现，但历史另有暗示。

事实上，市场条件的四种基本变化可能是未来某个时候的一场实际恐慌的部分基础。第一是日益增强的机构对市场的控制，这极为扩大了一个人的情绪对市场行为的冲击，因为几百万甚至几十亿美元的资金会处在一个人或一个小型委员会的控制之下。第二是期权市场的诞生，在那里有许多“小人物”会在市场接近顶峰的时候入市。在这个形势中，几十亿美元的账面价值会在NYSE一天的交易中荡然无存。第三，为了申报长期投资收益而将持有期从6个月增至一年，会加剧那些为了纳税目的而坚持只累积长期收益的人的“不能抛售”综合征。最后，美国证券交易委员会（Securities and Exchange Commission, SEC）强制废除NYSE中的特定经纪商（specialist）^①角色，这种将迫使证券业运作一种自营商市场的举措，可能会使一些经纪公司必须为维持一种流动的市场而持有巨大的股票头寸，因此在暴跌中使他们易受伤害。

恐慌是一个情绪的问题，而不是艾略特理论的问题。无论好坏，波浪理论仅仅是警告投资者市场趋势中即将出现的变化。决定在下一个十年中找寻什么，比试图预言明确期望什么更重要。无论我们怎样探寻长远未来的概率，在第五大浪中的第五中浪中的第五小浪从1974年的最低点展开以前，我们的研判肯定是试探性的。当“第五浪中的第五浪”接近其终点的时候，艾略特波浪分析师应当能够认出股票市场中循环浪级牛市的终点。在按照波浪理论的原则分析市场运动时，记住数浪永远是重中之重。我们的建议是正确地数浪，而且永远，永远不要根据预想情形的假设盲目行事。尽管有在此介绍的证据，但我们会首先摒弃我们的预测，如果波浪告诉我们必须那么做。

然而，如果我们的设想证明是对的，那么一旦目前的超级循环浪V结

^① 扮演上市股票做市商的角色。一家NYSE的会员公司可以被指定为多个股票的特定经纪商，但是一家公司的普通股票只能委派一个特定经纪商。——译者注

束，一轮新的甚超级循环浪就会开始。第一阶段会在1987年左右结束，并将市场从它的高峰再次向下带到1000点左右的水平。最终，这个甚超级循环浪级熊市应将其预计的目标带到先前超级循环浪级的第四浪的区域内，也就是道指41~381点之间。然而，尽管有我们的怀疑，但考虑到顶峰后直接出现的恐慌，我们当然做不出任何确切的预言。市场在A浪期间的确常常以推动浪运动，但急躁的行为更多地是在A-B-C结构的C浪中发展。然而，查尔斯J.柯林斯害怕最糟糕的情况，当时他说：

我的想法是，超级循环浪V的终点，很可能还会在所有过去45年中的世界金钱游戏和凯恩斯（Keynes）^①式的愚蠢之举^②中见证一场危机，而且因为浪V结束了甚超级循环浪，所以我们最好在暴风雨过去之前到飓风的隐蔽所去。

自然法则

为什么人类得不断地躲避他自己制造的飓风？安德鲁·迪肯森·怀特（Andrew Dickinson White）^③的著作《法国的纸币通货膨胀》（*Fiat Money Inflation in France*）深入细致地研究了过去的那个“经验屈服于理论，朴素的商业感觉到金融的形而上学”的时代。在惊愕中，亨利·赫兹里特（Henry Hazlitt）^④在此书的前言里对人类重复的通货膨胀试验迷惑不解：

也许对其他巨大通货膨胀的研究——1716~1720年约翰·劳

① 1883—1946，英国经济学家。——译者注

② 凯恩斯曾说过，如果政府能够控制货币和利率，就能防止经济衰退，这给当权者制造通货膨胀找到了学术上的借口。——译者注

③ 1832—1918，美国历史学家、教育家和外交家。美国康奈尔大学（Cornell University）的创始人兼首任校长。——译者注

④ 1894—1993，美国记者，《华尔街日报》的专栏作家，一生著书颇多。——译者注

(John Law)[⊖]对法国信用的实验；1775~1780年我们自己的大陆货币史；我们内战时的美钞；在1923年达到顶峰的德国通货膨胀——可能有助于强调这种教训。从这种骇人听闻、反复出现的历史记录中，我们必须再次得出令人沮丧的结论，也就是人类能从历史中学到的唯一东西就是人类从历史中学不到东西吗？或者我们仍有足够的时间、足够的感觉，和足够的勇气，以得到过去这些可怕的教训的指引吗？

我们已经给了这个问题应有的思考并得出结论，很明显人类时常拒绝接受其他自然法则本身就是一种自然法则。如果这种假定是谬误，那么艾略特波浪理论可能永远不会被发现，因为它或许根本不存在。波浪理论存在的部分原因是人类拒绝从历史中汲取教训，因为人们总能被指望受引诱相信2加2可以得到，也确实能得到5。人们可能受引诱相信自然法则并不存在（或更通俗地说，“不适用于这种情况”），要消费的东西不必先得生产出来，借来的东西永远不必偿还，承诺等同于实现，纸币即是黄金，收益无须成本，以及如果担忧被忽视或嘲弄，那么即使这担忧有理由，也会烟消云散。

恐慌是对现实突然的、情绪化的群体意识，从那些恐慌性底部开始的最初的向上摆动也是。在这些时刻，理性突然在大众群体的心灵中产生印象，即“事情太离谱了。现实证明目前的水平是不合理的”。因此，到理性被忽视的程度，将是群体情绪摆动及其镜子——市场——发展到极限的程度。

在许多自然法则中，在目前的艾略特超级循环浪中最被人熟视无睹的是，除了家庭和慈善机构之外，自然环境中的每一种生物，要么为它自己的存在提供条件，要么被灭绝。自然的真正美丽之处是它的功能多样

⊖ 1671—1729，苏格兰经济学家。他认为金属货币无论从数量和质量上讲都是不可靠的。1716年，劳创办了法国第一家发行纸币的银行。——译者注

性，因为每一个生命元素都与其他生命元素紧密相连，这常常通过供养自己就供养了其他许多生命元素。没有什么活着的东西比人更需要邻居的支持，因为那是他的权利，就像没有这种权利一样。每棵树、每朵花、每只鸟、每只兔子，每匹狼都向自然界索取，对自己邻居的努力既不支持也不奢望；这样做会减缓这些邻居的繁盛之美，以及前进中的整个自然界的繁盛之美。人类历史上最伟大的实验之一是，能够构建人类的自由，及其自由企业所需的环境。这个概念将人从他人的束缚中解放出来，无论他们是封建贵族、乡绅、国王、主教、官老爷，还是要求免费面包和马戏表演的贫民。这个实验的多样、豪华和美好已经名垂史册，并成为对一条最伟大的自然法则的纪念，以及千年浪中最后的成就喷发。

美国共和政体的缔造者不是一时兴起地选择世人瞩目的金字塔作为美国的徽章，他们用这种宇宙真理的埃及符号宣告完美社会的组织，一个基于对人类本性的知识以及自然法则的效应的社会。出于政治上的原因，在过去的100年里，缔造者们话的含义已经受到了曲解，而他们的意图受到了歪曲，这最终产生了一种与缔造时完全不同的社会框架。有讽刺意义的是，印有美国徽章的美元贬值，折射出了美国的社会和政治框架中的价值下降。事实上，在写本书时，一美元的价值相对1913年联邦储备委员会（Federal Reserve Board）创立时的是12美分。货币贬值实质上总是伴随着文明水准的下降。

我们的朋友理查德·罗素这样阐述这个问题：

我坚信，如果每个人都对自己承担起全部责任，那么这世上的麻烦都能迎刃而解（因而地球会像天堂）。在与几百个人的谈话中，我找不到50个人中有一个能完全对自己负责，为他自己的生活承担责任，做他自己的事，承受他自己的痛苦（而不是嫁祸于人）。同样的拒绝承担责任也蔓延到了金融界。今天，人们对一切都谋求自己的

权利——只要由你和我来付账。有工作的权利，上大学的权利，幸福的权利，一日三餐的权利。谁能对每个人承诺所有这些权利？我信仰各种自由，除了自由成为了执照和冲突的地方。但是美国人混淆了自由与权利。

100多年前，在1857年5月23日写给纽约的H. S.兰德尔（H.S. Randall）^①的信中，英国历史学家和政治家托马斯·巴宾顿·麦考利勋爵（Lord Thomas Babington Macaulay）^②正确查明了这个问题的根源：

我真心希望你正确判决。但是，我的理智和愿望在交战，因而我不得不预感最坏的东西。很清楚，你们的政府永远不能限制苦难且心怀不满的多数人。对你来说，多数人就是政府，而且绝对使总是少数人的富人任其摆布。在纽约州，这一天会到来，那时民众——他们中没人有半饱的早餐，或者企盼有半饱的正餐——将选择立法机关。能否怀疑何种立法机关会得到选择吗？一边是一位政客，鼓吹耐心、尊重既定权利、严格遵守公众的信任。另一边是一位煽动者，叫嚣资本家和高利贷者的专制，并发问为什么得允许任何人喝香槟，乘马车，而成千上万老实巴交的百姓正要求得到生活必需品？

我认真地领悟到，在某个如我已经描述过的灾难性的季节，你会防止繁荣归来；你会像那些必须在一个萧条的年景里吃掉所有的谷种，并因此使来年不再萧条，而是绝对饥荒的人那样行动。某个凯撒

① 纽约的一名律师，撰写过美国第二任总统托马斯·杰斐逊（Thomas Jefferson）的传记，并担任过纽约州务卿。——译者注

② 1800—1859，麦考利认为，既然在所有的文明社会中都出现了一小部分的富人和一大部批穷人，那么如果穷人能享有公民权，他们确实会利用他们的政治权力去掠夺富人，因为这符合穷人的利益。——译者注

(Caesar)^①或拿破仑(Napoleon)^②会用强硬的手段夺取对政府的控制, 否则你的共和国会在20世纪被野蛮人洗劫一空, 遍地荒芜, 就像罗马帝国在5世纪时那样; 而差别是, 曾掠夺蹂躏罗马帝国的匈奴人(Hun)和汪达尔人(Vandal)^③来自外部, 而你们的匈奴人和汪达尔人将通过你们自己的政体, 在你们的国家内得到产生。

资本(谷种)的功用是产生更多的资本和收入, 这能确保后代生活富裕。资本一旦被政治家的开支政策挥霍浪费, 就不复存在; 人类可以从浆果中提取果酱, 但不能把果酱变成浆果。

随着本世纪的前进, 为了满足某些个体和团体对他人产出的需求, 人类通过政府部门已经开始用尽已经创造的东西, 这变得更清楚了。人类不仅抵押了现在的产出, 还通过吃掉需要几代人积累的资本, 抵押了后代的产出。

以一种自然法则中并不存在的权利的名义, 人类已经强迫接受了什么也不代表但消耗一切的票据, 人们以指数利率购物、花费和借债, 在这个过程中创造了世界历史上最大的债务金字塔, 并拒绝承认这些债务最终必须以一种或其他形式偿还。拒绝雇用无技能者的最低工资制、消灭多样性和抹杀创新意识的学校社会化、毁灭住房供给的租金管制、通过转移支付的敲诈勒索, 以及令人窒息的市场管制, 凡此种种都是人类消除经济与社会的自然法则, 以及自然界的自然法则的政治企图。相似的结果是逐渐坍塌的建筑和锈蚀的铁路、无聊且未受教育的学生、减少的资本投资、减少的产量、通货膨胀、经济停滞、失业以及最终四处蔓延

① 前100—前44, 罗马将军兼政治家, 为罗马帝国制度打下了基础。——译者注

② 拿破仑(1769—1821), 法国皇帝。历史上最伟大的军事指挥家之一, 曾征服了大部分的欧洲。——译者注

③ 汪达尔人属日耳曼民族, 公元四世纪至五世纪进入高卢、西班牙、北非等地, 并曾攻占罗马。——译者注

的仇恨和动荡。像这样的制度化的政策产生了日益加剧的动荡，并有力量把一个勤勤恳恳的生产者的国家转变成一个充斥着烦躁赌徒的私营部门，以及一个充斥着无耻掠夺者的公共部门。

当第五浪中的第五浪见顶时，我们不需要问它为什么已经这样，而且，现实将被强加在我们身上。当那些被依附着的生产者消失的无踪或消耗殆尽时，仍然依附于他人的人就会失去他们的生命维持系统，自然法则就不得不被耐心地重学。

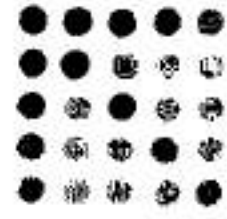
正像波浪理论指出的那样，人类前进的趋势永远向上。但是，这种前进的道路不是一条直线，而且永远不是，除非自然法则之一的人类本性被消除。问问任何一位考古学家。他知道。

1939年，《金融世界》杂志出版了艾略特撰写的12篇题为《波浪理论》的文章。在介绍这些文章时，原出版者按是这样说的：

在过去的七八年里，金融类杂志的出版者和投资顾问领域内的组织实际上已经淹没在各种各样的“方法”中了，这些方法的支持者认为它们可以非常准确地预测股票市场的运动。其中有些方法风光一时，而另一些则很快被证明毫无价值。《金融世界》曾对所有的方法持强烈的怀疑态度，但在研究了R. N. 艾略特先生的《波浪理论》之后，《金融世界》逐渐确信有关这个主题的一系列文章对读者来说将会引人入胜，颇有启发。确定波浪理论作为一种市场预测的有效工具的价值留给了读者，但据信它至少是一种对基于经济因素的结论的有效检验。

——《金融世界》编辑

在本书的第二部分，我们将转变这些编辑提出的步骤和论点，即在检验完全基于艾略特波浪理论的市场预测时，经济因素充其量可认为是一种辅助工具。



附 录

he owner or possessor for the
 ities sold."
 e judiciary subcommittee, of
 h Representative Tucker of
 man, listened

matter of trust."
 His summation of the
 effect of short selling in
 market, under any conc
 that this practice "s
 ever affects

KEPT THE EXCHANGE OPEN
 Government Regulation Would Mean
 Breakdown in Efficiency, He Decl

WALL ST. DISCUSSES SHORT STOCK SALES

Friends and Foes of Practice
 Agree a Law Against It Would Cur-
 tail Trading Sharply.

short selling wo
 the activities
 according to brok
 ers prefer a mar
 can buy or sell at

TRADING PROVIDES CHECKS
 Shorts "Smooth the Waves, but
 Affect the Tides," He Sa

PROBLEMS CITED

Reduced, Value of
 in Exchange Also
 Would Shrink.

Blow to Trading
 Barring of short
 crease the problem
 change firms, whose
 been reduced during
 years by the decrease
 tivity and the decli
 prices. Since their com
 with the prices of sec
 decline of more than 70
 the average of stock
 resulted in a large red
 these revenues. In Septem
 more than f

SPECIAL TO THE NEW YORK T
WASHINGTON, Feb. 24.
 selling is essential to th
 tenance of stock exchan
 stock exchanges are nec
 provide a market for
 Richard Whitney, presid
 New York Stock Exchan
 House judiciary subcom
 day.

BRC
 HUA ZHANG CLASSIC
 Finance & Investing
 华亨经典·金融投资

With B
 Membr

Agitation in political and oth
 rcles against short selling in
 curities mark

SHORT SELLING OF

长期预测更新，1982至1983年^①

《艾略特波浪理论》得出结论，道琼斯工业股平均指数的浪IV熊市已经于1974年12月在572点结束。两位作者将1978年3月的最低点740点标示成新牛市中的大浪②的终点。这两个点位在日收盘价或小时收盘价上从未被跌破。因此，这种波浪标示法仍然有效，只是浪②的最低点最好是置于1980年3月。

随后的分析——出自罗伯特·普莱切特的《艾略特波浪理论家》——详述了他的实时结论，也就是1982年的最低点或许还能标示成浪IV熊市的最低点。本文包括《艾略特波浪理论家》1982年9月的动态市场分析。这篇分析是在经通货膨胀调整的道指16 1/2年的下跌趋势的最低点出现一个月之后发表的，它为循环浪V确定了大“起飞”的起点。

伴随着1942年开始的股票市场超级循环浪级上升行情的通货膨胀，导致了现值美元（也就是真实美元）股票指数与定值美元（也就是根据通货膨胀调整后的美元）股票指数在美国历史上首次兵分两路。尽管真实道指在1932年结束了锯齿形调整浪的下跌——完成了浪(IV)，但是经通货膨胀调整的道指从1929~1949年走出了收缩三角形的浪(IV)。这种模式的推断非常重要：定值美元的循环浪(V)是冲击，一个完成了更大浪级运动

① 这篇最早出现在1983年4月版中的附录已经过扩充，它包括了所有在牛市的第一年做出的长期评论。

的“迅速而短暂”的上升行情。1978年,《艾略特波浪理论》曾忽略了这些模式差异的预测意义。一年之后,《艾略特波浪理论家》领会到了这种差异。后来,1982年1月的报告出示了完整的解释,而那正是本附录开始的地方。

下列所有文字引自所示日期的
罗伯特·普莱切特的《艾略特波浪理论家》

1982年1月

20世纪80年代的蓝图

有时,审视当前的环境,需要认真观察以往发生的一切。这篇报告着眼于长远,以感知20世纪80年代都准备了些什么。最有启迪作用的数据是回溯至200多年前的美国股票市场走势图,这是该数据有效的最长时期。附图(图A-1)首次出现在1978年由A. J. 弗罗斯特和我撰写的《艾略特波浪理论》中(见图5-4),尽管接近尾端的波浪计数已经过修正以反映当前的认识。

在附图上的18世纪末至1965年的波浪结构现在清楚地显示出了五浪的完整模式。第三浪明显很长,第四浪没有与第一浪重叠,而且交替的指导方针也得到了满足,因为浪(II)是一个平台形调整浪,而浪(IV)是一个三角形调整浪。此外,第一浪与第五浪按0.618的斐波纳契比率相关,因为浪(V)的百分比涨幅大约是浪(I)的0.618倍。

某些分析人士力图争辩,“现值”美元走势图(实际的道指,图5-5)上的波浪计数显示出一个发展到1966年的完整五浪。正如我多年来一直主张的那样,这样一种波浪计数即便不是不可能,也很值得怀疑。为了接纳这样一种数浪,就必须接受艾略特在1942年结束的三角形结构的观

点（在《R. N. 艾略特名著集》中详述），已故的A. 汉密尔顿·博尔顿在1960年的专论《艾略特波浪理论——一份中肯的评价》（见《A. 汉密尔顿·博尔顿的波浪理论文集》（*The Complete Elliott Wave Writings of A. Hamilton Bolton*））中正确地说明这种数浪有误。博尔顿的替代方案——如所附的经通货膨胀调整的走势图显示的在1949年结束的三角形结构——在他提出的时候（也就是接受1932~1937年为一个“三浪”）也存在几个问题，而且后来的证据已经印证这种研判是不可能的。

从“横走趋势”的视野来看，道指（从1965年起）一直处于“熊市”，尽管所有其他指数自1974年以来一直处于牛市。艾略特大概是唯一一位识别出这种横走趋势是熊市的分析师。对于这种论点的证据，一个人所需要做的就是看看经通货膨胀调整的道指从1966年开始的走势（并将其与图5-5中的同一时期相对照）。剧烈的通货膨胀加上熊市等于横走结构。[⊖]

更重要的是，从1965年的波峰开始的清晰的五浪下跌艾略特模式，看起来正处于其最后阶段。作为一种短线考虑，我们可以从这张走势图中看到股市现在已经深度超卖，而且（这已经跌破了长期支撑线）相对零售价格指数来说是历史上最便宜的时候。因此，下面几年可能目击一轮就**真实美元**而言的逆势三浪（a-b-c）反弹，这次反弹应转化为道琼斯工业股平均指数的戏剧性“突破”，达到就**现值美元**而言的历史新高。这样一轮上升行情应当可以满足1932年以来按名义美元计算的道指的波浪计数，因为它让道指完成了从1974年开始的最后第五循环浪。由于我们仍然需要道琼斯工业股平均指数的另一个戏剧性的新高，这给了我们实际指数中的第五浪和经通货膨胀调整的指数中的B浪。[⊖]

⊖ 最后三句话取自1979年12月的《艾略特波浪理论家》。

⊖ 这篇报告的随后部分——代表了对后面最终出现的熊市的预测，在《在潮浪的顶峰》的第3章中重印。

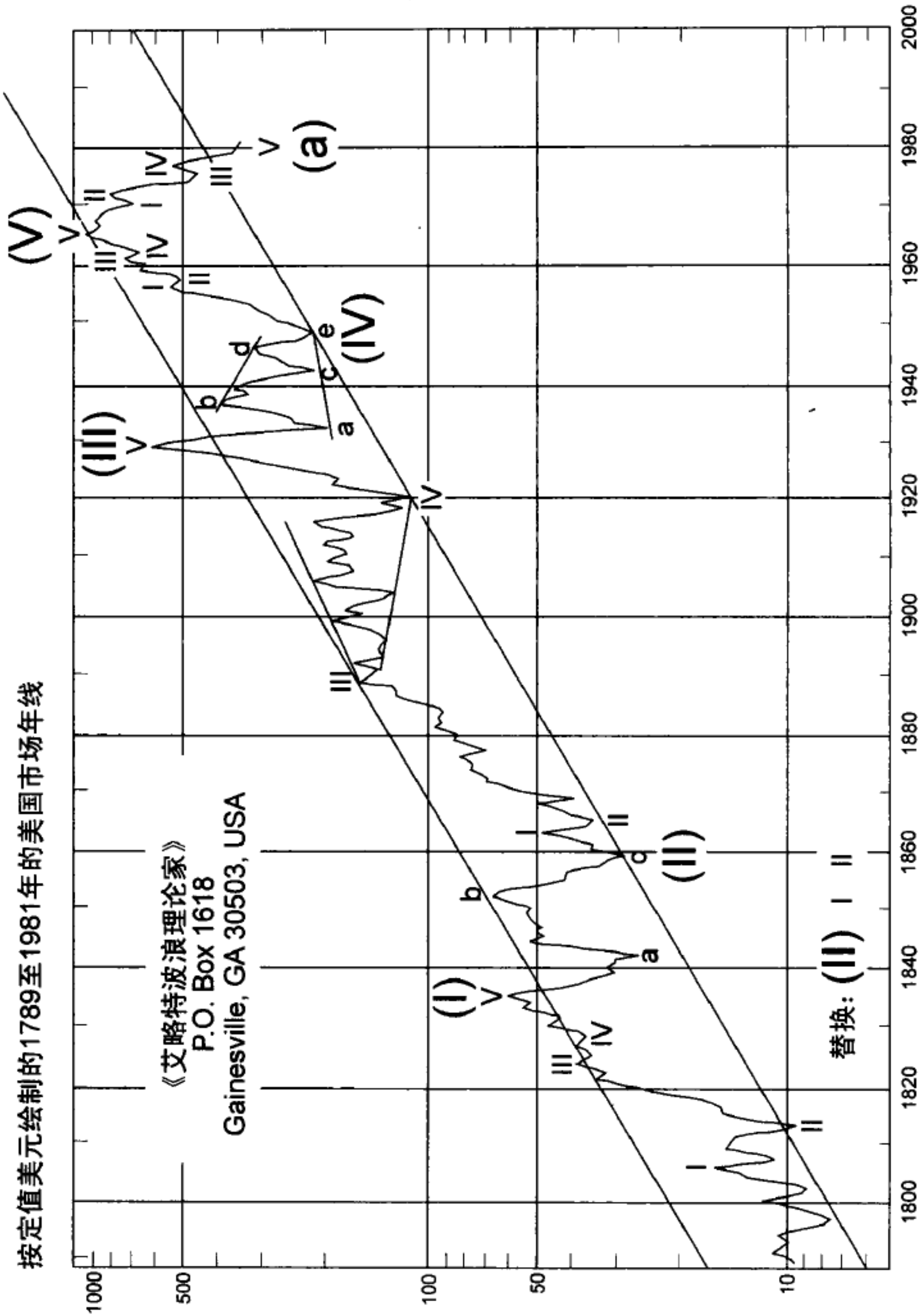


图 A-1

1982年9月13日

长期波浪模式——接近结论

对于波浪分析师来说，这是一个令人激动的结合点。自1974年来头一次，某些难以置信的大型波浪模式可能已经完成，这些模式对今后5~8年有着重要的预测意义。今后15周应当解释所有的长期问题，这些问题自市场在1977年转阴之后就一直存在。

艾略特波浪分析师有时因预测很高或很低的指数而受到责骂，但是波浪分析的任务常常要求后退一步，看一看大画面，并使用历史形态的证据来判断趋势主要变化的开始。循环以及甚超级循环浪运动在宽阔的价格带中运动，因此是真正要考虑的重要结构。那些安心关注100个点的摆动的分析师会做得很好，只要市场的循环浪级趋势是中性的，但如果一个真正持续的趋势正在进行，那么在某个时候他们就会被丢在后面，此时那些了解大画面情况的人会与这种趋势并驾齐驱。

1978年，A. J. 弗罗斯特和我曾预测道指的2860点是当前从1932年开始的甚超级循环浪的最后目标。这个目标仍然有效，但既然道指仍处于4年前的位置，因此时间目标显然比我们原先考虑的要远。

在过去的5年中，数不清的长期波浪计数越过了我的办公桌，每一浪都试图解释从1977年开始的道指模式的混乱本性。这些波浪计数中的大多数已经说明了失败的第五浪、截短的第三浪、不合标准的倾斜三角形，以及即刻暴涨（通常出现在市场波峰附近）或者即刻暴跌（通常出现在市场波谷附近）的情形。这些波浪计数极少显得符合波浪理论的规则，因此我忽略了它们，但实际的答案仍然是个谜。众所周知，调整浪通常难以研判，因此，举例来说，我已经给两种研判中的这个或那个交替贴上了“最有可能的”标签，这考虑到了市场特征和模式中的变化。在这一点上，我一直研究的两种替换方案仍然有效，但我已经对两者都不满

意了, 原因已经解释过了。然而, 还有满足波浪理论的指导方针和规则的第三种研判, 而且就是到了现在已经变成了一种明确的替换方案。

双重三浪调整仍在前进之中

这种数浪认为, 从1966年开始的巨大的循环浪调整仍在前进之中。最后的低点(在大牛市出现之前)可能出现在道指的563~554点之间。然而, 只有道指跌破了766点才能使其确定, 但还没有出现这种突破。

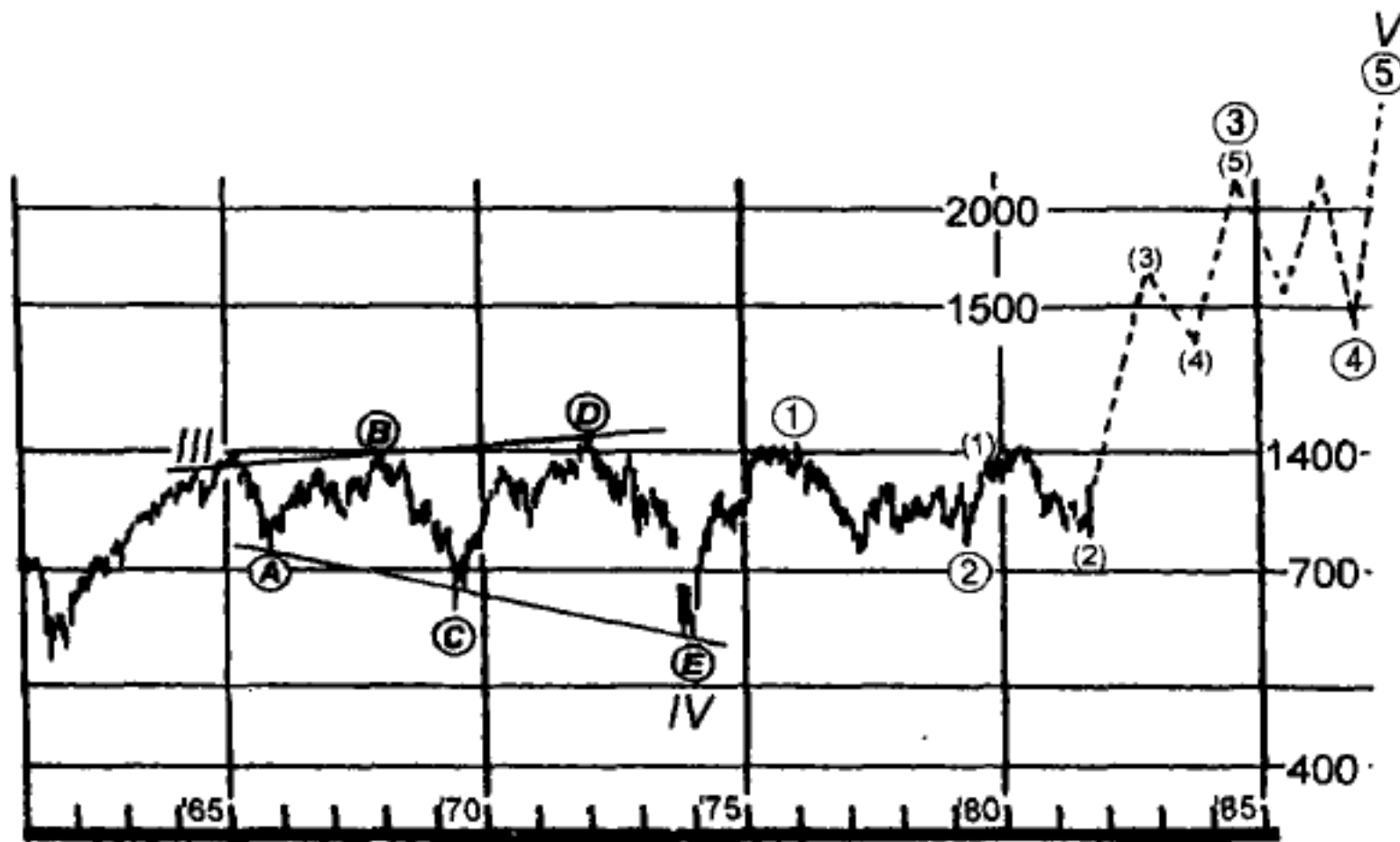


图 A-2

前进中的一系列1和2

自1974年以来的大多数时候, 这种数浪(见图A-2)一直是我进行中的假设, 尽管1974~1976年波浪计数的不确定性, 以及第二浪调整的剧烈, 已经给我在这种研判下研究市场带来了许多焦虑。

这种数浪认为, 从1966年开始的循环浪级调整在1974年结束, 而且循环浪V在1975~1976年以惊人的广泛性高涨开始。浪IV的技术名称是扩散三角形。浪V中到目前为止的复杂子浪说明了一轮相当长的牛市, 也许会持续另一个十年, 带着长期的调整阶段——浪(4)和浪④——打断着它的前进。浪V会在浪③——细分成(1)-(2)-(3)-(4)-(5)中包含一个界定清楚

延长浪，浪③中的浪(1)-(2)已经走完。理想地，波峰会出现2860点，这是在1978年计算出的原始目标。这种数浪的（主要）缺点是，按照波浪等同指导方针，它显示出整个浪V的持续时间过长。

优点

- 1) 满足波浪理论的所有规则。
- 2) 使A. J. 弗罗斯特在1970年做出的浪IV的极限最低点在572点的预测有效。
- 3) 说明了1975~1976年惊人的广泛性高涨。
- 4) 说明了1982年8月的广泛性高涨。
- 5) 使1942年开始的长期趋势线几乎保持完整。
- 6) 符合四年循环底的想法。
- 7) 符合基本面背景在第二浪的底部，而不是实际的市场最低点，看起来暗淡的想法。
- 8) 符合康德拉蒂耶夫波的平稳状态已部分过去的想法。与1923年平行。

缺点

- 1) 1974~1976年很可能最好是数成一个“三浪”，而不是“五浪”。
- 2) 浪(2)的完成时间是浪(1)的六倍，这使两个浪根本不成比例。
- 3) 1980年的上升行情的广泛性不符合第一浪的标准，它应当是一个强劲的中浪级的第三浪。
- 4) 说明整个浪V的持续时间过长，它应当是与1932~1937年的浪I相似的短暂而简洁的一浪，而不是与1942~1966年的延长的浪III相似的一个复杂浪（见《波浪理论》，图5-5）。

在1982年8月结束的双重三浪

按这种数浪，浪IV的技术名称是“双重三浪”，其中的第二个“三浪”是一个上升三角形（见图A-3）。这种数浪认为，从1966年开始的循环浪

调整在上个月(1982年8月)结束。从1942年开始的趋势通道的下边界在这个模式的终点被短暂跌破, 这与1949年的市场行为相似, 因为那时横走的市场曾在发动一轮长期牛市之前短暂地跌破了一条主要的趋势线。我应当指出, 短暂突破长期趋势线只能当做是第四浪的一种临时特征, 如“《R. N. 艾略特名著集》”所示。这种数浪的(主要)缺点是, 这种结构中的双重三浪尽管完全可以接受, 但极为少见, 因为在最近的历史中在任何浪级都没有这种例子。

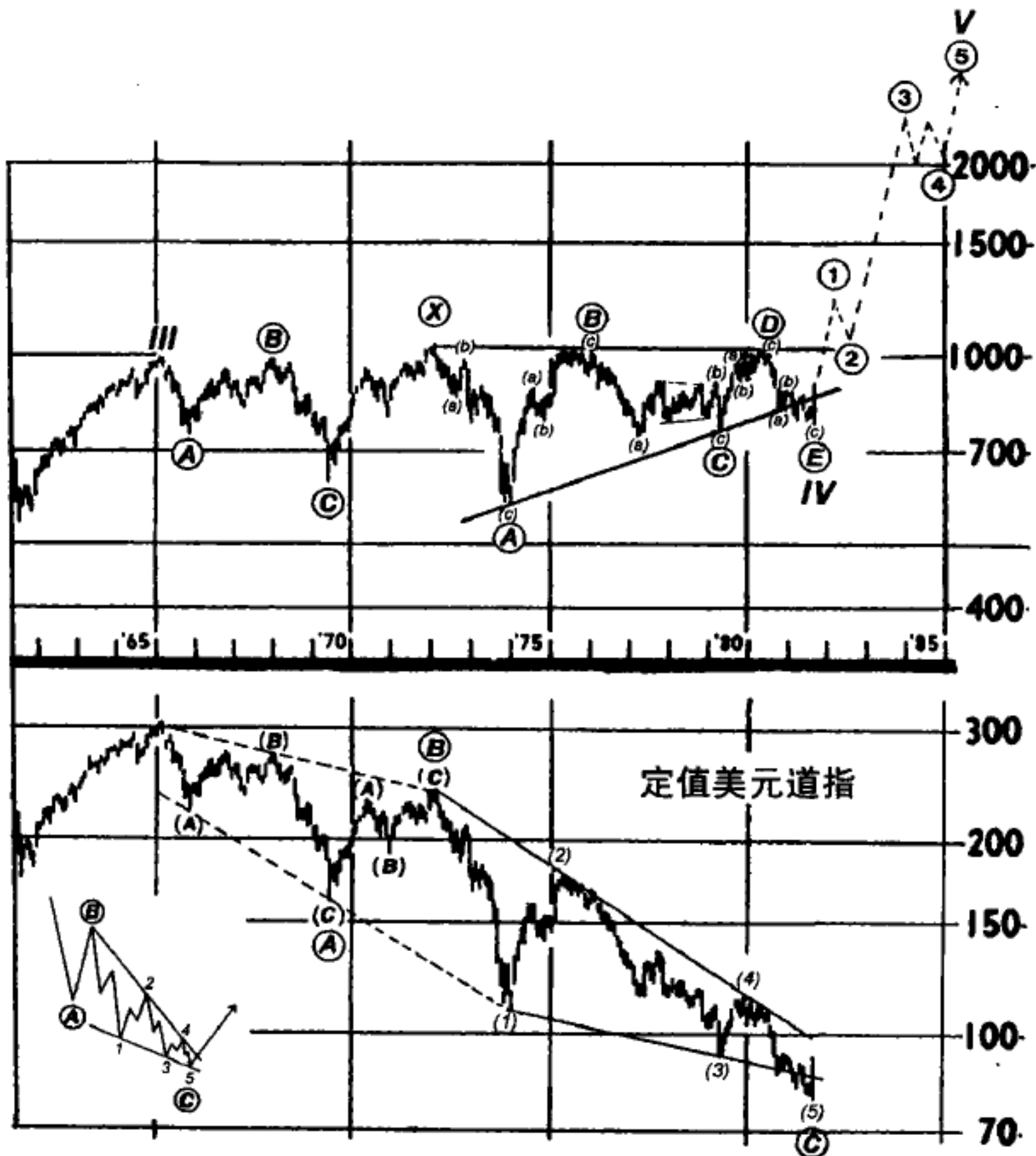


图 A-3

令人惊讶的时间对称因素也存在。1932~1937年的牛市持续了5年, 而且受到1937~1942年的5年熊市的调整。1942~1946年的3 $\frac{1}{2}$ 年的牛市

受到1946~1949年的3 $\frac{1}{2}$ 年的熊市的调整。1949~1966年的16 $\frac{1}{2}$ 年的牛市受到1966~1982年的16 $\frac{1}{2}$ 年的熊市的调整!

定值美元（经通货膨胀调整的）道指

如果市场已经做出了循环浪的最低点，那么它符合“定值美元道指”上的令人满意的波浪计数，“定值美元道指”是用道指除以消费者价格指数，以补偿美元购买力的损失。这种数浪是一个向下倾斜的①-②-③，其中的浪③是一个倾斜三角形（见图A-3）。通常，在倾斜三角形中，它的最后一浪——浪(5)——在下边界线之下结束。

我已经在走势图的上半部分加上了扩散边界线，以说明由市场构建的对称钻石形模式。注意，钻石形的每一个长的一半都持续了9年又7 $\frac{1}{2}$ 个月（1965年5月~1974年12月，以及1973年1月~1982年8月），同时每一个短的一半都持续了7年又7 $\frac{1}{2}$ 个月（1965年5月~1973年1月，以及1974年12月~1982年8月）。模式的中心（1973年6月~7月）在190点将价格因素对分，并将时间因素分成了两个8年多。最后，从1966年1月开始的下跌行情是16年又7个月，正好与1949年6月~1966年1月的前一轮上升行情等长。

优点

- 1) 满足波浪理论的所有规则和指导方针。
- 2) 使1942年开始的长期趋势线几乎保持完整。
- 3) 市场在浪E跌破三角形的边界线是一种正常的现象。
- 4) 顾及了最初预计的简单牛市结构。
- 5) 符合对定值美元（紧缩过的）道指的研判，而且符合对其下边界线的相应突破。
- 6) 考虑到了在1982年8月开始的神乎其来的戏剧性上升行情，因为三角形产生“冲击”。
- 7) 最后的底部出现在经济萧条中。
- 8) 符合四年循环底的想法。

9) 符合康德拉蒂耶夫波的平稳状态——一段经济稳定和股市飞涨的时期——刚刚开始的想法。与1921年末平行。

10) 庆祝通货膨胀时代的结束, 或者陪伴一段“稳定的通货再膨胀”。

缺点

1) 尽管完全可以接受, 但这种结构中的双重三浪极为少见, 因为在最近的历史中在任何浪级都没有这种例子。

2) 主要的底部会与流行出版物的广泛认同一起出现。

前景

三角形预示着相反方向上的“冲击”或称快速运动, 其运动距离大约是三角形的最宽部分。这个指导方针表明, 从道指的777点开始的最小运动是495点 (1067 ~ 572), 或者说1272点。既然三角形的边界线延长到1973年1月会在“三角形的宽度”上增加70多点, 那么冲击可能会远至1350点。即使这个目标也只是第一步, 因为第五浪的范围不仅取决于三角形, 还取决于整个浪IV的模式, 三角形只是其中的一部分。因此, 必须得出结论, 从1982年8月开始的牛市会最终实现其五倍于起始点的全部潜力, 使其与1932 ~ 1937年市场的百分比相同, 因而目标指向3873 ~ 3885点。这个目标应当在1987年或1990年到达, 因为第五浪会是一种简单结构。关于这个目标的一个有趣的观察是, 它与20世纪20年代平行, 当时市场在100点的位置以下横走了17年 (与最近在1000点的位置之下的经历相似) 之后, 几乎不作停留地飙升至383.00点的日内高峰。对这个第五浪来说, 这样一轮市场运动不仅会结束循环浪级的上升行情, 而且会结束超级循环浪级的上升行情。

(近期波浪结构)

在 (8月17日) 的“临时报告”中, 我曾提到倾斜三角形已经在8月 (12日) (星期五) 的最低点结束的可能性。下面两幅日走势图说明了这种数浪。从过去的12月开始的倾斜三角形可能是从1980年8月的波峰开始

的巨大a-b-c中的浪c (中的浪v) (见图A-4), 或者是从1981年6月的波峰开始的巨大a-b-c中的浪c (见图A-5)。从8月的最低点开始的暴涨的强度支持这种研判。

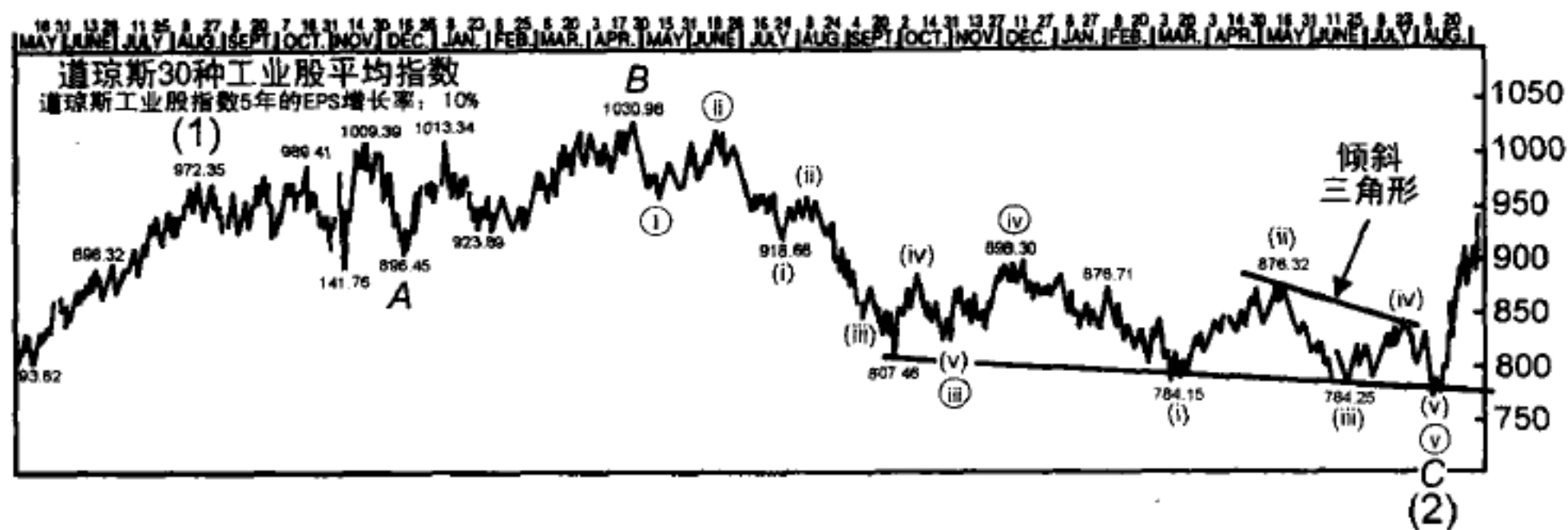


图 A-4 (与图A-2有关)

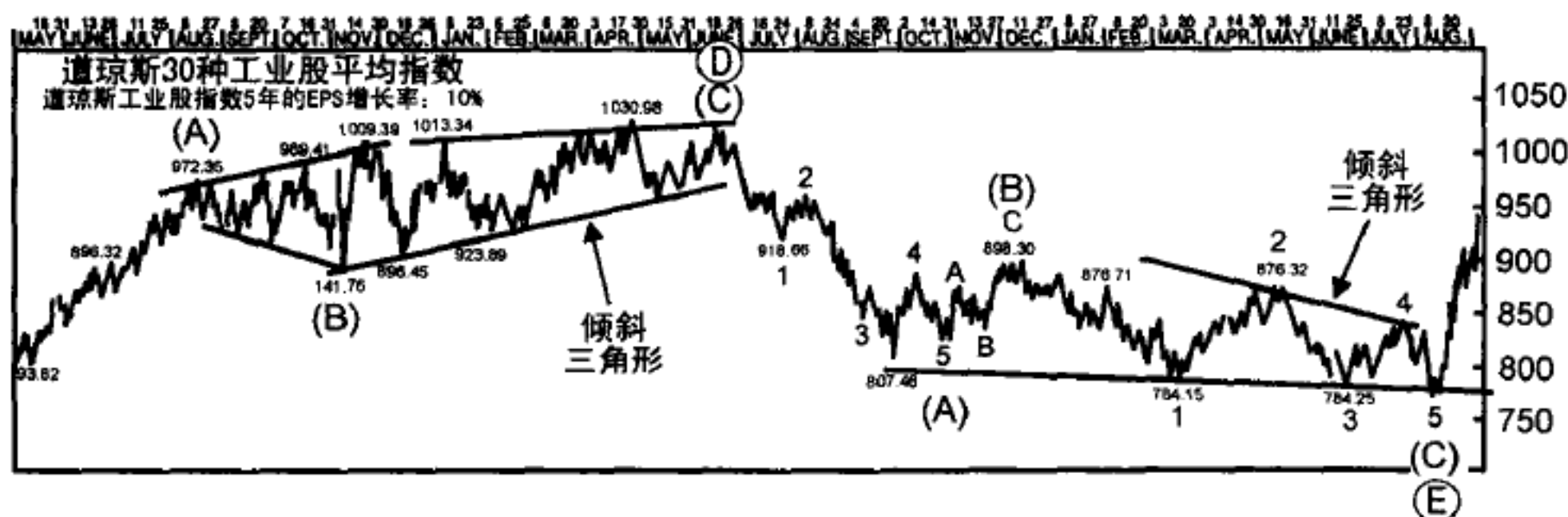


图 A-5 (与图A-3有关)

1982年10月6日

这个牛市应当是自20世纪60年代以来的第一个“买入并持有”的市场。过去16年的经历已经把我们都变成了交易者，而这是一种不得被遗弃的习性。市场可能会落在目标后200点，但它还有2000点要走！道指应当触及3880点的最终目标，当中会在1300点（浪①波峰的估计值，根据三角形后的冲击）和2860点[⊖]（浪③波峰的估计值，根据从1974年的最低点

⊖ 浪①在1983~1984年的1286.64点（大约是日内1300点）见顶。《艾略特波浪理论家》后来曾减少了对浪③的2860点的大致估计，因为精确的数值算出来是2724点。1987年，浪③在2722.42点见顶。浪⑤到达并大大超出了普莱切特的“天空中的馅饼”的3880点的目标。

量起的目标) 停留。

股票市场的长期趋势的印证状态有着无数的推断。它意味着：(1) 平均指数在紧接着的反作用中不会出现新低，(2) 1983年不会出现崩盘或衰退（尽管“小危机”或许很快出现），以及 (3) 对于那些惧怕危机的人来说，至少十年中不会出现国际战争。

1982年11月8日

从艾略特波浪分析的展望来看，股票市场正处于明确的焦点之中。审视过去200年中所有的市场行为，确切知道你在波浪计数中的位置使人安心。(图A-6) 是证券研究公司 (Securities Research Company) 的年变动

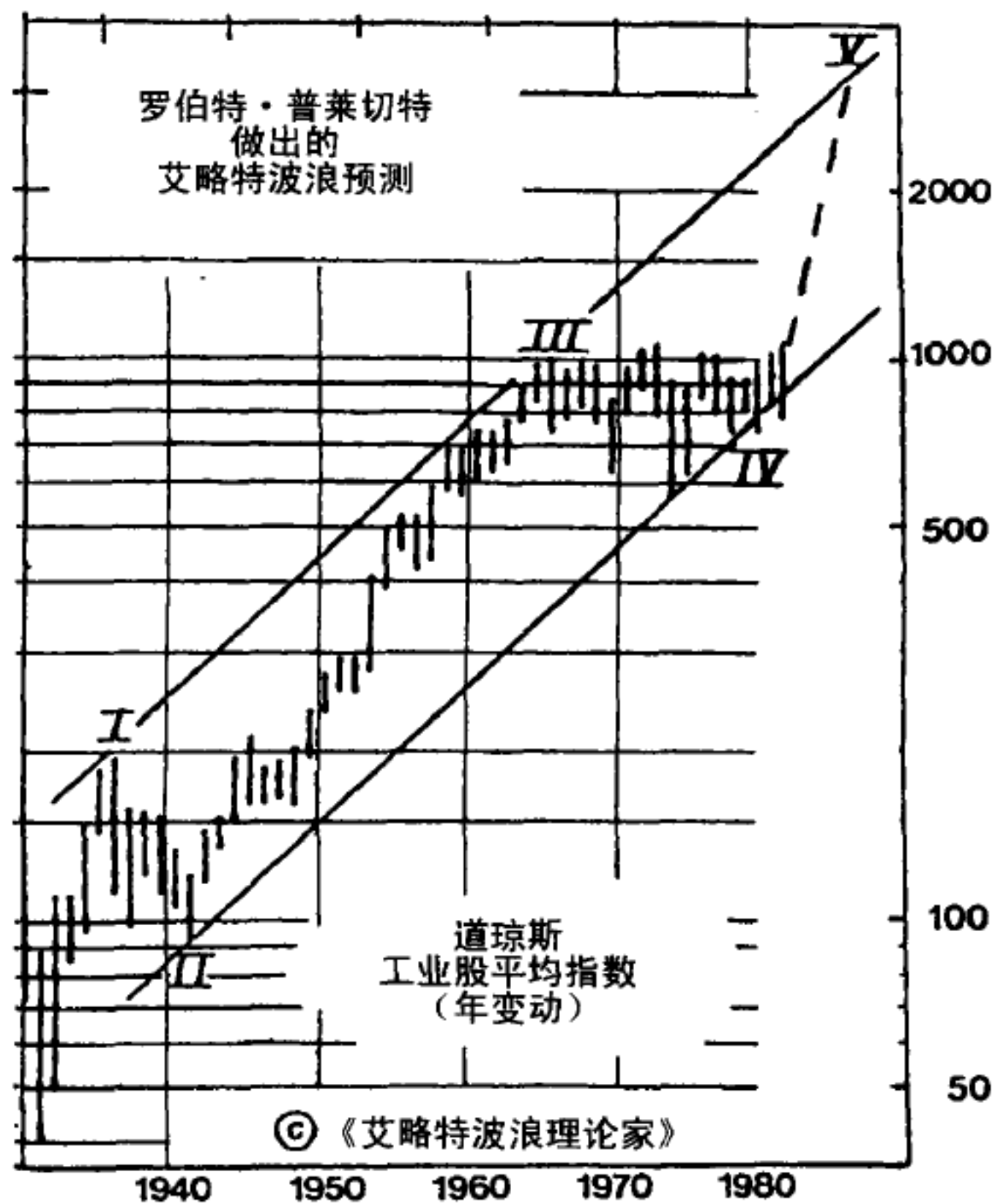


图 A-6

走势图。注意DJIA的浪II和IV准确反映了交替指导方针，因为浪II是短促而陡直的锯齿形调整浪，而浪IV是长久的横向联合型调整浪。尽管1966~1982年的道指结构不同寻常，但它是完美的艾略特结构，这说明无论有时波浪模式如何难以解读，它总能令人满意地分解成一种经典的模式。

不要对此产生误解。今后几年市场将十分有利可图，超出你最疯狂的想象。确信在你投资的时候，投资过程是有效的。将你的意念调回到1924年。在这5年中计划赚钱。然后准备在必定出现的坏年景中安全地锁定利润。

1982年11月29日

一幅值千言的画面

下面一幅走势图（见图A-7）上的箭头说明了我对当前牛市中的道指位置的研判。现在如果一位艾略特理论家告诉你道指正处于浪V中的浪①中的浪(2)，那么你就会确切知道他的意思。当然，只有时间会表明他是否正确。

最容易预测的是牛市会出现；其次最容易的是价格估算；随后是时间。我目前期待1987年出现顶部，但它可能延伸至1990年。重要的是波浪形态。换言之，比起提前预测，当我们处在其中时，它容易识别得多。我们仅需要耐心。

相比在第一浪至第三浪，广泛性程度几乎总是在第五浪上升期间开始显露疲态。由于这个原因，我会期待在整个浪③有一个广泛性很强的市场，然后增加选择性，直至浪⑤的波峰，到那时道指中的领涨股几乎是唯一还在上涨的股票。眼下，玩任何你喜欢的股票。以后，我们不得不更加仔细地挑选。

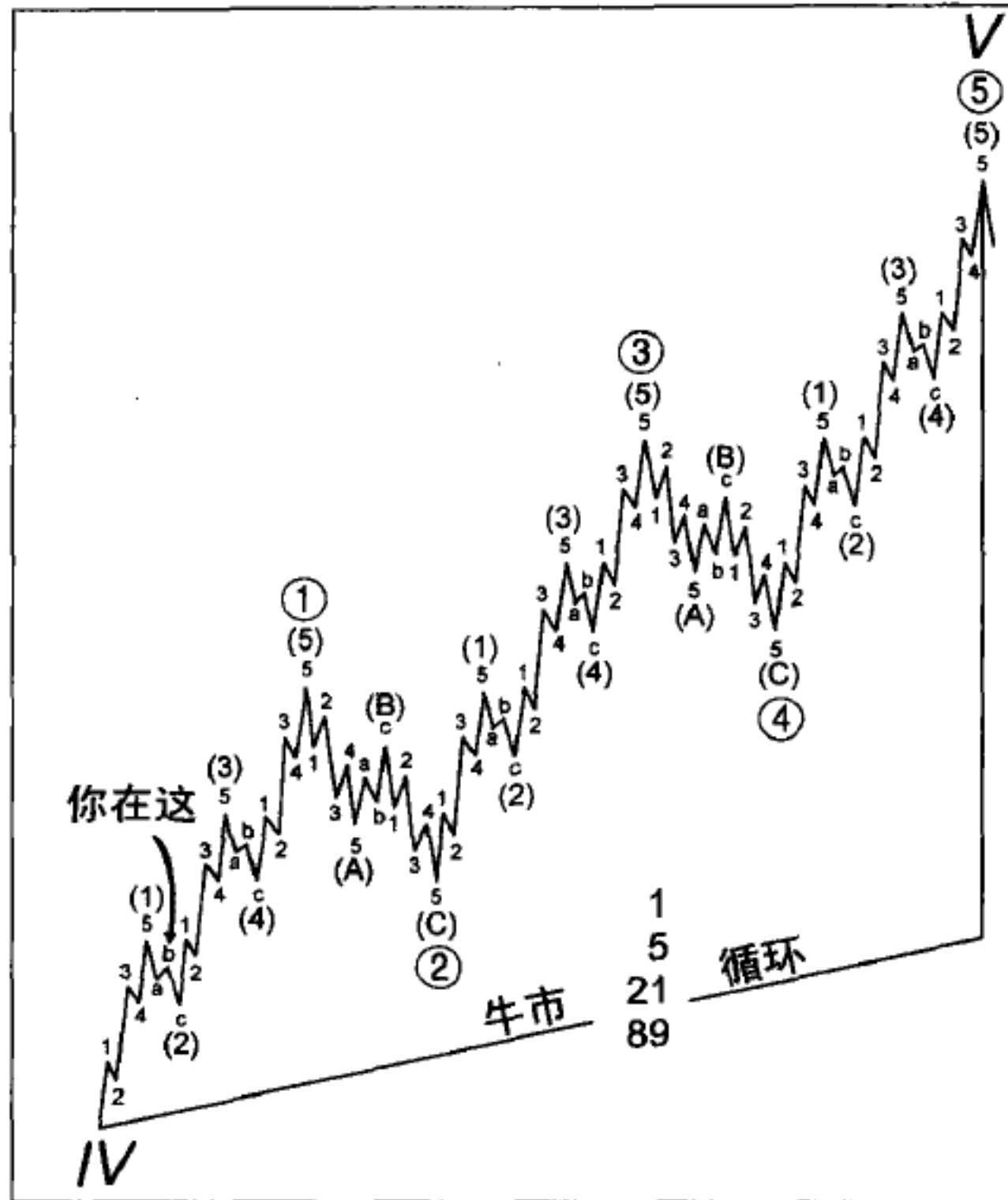


图 A-7

1983年4月6日

一轮上升浪潮：浪V在道琼斯工业股平均指数中的情形

1978年，A. J. 弗罗斯特和我曾写过一本书，叫《艾略特波浪理论》，这本书在那一年的11月出版。在那本书的预测一章中，我们曾做出下面的断言：

1) 浪V——巨大的牛市上升行情——必须出现，以完成道琼斯工业股平均指数从1932年开始的波浪结构。

2) 在浪V完成以前不会出现“1979年的崩盘”，而且实际上不会有1969~1970年或者1973~1974年类型的下跌行情。

3) 1978年3月的最低点740点标志着大浪②的结束，而且不会被跌破。

4) 前进中的牛市会采取一种简单的形态，不像1942~1966年延长的上升行情那样。

5) 道琼斯工业股平均指数会涨至上通道线，并到达浪IV的最低点572点的5倍的目标，因而算出来是2860点。

6) 1974年标志着浪IV的结束，如果我们的这个结论是正确的，那么第五浪的波峰会出现在1982~1984年这个时段内，而1983年是最可能出现实际顶部的年份（而1987年很可能是下一个）。

7) 在整个上升过程中，“次级”股票会扮演领涨的角色。

8) 在浪V结束后，随后的崩盘将是美国历史上最惨重的。

自我们提出这些论点以来，有一件事一直使我们吃惊，即道琼斯工业股平均指数会用多少时间最终起飞。广泛性的市场平均指数从1978年起不断地上升，而看起来对更准确地反映了对通货膨胀、萧条和国际银行业崩溃的恐惧的道指，从1966年开始直到1982年却没有结束其调整模式。（对于那一浪向下突破的详情，见1982年9月的《艾略特波浪理论家》。）尽管有这种漫长的等待，道指只是短暂地跌到了其长期趋势线以下，而且当这种向下突破未能促进任何进一步的抛售时，暴涨性的起飞就会最终开始。

如果我们的总体估计是正确的，那么弗罗斯特和我根据波浪理论在1978年做出的预测仍然会出现，但有一个大例外：时间目标。正如我们在书中解释的那样，R. N. 艾略特极少谈到时间，而且实际上我们对时间顶部的预测也不是波浪理论所要求的，而只是一种以道指的浪IV在1974年结束的结论为基础的有根据的猜测。如果浪IV的长期横向调整直到1982年还没有结束最终变得明确，那么时间因素就必须向前移，以补偿估计中的这种变化。没有时间怀疑浪V的出现，它只是一个在什么时候以及在什么之后出现的问题。

我想填补这种空白，以回答这些重要的问题：

- (1) 1966年开始的道指横向调整真的结束了吗?
- (2) 如果这样, 我们能预期多大的牛市?
- (3) 它的特征会是什么?
- (4) 牛市之后会出现什么?

1982年, DJIA完成了一个浪级非常大的调整浪。这个结论的证据不可辩驳

首先, 因为那些认真对待波浪理论的人自始至终认为, 从1932年开始的模式(见图A-8)仍未完成, 因此需要一轮最后的上升以完成五浪的艾略特模式。既然超级循环级的崩盘不在时间表中, 因此自1966年已经出现的行情对于循环浪级的调整来说已经足够了(与1932~1937年、1937~1942年, 以及1942~1966年的波浪的浪级相同)。

第二, 从1966年(或者可论证的从1964或1965年, 如果你乐于谈论理论的话)开始的横走模式延伸到了从1932年开始的长期平行趋势通道的绝对极限。正如你能够在取自艾略特自己的《自然法则》的插图(见图A-9)中看到的那样, 它是一种第四浪的临时特征, 也就是在第五浪开始之前它们会跌到上升通道的下边界线之下。1982年的价格行为只是没有给调整的持续留下空间。

第三, 20世纪60年代中期至1982年的模式是另一个艾略特在40多年前勾勒出的标准调整结构的实际例子。这种结构的正式名字是“双重三浪”调整, 它是两个紧接着的基本调整模式。在这种情况下, 市场首先走出一个“平台形”(或按另一种(从1965年起)的数浪, 一个“下降三角形”), 其次是一个“上升三角形”, 其间是一个标示着“X”的简单三浪上升, 它用来分开两个分量模式。艾略特还识别并解释了三角形的最后一浪跌破下边界线的偶然倾向, 如1982年出现的那次。重复一轮调整很少见, 而且既然1974年的最低点已经碰到了长期上升趋势线, 所以弗罗斯特和

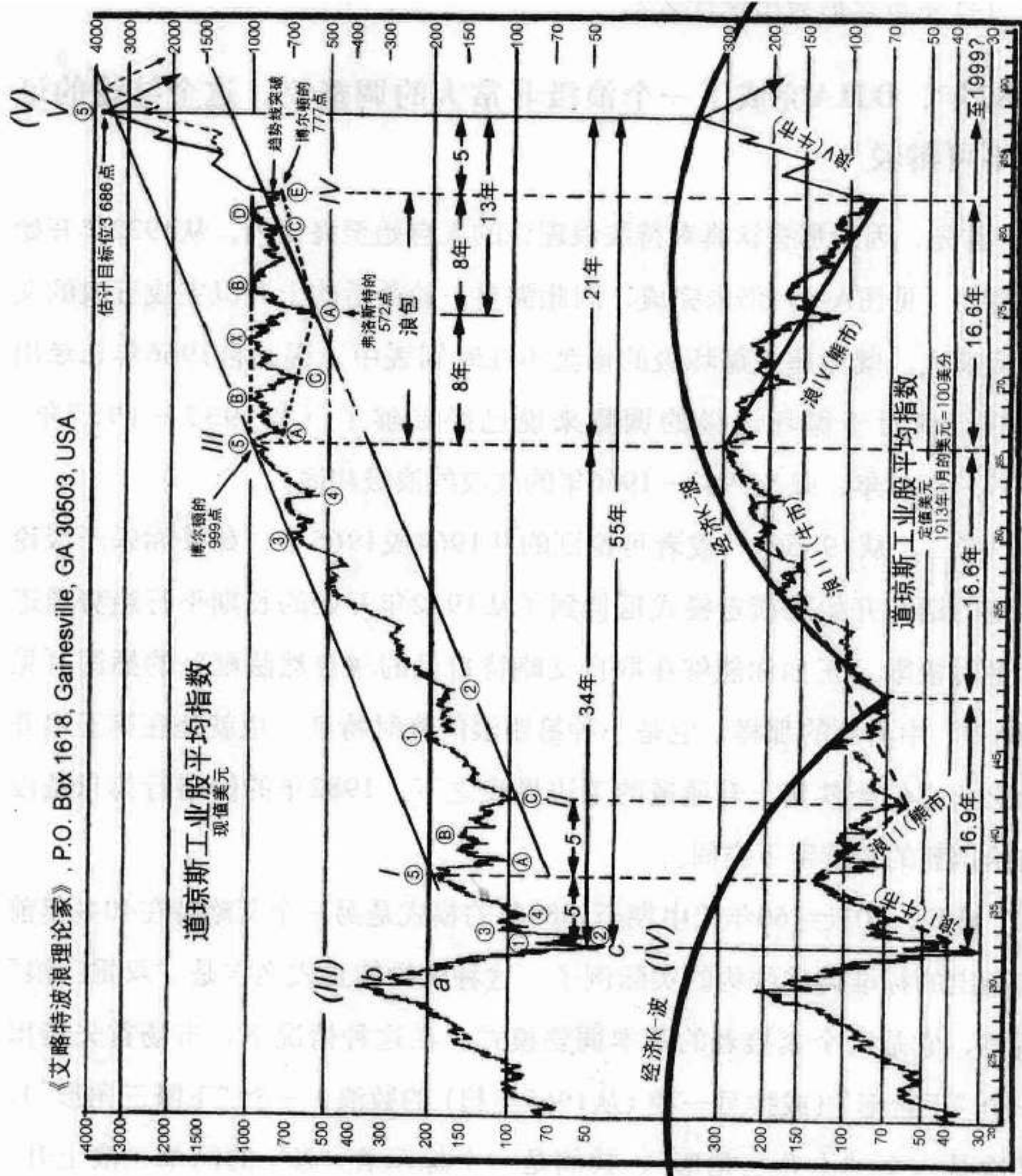


图 A-8

我对此不抱希望。而且，第二个位置上出现含有三角形的“双重三浪”极为少见，而且在我自己的经验中史无前例。

第四，如果当做单一的结构，也就是一个调整浪，那么这个模式就有某些令人感兴趣的性质。例如，这个结构的第一浪（996~740点）正好覆盖了上一浪的相同距离（1024~777点）。而且，上升的部分与下跌部分花费的时间相同，都是8年。模式的这种对称促使弗罗斯特和我在1979年提出了“包裹浪”（packet wave）的标识，以描述一种从“静止”开始，逐渐扩散，然后收缩摆动，并回到起点的简单模式。（这个概念在1982年12月的《艾略特波浪理论家》中有详尽的介绍。）使用两个三角形的交替数浪，每一个三角形的中间一浪（浪C）正好覆盖了相同的领域，从1000至740点。在这个模式中出现了无数的斐波纳契关系，其中的许多已经在1982年7月的《艾略特波浪理论家》的“特别报告”中详尽介绍。而且，更重要的是，它的起点和终点与先前牛市中的部分的斐波纳契关系。1960年，汉密尔顿·博尔顿做出了这个著名的观察：

艾略特指出过其他一些巧合。例如，1921~1926年的点数是1926~1928年最后一浪（正统的顶部）的点数的61.8%。相似的情形出现在1932~1937年的第五浪上升中。此外，从1930年的顶部（DJIA的297点）至1932年的底部（DJIA的40点）的这一浪是40~195点（1932~1937年）的这一浪的1.618倍。而且，1937~1938年的下跌行情是1932~1937年的上升行情的61.8%。如果1949年的市场遵守这个公式，那么1949~1956年的上升行情（DJIA的361点）就应当在1957年的最低点416点上加上583点（361点的161.8%），或者说总计DJIA的999点结束。

因此，在预测斐波纳契关系中，博尔顿预测出了一个结果只比1966年顶部的确切小时读数高三点的波峰。但很大程度上被遗忘的（紧跟在A. J.

弗罗斯特对浪IV的最低点572点的成功预测之后, 它出现在1974年的小时最低点572.20点) 是博尔顿的下一句话:

另一种情况是, DJIA的416点加上361点得出777点。

不用说, 777点哪也找不到。这种情况直到1982年8月。小时读数上的实际正统最低点是8月12日的776.92点。换言之, 博尔顿的计算(见图A-10)事先定义了浪IV的确切开始和结束, 这以它们与先前价格结构的关系为基础。在价格点上1966~1982年是1957~1982年以及1949~1956年的0.618倍, 后两者的每一个都相等, 都是1957~1966年的0.618倍, 所有都在1%的误差内! 如果周模式和月模式不断地算出斐波纳契倍率, 那么华尔街的观察家的典型反应是, “另一次巧合”。如果这种规模的模式继续呈斐波纳契倍率, 那就成了一种继续相信斐波纳契倍率不是股票市场特征的信念问题。据我所知, 博尔顿是唯一一位做出的预测继续符合华尔街现实的故去之人。

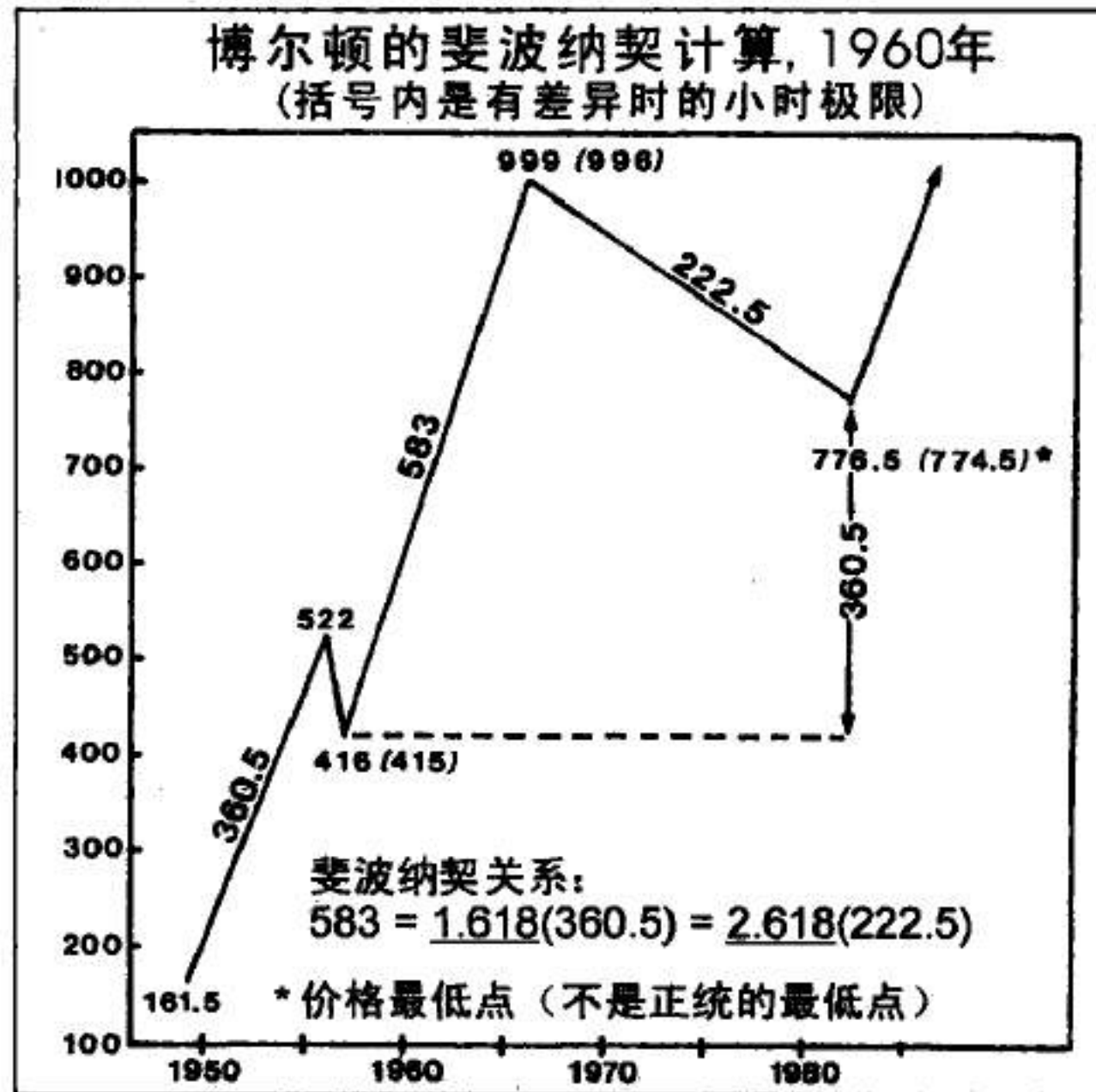


图 A-10

对于这些观察，我希望已经确定，DJIA的循环浪IV——“定值美元道指”明确支持它作为一个单一熊市阶段——在1982年8月结束了。

这次调整之后的上升行情将是比在过去20年中见到的任何牛市大得多的牛市。无数涉及波浪行为的指导方针都支持这种论点

第一，正如弗罗斯特和我坚定主张的那样，1932年以来的艾略特波浪结构没有结束，因此需要一轮第五浪上升行情来完成这个模式。在我们写书的时候，只是没有相应的波浪研判考虑到从1932年开始的上升行情已经要结束了。第五浪会是相同的浪级，而且应当与1932~1937年、1937~1942年、1942~1966年以及1966~1982年的各个波浪模式呈相关的比例。

第二，根据艾略特的通道法，一个正常的第五浪会延伸到上通道线，在这个情形中，这条上通道线会在20世纪80年代的后半部在3500~4000点的区间穿过价格行为。艾略特注意到，当第四浪突破趋势通道时，第五浪常常会有翻越，或者说在另一边短暂地穿越相同的价格通道。

第三，波浪理论中的一条重要指导方针是，当第三浪延长时，如1942~1966年的波浪，第一浪和第五浪会在时间和幅度上趋向等长。这是一种倾向，而不是必然，但它的确表明，1982年以来的上升行情应当与出现在1932~1937年的第一浪上升相似。因此，这个第五浪应当运行与浪I相等的百分比距离，浪I从估计的小时最低点41点（没有确切的数值）~194.50点的小时波峰运行了几乎5倍。既然浪V的正统起点是1982年的777点，那么4.744的相同倍率投射出了3686点的目标。如果确切知道1932年的小时最低点，就可以有些信心地预测出一个精确的数字，这是博尔顿的风格。按照现在的情况，应当认为“3686”点很可能会落在理想预测的100点之内（是否成真是另一个问题）。

第四，就时间流逝而言，1932~1937年的牛市持续了5年。因此，对

于可能的市场波峰, 要观察的一点是从1982年开始的5年, 或者说1987年。巧了, 正如我们在书中指出的那样, 1987年正好是从1974年的调整最低点开始的斐波纳契数字的第13年, 与1966年的浪III的波峰相距21年, 与1932年开始的浪I的波峰相距55年。要完成这个画面, 1987年是道指触及3686点的理想日期, 因为要达到它, 道指就得在“翻越”中短暂冲击过其上通道线, 这是典型的竭尽运动(如1929年的波峰)。基于浪I时间的1.618时间倍率, 以及与20世纪20年代的第五循环浪等同, 一个8年的浪V会指出1990年是下一个最可能出现波峰的年份。到了1987年, 如果道指仍大大低于价格目标, 那么1990年就尤为可能。记住, 在波浪预测中, 时间是一项考虑因素, 这种因素对于波浪形态(最为重要)和价位来说完全是次要的。

第五, 尽管在循环浪V中道琼斯工业股平均指数仅处于其第一个大浪级的上升阶段, 但更广泛的指数从1974年开始了浪V, 而且已经深入了它们的第三大浪(见图A-12)。这些指数, 如价值线平均指数(value line average)、指标文摘平均指数(indicator digest average)以及弗斯拜克总回报指数(fosback total return index), 正在走出传统的第三浪延长, 或者说中间浪, 而且刚刚进入最有力的部分。保守地估计, 60%的五浪序列有第三浪延长, 因此这种研判符合教科书中的模式, 相反, 研判更广泛的指数处于它们的第五浪或者说最后一浪的企图却不是这样。因为第三浪延长正在广泛的指数中展开, 所以需要大量的时间来完成这个第三浪, 然后再描绘第四和第五浪。因为这些都在我们前头, 所以当前牛市的规模将是巨大的。

既然第五浪出现的可能性已经建立, 而且它的规模与形状也估计了出来, 因此它或许有助于评估其最可能的特征

第一, 这个上升行情应当很有选择性, 因此从一个股票群至另一个股

票群的回转应当很明显。浪V期间的广泛性应当很平常，如果不是这样，那就与20世纪40年代至50年代的单一市场中——浪III期间——惊人的广泛性彻底没有关系。然而，既然这是一个驱动浪，那么它无疑将比我们在1966~1982年的浪IV中看到的广泛性强。

片刻的考虑解释了为什么浪V的上升行情将比浪I和III清淡。在第五浪中，延伸了的“牛市”运动正在迈向它的终点，而且相对于这个牛市阶段中的调整，重要的损失应当随之而来。在长期浪中，基本面背景到那时已经恶化到了越来越少的公司可以在向上摆动的环境中增加它们的繁荣。（对我来说，看起来很清楚，今天这些条件在超级循环浪级存在。）因此，这个牛市，尽管提供了许多盈利的巨大机会，但显然变得更加有选择性，正如表现不佳的上涨-下跌线和股票盛产“新高”的日子更少了所反映出的那样。你注意到了吗？自1974年的最低点以来，股票已经很少同步上扬，反而是有选择性地上升，一次只有几个股票群。

所有浪级的非延长的（甚至是大多数延长的）第五浪是这样运行的，这正导致了基于背离的“卖出信号”。问题是，大多数分析人士仅将这个概念应用于短期摆动或中期摆动。然而，循环浪级的摆动也会与较小浪级的摆动一样出现这种情况。实际上，20世纪20年代平坦的上涨-下跌线（见图A-11）对于整个从1857年开始的上升行情来说是一个“卖出信号”。相似地，20世纪60年代中期的平坦的上涨-下跌线对于1942~1966年的牛市来说是一个“卖出信号”。1982~（我预计的）1987年的表现相对较差的上涨-下跌线对于整个从1932年开始的超级循环浪来说是一个“卖出信号”。现在的教训是，不要用这种表现不佳作为过早卖出的原因，而且错过了有希望成为股票市场历史上利润最大的上升一腿。[⊖]

⊖ 上面两段取自5天后出版的1983年4月11日号的《艾略特波浪理论家》。脚注符号前后的句子包括来自1982年12月号的措辞。

第五浪中的上涨-下跌线的表现

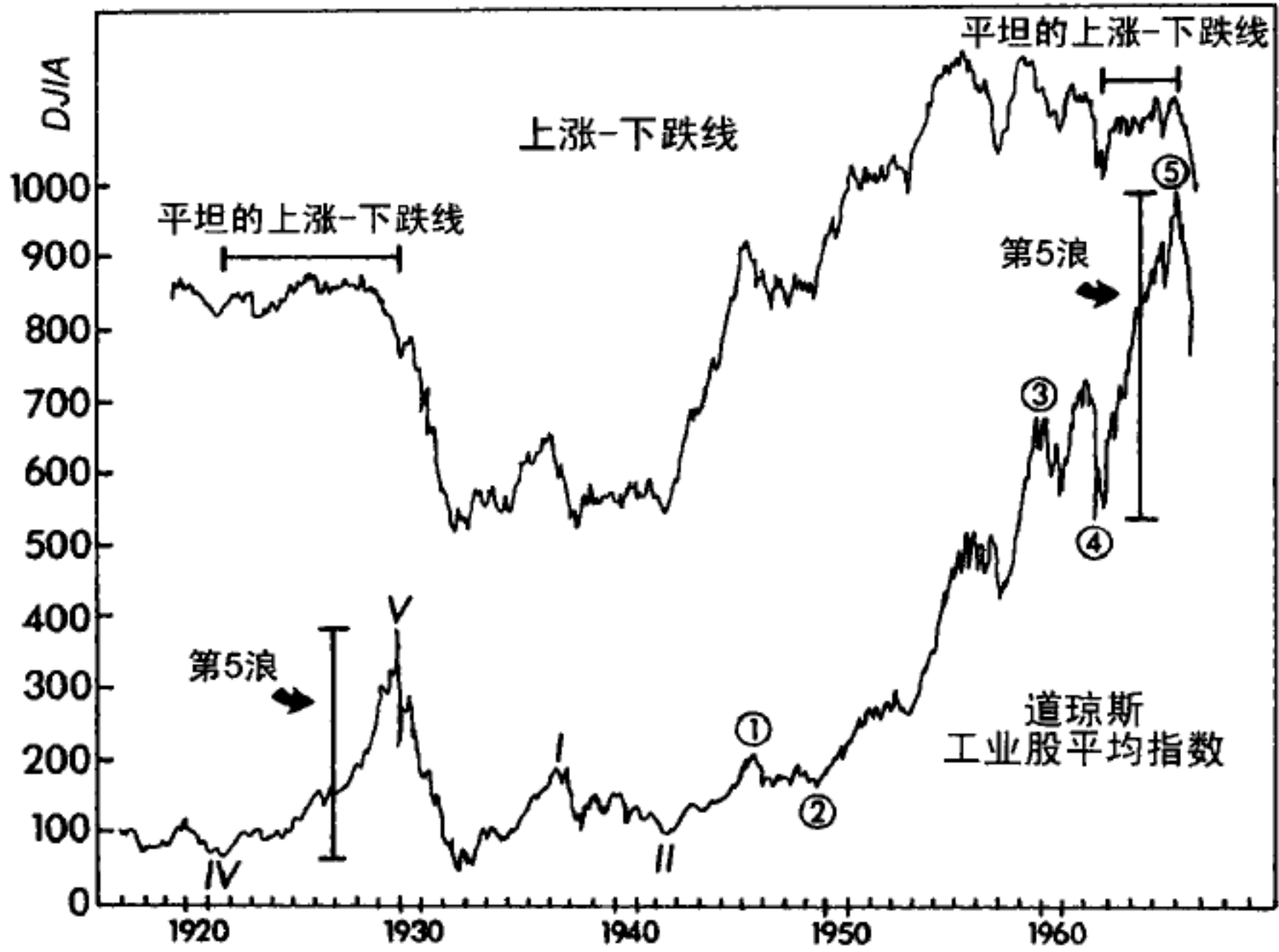


图 A-11

基于1978年的研判的数浪
 (对于广泛性的指数仍然可能)

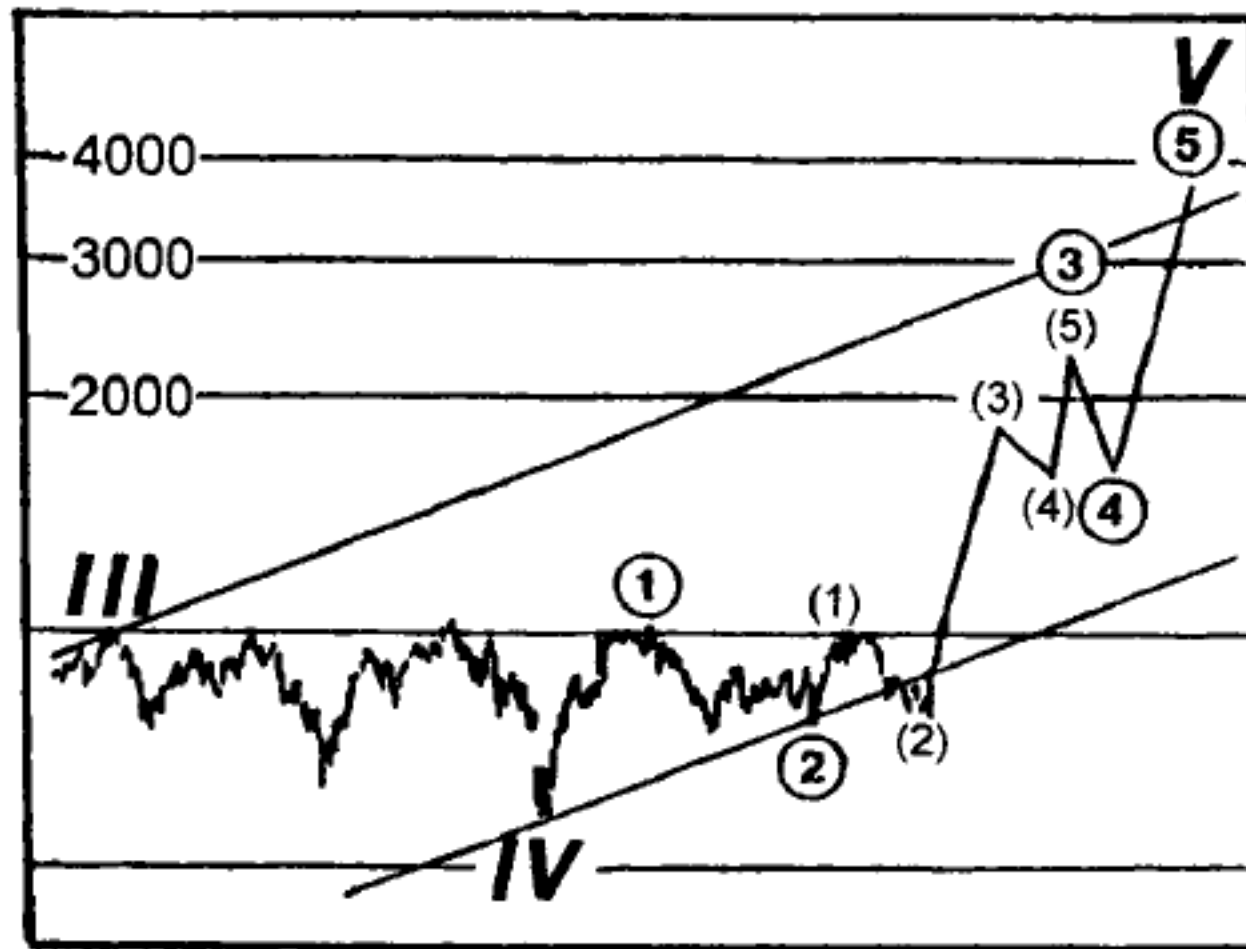


图 A-12

第二, 这个牛市应当是一个简单结构, 相比1942~1966年的市场, 与

1932-1937年的市场性质更相同。换言之，要期待一轮快速且持续的上升行情，但有短暂的调整，而不是长期滚动式的、有着均匀间隔的上升行情。通过避开市场时机策略而专注于选股，并维持大举投资直至可以数出完整的五个大浪，大机构很可能会做得最好。

第三，道指的波浪结构和广泛性更强的指数的波浪结构应当一同符合。如果基于我们1978年研判的数浪（见图A-12）仍然正确，那么这种研判对于各种广泛性的指数也一样，而且它们的波浪会一致。如果这种首选的数浪是正确的，那么我会预计广泛性的指数的第三浪会在道指完成其第一浪的时候结束，而广泛性的指数的第五浪会在道指完成其第三浪的时候结束。这就意味着，在道指的第五浪期间，它会独自创新高，因为市场的广泛性开始更加明显地减少。然后，在最终的顶部，看到道琼斯工业股指数处于新高，但得不到广泛性的指数以及上涨-下跌线的印证，我不会惊讶，这造成了一种经典的技术性背离。

第四，考虑到技术面的形势，我们会对浪V的心理面得出什么结论？20世纪20年代的牛市是第三超级循环浪中的第五浪，而循环浪V是第五超级循环浪中的第五浪。因此，作为最后的欢呼，在它的终点，机构投资者对股票的几乎难以令人置信的狂热，以及公众对股票指数期货、股票期权以及期货的期权的狂热描绘出了它的特征。按我的观点，长期情绪标尺会在最后的顶部之前的两三年放出大趋势的卖出信号，而且市场会继续上扬。为了使道指到达预计会在1987年或1990年出现的最高点，而且为了导致美国股票市场经济历史上最大的崩盘——根据波浪理论必跟在浪V之后，投资者的群体心理应当在1929年、1968年和1973年的所有因素一同作用之下到达疯狂的比例，并最终达到更加极端的程度。

如果全部都与预期相符, 那么最后剩下来的问题就是, “浪V的顶部之后会发生什么”

波浪理论会识别3686点的顶部为浪(V)中的浪V的终点, 也就是甚超级循环浪的波峰。然后, 一个甚超级循环浪级的熊市会“调整”所有从18世纪末开始的波浪前进。下跌的目标区域将是先前小一浪级的第四浪——道指从381点下跌至41点的浪(IV)——的价格区域(理想的是接近最低点[⊖])。世界范围内的银行系统失效、政府破产以及纸币系统的最终毁灭对于这种幅度的熊市阶段来说或许是可信的解释[⊖]。既然武装冲突常常在剧烈的金融危机之后出现, 或许不得不在预感超级大国之间的战争这种幅度上考虑金融资产价值崩溃的可能性。关于时间, 根据几项观察, 甚超级循环浪级调整中的浪(A)或浪(C)应该在1999年(正负1年)筑底。从1987年的顶部, 与1974开始的13年上升行情匹配的下跌行情会指向2000年。从1990年的顶部, 与1982开始的8年上升行情匹配的下跌行情会指向1998年。还有可能的巧合是, 16.6年~16.9年的间隔的有规律再现(见图A-8, 底部)预测1999年是下一个反转点。最终, 有了应该在2003年(正负5年)见底的康德拉蒂耶夫经济循环, 该时刻几年之前的股票市场最低点会符合这种历史的模式。

1983年8月18日

20世纪80年代的超级牛市——最后的疯狂浪潮

股票市场动量的指标几乎总是“宣布”巨大牛市的开始。它们通过在上升行情的最初阶段创造惊人的超买状态来做到这一点。尽管这种倾向在趋势的所有浪级中都显而易见, 但S&P 500指数的年变化率(annual

⊖ 更可能接近最高点; 见《在潮浪的顶峰》。(日收盘最高点是381.17点; 日内最高点是383.00点。)

⊖ 实际上是结果。

rate of change) 在判断循环浪级和甚超级循环浪级波浪中的“开始”动量的强度中尤其有效。这个指标是通过绘制当前这个月的S&P 500的平均日收盘价与一年前同一个月的读数之间的百分比差值得出的。根据这种指标的构建，波峰的动量读数通常在运动开始一年后记录。重要的是指标达到的水平。正如你能够看到的那样（图A-13中），1983年7月末的“超买”水平（大约是当前牛市开始一年时）是1943年5月（大约是循环浪III开始一年后）以来最高的。它们都达到了50%水平的事实是其标志着相同浪级波浪开始的强烈印证。换言之，1982年8月标志着某些事情的开始，而不是已经被当做之后会出现两年熊市的标准的两年牛市。另一方面，

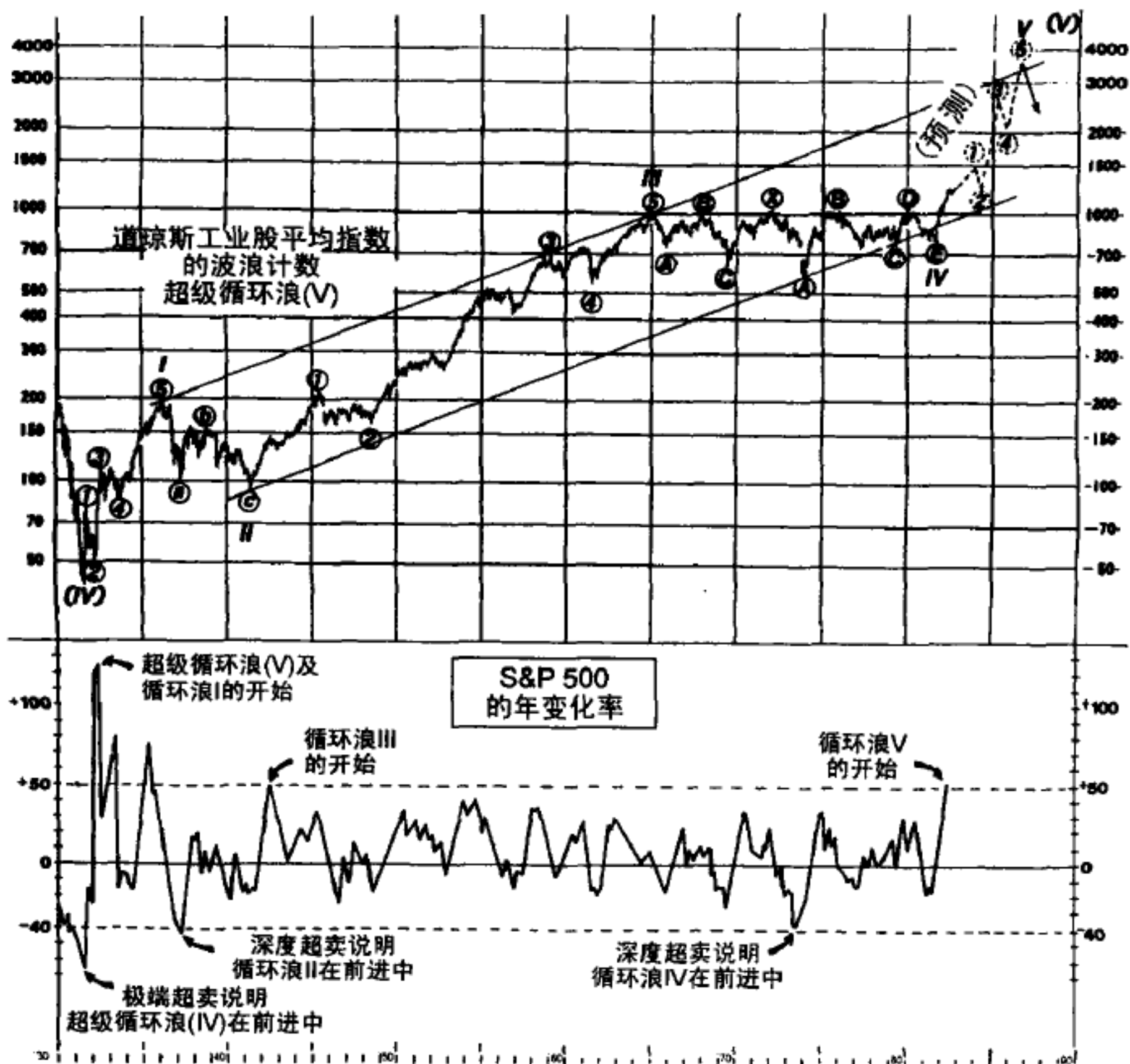


图 A-13

它也没有指出光辉的“新时代”的开始。如果一轮超级循环浪级的波浪正在开始, 那么我们会期待看到这种1933年产生的超买读数, 当时这个指标在从1932年开始的浪(V)运行一年后达到了124%。现在没有机会接近这样一种水平。因此, 40年中的最高超买状态向我发出信号, 我们对浪V发动的艾略特波浪预测就在目标上。

记住, 这只是起步阶段。正如我自当前的上升行情的早期就提出的那样, 情绪指标应当达到比它们在20世纪70年代看到的极端得多的水平。看涨/看跌比率以及十天均线在它们运动时很有价值, 但它们最好在市场事件的广泛性扫荡的联系中加以研判。

另眼看看道指的长期走势图, 并对被认为是常识的几点问你自己几个问题。

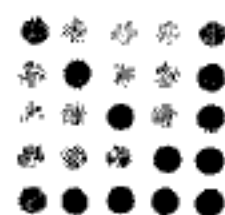
- 今天市场真的比以前“波动性更大”吗? 不。看一看1921~1946年的市场就会把这种想法抛出窗外。
- 1000点的水平是“高”水平吗? 对于这个问题, 1200点是“高”水平吗? 不再是! 自1966年在横走上花费的长久时间已经把道指推回到了就“现值美元”而言的50年上升通道的较低的终点(并向下推到了就“定值美元”而言的相当低的估价点)。
- 当前的牛市是1974年开始的“老”牛市, 所以正在“耗尽时间”吗? 不太像。就“定值美元”而言, 并参考40年的上升趋势, 道指在1982年相比在1974年崩盘的最低点被低估多了。
- 我以艾略特理论为基础的, 在5~8年内上涨400%的预期疯狂吗? 与最近的历史相比, 看起来是这样。但与1921~1929年市场在8年中上涨500%相比, 或者与1932~1937年市场在5年中上涨400%相比就不疯狂了。
- 你能总是从当前的趋势对未来进行推断吗? 绝对不能。市场的一条规则是变化。

➤有什么循环永远“与前一个相同”吗？很少见！实际上，艾略特对此制定了一条规则，称作交替规则。广义上研判，它指导投资者在每一个新阶段开始时寻找模式的不同风格。

➤最近的市场行为“太强”、“过度延伸”、“史无前例”，或者是一个“新时代”了吗？不是，今天主题的变体以前都出现过。

市场是一种随机行走，还是一种反复无常的疯狂旅行，它向前向后突然运动而没有形态、趋势和模式？如果这样，它已经“漫步”入了清晰的趋势、有韵律的循环往复，以及完善的艾略特波浪模式的长久持续时期中了。

至少，（图A-13）有助于你在历史的广泛性扫荡中描绘市场行为的画面，因此使下一周的货币供应报告看起来与其实际上的不相关。而且，它有助你想象为什么一轮牛市高出前一个16年向上摆动的30%~80%涨幅是很有可能，同时描绘出一个比过去50年中的任何牛市都要大的牛市的潜力。到目前为止，市场正在以一种增强我们最初的浪V预测的方式行事。只要市场满足预期，我们就能够假定我们仍没有偏离方向。



词汇表

交替 (alternation (guideline of))

如果浪二是陡直调整, 那么浪四通常就是横向调整, 反之亦然。

端点 (apex)

收缩三角形调整浪的两条边界线的交叉点。

调整浪 (corrective wave)

与大一浪级的趋势逆向运动的三浪模式, 或三浪模式的联合。

终结倾斜三角形 (diagonal Triangle (ending))

包含重叠的楔形模式, 仅出现在第五浪或C浪中。
子浪呈3-3-3-3-3。

引导倾斜三角形 (diagonal triangle (leading))

包含重叠的楔形模式, 仅出现在第一浪或A浪中。
子浪是5-3-5-3-5。

双重三浪 (double three)

两个简单横向调整模式的联合, 标示为W和Y, 被一个标示成X的调整浪分开。

双锯齿形 (double zigzag)

两个锯齿形的联合, 标示为W和Y, 被一个标示成X的调整浪分开。

等长 (equality (guideline of))

在一个五浪序列中, 如果浪三是最长的一浪, 那么浪五和浪一就倾向价格等长。

扩散平台形 (expanded Flat)

相比前面的推动浪, 浪B进入新价格区域的平台形调整浪。

失败 (failure)

见衰竭的第五浪。

平台形 (flat)

标示成A-B-C的横走型调整。子浪是3-3-5。

推动浪 (impulse wave)

子浪是5-3-5-3-5的五浪模式, 而且没有重叠。

驱动浪 (motive wave)

与大一浪级的趋势同向运动的五浪模式, 也就是任何推动浪和倾斜三角形。

不规则平台形 (irregular flat)

见扩散平台形

一-二, 一-二 (one-two, one-two)

五浪模式中最初的发展, 正好在浪三中心的加速以前。

重叠 (overlap)

浪四进入浪二的价格区域。推动浪中不允许出现的情况。

先前的第四浪 (previous fourth wave)

先前同一级数推动浪中的第四浪。调整模式通常在这个区域结束。

陡直调整 (sharp correction)

任何不包含到达或超过先前推动浪结束水平的调整模式; 与横向调整交替。

横向调整 (sideways correction)

任何包含到达或超过先前推动浪的价格极端的调整模式，与陡直调整交替。

第三浪中的第三浪 (third of a third)

推动浪中最有力的中间部分。

冲击 (thrust)

三角形调整浪结束后的推动浪。

三角形 (收缩、上升或下降) (triangle (contracting, ascending or descending))

调整模式，子浪是3-3-3-3-3，并标示为A-B-C-D-E。作为第四浪、B浪或Y浪出现。趋势线在模式前进时汇聚。

三角形 (扩散) (triangle (expanding))

与其他三角形相同，但在模式前进时趋势线发散。

三重三浪 (triple three)

三个标示为W、Y和Z的简单横向调整模式的联合，每个模式都被一个标示为X的调整浪分隔。

三锯齿形 (triple zigzag)

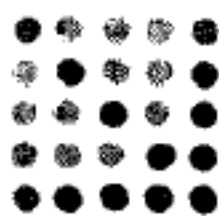
三个标示为W、Y和Z的锯齿形调整浪的联合，每个锯齿形都被一个标示为X的调整浪分隔。

衰竭的第五浪 (truncated fifth)

推动模式中没有超过第三浪价格极端的第五浪。

锯齿形 (zigzag)

陡直调整，标示为A-B-C。子浪是5-3-5。



原出版者后记

正如你刚才读到的，本书作者有效的股票市场分析带读者进入了大牛市的垂直上升之中。对历史和未来提供了极为清晰的视野是本书的一大优势。

如果某位读者今天碰巧读了这本书，那么他或许不能对大牛市预言的背景做出足够的判断。20世纪70年代末曾是一段忧虑横行的时期。“厄运和忧虑”的偶发事件抓住了投资者们的注意力。以硬通货为导向的投资生存讲习会经常举行，吸引的参加者数以百计，而且常常数以千计。通货膨胀不可能得到控制，而利率——被广泛理解为股票市场的死亡之吻——继续着它们毫无怜悯的上升，至历史新高。《79年的崩盘》(*The Crash of '79*)、《危机投资》(*Crisis Investing*)，以及《来自货币危机的新利润》(*New Profits from the Monetary Crisis*)纷纷出版。康德拉蒂耶夫循环的热衷者呐喊着大萧条。投资组合战略家正在等待从1966年开始的长期熊市的最后冲杀。人们普遍认为当时的美国总统[⊖]是现代历史上

⊖ 美国第39任(1977~1981年)总统吉米·卡特(Jimmy Carter, 1924—)不同于罗斯福之后的民主党总统，卡特没有对美国的社会问题提出任何新的解决方案。民意测验显示美国公众喜欢其人品，但对其领导才能却不敢恭维。——译者注

最不称职的一位。正如洛普民意测验 (Roper Poll)^① 的结果证实的那样, 美国公众对“未来”的态度比该民意测验自20世纪40年代诞生以来的任何时候都要消极。1978年年初, 道指已经运动到740点这样低, 比它1974年的最低点还低170点。尽管在本书付印之时正好是跌至790点的“十月大屠杀”(October Massacre), 但本书的作者相当愿意将他们的描述“当前的股票大牛市……应当伴随着冲向历史新高的突破”维持原状。

在随后的几年中, 怀疑主义仍然顽固不化。1980年, 通货膨胀处于失控状态, 失业率高企, 经济处于衰退, 伊朗监禁美国公民为人质^②, 约翰·列侬 (John Lennon)^③ 遭枪杀, 而且俄罗斯人入侵阿富汗^④。政府要员公开警告经济萧条。许多人担心罗纳德 (Ronald)^⑤ 的“射线枪”^⑥ 会摧毁世界。利率的猛烈波动以及赫特 (Hunt)^⑦ 企业帝国近乎倒闭将振

① 美国人艾尔默·洛普 (Elmo Roper) 在第二次世界大战后不久创办了洛普中心 (Roper Center) 从事民意测验, 并收集美国国内和国际上的调查数据。洛普中心保存着世界上最完整的民意测验信息。——译者注

② 1979年11月4日, 伊朗学生占领美国驻伊朗大使馆, 扣押美使馆人员做人质, 要求引渡流亡在美的前国王巴列维和收回巴列维家族在美财产, 酿成“人质危机”。1981年1月19日, 在阿尔及利亚的斡旋下, 伊美双方才达成释放人质的协议, 美国将巴列维家族在美财产归还伊朗政府, 伊朗政府则释放美国人质。——译者注

③ 1940—1980, 英国歌唱家兼歌词作者, 甲壳虫乐队的成员。1980年, 列侬在其纽约寓所外遭枪杀。——译者注

④ 1979~1989年, 苏联武装入侵阿富汗, 与阿抵抗力量之间展开的一场侵略与反侵略战争, 也称阿富汗战争。——译者注

⑤ 罗纳德·里根 (Ronald Reagan, 1911—)。1981~1989年, 任美国第40任总统。——译者注

⑥ 美国总统里根在1983年推出的战略防御计划 (又称星球大战计划) 设想用激光击落袭击美国的弹道导弹。由于里根当时提出的军事开支估算远远超过国力所能及, 同时又不具备拦截导弹的技术能力, 因此该方案很快就销声匿迹。——译者注

⑦ 赫特帝国的起源可以追溯到哈罗德森·拉斐特·赫特 (Haroldson Lafayette Hunt, 1889—1974) 于1921年以开采石油起家。邦克·赫特 (Bunker Hunt) 与赫伯特·赫特 (Herbert Hunt) 是罗德森·拉斐特·赫特14个子女中最出名的2个。20世纪40年代他们以与父亲做石油生意开始发迹。1961年, 邦克获得了利比亚一座油田, 该油田结果储藏了利比亚的大部分石油, 这笔160亿美元的交易使他成为当时世界上最富有的人。直到1973年, 卡扎菲上校对利比亚的油田实行国有化, 邦克才损失了这160亿美元中的绝大部分。但是, 兄弟俩最大的赌博是在白银市场上。在20世纪70年代, 他们逐步囤积了大量的白银, 大约2亿盎司。1979年, 他们几乎已经控制了全球的白银市场。但是, 白银的价格在1980年见顶之后一泻千里。兄弟俩损失惨重, 只能靠抵押他们的石油财产来弥补。当石油价格在20世纪80年代的大萧条中暴跌时, 他们几乎全军覆没, 损失估计高达50亿美元。兄弟俩分别在1986年和1988年宣布公司破产和个人破产。——译者注

动波传遍了金融界。《如何在即将到来的坏年景发达》(*How to Prosper During the Coming Bad Years*) 被放入了《纽约时报》(*The New York Times*) 的畅销书榜, 而本书作者对即将到来的乐观主义大浪的预测——正如普莱切特在1983年评论的那样是一种“机构与公众的疯狂”——多半受到忽略。

尽管有这种忧郁的面纱, 但股票市场知道好日子在后头, 并通过其模式加以宣告。循环浪IV的最低点已经出现在了道指的570点, 而且广泛的次级市场继续在1979年、1980年和1981年走高, 这给出了内在力量看涨的清楚信号。消极的基本面状况以典型的方式“考验了”1982年的最低点, 因为衰退和高利率又回来了。然后, 就在道琼斯工业股指数显得无法再次上扬的时候, 普莱切特将赌注提高了另一个道指的1000点, 高达3885点。“道指3800点? 你疯了!” 就在那时, 循环浪V开始其向上的进军。

尽管这些事件证明, 对于股票市场预测来说, 波浪理论是一种极为有用的工具, 但作者必须在两个重要领域改变他们的观点: 时间因素——因为循环浪V费时比原先预计的, 甚至后来预计的长得多; 以及最终作为一种实质上额外时间的结果——向上的价格潜力。这些发展当然揭示了为什么在第2章中讨论的艾略特对波浪“等同”的观察构成了一种指导方针, 在这种情况下它不适用。作者预测的浪V没有持续5或8年, 而几乎是1982年起的16年, 或是1974年起的24年! 这样一来, 它已经超越了日经指数在1974~1989年的增益, 达到了一种就价格和时间而言曾经有过的最长的股票狂热。

弗罗斯特与普莱切特预测仅有三个年份可能是循环浪V中记录下的三个最重要间歇市场顶部的年份(1983年、1987年和1990年), 这是某种安慰。将瑕疵完全考虑在内, 像普莱切特在本书附录中详述的那种成功发表的分析的另一个例子是R. N. 艾略特在1942年10月做出的超级看涨的长

期展望、汉密尔顿·博尔顿在1960年做出的道指在999点见顶的预测、柯林斯在1966年的最高点做出的熊市预测，以及弗罗斯特对浪IV的最低点在572点的预测。回顾这段历史，我们无疑会发现，自R. N. 艾略特首次将预测发给查尔斯 J. 柯林斯以来，艾略特波浪展望的主题进展在64年中始终如一。相比之下，大多数经济学家、分析人士和预言家每6个月、6周或6天改变一次他们的观点，每一条新透露的消息都得“影响”他们的分析。另一方面，市场模式常常暗示下一条消息是什么。尽管波浪结构有时很难研判，尽管有些情形必须放弃——如果未来的价格行为强行改变不同结果的概率顺序的话，但总体上波浪理论提供了一种稳定的洞察力，从中可以做出明智的事前规划。

许多关于股票市场、经济或者未来的书籍通常或是站在看涨的立场或看跌的立场上。大多数书是错误的，因为它们是在一种受流行的社会心理支持的精神狂热中撰写的，而实际上此时相反的立场应得到采取。即使那些在一个总体趋势方向上正确的书籍，也必须就“幸运”因素受到怀疑。然而，预测这种具体的而且包含完整上涨—下跌循环的系列事件还未曾尝试过，更不用说证明成功了。对一种科学理论有效性的重要测试之一在于其预测各种事件的成功记录。在这一点上，艾略特波浪理论一直不孚众望，以至于没有其他市场行为理论可以接近。像在第8章和附录中记载的实际预测，是一种巨大的智力挑战。模式中部的决策尤其难。然而，有些时候，如在1974年12月和1982年8月，主要模式接近完成，而教科书式的图案就在你眼前。在这种时候，人的确信程度上升到了90%以上。今天，只有预测的熊市一半还有待实现。如果作者的预期得到证实，那么《波浪理论》就会进一步确立为股市历史上唯一不仅预测了大牛市，也预测了随之而来的大熊市的书，熊市的细节普莱切特已经在他的近作《在潮浪的顶峰》中勾勒了出来。

就这样，此时我们的伟大旅程已经过半。在实现作者保守的（回过头

来看), 同时又超越了大多数市场观察者对市场潜在表现的最疯狂想象的预期上, 这上升的一半已经是明智的奖赏。下一个将向下的阶段或许不那么有价值, 但预测很可能重要得多, 因为它的开始将标志着一个社会学纪元的结束。首先做好准备意味着财富, 而且对于其预测者来说也许是一点名望。这次, 它意味着生存, 金融上的生存以及(根据普莱切特的将社会趋势和文化趋势与金融趋势相结合的工作) 对许多人来说的肉体上的生存。尽管据信(而且不知疲倦地得到重申)“市场神通广大”, 但我们的金钱又一次要根据波浪理论通过生命和时间的各种模式对人类的伟大旅程提供正确的展望。

手续费是期货交易成功的第一步 全国最低手续费免费办理期货开户 周一至周日24小时欢迎您
5220161776 微信：958218088 QQ 958218088 开户及交易手续费详情请进：<http://www.7hel.com>

这是一本关于艾略特理论的，杰出的权威著作，因此我向所有对波浪理论感兴趣的人推荐这本书。

——理查德·罗素，《道氏理论通讯》

《今日金银》完全认可这本著作。这是一本关于人类经历的科学的波浪理论权威著作。如果你对技术分析或波浪分析感兴趣，就应该读读这本书。

——《今日金银》

这本书写得极好。它清晰、简洁而且颇具胆识……对于新手和老手来说这是到目前为止最有用、最全面的著作。

——威廉·蒂安妮，威灵顿管理公司

一项出色的工作……我相信不会有人写出一本更好的艾略特波浪理论的基本手册。

——唐纳德 J. 霍伯，《企业与投资分析》

……严谨的技术分析人士的最佳参考书……艾略特波浪理论汇总了所有必要的细节。

——《期货》杂志

在我们见过的出版物中，本书的第3章是对数字的最佳描述，单单这一章就值整本书的钱。

——詹姆斯·蒂纳斯，《蒂纳斯通讯》

《艾略特波浪理论》正是对一种概念的最佳描述和确认，这种概念按理说应当彻底变革对历史和社会学的科学研究。

——JWG，纽约

Elliott Wave Principle

在这个行当三分之一的生涯中，这是我第一次真正理解了艾略特波浪理论，而且这当然是我第一本能够推荐的关于艾略特理论的书。普莱切特过去成功运用的所有方法在本书中都有详尽的描述。

——《职业投资者》

《艾略特波浪理论》是如此一本重要的、迷人的，甚至引人兴奋的著作，我们相信所有严谨的市场学者——无论是基本分析人士还是技术分析人士，在处理股票、债券和商品期货时都应当读一读。

——《市场决策》

尽管有微小的失误，但1978年的预测也必定会作为有史以来最卓越的市场预测流传下去。

——詹姆斯 W. 科万，《监控货币评论》

丛书微博: <http://t.sina.com.cn/hzclassic>

客服热线:

(010) 88379210, 88361066

购书热线:

(010) 68326294, 88379649, 68995259

投稿热线:

(010) 88379007

读者信箱:

hzjg@hzbook.com



收藏性: ★★★★★

实战性: ★★★★★

专业性: ★★★★★

阅读提示



上架指导: 投资 / 证券 / 股票

ISBN 978-7-111-31016-7



9 787111 310167

华章网站 <http://www.hzbook.com>

网上购书: www.china-pub.com

定价: 38.00元